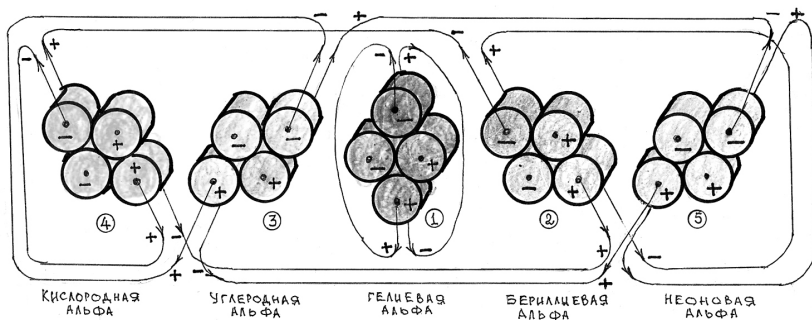


А.Н. Ховалкин



## НОВАЯ ФУНДАМЕНТАЛЬНАЯ ФИЗИКА

Природа электромагнитных, слабых,  
гравитационных, ядерных  
и коллапсарных взаимодействий едина –  
это электрические взаимодействия!

Россия, г. Коломна

Составление, общая редакция,  
оформление и предисловие автора  
А.Н. Ховалкина.

Охраняется Законом РФ об авторском праве. Воспроизведение всей книги в целом или любой ее части в печатных формах или любым иным способом: электронным, фотокопировальным и другими способами – воспрещается без письменного разрешения автора.

Книга Ховалкина Александра Николаевича предлагает читателю простое смысловое описание основ новой фундаментальной физики. Открыты основные элементы истинного физического мироустройства, обоснованы причины периодических эпохальных апокалипсисов на планете, глобальных изменений климата.

© Ховалкин А.Н.

## Предисловие

Истина не требует доказательств, она сама себя доказывает! В настоящем издании предлагается смысловое описание основ новой фундаментальной физики, истинного физического мироустройства в короткой доступной для изучения форме повествования. Раскрыта природа происхождения элементарных кулоновских электрических зарядов и элементарных спиновых (сторонних) электрических зарядов в элементарных разнополярных скоплениях частиц и в элементарных нейтрино. Подробно описаны элементарные и индуцированные коллапсары, раскрывается тайна короткодействующих коллапсарных и ядерных сил, структура индуцированных сфер гравитационного поля, предлагается простое, доступное для понимания описание природы происхождения сил гравитации. Рассматривается истинная структура планеты Земля, физическая сущность процессов апокалипсисов, подробно описаны причины изменения климата. Излагаются причины объединения гравитационных, электромагнитных, слабых, ядерных и коллапсарных взаимодействий в единые электрические взаимодействия. Предложено истинное описание структуры нуклонов и ядер атомов, в периодический закон химических элементов Д.И. Менделеева внесены существенные изменения, даётся смысловое обоснование существования двух пропущенных неизвестных химических элементов в периодическом законе. Истина в настоящем смысловом описании отвергает ложную квантовую теорию и другие придуманные теории в современной фундаментальной физике.

**А.Н. Ховалкин**



## ОСНОВЫ НОВОЙ ФУНДАМЕНТАЛЬНОЙ ФИЗИКИ

### Материя

Космическое пространство материально, однородно, электроконтактно, заполнено зарядовой субстанцией, в частицах вещества и скоплениях частиц, неразрывно и анизотропно.

Частицы субстанции вещества обладают свойствами массы и разнополярным электричеством. Нет электричества без носителя – массы вещества, и нет массы вещества без электричества.

В абсолютном состоянии частицы субстанции неподвижны, силы притяжения между разнополярными частицами равны силам противодействия притяжению между однополярными частицами, и поэтому расстояния между ними не изменяются.

Отсутствие преобладания сил в среде частиц, неподвижность определяют физическую характеристику абсолютного холода и скрытого состояния, потенциальных разнополярных зарядов на носителях, частицах вещества.

Выход частиц субстанции из абсолютного состояния происходит через силовые изменения равенства сил действия и противодействия, генерирование электрических зарядов частиц субстанции, движением относительно друг друга.

Генерирование электрических зарядов частиц субстанции, изменение потенциалов в переменных, мутирующих цепочках электрического взаимодействия. Движение электрических частиц, токи смещения генерируют (производят) электромагнетизм.

Силовое сближение разноимённых зарядов частиц субстанции и противодействие сближению между однополярными зарядами частиц создаёт внутреннее переменное электрическое поле и магнитное переменное поле, обладающее свойствами теплового электромагнетизма. Проявление, генерирование поляризованных

частиц субстанции определяет физическую характеристику электромагнетизма, тепла в космическом пространстве.

### Элементарное нейтрино

В проявленном состоянии разнополярные частицы субстанции образуют насыщенные, конденсированные скопления в элементарном нейтрино. Почему нейтральное скопление получило название, элементарное нейтрино?

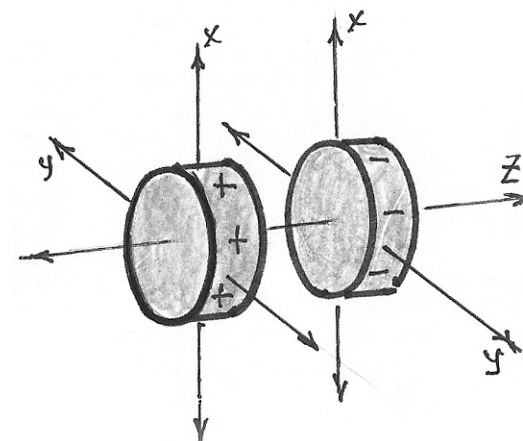


Рис. 1

Показаны два элементарных разнополярных скопления частиц субстанции, потенциально обладающих элементарными зарядами плюс и минус в единой системе элементарного нейтрино.

Элементарное нейтрино формируется в условиях внешнего силового сжатия в генерирующих сферах звёзд из разнополярных индуцированных скоплений в системе силового конденсирования.

Для удобства смыслового описания и наглядности разнополярные скопления на рисунке размещены на некотором расстоянии в единой системе координат.

Ядро элементарного нейтрино образовано из двух разнополярных скоплений, потенциально обладающих элементарными зарядами. При делении элементарного нейтрино в особых условиях раз-

нополярные элементарные скопления обладают элементарными зарядами плюс и минус.

Какова структура элементарного нейтрино? Сложность смыслового обоснования внутренней структуры поляризованных скоплений в элементарном нейтрино заключена в двух неизвестных тайнах материи космоса.

На современном уровне развития человеческого разума остаются недоступны смысловому пониманию природа происхождения вещества (массы) и природа происхождения электричества (зарядов).

Истина не требует доказательств, она сама себя доказывает. Любое теоретическое предположение может закрывать, преграждать путь к истинному знанию физических основ космоса. Сито истины открывает прямой путь к познанию физических законов пространства и времени космоса.

Незнание истинного происхождения субстанции вещества и антисубстанции вещества, природы электричества не препятствует смысловому описанию истинной сути структурного физического мира, доступного человеческому разуму.

Смысловому описанию доступна природа образования элементарных зарядов в элементарных нейтрино, индуцированных скоплений в электрических твердых нейтрино. Доступна смысловому и математическому описанию природа гравитационного электрического индуцирования, проявления стороннего электрического поля и природа электромагнетизма.

Структура элементарного нейтрино, ядра и индуцированных скоплений в электрических твердых показаны на рисунке (Рис 2).

Справа на схеме наглядно показаны причины, препятствующие построению индуцированных скоплений в окружающем пространстве каждого условно отдельного элементарного скопления нейтрино (показано скопление положительных частиц).

Условное, одно положительное скопление элементарного нейтрино (рис. 2, справа) отталкивает частицы субстанции с положительным зарядом в окружающем пространстве в шести направлениях (x, y, z).

Почему в шести направлениях? Одноимённые отталкиваемые частицы силами противодействия между собой образуют силовое

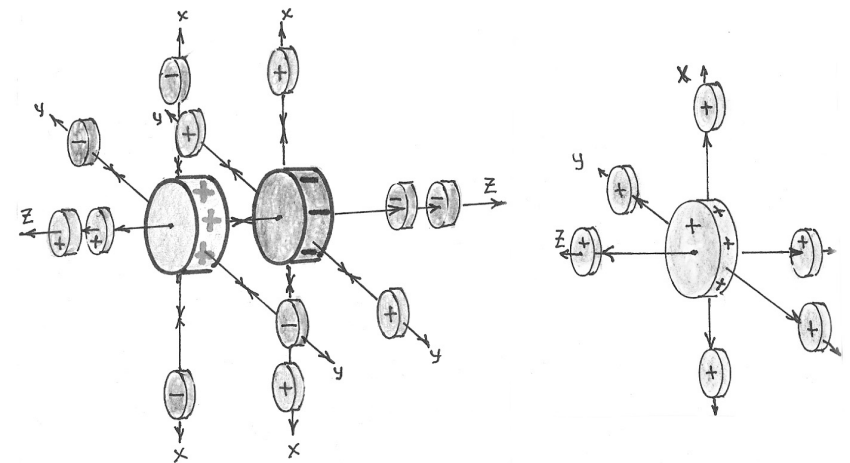


Рис. 2

равновесие сил в геометрическом пространстве подобия двух пирамид с единым квадратом в основании.

Одновременно скопление притягивает частицы субстанции противоположного знака, насыщает окружающее сферическое пространство частицами субстанции противоположного знака в сферической волне сжатия, отталкиваемые частицы субстанции образуют сферическую волну разряжения.

Далее действует закон, каждая волна индуцирована предыдущей волной (кроме первой) и сама индуцирует последующую волну. Волны сжатия формируются под воздействием разнополярных потенциалов, а волны разряжения формируются противодействием между однополярными потенциалами.

Отсутствие сил противодействия (справа на рисунке) при индуцировании пространства одним (условно) элементарным скоплением помогает понять принцип образования индуцированных скоплений в единой системе элементарного нейтрино.

Реального отдельного однополярного элементарного скопления не существует, оно будет разрушено внутренними силами противодействия однополярных частиц, и потому существует только в элементарных нейтрино.

Индукцированные однополярные скопления формируются силами взаимного сжатия частиц субстанции, объединенные индуцированные скопления элементарного нейтрино показаны на рисунке (рис. 2, слева).

Какие основные отличия существуют и что общего между индуцированными скоплениями в окружающем пространстве, индуцированной электрической тверди, элементарного нейтрино и в самих элементарных скоплениях ядра?

Ядра нейтрино в двух разнополярных скоплениях обладают критической массой насыщения в волнах сжатия и разряжения, большой плотностью вещества и преобладающим суммарным электрическим потенциалом индуцирования в окружающем пространстве. Ядра элементарных нейтрино стабильны в самостоятельном проявлении и в структурах коллапсаров.

Индукцированные скопления в твердях существуют, пока их индуцирует ядро нейтрино одновременно двумя элементарными зарядами, и распадаются при разрушении ядра.

Индукцированные скопления плюс и минус в вершинах двух квадратов совместно образуют нейтральное скопление, состоят из однополярных частиц субстанции и не обладают критической массой насыщения в волнах сжатия и разряжения, при отсутствии сохраняющего силового индуцирования зарядами ядра распадаются.

Природа скоплений частиц субстанции в двух частях ядра и в индуцированных скоплениях одина и известна как вещество электромагнитного поля.

Элементарные и индуцированные скопления имеют общую систему силового электрического взаимодействия в отдельных нейтрино и совместную систему в коллективах коллапсаров.

Количество индуцированных скоплений и геометрическое расположение их в окружающем пространстве ядра элементарного нейтрино соответствует закону индуцирования (см. рис. 2).

Расположение индуцированных скоплений в окружающем пространстве ядра нейтрино образует геометрическую форму двух пирамид с единым совмещённым квадратом в основании.

По два разнополярных скопления в вершинах совмещённых двух квадратов по осям (x, y) образуют индуцированные нейтральные четыре скопления (рис. 3).

Каждое из четырёх нейтральных скоплений в вершинах совмещённых двух квадратов образует электрическую замкнутую цепь нейтрализации с элементарными зарядами в скоплениях ядра, показано на рисунке (рис. 3).

Всего четыре замкнутых электрических цепи нейтрализации потенциалов элементарных зарядов в ядре через нейтральные индуцированные скопления в вершинах совмещённых квадратов. Заряды скоплений в индуцированных нейтрино плюс и минус расположены последовательно в цепи электрической нейтрализации с элементарными скоплениями ядра плюс и минус.

В поперечной плоскости суммарный потенциал линейного расположения элементарных зарядов в ядре нейтрино равен четырём потенциалам индуцированных нейтральных скоплений.

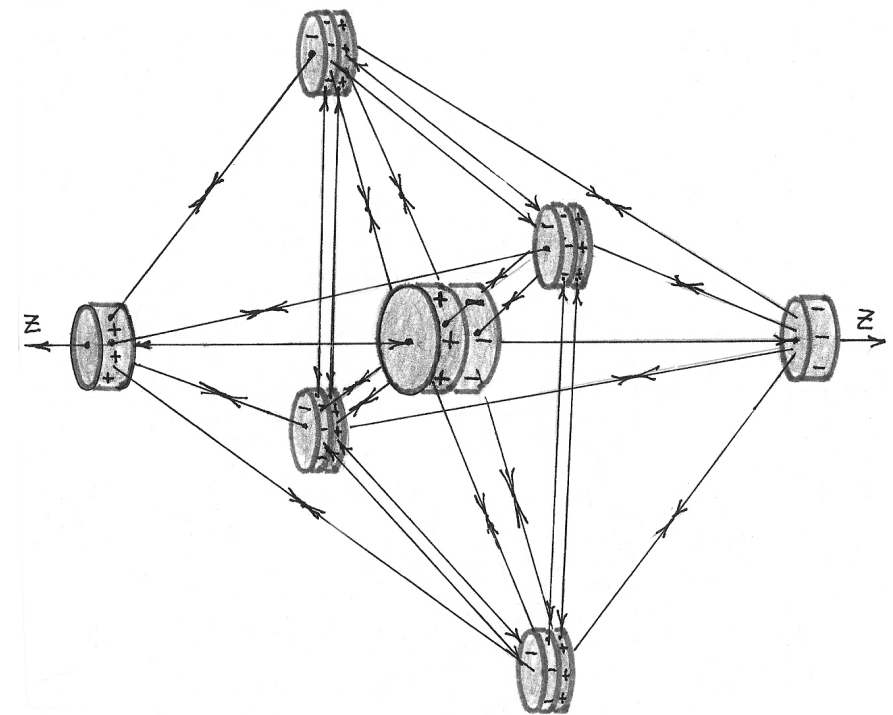


Рис. 3

Показано ядро элементарного нейтрино, четыре нейтральных скопления в вершинах двух квадратов и два разделённых разнополярных скопления в вершинах двух пирамид.

Нейтральность индуцированных скоплений в вершинах совмещённых двух квадратов условная, почему? Гравитационное электрическое индуцирование невозможно нейтрализовать, и разделённые электрические заряды индуцируют стороннее электрическое поле.

Индуцированные разнополярные скопления, расположенные в вершинах пирамид по оси (z) зет, взаимно электризованы последовательным расположением элементарных скоплений в ядре. Ось зет проходит через центры двух скоплений ядра, оси икс и игрек в нейтрино не пересекают элементарные скопления, проходят в пространстве между двумя частями ядра (см. рис. 3).

Заряды элементарных скоплений ядра отталкивают однополярные частицы по оси зет на некоторое расстояние и притягивают скопления противоположного знака по осям икс и игрек. Почему на некоторое расстояние?

Вновь образованные по четыре скопления противоположного знака по осям икс и игрек в вершинах каждого квадрата противодействуют силам отталкивания по оси зет, но и сами не могут сблизиться с элементарными частями ядра, препятствуют однополярные заряды в ядре.

Почему индуцированные скопления в вершинах каждого совмещённого квадрата имеют противоположные знаки полярности элементарным зарядам ядра?

Каждое элементарное скопление в ядре отталкивает однополярные частицы в поперечной плоскости (рис. 2, справа) и притягивает частицы противоположного знака, которые взаимодействуют между собой силами притяжения, образуют по четыре нейтрализованных скопления.

Силы притяжения элементарных зарядов ядра разворачивают на 180 градусов четыре индуцированных нейтрино противоположными знаками в последовательных электрических цепях взаимодействия.

Вывод: закон индуцирования не нарушается (рис. 2, справа) в развороте четырёх нейтральных скоплений на 180 градусов, вы-

страивается закономерная система электрического последовательного взаимодействия элементарных зарядов ядра нейтрино и электрических зарядов в индуцированных нейтральных скоплениях.

Скопления в вершинах двух квадратов взаимно нейтрализованы, скопления в вершинах пирамид по оси зет разделены пространством.

Разделённые заряды индуцируют электрическое поле, стороннее электрическое поле нейтрализации индуцированных зарядов или электрическую цепь совместного взаимодействия в коллективных системах.

На схемах рисунка (рис. 3) векторами показаны силы притяжения и силы противодействия притяжению между системными элементарными скоплениями и индуцированными скоплениями в окружающей электрической тверди.

Название «электрические зарядовые тверди» соответствуют действительному силовому потенциальному состоянию в окружающем пространстве ядра элементарного нейтрино.

Смысловому описанию доступна также структура (устройство) коллапсара гамма-нейтрино, состоящего из семи элементарных нейтрино.

Смысловому описанию доступно описание коллапсаров электронов (нейтрального  $e^0$ ,  $e^-$ ,  $e^+$ ), электронно-позитронного нейтрино ( $e^- + e^+$ ) =  $2e$ , коллапсаров нуклонов (нейтронов и протонов).

Гамма-коллапсарам (гамма-нейтрино), коллапсарам электронам и коллапсарам нуклонам оставлено привычное название элементарные.

Элементарные нейтрино и элементарные коллапсары гамма-нейтрино – это первичные строительные кирпичики, из которых выстроен проявленный физический мир Вселенной.

Гамма-нейтрино состоит из семи элементарных нейтрино. Элементарное нейтрино состоит из двух разнополярных элементарных скоплений частиц субстанции, обладающих потенциально элементарными зарядами плюс и минус.

Элементарное нейтрино – это волна сжатия разнополярных частиц субстанции в геометрическом объёме насыщения.

Ответ на вопрос, почему все элементарные нейтрино обладают единой массой и электрическими элементарными зарядами плюс

и минус, находится в волновой природе происхождения материи.

Силы притяжения между разнополярными носителями электричества образуют волны сжатия, а силы противодействия сжатию между однополярными носителями электричества образуют волны разряжения, препятствуют бесконечному сжатию.

Противодействие однополярных зарядов сжатию создаёт волны разряжения между волнами сжатия. Расстояние между волнами сжатия, длина волны разряжения увеличиваются с удалением от центра сжатия, и на некотором расстоянии от центра ядра элементарного нейтрино наступает предел эффективного силового влияния сил притяжения на очередную волну сжатия.

Волны разряжения ограничивают дальнейший рост массы ядра нейтрино, наступает предел насыщения (коллапс) массы ядра, но неполной системы нейтрино.

За пределами зоны насыщения, массы ядра элементарного нейтрино образуются индуцированные сферические волны сжатия и разряжения в твердых. Индуцированные сферические волны сжатия и разряжения создают условия формирования однополярных и разнополярных скоплений (рис. 2).

Смысловое описание линейного взаимодействия разнополярных скоплений элементарных нейтрино, образующих волны сжатия и разряжения в волновой трубке, показано на рисунке (рис. 4).

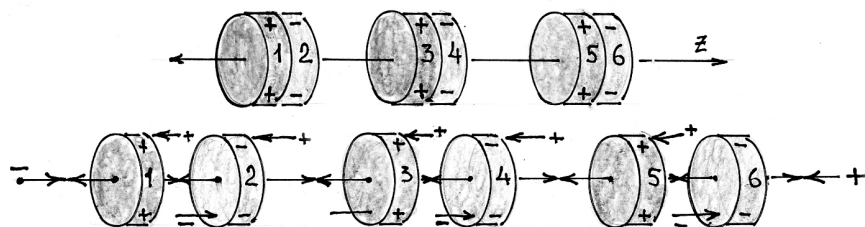


Рис. 4

В верхней части рисунка (Рис. 4) показано сближение отдельных элементарных нейтрино в готовности образовать волновую трубку совместного взаимодействия силами взаимного влияния разнополярных и однополярных элементарных скоплений на расстоянии.

В нижней части рисунка (Рис. 4) разнополярные и однополярные элементарные скопления в трёх нейтрино силами взаимного влияния на расстоянии разъединены на некоторое расстояние и образуют систему волн сжатия (частиц в скоплениях) и волн разряжения (пространство между скоплениями) в образованной линейной волновой элементарной трубке.

Реальное линейное образование волновых элементарных трубок происходит в замкнутых, змеевидных электрических цепях коллапсаров.

Силы сжатия между элементарными разнополярными зарядами и силы противодействия сжатию между элементарными однополярными зарядами выстраивают систему равновесия сил линейного взаимодействия элементарных нейтрино в коллапсарах.

Последовательное расположение разнополярных элементарных зарядов в линейном силовом противодействии создаёт суммарный электрический потенциал на концевых скоплениях.

Концевые разнополярные скопления (см. рис. 4) волновых элементарных трубок разделены пространством, геометрическим расположением в линейном взаимодействии.

У концевых разнополярных элементарных скоплений отсутствует продолжение контактной электрической цепи нейтрализации электрического потенциала волновой трубки во внутренней структуре.

Потенциалы разделённых концевых зарядов элементарных волновых трубок нейтрализуется через совместное индуцирование замкнутого электрического поля за пределами ядра.

Электрическое поле разъединённых зарядов известно как стороннее электрическое поле.

Индуцирование стороннего электрического поля в зарядовых системах создаёт суммарный электрический потенциал последовательно расположенных разнополярных элементарных зарядов в элементарных трубках на концевых зарядах противоположного знака.

Стороннее электрическое поле (спин) и магнитное поле систем едины и неразделимы в электромагнитном поле.



## Элементарные коллапсары

Семейство элементарных коллапсаров образуют элементарные нейтрино в первичных коллапсарах гамма-нейтрино, коллапсарах электронах и коллапсарах нуклонах.

Семь элементарных нейтрино в структуре геометрической семёрки образуют первичный элементарный коллапсар гамма-нейтрино, известный в физике как гамма квант.

Коллапсары гамма-нейтрино образуют семь трубок коллапсаров электронов. Коллапсары электроны образуют 49 трубок в коллапсарах нуклонах.

Какую объёмную форму имеют элементарные нейтрино? Идеальная геометрическая объёмная форма элементарного нейтрино – это шар (деформированный шар). Последовательное, линейное расположение элементарных нейтрино в волновых трубках коллапсаров деформирует объёмную форму элементарных скоплений (рис. 5).

Элементарные нейтрино входят в структуру гамма-нейтрино, и потому можно утверждать их реальное существование в структурных системах коллапсаров.

Физические проявления отдельных элементарных нейтрино и коллективов нейтрино реально существуют. Жёсткая и мягкая компоненты космической радиации, гамма-излучение и рентгеновское излучение содержат проявления элементарных нейтрино.

Силовое сжатие элементарных нейтрино в структурах коллапсаров деформирует форму шара, но не изменяет физических свойств нейтрино.

Расположение двух поляризованных скоплений в элементарном нейтрино определяет прямое и поперечное силовое электрическое влияние единой системы на окружающее пространство (см. рис. 2).

Физическое пространство электроконтактно, заполнено носителями электрических зарядов в наименьших частицах (образованиях) вещества, системных и индуцированных скоплениях.

Линейному построению элементарных нейтрино в прямых трубках противодействует увеличение длины волны разряжения с удалением от центра сжатия и разделённые разнополярные концевые заряды.

Увеличение длины волны разряжения между волнами сжатия препятствует силовому объединению, а разделённые разнополярные заряды силами взаимного притяжения изгибают линейное построение в кольцевое скопление.

## Элементарные коллапсары гамма-нейтрино

Совершенная система силового сжатия элементарных скоплений в элементарных нейтрино достигается в структурах коллапсаров. Известно, в окружность можно вписать семь равных окружностей, одна из них в центре. Первичный коллапсар, гамма-нейтрино, известен как гама-квант и состоит из семи элементарных нейтрино.

Универсальная система объединения элементарных нейтрино в коллапсаре гамма-нейтрино, совершенная система силового кольцевого и линейного сжатия показана на рисунке (Рис. 5).

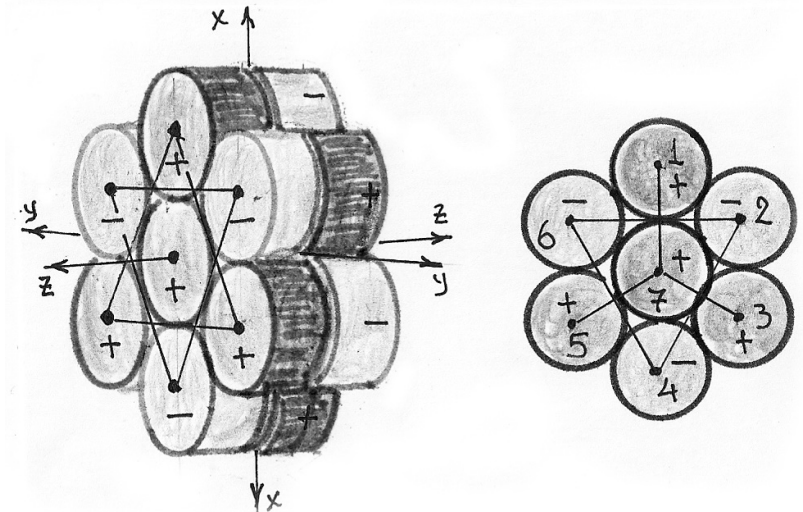


Рис. 5. Коллапсар гамма-нейтрино.

Первичный элементарный коллапсар объединил силами коллапсарного сжатия семь трубок элементарных нейтрино в единой трубке-семёрке, гамма-нейтрино.

Элементарные нейтрино расположены навстречу друг другу, однополярные знаки поляризации элементарных скоплений, расположенные в кольце, с каждой стороны коллапсара расположены в вершинах двух треугольников и совместно образуют форму шестиконечной звезды.

Электрическая цепь линейного построения разнополярных скоплений шести элементарных нейтрино в кольце семёрки гамма-нейтрино замкнута в змеевидной электрической цепи сжатия и нейтрализации потенциалов. Электрическая змеевидная цепь сжатия шести кольцевых элементарных нейтрино коллапсара гамма-нейтрино, замкнута, не имеет начала и не имеет конца.

Седьмые концевые скопления (рис. 5) с каждой стороны коллапсара по оси (z) разделены пространством по причине нечётности и геометрического расположения трубки в центре кольца.

Скопления в седьмой трубке отделены (разделены) геометрическим расположением от системы змеевидного сжатия и нейтрализации потенциалов в шести кольцевых трубках и не могут нейтрализовать собственный потенциал во внутренней электрической цепи коллапсара. По этой причине разделённые скопления (спиновые) обладают уникальным свойством электрического взаимодействия в окружающем пространстве, через индуцирование электрического стороннего поля.

Электрический потенциал нечётной, седьмой разделённой трубки (спин гамма-нейтрино), выстраивает собственную систему нейтрализации через индуцирование электрического поля самостоятельно или в совместных электрических цепях коллективных систем.

Нечётное количество концевых скоплений в семёрках, преобладание одного из знаков полярности элементарных скоплений с каждой стороны коллапсара образуют взаимным расположением звезды противоположного знака (рис 5, справа).

Выход, начало индуцирования стороннего поля разнополярными концевыми зарядами седьмой трубки, возможен в четырёх направлениях, через три параллельных направления звёзд из центра семёрок с каждой стороны гамма-нейтрино и через четвертое линейное (антипараллельное) направление, по оси (z) зет с каждой стороны, в противоположные стороны.

На рисунке (рис. 5) показаны семь элементарных скоплений, размещённых на площади круга, нечётное количество определяет поляризацию семёрки, показаны семёрка плюс и с обратной стороны расположена семёрка минус.

Разнополярность двух семёрок нейтрализована в коллапсаре гамма-нейтрино и проявляется при делении на две части. Деление элементарных коллапсаров гамма-нейтрино на две равные части в семёрках рождает разделённые, кулоновские элементарные заряды.

Элементарные, седьмые скопления в каждой семёрке разделённого на две части гамма-нейтрино индуцируют в окружающем пространстве электрическое поле, кулоновское электрическое поле.

Электрический потенциал концевых элементарных скоплений седьмой трубки создают два элементарных заряда плюс и минус в последовательной электрической цепи взаимодействия.

Вывод: электрический потенциал седьмой трубки гамма-нейтрино равен потенциалу двух разнополярных элементарных зарядов!

Известное в физике гамма-излучение – это не гамма-фотон, подобный гамма фотону оптического диапазона, а гамма-нейтрино, первичный коллапсар.

Истинное название семи элементарных нейтрино в двух совмещённых семёрках – элементарный коллапсар гамма – нейтрино.

Всего элементарных зарядов в гамма-нейтрино 14, в семи элементарных нейтрино по семь положительных и по семь отрицательных зарядов (рис. 5), но проявляются системно в электронах и позитронах (протонах) при делении гамма-нейтрино только два разнополярных элементарных заряда кулоновского электричества.

В кольце семёрки коллапсара существует закономерность силового взаимодействия двух треугольников в вершинах которых расположены центры однополярных элементарных скоплений, образующих форму шестиконечной звезды. Общая система двух треугольников, это гравитанты коллапсаров, индуцируют (создают) гравитационные электрические сферы в гравитационных твердых.

На рисунке (рис 5) центры положительных элементарных скоплений расположены в вершинах первого треугольника, а центры отрицательных элементарных скоплений расположены в вершинах

второго треугольника. Элементарные заряды в каждом треугольнике однополярные и потому потенциально создают силы разрушения, а совместно образуют силы созидания.

Линейно-кольцевое сжатие разнополярных элементарных скоплений сопровождается радиальным сжатием к центру и противодействием сжатию к центру, через седьмое элементарное скопление в центре кольца (рис. 6).

Система коллапсарного сжатия шести кольцевых элементарных скоплений гамма-нейтрино с седьмым скоплением в центре круга семёрки показана на рисунке (рис. 6).

На рисунке 6 (справа) показано взаимное противодействие однополярных элементарных зарядов, относительно друг друга в форме треугольника и звезды. Силы сжатия между разнополярными элементарными скоплениями в круге семёрки преобладают над силами противодействия сжатию.

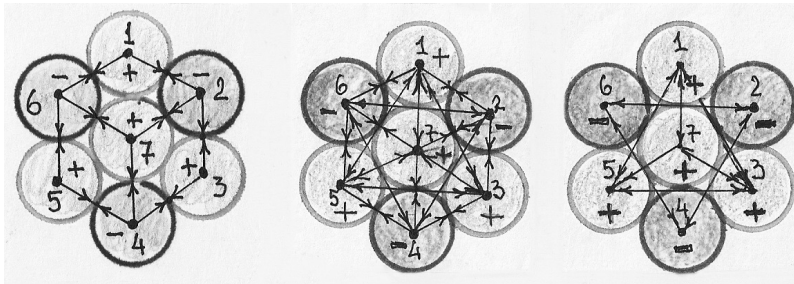


Рис. 6

*Силы сжатия. Общая система сил. Силы противодействия.*

Направление векторных сил сжатия между разнополярными элементарными скоплениями в круге коллапсара гамма-нейтрино показано отдельно на рисунке 6, слева.

Направления векторных сил противодействия сжатию в семёрке коллапсара между однополярными элементарными скоплениями показано отдельно на рисунке 6, справа.

Общая система векторных сил сжатия и противодействия сжатию между разнополярными и однополярными элементарными скоплениями в семёрках гамма-нейтрино показана на рисунке в центре (рис. 6).

Почему силы сжатия между элементарными скоплениями в круге семёрки преобладают над силами противодействия сжатию?

Сравним векторные силы сжатия и противодействия сжатию на рисунке 6. Силы притяжения к седьмому элементарному скоплению, 2,4 и 6 скоплений противоположного знака равны силам противодействия сжатию с седьмым скоплением 1,3 и 5 однополярных скоплений.

Силы сжатия в кольце семёрки, направление сил по рёбрам шестиугольника преобладают над силами противодействия сжатию в кольце, направление сил противодействия по рёбрам треугольников. Сжатие происходит в непосредственном контакте разнополярных элементарных скоплений, а противодействие сжатию однополярных в вершинах треугольников на расстоянии.

Силы сжатия каждого элементарного скопления в семёрке гамма-нейтрино осуществляются непосредственным контактом с двумя соседними элементарными скоплениями, а расположенные в вершинах треугольника – с тремя. На рисунке 6 (слева) скопления в вершинах треугольника образуют силы сжатия с седьмым элементарным скоплением.

В системе коллапсарных сил сжатия и противодействия сжатию в смысловом описании гамма-нейтрино не рассматриваются силы наибольшего сжатия семи трубок и всей системы элементарных нейтрино, магнетонами в свободных пространствах.

На рисунке 7 показаны семь элементарных скоплений в гамма-нейтрино и свободные пространства между трубками.

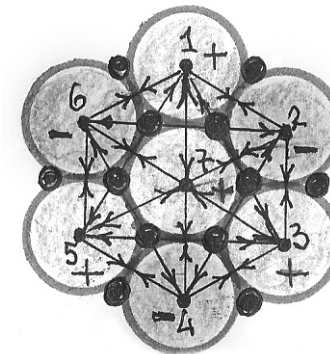


Рис. 7



В свободных пространствах между трубками, вокруг седьмой трубки индуцированы шесть полных магнетонов гамма-нейтрино, показаны на рисунке.

В свободных, не полных (открытых) пространствах индуцированы шесть неполных магнетонов. Неполные магнетоны гамма-нейтрино открыты для совместного силового действия с магнетонами других нейтрино.

Поляризаторы магнетонов состоят из шести индуцированных разнополярных скоплений субстанции, расположенных в вершинах двух треугольников, в свободных пространствах образуют полные и неполные трубки магнетонов.

Магнетоны обладают короткодействующими, коллапсарными силами, проявление сил известно в физике как ядерные силы. Структура магнетонов подробно рассматривается в описаниях коллапсаров электронов, нуклонов и в ядрах атомов.

Система силового противодействия сжатию однополярными элементарными скоплениями в структуре гамма-нейтрино допускает коллапсорное сжатие разнополярными элементарными скоплениями, но запрещает бесконечное сжатие.

На рисунке (рис. 6) однополярные заряды в вершинах двух треугольников, гравитанте гамма-нейтрино, противодействуют силам сжатия в кольцевой замкнутой системе и через центр, допускают коллапсарное сжатие системы, но противодействуют бесконечному сжатию.

Парадокс элементарных скоплений в семёрках гамма-нейтрино, расположенных в вершинах двух треугольников, противодействующих сжатию системы в геометрическом пространстве шестиконечной звезды и одновременно создающих преобладающее сжатие между разнополярными зарядами.

В описании элементарного нейтрино (рис. 2) рассмотрена принципиальная система индуцирования окружающего ядро пространства. Индуцированное пространство гамма-нейтрино, структура зарядовых твердей рассматриваются совместно в коллапсарах электронах.

Заключение зарядовой субстанции в плотную упаковку подобно замку, где ключом закрывания становится особая структурная ге-

ометрическая и силовая математическая форма сжатия, коллапсар (на рис. 7 показан один из элементов коллапсара, семёрка круга).

На рисунке (рис. 7) показана часть геометрической модели ключа, принципиальная общая силовая структура сжатия в кольце и через магнетоны, способна заключить субстанцию вещества в коллапсе.

Ключ-коллапсар закрывает разнополярные частицы субстанции в замке ада – не откроешь, ключ открывает замок ада – не закроешь!

А где замок ада закрывают? В пространствах, где созданы необходимые условия для коллапсирования зарядовых масс, в сферических генерирующих твердых звёздах и дугих системах сжатия и генерации.

Пугающие рассказы о страшных чёрных дырах, поиски следов большого взрыва, квантовая механика (физика), теория объединения четырёх взаимодействий и другие заблуждения отвергаются истиной.

Коллапс – это структурное сжатие элементарных скоплений и индуцированных скоплений частиц субстанции силами электрических зарядов противоположного знака до состояния абсолютной, коллапсарной, плотности вещества.

Электрическая силовая система сжатия коллапсаров объединяет четыре известных взаимодействия: сильное, электромагнитное, слабое, гравитационное и неизвестные в современной физике коллапсарные взаимодействия.

Коллапсары подразделяются на элементарные и индуцированные. Элементарные нейтрино образуют элементарные коллапсары, гамма-нейтрино. Гамма-нейтрино в семи гамма-трубках образуют коллапсары-электроны.

Коллапсары электроны в 49 трубках образуют коллапсары-нуклоны. Элементарные коллапсары известны как элементарные частицы и гамма-кванты.

О светлых силах созидających и сохраняющих видимый мир в древнем трактате Лао – Цзы (один из многих источников истины) «Дао дэ цзин» в повествовании о сотворении мира сказано: неисчерпаемая пустота рождает ОДНО, а одно рождает ДВА, два рождает ТРИ, а три – всё сущее. Что очень важное в послании потомкам (современным людям) рассказали знающие истоки истины?

В настоящем смысловом описании истоков истины раскрыта тайна о сотворении мира, описанная в короткой форме (формула создания мира) в древнем трактате Лао-Цзы.

На современном языке физики описание сотворения мира можно сформулировать так: материя бесконечного Космоса неисчерпаема, пространство поляризовано в носителях электричества противоположных знаков – частицах субстанции.

Частицы субстанции силами притяжения разнополярных зарядов в особых условиях сжатия и тепла (генерации заряженных частиц) образуют разнополярные элементарные скопления в системе элементарного нейтрино.

Рождённая система сжатия, элементарное нейтрино, это ОДНО. Разъединение одного элементарного нейтрино электроразделительными силами на два элементарных разнополярных скопления линейного взаимодействия и объединение элементарных скоплений в системе двух треугольников семёрки гамма-нейтрино, – это ОДНО рождает ДВА.

Элементарные скопления образуют систему двух треугольников, гравитанты. ТРИ элементарных скопления плюс и ТРИ элементарных скопления минус в вершинах двух треугольников индуцируют электрическое гравитационное поле.

ДВА элементарных разнополярных скопления в элементарных нейтрино образуют новую систему взаимодействия в двух треугольниках шестиконечной звезды, это есть формула ДВА рождает ТРИ! А ТРИ рождает всё СУЩЕЕ.

Сокровенное ОДНО, ДВА и ТРИ рождает всё СУЩЕЕ через силовое сжатие частиц зарядовой субстанции в последовательной цепи преобразований первичных элементарных коллапсаров гамма-нейтрино в электроны, а электронов в нуклоны.

## Элементарные коллапсары-электроны

Название элементарные коллапсары вместо названия элементарные частицы отражает истинную структурную характеристику самостоятельных стабильных скоплений вещества.

Коллапсары-электроны, общее название, подразделяются на нейтральные (нормальные) электроны, электроны минус, электроны плюс (позитроны).

Система из двух электронов в составе потенциального электрона минус и позитрона образует нейтральную систему – двойное электронное нейтрино, электрон-позитронное нейтрино.

Где происходит рождение (синтезирование) элементарных коллапсаров электронов?

Ближайшее к Земле место, где происходят процессы образования элементарных нейтрино, коллапсаров гамма-нейтрино, электронов и нуклонов из скоплений разнополярных элементарных частиц субстанции – это генерирующие гравитационные сферы Солнца (видимый огненный объём).

Элементарные нейтрино в первичных элементарных коллапсарах гамма-нейтрино образуют семь структурных гамма-трубок коллапсара электрона.

На рисунке (рис. 8) показан общий вид коллапсара электрона. В каждой гамма-трубке коллапсара электрона по семь элементарных трубок, всего в коллапсаре 49 элементарных трубок.

Знаки поляризации элементарных скоплений в семёрках гамма-трубок в каждом слое меняются на обратные.

В свободных пространствах коллапсара электрона, вокруг центральной гамма трубки, индуцированы полные трубки магнетонов, помеченные на рисунке 8 цифрами от одного до шести, и на периферии индуцированы неполные, открытые магнетонные шесть трубок, помеченные на рисунке буквами (н).

Свободные от системных скоплений пространства между семёрками заполнены индуцированными скоплениями в коротких силовых линиях между системными элементарными скоплениями противоположного знака поляризации в магнетонах.

Структура коллапсара электрона открывает природу элементарных зарядов и слабых взаимодействий, физическую сущность образования и аннигиляции электрон-позитронной пары.

Структура коллапсаров электронов открывает природу короткодействующих коллапсарных, ядерных сил в магнетонах. Неполные трубки магнетонов в коллапсарах электронах обладают открытыми

для совместных действий, короткодействующими коллапсарными силами и помечены буквами н (неполный).

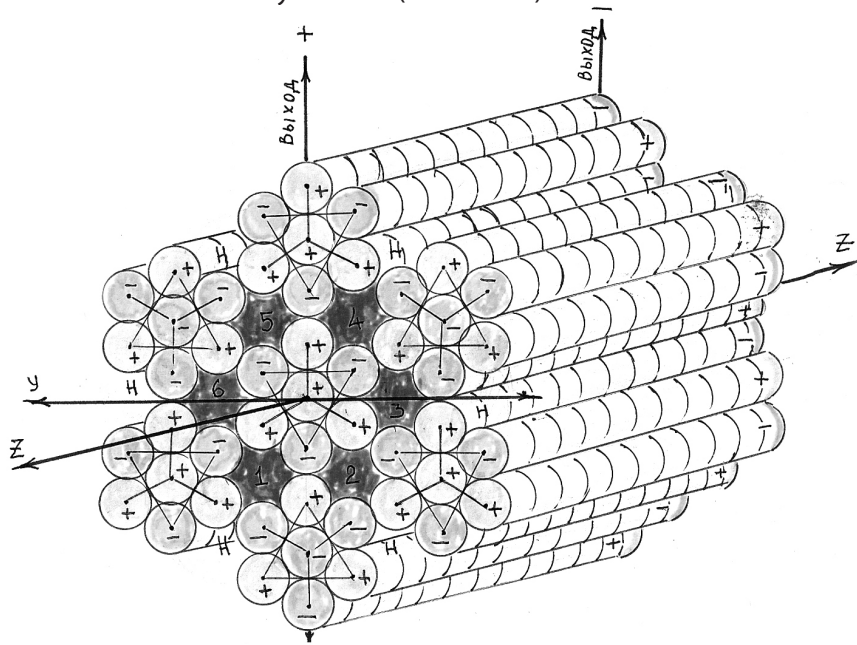


Рис. 8. Общий вид коллапсара электрона.

Показаны 49 элементарных трубок (49 трубка в центре) в семи гамма-трубках коллапсара электрона. Вокруг центральной, седьмой, гамма-трубки расположены шесть полных трубок индуцированных магнетонов, показаны цифрами от 1 до 6, а на периферии показаны места неполных трубок магнетонов, помеченные на рисунке буквами (н).

Строительство, силовое сжатие первичных коллапсаров гамма-нейтрино в семи гамма-трубках системы коллапсара электрона происходит в особых условиях генерирующих сфер звёзд.

Абсолютно нейтральных коллапсаров электронов не существует, стороннее электрическое поле и гравитационное электрическое поле нейтрализовать нельзя. Название «нейтральный» необходимо в последующем заменить на новое реальное определение состояния коллапсара, например, нормальный.

Коллапсары электроны подразделяются на нейтральные (нормальные) ( $e^0$ ), электроны минус ( $e^-$ ) или просто электроны и электроны плюс ( $e^+$ ), позитроны.

Суммарный электрический заряд 49 элементарной разделённой трубки нормального электрона имеет равное, чётное количество элементарных зарядов противоположного знака. Электроны плюс и позитроны в разделённых 49 трубках имеют нечётное количество элементарных зарядов противоположного знака.

Потенциальные коллапсары электроны ( $e^-$ ) и потенциальные коллапсары позитроны ( $e^+$ ), образуют систему электронного нейтрино,  $e^- + e^+ = 2e$ .

Деление электрон-позитронного нейтрино в результате столкновения, например, с гамма-нейтрино образует электрон-позитронную пару.

Сближение электрона и позитрона и восстановление равенства зарядов противоположного знака в 49 элементарных трубках коллапсаров (разряда элементарных зарядов в электроне и позитроне) образует два нейтральных электрона.

Нет в природе взаимодействия процесса аннигиляции электрон-позитронной пары (уничтожение пары), временное соединение электрона и позитрона образует два нейтральных электрона.

Суммарно электронное нейтрино имеет двойную массу нейтрального электрона ( $e^0$ ), почему нейтрального? Масса электрона минус ( $e^-$ ) превышает массу нейтрального электрона на  $\frac{1}{2}$  массы гамма-нейтрино, или на 7 масс в элементарных скоплениях ( $e^- = e^0 + 7m_{\text{эс}}$ ).

Масса электрона плюс, позитрона ( $e^+$ ) меньше массы нейтрального электрона на  $\frac{1}{2}$  массы гамма нейтрино ( $e^+ = e^0 - 7m_{\text{эс}}$ ).

Масса электрона минус больше массы позитрона на массу 1 гамма-нейтрино или на 14 масс в элементарных скоплениях, суммарный заряд в электроне превышает суммарный заряд в позитроне на 14 элементарных зарядов. Возможны случаи образования лёгких электронов и тяжёлых позитронов, когда масса электрона меньше массы позитрона на 14 элементарных скоплений.

Деление одного концевое гамма-нейтрино в седьмой (центральной) гамма-трубке позитрона на две семёрки и захват  $\frac{1}{2}$  части

гамма-нейтрино седьмой гамма-трубкой электрона минус образует электрон-позитронную пару в нейтроне с образованием протона и электрона.

Электрон-позитронная пара может находиться в непосредственном силовом контакте системы электронного нейтрино  $2e$  или на расстоянии, когда позитрон находится в протоне, а электрон записывается неподвижно в зарядовой тверди протона.

Электрон в атоме водорода расположен в силовой электрической цепи нейтрализации разделённого суммарного заряда 49 трубки и потому не может совершать орбитальных движений вокруг ядра.

Генерирующие гравитационные тверди в волнах сжатия и волнах разряжения движущихся электронов – это и есть природа волн де Бройля. Коллапсары электроны не создают электронных облаков, неподвижны (относительно неподвижны) в силовой структуре атомов.

Силовая электрическая связь между позитроном и электроном, равная потенциально силам притяжения между двумя разнополярными элементарными зарядами, образует слабое взаимодействие.

Природа слабого взаимодействия между двумя элементарными зарядами на носителях электронах и позитронах электрическая. Слабое взаимодействие проявляется и между однополярными элементарными зарядами, например, между двумя электронами минус или между позитронами.

В природе происхождения слабого взаимодействия прослеживается закономерная последовательная цепочка превращений заряженных частиц субстанции в интегрированных скоплениях – элементарных нейтрино (элементарных скоплениях), гамма-нейтрино, коллапсарах электронах и нуклонах.

Природа четырёх известных взаимодействий и коллапсарных – электрическая. Все взаимодействия рождаются в коллапсарах, едины и неразделимы в структурных системах коллапсаров и индуцированных твердях.

Скопления в элементарных трубках не имеют резких геометрических границ, показанных на идеализированных рисунках. Волновая природа происхождения элементарных скоплений в гамма-

трубках и индуцированных скоплениях гравитационных твердей скрывает геометрические границы переходов.

Электрическое силовое взаимодействие разнополярных и однополярных скоплений в семи гамма-трубках коллапсара электрона образует три системных вида проявления электричества – разнополярное, однополярное и разделённое.

Смысловое описание проявлений электричества разнополярными элементарными зарядами, однополярными элементарными зарядами и разделёнными (спин) зарядами рассмотрим в структуре условных гексагональных трубок коллапсара. На рисунке 9 показаны семь элементарных трубок в единой трубке гамма-нейтрино.

Скопления в семи элементарных трубках расположены в гексагональной системе взаимодействия, гексагональной трубке (шесть скоплений в семёрках расположены в вершинах шестиугольника).

На рисунке (рис. 9) разнополярные элементарные скопления расположены прямо в элементарных трубках, показаны разными цифрами, кроме элементарных скоплений в седьмой трубке, например: элементарная трубка 1,6,5,4 или 2,1,6,5 и остальные четыре трубки аналогично.

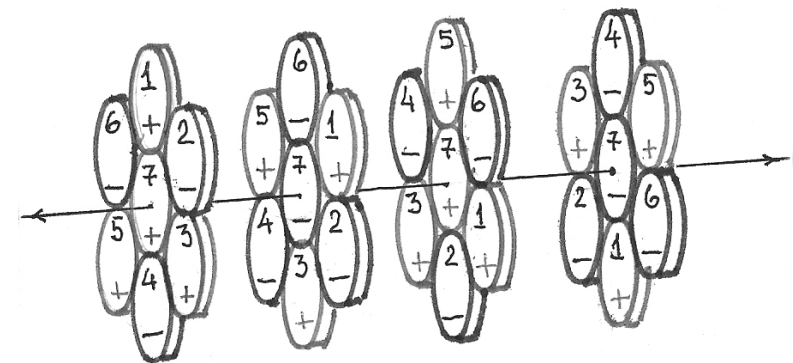


Рис. 9

На рисунке 9 показано структурное расположение элементарных разнополярных и однополярных скоплений относительно друг друга в условной гексагональной гамма трубке коллапсара электрона.



Показаны четыре семёрки (два гамма-нейтрино) в одной из семи гамма трубок коллапсара электрона для объяснения сути прямого и диагонального взаимного расположения разноимённых и одноимённых элементарных скоплений.

Для удобства смыслового описания и наглядности элементарные скопления в семёрках показаны на рисунке (рис. 9) на некотором расстоянии, развёрнуты.

Седьмая элементарная трубка в каждом отдельном гамма-нейтрино и 49 элементарная трубка в электроне нечётные, имеют особый статус трубок разделённых зарядов (спин).

Геометрическое расположение нечётных трубок на оси (z) определяет статус разделённой трубки. Например, на рисунке 8 показаны семь нечётных трубок в центре каждой гамма-трубки, но статусом разделённой обладает только 49 элементарная трубка в центре коллапсара электрона, расположена на оси (z).

Однополярные элементарные скопления в шести элементарных трубках располагаются спирально и показаны одной и той же цифрой в каждой из четырёх семёрок. Например, спиральная трубка скоплений плюс – 1,1,1,1 или трубка скоплений минус 2,2,2,2 и далее аналогично.

Электрические потенциалы однополярных элементарных скоплений, расположенные в шести гамма-трубках спирально (диагонально), индуцируют в противоположные стороны систему сферических гравитационных твердей собственным подобием в системе двух треугольников.

Индукирование пространства электрическими потенциалами в противоположные стороны по оси (z) шестью спиральными однополярными скоплениями в системе двух треугольников создаёт систему индуцированных гравитационных сфер. Семь элементарных скоплений в семёрках гамма трубки образуют систему взаимодействия треугольник – звезда (см. рис 10-а).

Полярность трёх элементарных скоплений в вершинах треугольников и полярность четырёх элементарных скоплений в звёздах меняется на противоположное значение по всей длине гамма-трубки.

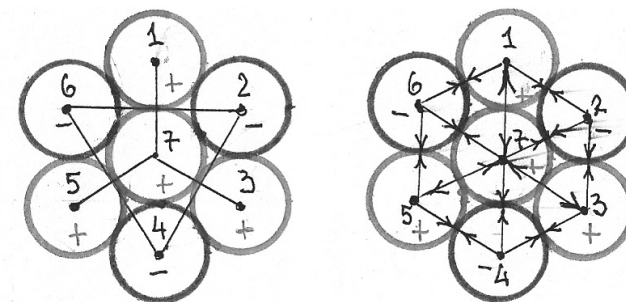


Рис 10

а)

б)

Системное неравенство зарядов противоположного знака в семёрках нейтрализуется парным взаимодействием в гамма-нейтрино.

Общее количество семёрок в гамма-трубках, нейтральных коллапсаров электронов имеет чётное число в нейтрализованных парах (на рис. 9 показаны две нейтрализованные пары).

Векторное равновесие сил в состоянии коллапса концевых элементарных скоплений в семёрках гамма-нейтрино показано на рисунке (рис. 10 б).

Седьмое концевое скопление (спин) в центре круга не изменяет систему парадоксов двух треугольников, отделено (разделено) геометрическим расположением от совместного электрического действия с концевыми скоплениями в шести окружающих трубках.

На рисунке (рис. 10 б) векторные силы действия (сжатие) и векторные силы противодействия сжатию нейтрализованы в общей системе равновесия сил.

Элементарные скопления в вершинах треугольника 2,4,6 взаимодействуют одновременно с четырьмя элементарными скоплениями противоположного знака в центре и вершинах звезды.

Одноимённые (положительные) элементарные скопления 1,3,5 в вершинах звезды противодействуют сжатию силами однополярности с седьмым элементарным скоплением и потому находятся дальше от центра, чем элементарные скопления противоположного знака в вершинах треугольника, деформируют идеальную систему круга.

Соединим прямыми линиями центры шести элементарных скоплений в круге, образуется геометрический шестиугольник в углах которого и в центре располагаются элементарные скопления. Такое геометрическое расположение семи взаимодействующих элементарных скоплений известно как элементарная ячейка гексогональной кристаллической решетки.

Название «гексогональная кристаллическая решетка» элементарных скоплений гамма-трубки (рис. 11), состоящего из шести элементарных ячеек (показано шесть), дано для размышления о подобии и сравнения.

Изменение полярности звезды и треугольника в каждой последующей семёрке изменяет пространственное взаимное расположение однополярных скоплений на угол в 60 градусов.

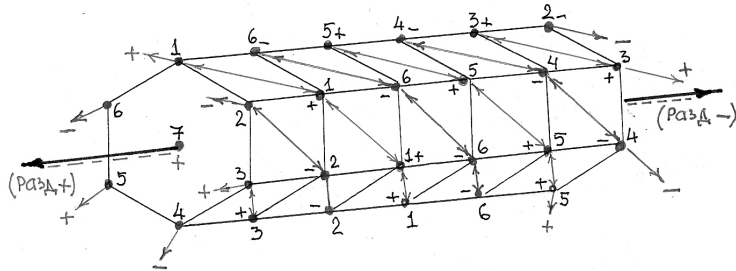


Рис. 11

На рисунке (рис. 11) показано изменение взаимного расположения элементарных однополярных скоплений (цифра 1) в гамма-трубке, во второй элементарной гексогональной ячейке повернута на 60 градусов, в третьей – на 120 и в четвертой – на 180 градусов.

Полный оборот на 360 градусов спирального, однополярного взаимодействия происходит в каждой семи ячейках кристаллической решетки гамма-трубки.

Последовательное изменение полярности семёрок в гамма-трубке создаёт системное геометрическое взаимное расположение однополярных элементарных скоплений в гравитационных трубках (название условное) по диагоналям квадратов, спирально.

В трёх гравитационных трубках противодействуют между собой положительные элементарные заряды и в трёх гравитационных

трубках противодействуют отрицательные элементарные заряды, расположенные по диагоналям квадратов. Концевые скопления гравитационных трубок образуют систему двух треугольников с противоположных сторон гамма-трубки.

На рисунке 11 показаны шесть однополярных спиральных (условно спиральных) гравитационных трубок, электрические потенциалы которых индуцируют пространство в сферах в двух противоположных направлениях и объединяют общую систему индуцирования зарядовых твердей.

В шести элементарных трубках (седьмая в центре) элементарные скопления расположены относительно друг друга одновременно прямолинейно, это разнополярные скопления, и не прямолинейно, по диагоналям квадратов (рис. 11), это однополярные скопления. Взаимное расположение однополярных элементарных скоплений по диагоналям (диагональное противодействие сжатия однополярных скоплений) названо спиральным противодействием.

Системные однополярные элементарные скопления в спиральных структурах противодействия индуцируют гравитационные электрические сферы, расположение однополярных скоплений в вершинах двух треугольников названо гравитантами.

Индукцированные разнополярные скопления в свободных пространствах коллапсара электрона взаимодействуют также в системе двух треугольников и названы магнетонами. В свободных пространствах магнетоны объединены в магнетонные полные и неполные трубки коллапсаров электронов (рис. 8).

Какие отличия имеют системные элементарные скопления и индуцированные скопления?

Элементарные разнополярные скопления созданы собственными силами притяжения в элементарных нейтрино в особых условиях синтеза между разнополярными частицами субстанции. Элементарные скопления в элементарном нейтрино потенциально обладают элементарными зарядами и разделёнными зарядами.

Элементарные скопления создают системы индуцированных скоплений в окружающем пространстве коллапсаров и в свободных магнетонных пространствах внутренней системы коллапсарного сжатия.

Индукцированные скопления в свободных пространствах не обладают элементарными зарядами, выстраивают собственную систему взаимодействия в системе двух треугольников, магнетоны и трубки магнетонов в коллапсарах электронах.

Магнетоны в трубках индуцируют пространство по оси (z) в противоположные стороны коллапсара электрона, потенциальные магнитные силовые линии.

Суммарный гравитационный потенциал гравитантов коллапсаров и потенциально всех системных элементарных скоплений, индуцирует гравитационное электрическое поле, обладающее гравитационной Гр ЭДС (гравитационной электродвижущей силой индукционирования).

Структурное расположение системных разнополярных элементарных скоплений в вершинах двух треугольников создаёт одновременно систему сил действия и противодействия сжатия.

Определённое расположение элементарных скоплений в семёрках гамма трубок коллапсара электрона и в общей системе коллапсарного сжатия имеет признаки известных элементов симметрии, плоскость симметрии, ось симметрии и центр симметрии. Элементы симметрии определяются относительной величиной и расположением координатных осей, мысленно проводимых внутри закрытой структуры коллапсара.

Структура гамма-трубки подобна гексагональной системе (см. рис. 12) и имеет четыре оси: три из них одинаковой длины и расположены в одной плоскости под углом 60 градусов друг другу, а четвёртая, главная – может быть короче или длиннее и располагается перпендикулярно к их плоскости.

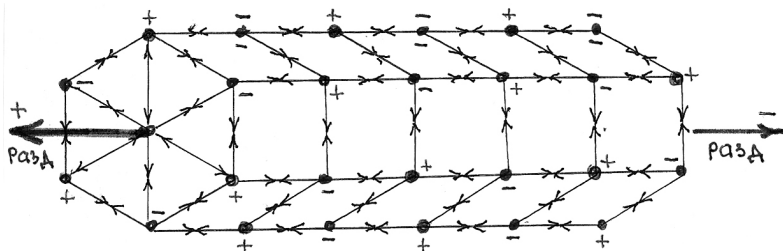


Рис. 12

Практическое использование четырёх координатных осей гексагональной системы на примере структуры гамма-трубки не отражает физическую сущность и полную структуру коллапсаров с индуцированными твердями, и потому необходима другая система координатных осей.

На рисунке (рис. 13-б) показана плоскость осей (x,y), три оси (x) и три оси (y), проходящие через центр, расположенные под углом 90 градусов.

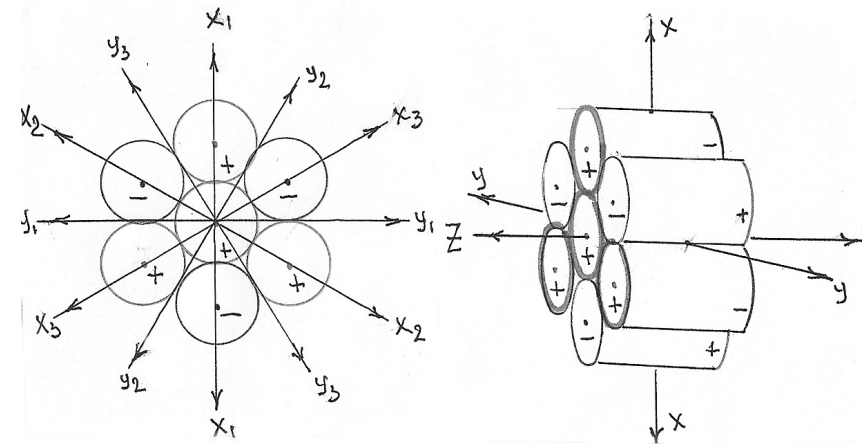


Рис. 13

Три оси (x) и три оси (y) – это возможные варианты расположения осей, связанные с нейтрализацией общего потенциала седьмой трубки (спин) через одно из трёх направлений (оси x1, x2, x3) выхода звезды. Четвёртое направление выхода стороннего поля показано на противоположные стороны по оси z (см. рис 13-а).

Электрический потенциал разделённых концевых элементарных зарядов седьмой трубки в отдельных гамма-нейтрино и 49 элементарной трубки в коллапсаре электрона нейтрализуется через внешнюю электрическую индуцированную цепь в стороннем электрическом поле самостоятельно или совместно в коллективных системах.

Особенности расположения осей (x,y), ось икс всегда проходит через центры скоплений, а игрек всегда проходит меж-

ду скоплениями, пересекает только центральное седьмое (см. рис. 13). На общем (элементарные трубки в семи гамма-трубках не показаны) рисунке 13-а показано возможное расположение координатных осей в структуре коллапсара электрона.

Мудрая система гравитационного электрического индуцирования коллапсарами совершенна в структуре собственных или совместных постоянно распространённых зарядовых твердей.

Коллапсары электроны самостоятельно или в структуре нуклонов создают собственные или совместные гравитационные тверди, обладающие суммарной ГрЭДС.

Каким образом структура коллапсаров электронов создаёт условия гравитационного индуцирования разнополярных скоплений в окружающем пространстве?

Однополярные элементарные скопления в вершинах одного отдельно взятого треугольника – антогонисты, а в единой системе двух

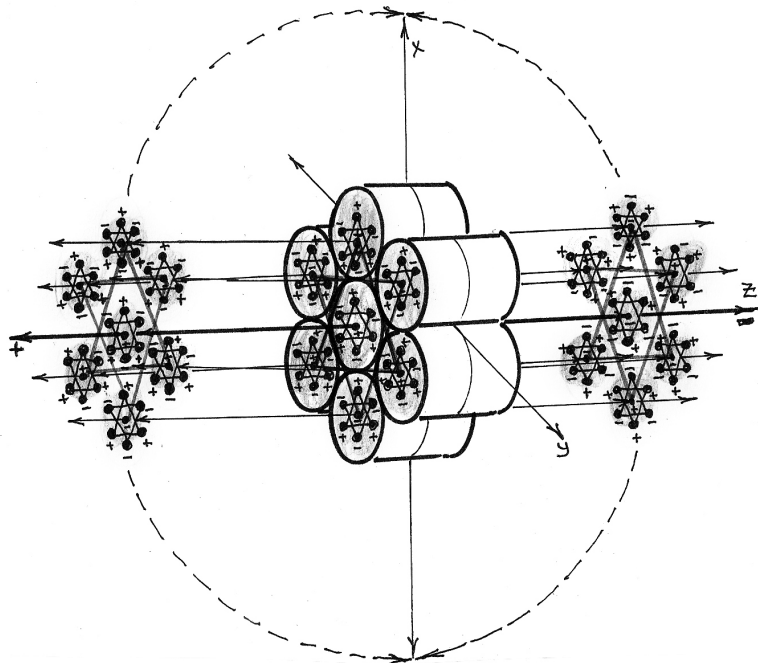


Рис. 14

треугольников обладают признаками притяжения, любви друг другу.

Где существует подтверждение формулы создания мира в древнем трактате, источнике истины – ОДНО рождает ДВА, ДВА рождает ТРИ а ТРИ рождает всё сущее.

Каким образом ТРИ, три элементарных скопления одного знака полярности и три элементарных скопления противоположного знака полярности, совместно рожают всё сущее?

На рисунке (рис. 14) показаны семь гамма-трубок коллапсара электрона, точками показаны центры элементарных скоплений и центры индуцированных скоплений. Векторами показано направление силового гравитационного индуцирования в противоположные стороны по оси зет, исходящие от седьмых концевых скоплений гамма-трубок, расположенных в центре двух треугольников, гравитантов электрона. Показаны (рис 14) семь концевых гравитантов в гамма-трубках (малые треугольники в гамма-трубках) и один общий, системный гравитант электрона (два больших треугольника). На рисунке 14 справа и слева от коллапсара электрона показаны индуцированные гравитоны в полярных направлениях по оси зет.

В коллапсарах система двух треугольников названа гравитантом, а индуцированная система двух треугольников в гравитационных сферах названа гравитонами. Скопления в вершинах индуцированных малых треугольников – это гравитоны, индуцированные гравитантами в семи гамма-трубках; скопления в вершинах больших треугольников – это системный гравитон коллапсара электрона.

Какое главное отличие системного гравитанта электрона (большие треугольники) от гравитантов гамма-нейтрино в гамма-трубках?

Системный гравитант электрона образован шестью концевыми скоплениями седьмых гамма-трубок! Статусом разделённого заряда они не обладают, только 49 трубка элементарных скоплений в центре коллапсара электрона разделена геометрическим расположением и индуцирует стороннее электрическое поле. Геометрическое расположение элементарной трубки на оси зет определяет свойство разделённых концевых скоплений.

В свободных полных и неполных пространствах коллапсара электрона (рис. 14) структура магнетонов не показана. Индуциро-



ванные скопления в магнетонах образуют систему силового коллапсарного сжатия (рис. 16).

У частиц магнетонов нет препятствия сжатию к центру, нет седьмого скопления в центре магнетона, и потому они обладают максимальными коллапсарными (ядерными) силами сжатия.

На рисунке 14 векторами показана система коллапсарного сжатия в пространствах полных магнетонов между гравитонами в сфере. Полная структура магнетонов в коллапсарах и индуцированных магнитных силовых линиях показана отдельно на рисунке 19.

Индукцированные магнетоны в магнитной силовой линии также не имеют седьмого скопления в центре. Индукцированные магнитные силовые линии обладает большим коллапсарным сжатием индуцированных скоплений к осевому центру и упругостью силовых линий.

Седьмые скопления в гравитантах и гравитонах на рис. 14 противодействуют силовому сжатию в семёрках. Гравитанты обладают меньшими силами сжатия, чем магнетоны, и не могут создавать магнитные силовые линии.

На рис. 14 не показаны все векторы сил отталкивания однополярных частиц субстанции, показаны векторы от седьмых скоплений гравитантов гамма трубок и векторами показано, одно из четырёх направлений индуцирования стороннего поля разделённой 49 трубкой в коллапсаре электрона.

Индукцированные полярные гравитоны выстраивают собственное подобие в полусферах (направление индуцирования гравитонов в полусферах показано силовыми линиями в кольцах). На рисунке 14 показано, как полярные полусферы смыкаются в плоскости нейтрализации коллапсара электрона (плоскость осей  $x, y$ ).

Сжатие скоплений, в полных магнетонах не позволяет индуцировать поперечно в полусферах собственное подобие, и это причина существования нейтральных пространств у магнитов.

Достаточные расстояния между индуцированными скоплениями в гравитантах сфер позволяют индуцировать собственное подобие радиально и в поперечной плоскости.

Магнетоны в магнитных силовых линиях первой сферы индуцированы скоплениями в трубках магнетонов коллапсара и индуцированными разнополярными скоплениями в гравитонах сфер.

Малые расстояния между частицами образуют сгусток частиц в магнетонах (отсутствует препятствие сжатию в центре), не позволяют индуцировать поперечно собственное подобие.

Количество полных магнетонов в коллапсаре электрона определяет количество системных силовых линий, всего 6 полных потенциальных магнитных силовых линий. Системные силовые линии образованы структурой коллапсара, их шесть полных и шесть неполных. Магнетоны в гамма-трубках, по шесть в каждой, всего 42 магнетона, на рисунке сферы не показаны.

Почему дано определение «потенциальные магнитные силовые линии»? Магнитные силовые линии теряют свойство магнетизма при температуре (генерации в твердых) близкой температуре абсолютного холода и становятся просто электрическими.

Индукцированные полусферы образуют единую электрическую сферу нейтрализации потенциалов однополярных (гравитационных) спиральных трубок. Первая сфера нейтрализует диагональное противодействие однополярных зарядов в гамма-трубках и в трубках гравитанта электрона (рис 15).

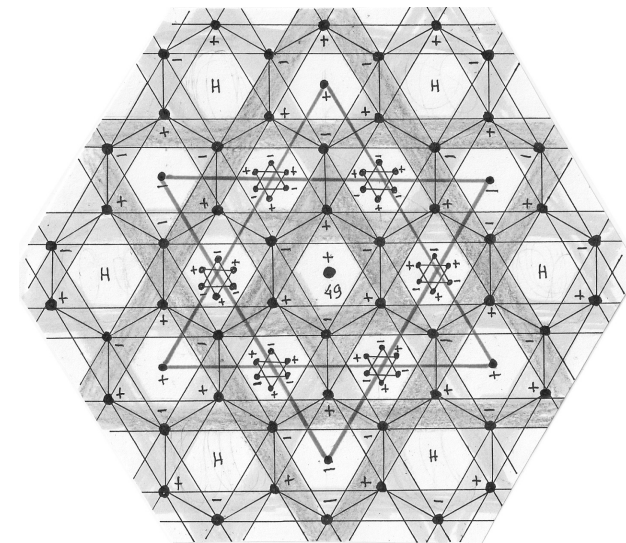


Рис. 15. Индуцированная гравитационная сфера коллапсара нейтрального электрона.

Структурное, геометрическое расположение индуцированных скоплений в полярной полусфере образует полное подобие геометрического расположения элементарных скоплений в коллапсаре электрона.

Индукцированные скопления в гравитонах образуют силовые замкнутые гравитационные кольца (гравитационные силовые линии) сферы в трёх направлениях (рис. 15). Сила сжатия между разнополярными скоплениями в замкнутых кольцах сферы преобладает над силами противодействия сжатию между однополярными скоплениями, расположенных на больших расстояниях друг от друга.

На рисунке 15 показана полярная часть полусферы коллапсара электрона. В вершинах больших треугольников расположены шесть индуцированных гамма-гравитонов и в центре треугольников седьмой гамма-гравитон.

В центре седьмого гравитона расположено 49 скопление, индуцированное элементарным скоплением в разделённой трубке коллапсара электрона.

Вокруг седьмого гамма-гравитона (рис. 15), показаны индуцированные скопления в шести полных магнетонах, расположенные в вершинах шестиконечных звёзд и радиально далее не полные индуцированные магнетоны.

Скопления в полных магнетонах сферы индуцированы однополярными скоплениями магнетонов коллапсара, расположенные в системах двух треугольников. Магнетонные, полные трубки в коллапсаре электрона, продолжают в структурах замкнутых магнитных силовых линий. Силовые линии смыкаются в плоскости нейтрализации (плоскость экватора) и замкнуты магнетонными трубками коллапсаров.

Почему не показаны скопления в неполных магнетонах? Частичное индуцирование скоплений в неполных магнетонах не достаточно для образования устойчивых плотных скоплений.

Мутирующие короткодействующие силовые линии в неполных открытых магнетонах создают вихревое магнитное поле и токи смещения разнополярных частиц субстанции.

Временные вихревые силовые линии возникают и распадаются, заряды разнополярных частиц субстанции во временных мутирую-

щих линиях генерируют переменное магнитное поле, смещаются относительно друг друга, образуют токи смещения и создают природу образования тепла и теплового магнетизма.

На рисунке 15 не показаны гамма-магнетоны в гамма-трубках, почему? Каждая гамма трубка в коллапсаре электрона имеет по шесть полных собственных магнетонов и не имеет собственных неполных магнетонов!

Короткодействующие силы гамма-магнетонов в отдельном гамма-нейтринно образуют полные и неполные магнетоны, а в общей структуре коллапсара электрона (рис. 16) неполные гамма-магнетоны принадлежат структуре электрона.

На рисунке 16 показана силовая система сжатия скоплений в 49 трубках коллапсара электрона. Точками показаны полные гамма магнетоны в семи гамма-трубках.

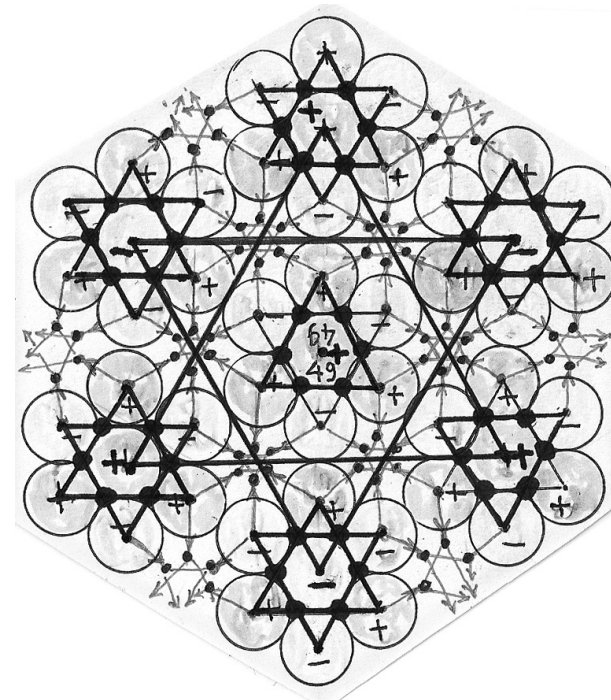


Рис. 16

Существует закономерность расположения магнетонов в структурах гамма-нейтрино и коллапсарах электронов, стороны треугольников в гравитантах пересекают полные магнетоны.

Количественный закон определения коллапсарных (ядерных) сил сжатия утверждает: стороны треугольников в гравитанте пересекают 6 полных системных центров магнетонов.

Например, системные магнетоны гамма-нейтрино пересекают стороны малых треугольников, а системные магнетоны электрона пересекают стороны больших треугольников (рис. 16).

Стороны треугольников гравитанта электрона (большие треугольники) пересекают полные гамма магнетоны (рис. 16).

Подобно неполным магнетонным трубкам коллапсара электрона, короткодействующие силы полных магнетонов в гамма-трубках индуцируют вихревые магнитные силовые линии.

Переменное вихревое магнитное поле и токи смещения разнополярных частиц субстанции, создаваемые в неполных пространствах коллапсара электрона и системными магнетонами в гамма-трубках, нарушают устойчивость магнитных силовых линий электрона, создают состояние хаоса в магнитном поле.

Малые расстояния между разнополярными частицами в первичных магнетонных гамма-скоплениях не позволяют индуцировать устойчивое подобие в пространстве сферы. На рисунке 15 показана принципиальная, идеализированная схема индуцирования сферы разнополярными скоплениями в коллапсаре электрона и закономерное расположение устойчивых магнитных силовых линий, индуцированных полными магнетонами.

Реальная, не идеализированная сфера всегда имеет признаки зависимости от силового влияния индуцированных сфер окружающих подвижных гравитационных систем, деформирована собственным сторонним электрическим полем, вихревыми электромагнитными полями. Разнополярные частицы субстанции в структурных скоплениях индуцированной сферы находятся в состоянии теплового электромагнитного движения.

Гравитационные зарядовые сферы электрона самостоятельно и в коллективах систем создают силы сжатия между сферами и силы противодействия сжатию, формируют волны сжатия и разряжения, зарядовые тверди.

Направленное движение коллапсара электрона вызывает взаимные электромагнитные изменения, генерацию в структуре собственных зарядовых твердей и в электроконтактных окружающих твердях.

Генерирующие собственные зарядовые тверди в волнах сжатия и разряжения движущегося электрона и генерация зарядовых электроконтактных окружающих твердей, образующих затухающий электромагнитный след движения электрона, формируют собственную и совместную силовую систему ответного противодействия в затухающих электромагнитных волнах де Бройля.

Зарядовые тверди подобны некой коллективной пружине, изменение равенства сил в сформированной зарядовой тверди вызывает ответное силовое противодействие. Постоянно распространённые гравитационные зарядовые тверди в любой точке космического пространства противодействуют изменению силы токов (движению тел, зарядовых масс), изменению электромагнитных волн и гравитационным силовым изменениям в системах.

Однополярные элементарные заряды в двух разнополярных блоках систем двух треугольников коллапсара электрона нейтрализуются в электрических цепях первой индуцированной сферы. Разнополярные заряды в скоплениях первой сферы становятся концевыми и требуют собственной нейтрализации.

Далее, в системе нейтрализации гравитационных сфер действует закон космического индуцирования пространства, каждая сфера индуцирована предыдущей и сама индуцирует последующую сферу. Силы сжатия между разнополярными скоплениями в ближайших сферах создают общую сферическую волну сжатия.

Суммарные потенциалы однополярных скоплений в сферической первой волне сжатия силами противодействия сжатию в обратные стороны создают два свободных пространства, волну разряжения до начала следующей, второй, волны сжатия и сферическую волну разряжения между коллапсаром и первой сферой.

Силы противодействия сжатию однополярных зарядов в любой волне сжатия направлены радиально и к центру, в обратные стороны, по этой причине волна разряжения образована силами противодействия сжатию однополярных скоплений в двух ближайших волнах сжатия.

В коллапсаре, нейтральном электроне ( $e^+$ ), равное количество разнополярных элементарных зарядов в скоплениях. При равенстве зарядов противоположного знака систему принято считать скомпенсированной, нейтральной. Истина даёт иной ответ, нейтральных систем не существует! Коллапсары нейтральные электроны индуцируют всегда окружающее пространство гравитационным электрическим полем и сторонним электрическим полем.

Через постоянно распространённое гравитационное поле коллапсары, коллективы коллапсаров взаимодействуют на расстоянии. Скорости взаимодействия в системах дальнего действия не зависят от расстояний между гравитационными системами, зависит силовая характеристика взаимодействия. Изменения в характеристике гравитационных полей, связанные с движением систем и изменением плотности в индуцированных гравитационных твёрдых и другими изменениями, происходят с конечной скоростью по законам близкого действия.

В структуре коллапсара электрона последовательное силовое соединение семёрок гамма-нейтрино по оси ( $z$ ) до состояния волнового насыщения образует семь гамма-трубок. В каждой гамма-трубке по семь элементарных трубок, всего 49 элементарных трубок, а элементарные трубки состоят из элементарных нейтрино.

Равное количество гамма-нейтрино в семи гамма-трубках коллапсара нейтрального электрона образовано общим законом насыщения волны сжатия. Каждая гамма-трубка электрона есть единая насыщенная общая волна сжатия семёрок гамма-нейтрино, одноимённые заряды в волне сжатия (трубке) создают силы противодействия сжатию в волнах разрядки. Эффективные волны разрядки с противоположных сторон гамма-трубки препятствуют дальнейшему росту длины трубки и сохраняют зарядовую массу в стабильном состоянии.

Разнополярные скопления в элементарных нейтрино каждой гамма-трубки электрона создают силы сжатия и одновременно силы эффективного противодействия сжатию в концевых волнах разрядки элементарных трубок, почему? Чем больше силы сжатия между скоплениями в центре трубки, тем больше силы противодействия сжатию в волнах разрядки на периферии.

Бесконечный рост зарядовой массы трубки в элементарных скоплениях останавливают силы противодействия, эффективная длина волны разрядки. Эффективная длина волны разрядки на противоположных концах элементарной трубки запрещает дальнейший рост, стабилизирует массу в волне сжатия.

Что есть элементарная трубка? Это волна сжатия, линейно расположенных, разнополярных элементарных скоплений в волновой трубке, ограниченная с противоположных сторон трубки эффективной волной разрядки.

Волновые элементарные трубки, два разнополярных скопления в элементарных нейтрино образуют начало системы противоположностей коллапсарных систем сжатия. Плоскость пространства сжатия между элементарными скоплениями плюс и минус, образующих волну сжатия в элементарной трубке нейтрино, называется началом системы противоположностей.

Элементарные трубки в коллапсаре электрона образуют единую систему противоположностей. Плоскость осей ( $x, y$ ), проходящая в пространстве максимального сжатия между разнополярными элементарными скоплениями в 49 элементарных трубках электрона и индуцированными скоплениями в магнетонах, называется началом линейной системы противоположностей, общей системы сжатия всех трубок электрона по оси  $z$ . Пересечение плоскости линейной системы противоположностей с осью  $z$  (точка пересечения трёх осей) показывает зарядовый центр (центр масс) общей системы противоположностей (рассматривается дополнительно).

Причина названия «волновая трубка», связана и с геометрической характеристикой семёрки, принято условно считать: семь скоплений в сечении имеют форму окружностей. В общей простой форме процесс индуцирования гравитонов сфер в гравитационных твёрдых суммарным потенциалом однополярных элементарных зарядов показан на рисунке (рис. 17). Необходимо понять следующее: нет в структурах коллапсаров особых, спиральных трубок, есть системное взаимное расположение однополярных элементарных зарядов плюс и минус относительно друг друга, получившее условное название спиральных трубок (рис. 17).



Взаимное расположение однополярных скоплений в шести элементарных трубках гамма-нейтрино по диагоналям квадратов создаёт равный потенциал на любом концевом скоплении. Силовое диагональное противодействие между однополярными элементарными скоплениями, расположенными в шести трубках гамма-нейтрино (седьмая спиновая трубка не показана), показано векторами противодействия на рисунке 17.

Напомним, гамма-нейтрино состоит из семи элементарных нейтрино, в каждом элементарном нейтрино по два элементарных однополярных скопления, потенциально обладающих элементарными зарядами плюс и минус.

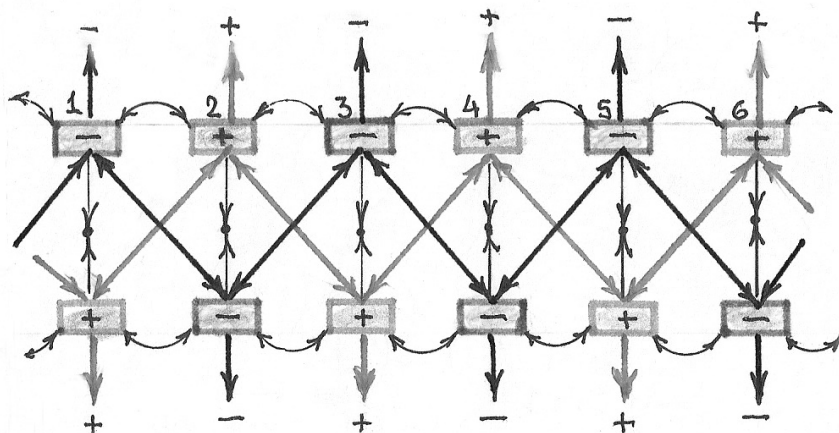


Рис. 17

Разнополярные скопления в шести элементарных трубках нейтрино показаны для наглядности на некотором расстоянии, трубка гамма-нейтрино развёрнута на плоскости.

Новое понятие «однополярный (гравитационный) потенциал» концевых элементарных скоплений и как его определить математическими расчётами?

Когда мы говорим об электрическом напряжении, то всегда имеем в виду две точки, между которыми существует это напряжение. Когда по небрежности речи говорят о напряжении или потенциале в одной какой-либо точке, то всегда подразумевают разность потенциалов между этой точкой и другой, выбранной заранее.

Внимательно изучим электрическую систему взаимодействия элементарных скоплений, показанных на рисунке 17. Разнополярные скопления расположены по сторонам квадратов, однополярные скопления расположены по диагоналям квадратов.

Силы сжатия между разнополярными скоплениями прямые и потому преобладают над диагональными силами противодействия сжатию между однополярными скоплениями.

Электрическая цепь притяжения между разноимёнными скоплениями замкнута прямолинейно и в кольце гамма-нейтрино (рис. 17).

Шесть скоплений плюс и шесть скоплений минус (рис. 17) объединены в два гравитационных разнополярных зарядовых блока. По три одноимённых концевых скопления выходят с каждой стороны гравитационных зарядовых блоков, например, три положительных концевых скопления выходят с одной стороны коллапсара и три положительных скопления выходят с обратной стороны коллапсара.

Электрический потенциал каждого концевого скопления обладает суммарно потенциалом шести одноимённых элементарных зарядов (рис. 17).

Потенциалы между разнополярными скоплениями нейтрализованы в замкнутой цепи сжатия, а как нейтрализуются силы противодействия сжатию в однополярных зарядовых блоках плюс и минус?

Только один путь за пределами внутренней системы укоротить (нейтрализовать) силы противодействия сжатию.

Нейтрализация разнополярных зарядов в двух гравитационных однополярных зарядовых блоках гамма-нейтрино происходит в первой индуцированной гравитационной сфере.

Полная нейтрализация гравитационных электрических потенциалов однополярных блоков происходит в замкнутой индуцированной сфере, почему?

По три выхода от каждого однополярного блока направлены в противоположные стороны, и потому для полной нейтрализации однополярного электричества в гамма-нейтрино необходима сферическая система нейтрализации, и она существует.

Три однополярных концевых скопления плюс с каждой стороны коллапсара и три однополярных концевых скопления минус с каж-

дой стороны коллапсара, создают два потенциала электрического напряжения в гравитантах гамма-нейтрино.

Суммарные заряды в однополярных блоках плюс и минус индуцируют скопления в гравитонах сфер с обратных сторон коллапсара по оси (z) и создают потенциалы ГрЭДС (гравитационной электродвижущей силы индуцирования), скоплений гравитонов в гравитационных сферах.

Существует принципиальное отличие электродвижущей силы (ЭДС), например в цепи переменного (постоянного) тока, от ГрЭДС – электродвижущей силы гравитационного индуцирования.

ЭДС создают сторонние электродвижущие силы потенциалов разделённых концевых зарядов в скоплениях седьмой трубки гамма – нейтрино, а это потенциал разнополярных скоплений.

ГрЭДС создают электрические потенциалы, напряжение между двумя разнополярными (рис. 17) зарядовыми блоками с противоположных сторон гамма-нейтрино в системе двух треугольников. Каждый зарядовый блок имеет по три концевых скопления одного знака с каждой стороны коллапсара.

Система нейтрализации однополярных внутренних сил между противодействующими скоплениями одного знака нейтрализуется в системах двух треугольников в индуцированной первой сфере.

Векторы сил притяжения и отталкивания между скоплениями в первой гравитационной сфере и скоплениями во второй гравитационной сфере перпендикулярны к первой сфере.

Характерное отличие стороннего поля от гравитационного индуцированного поля существует и в системах силового индуцирования разнополярных скоплений, их структурном геометрическом взаимном расположении относительно друг друга.

Структурное расположение концевых однополярных элементарных скоплений в шести спиральных трубках гамма-нейтрино образуют системное геометрическое расположение элементарных скоплений в вершинах двух треугольников (рис. 16) и индуцируют подобие в сферах (рис. 15).

Три положительных потенциала и три отрицательных потенциала концевых скоплений спиральных трубок с каждой стороны коллапсара отталкивают от себя однополярные частицы субстанции в

ближайшем пространстве и одновременно пытаются притянуть к себе частицы противоположного знака (рис. 14).

Общее смысловое описание причин, почему пытаются притянуть, а не притягивают, дано в описании элементарного нейтрино.

Причина в законе взаимного индуцирования разнополярными и однополярными системными элементарными зарядами. Уникальная способность сил притяжения между разнополярными зарядами и сил противодействия притяжению однополярных зарядов, в геометрическом структурном пространстве, образовывать (создавать) собственное подобие из индуцированных разнополярных скоплений субстанции.

Потенциалы трёх концевых скоплений одного знака полярности с каждой стороны коллапсара отталкивают частицы субстанции одноимённого знака, а потенциалы трёх концевых элементарных скоплений противоположного знака, расположенные рядом, в единой системе двух треугольников, запрещают сближение.

Отрицательные частицы субстанции не могут сблизиться с концевыми зарядами (+) в спиральных трёх трубках, препятствуют заряды (-) в трёх других спиральных трубках.

Также положительным частицам субстанции запрещено сближение с концевыми отрицательными зарядами в трёх спиральных трубках, препятствуют потенциалы концевых зарядов (+), расположенные в положительных спиральных трубках.

Принципиальное смысловое описание причин возникновения гравитационного электрического поля на примере гамма-нейтрино помогает понять процесс гравитационного индуцирования в сложных системах, например, электронах.

На некотором расстоянии (см. рис. 14) индуцированные скопления, образованные силами отталкивания и притяжения, образуют систему равновесия сил действия и противодействия.

Силы отталкивания и силы притяжения становятся равными, увлечение расстояния даёт преобладание силам притяжения, а уменьшение расстояния до скоплений даёт преобладание силам отталкивания.

Можно описать происходящее и так. Потенциалы однополярных скоплений, например, шести спиральных элементарных тру-

бок, в семи гамма-трубках коллапсаров электронов создают с каждой стороны коллапсара по оси (z) по шесть электрических малых полей, всего 42 малых электрических поля в системах двух малых треугольников с каждой стороны коллапсара. Ещё шесть полей создают седьмые скопления в вершинах больших треугольников, гравитантах коллапсара электрона. Разделённые концевые заряды, в 49 трубке, нейтрализуются через стороннее электрическое поле.

Электрические поля в шестиконечных образованиях отталкивают от себя однородные электрические заряды на носителях, частицах субстанции и удерживают частицы субстанции в индуцированных скоплениях противоположного знака на некотором расстоянии.

Некоторое расстояние – это длина волны разряжения между гравитантами и первой сферой и образование устойчивого равновесия сил притяжения и отталкивания индуцированных скоплений в гравитонах.

Полярные гравитоны достраивают полусферы коллапсаров (рис. 15), две полусферы смыкаются в плоскости экватора, происходит полная нейтрализация однополярных зарядовых гравитационных блоков коллапсара электрона, но не первой сферы.

Гравитационный электрический потенциал разнополярных скоплений первой сферы нейтрализуется во второй сфере, через совместное индуцирование волны разряжения и так далее, распространяются и нейтрализуются гравитационные сферы.

Силы притяжения к первой сфере, между разнополярными скоплениями в ближайших и последующих сферах, образуют волну сжатия сфер. Волна сжатия силами однополярных скоплений отталкивает очередную сферу, оказавшуюся за порогом насыщения в первой волне сжатия, на расстоянии длины волны разряжения. Волны разряжения между волнами сжатия сфер формируют однополярные скопления в двух ближайших волнах.

Гравитационная электродвижущая сила индуцирования (ГрЭДС) коллапсара электрона удерживает первую волну сжатия индуцированных сфер и соответственно всех индуцированных радиально зарядовых волн (небо) в гравитационных твердях на расстоянии длины первой волны разряжения, а это расстояние между гравитантами

коллапсара и гравитонами в первой сфере. Физическая величина, длина первой сферической волны разряжения, пропорциональна ГрЭДС зарядовых однополярных блоков коллапсара нейтрального электрона и образует характерную структуру индуцированных твердей. Происхождение короткодействующих коллапсарных (ядерных) сил показано на рисунке 18.

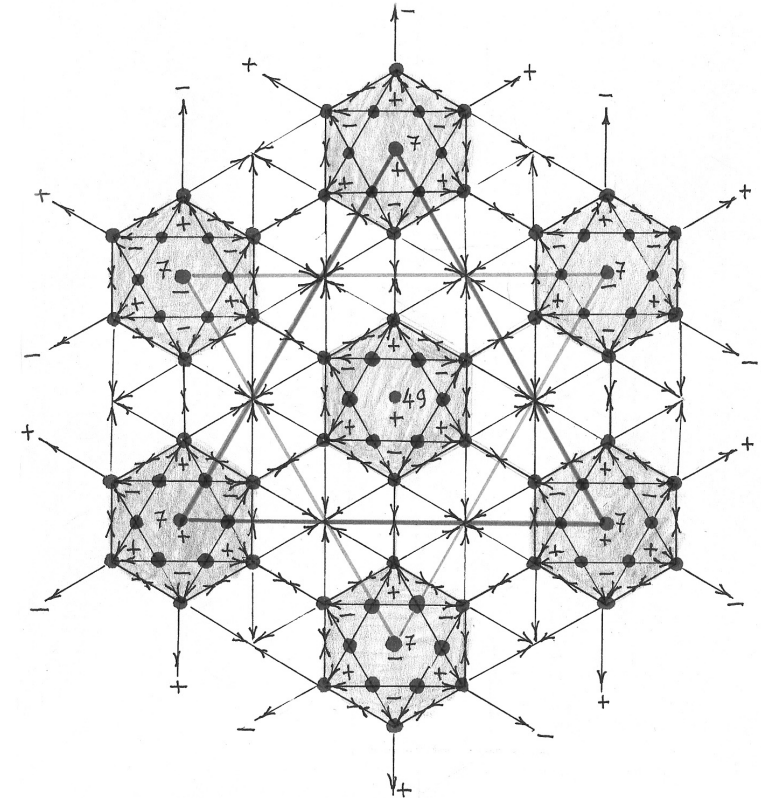


Рис. 18. Векторная схема сил сжатия и противодействия сжатию в плоскости осей (x, y) коллапсара электрона.

Показана природа короткодействующих коллапсарных (ядерных) сил.

Природа коллапсарных (сильных взаимодействий) короткодействующих сил – электрическая.

Короткодействующие коллапсарные (ядерные) силы создают космическую систему дальнего действия!

Силовое сжатие между разнополярными скоплениями уменьшает расстояния между однополярными скоплениями и увеличивает силы противодействия сжатию.

Скопления в однополярных зарядовых блоках постоянно индуцируют пространство, создают скопления в гравитационных твердых, в сферических волнах сжатия и разряжения, на большие расстояния. В системе дальнего действия взаимодействуют постоянно распространённые гравитационные электрические тверди.

На рисунке 18 точками показаны центры разнополярных концевых скоплений 49 элементарных трубок, в семи гамма-трубках.

Вокруг седьмой гамма-трубки, в центре, расположены шесть полных магнетонов и радиально на периферии шесть неполных, открытых магнетонов.

Индукцированные (не элементарные) разнополярные скопления в магнетонах, расположенные в вершинах магнетонных треугольников, на рисунке 18 не показаны, показаны на рисунке 16.

На рисунке 18 точками показаны магнетоны (места магнетонов) в семёрках гамма-трубок. Внимательное изучение рисунка 18 подсказывает существование магнетонов и в гамма-нейтрино, почему?

Полные и неполные магнетоны, расположенные между гамма-трубками, соединены между собой и образуют единую систему сжатия (рис. 18).

Наблюдается закономерность подобия, стороны больших треугольников пересекают полные магнетоны. Коллапсарное сжатие центров шести гамма трубок в вершинах больших треугольников производят полные магнетоны!

Стороны малых треугольников в гамма трубках пересекают также шесть свободных пространств между элементарными скоплениями, а это магнетонные трубки гамма-нейтрино.

Следуя правилу подобия и единства магнетонных сил сжатия во внутренней системе коллапсара, можно сделать следующий вывод: магнетонная система коллапсара электрона едина и берёт начало в свободных пространствах гамма-нейтрино!

На рисунке 7 точками показаны места расположения полных и неполных магнетонов в гамма-нейтрино.

Система векторных сил сжатия в магнетонах на рисунке 18 наглядно показывает природу происхождения коллапсарных (ядерных) взаимодействий.

Парадокс происхождения коллапсарных сил, сжатие в магнетонах создано элементарными зарядами, расположенными в элементарных трубках, гравитантах, но сами гравитанты не обладают коллапсарными силами сжатия. В семёрках гамма-трубок элементарное скопление в центре препятствует образованию магнетонных, радиальных, сил сжатия (рис. 6).

На рисунке 18 показано: векторы сил сжатия направлены не радиально к центру, как в свободных пространствах магнетонов, а по сторонам шестиугольников, направления сил противодействия сжатию образуют геометрическую форму шестиконечных звезд.

В свободных пространствах коллапсаров электронов индуцированы разнополярные скопления из частиц субстанции.

Частицы субстанции индуцированы элементарными зарядами в гамма-трубках и в скоплениях образуют структуру поляризатора магнетона.

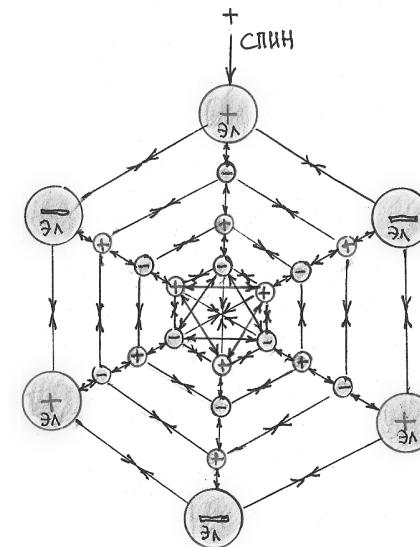


Рис. 19



На рисунке 19 показана принципиальная структура (устройство) поляризатора магнетона.

Шесть разнополярных элементарных скоплений (эл), расположенные в гамма-трубках, индуцируют (создают) структуру поляризатора магнетона. Знаки полярности в скоплениях поляризаторов в каждом слое меняются на противоположные.

Два поляризатора магнетонов в свободном пространстве образуют нейтрализованный магнетон, а магнетоны образуют трубки магнетонов коллапсара.

Силовая структура поляризатора магнетона (рис. 19) образована индуцированными скоплениями, расположенными в вершинах двух треугольников, образующих форму шестиконечной звезды в вершинах шестиугольника.

Структура сжатия между разнополярными индуцированными скоплениями в поляризаторе магнетона (рис. 19) и противодействия бесконечному сжатию между однополярными скоплениями понятна для изучения и доступна математическому описанию.

Некоторые особенности построения разнополярных скоплений в силовых линиях требуют пояснения. Например, почему индуцированные скопления в силовых линиях расположены с нарушением закона индуцирования?

Известно, электрический заряд на любом носителе отталкивает заряды на одноимённых частицах субстанции и притягивает к себе (взаимное притяжение) заряды частиц противоположного знака. Таким образом рождается система однополярных скоплений расположенных радиально, например, в гравитационных сферах.

В поляризаторе происходит взаимное индуцирование скоплений элементарными зарядами, расположенными в противоположных вершинах шестиугольника магнетона.

Условная линия, проходящая через центр и соединяющая противоположные разнополярные скопления в вершинах шестиугольника, называется замкнутой силовой линией магнетона.

Незамкнутые силовые линии показаны одним вектором в неполных магнетонах (рис. 18), создают коллапсарные (ядерные) короткодействующие свободные силы.

Свободные, короткодействующие силы в неполных магнетонах гамма-нейтрино создали коллективную систему сжатия через образование полных магнетонов в коллапсаре электрона, силовые линии в полных магнетонах замкнуты. Свободные, короткодействующие силы магнетонов электронов формируют коллапсарные силы сжатия в полных магнетонах нуклонов.

Три пары элементарных скоплений, расположенные против друг друга, производят закономерный обмен скоплениями в образованной электрической силовой линии. Подобное явление обмена отталкиваемыми частицами субстанции в индуцированных скоплениях рассмотрено в структуре индуцированных скоплений элементарного нейтрино (рис. 3).

Разнополярные скопления в поляризаторах магнетонов образуют линейную систему сжатия магнетонов, а однополярные скопления, расположенные спирально, образуют систему противодействия сжатию и индуцируют магнитные силовые линии (рис. 20).

Разнополярные скопления в трубках магнетонов образуют замкнутую змеевидную электрическую цепь сжатия (рис. 20) магнетонов и всей системы коллапсара электрона по оси зет.

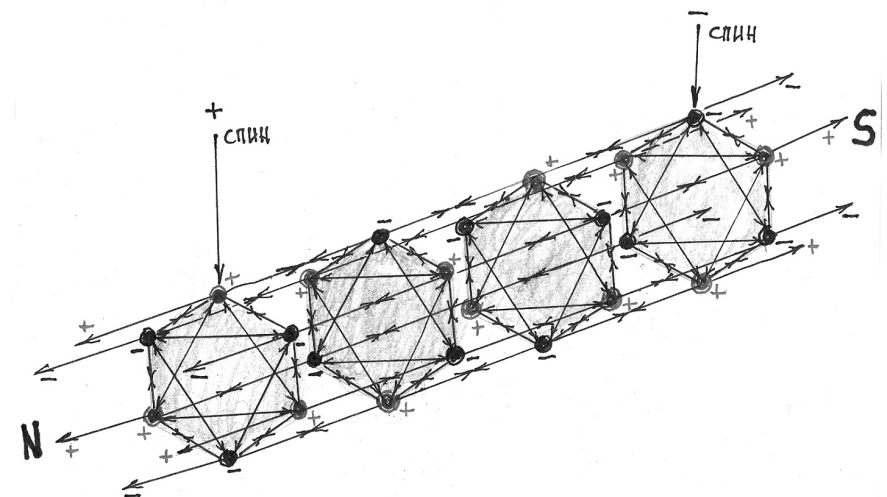


Рис. 20. Принципиальное взаимодействие индуцированных скоплений поляризаторов магнетонов в магнетонной трубке.

Диагональное расположение однополярных скоплений в магнетонных трубках противодействует бесконечному сжатию и индуцирует магнитные силовые линии в полярных направлениях. Магнетоны и гравитоны коллапсара электрона образуют единую систему сил сжатия и противодействия сжатию (рис. 19).

В каждом поляризаторе (рис. 20) точками показаны разнополярные индуцированные скопления, расположенные в вершинах шестиугольника. Взаимное расположение скоплений в трубках магнетона определяет природу сил сжатия и противодействия сжатию в магнетонных трубках, подобное взаимодействие рассмотрено в описании скоплений в трубках гравитантов.

Индукцированное отражение скоплений однополярных блоков магнетонов в системе двух треугольников вписывается в гравитационную индуцированную сферу электрона (рис. 21).

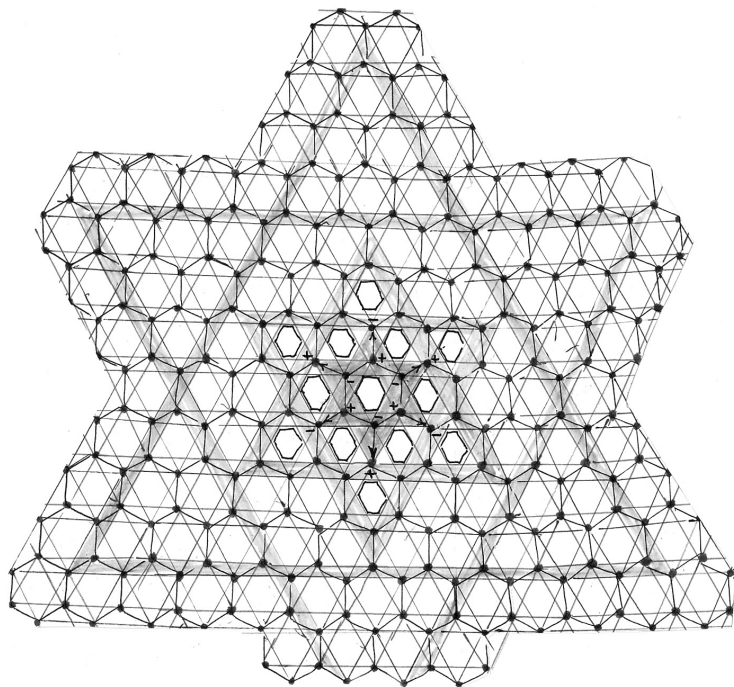


Рис. 21

На рисунке 21 показано геометрическое построение сферы электрона в виде бесконечных шестиугольников (сферы замкнуты), треугольников и шестиконечных звёзд.

Разнополярные скопления, расположенные по сторонам треугольников, образуют бесконечные (замкнутые) силовые, зубчатые линии в системе гравитационных колец сжатия и противодействия сжатию в сфере электрона (рис. 22).

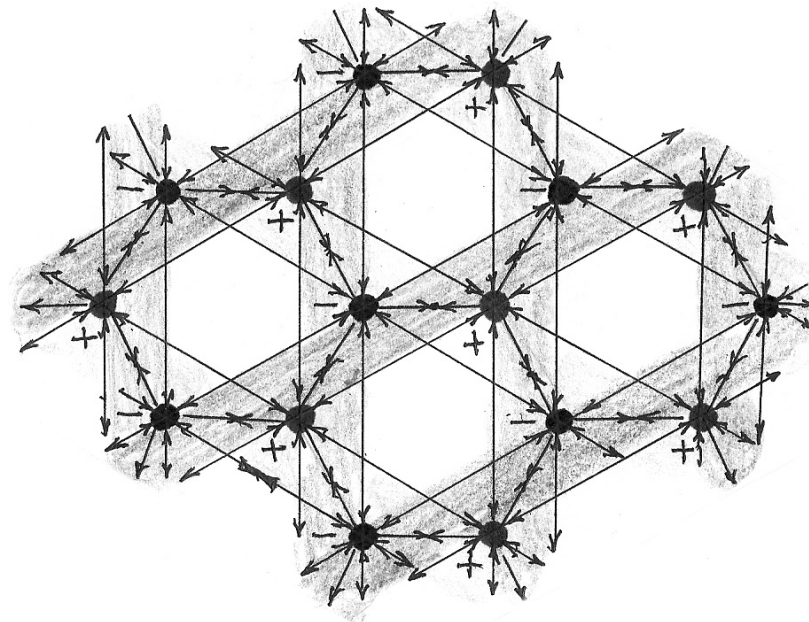


Рис. 22

Каждое кольцо сжатия образовано двумя замкнутыми в сфере линиями противодействия сжатию. Однополярные скопления в каждой из двух линий кольца противодействуют сжатию скоплений в сфере, разнополярные скопления расположенные в противоположных линиях, создают силы сжатия в кольце.

Система силового взаимодействия индуцированных скоплений в сфере образует геометрическое и математическое силовое равновесие в виде треугольников и шестиугольников, образованных силовыми гамма-линиями в гравитационных кольцах (рис. 23).

Однополярные индуцированные скопления в сфере расположены линейно, в силовых линиях противодействия сжатию. Система взаимодействия двух ближайших силовых гамма-линий (рис. 23), называется гравитационным кольцом сжатия и противодействия сжатию. Нечётные, седьмые, скопления в семёрках не входят в систему однополярных силовых гамма-линий.

Каждое скопление сферы расположено в трёх кольцах и входит в однополярную систему блока. На рисунке 23 скопление (+) располагается одновременно в трёх силовых одноимённых линиях и совместно создаёт потенциал однополярного блока.

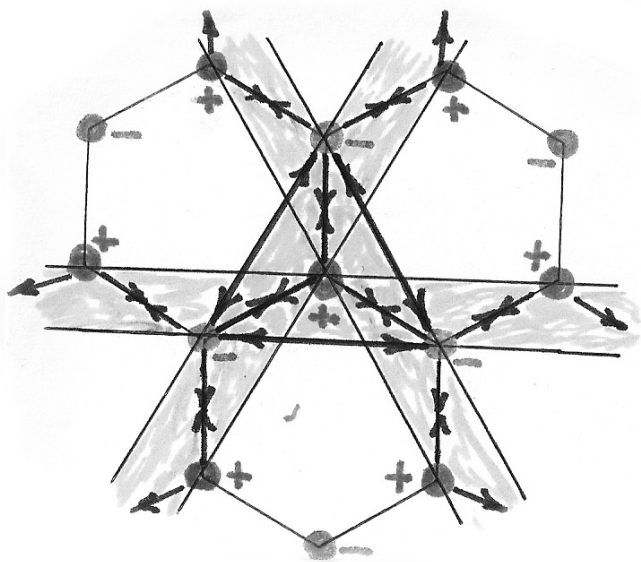


Рис. 23

Каждое скопление расположено в центре звезды, сил сжатия и в центре треугольника сил противодействия сжатию. Разнополярные скопления в двух ближайших параллельных разнополярных линиях образуют силы сжатия, векторы сил сжатия образуют кривую (зубчатую) линию, а однополярные скопления в силовых однополярных линиях образуют прямую систему противодействия сжатию.

Геометрическое силовое построение разнополярных скоплений в вершинах двух малых треугольников, гамма-гравитонах, об-

разует единую непрерывную сотовую систему коллективного взаимодействия в шестиугольниках.

Электрические цепи нейтрализации зарядов в вершинах шестиугольников замкнуты в трёх однополярных силовых линиях в гравитационных кольцах, расположенных под углом 60 градусов друг другу (рис. 23).

Системные гравитанты коллапсара электрона образованы суммарными скоплениями в однополярных скоплениях, расположенных в структуре звёзд гамма-трубок и индуцируют собственное подобие в сфере (рис. 24).

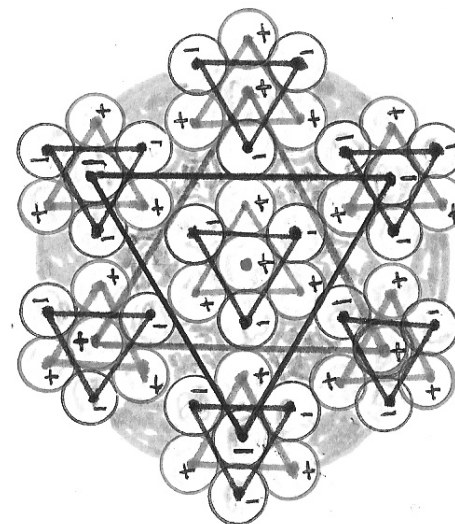


Рис. 24

Показаны гравитанты электрона. В вершинах больших треугольников находятся по 4 однополярных скопления, расположенных в звёздах гамма-трубок.

Система больших треугольников объединяет однополярные системы гамма-трубок, нейтрализует общие однополярные потенциалы всех семи скоплений в каждой гамма-трубке коллапсара электрона.

На рисунке (рис. 21) показан фрагмент сферы на котором выделены структурные силовые линии кольцевого взаимодействия скоплений в гравитантах.



Силловые линии, в полушариях сфер, смыкаются в плоскости экватора коллапсара. Экватором, плоскостью экватора, удобно называть плоскость нейтрализации системы противоположностей коллапсара. Напомним, плоскость сечения коллапсара электрона и его гравитационных твердей, проходящая по осям ( $x$ ) и ( $y$ ), называется плоскостью нейтрализации.

Поляризованные скопления в вершинах двух треугольников, гравитантах, выстраивают систему взаимодействия разнополярных скоплений в трёх направлениях в замкнутых кольцах (рис. 22).

Плоскости всех существующих структурных колец в сферах всегда проходят через центр источника гравитации!

На рисунке (25) показано простое смысловое объяснение принципа расположения колец, три оси ( $x_1, x_2, x_3$ ), на которые будто одеты (условно) равные по диаметру гравитационные кольца, расположенные в трёх плоскостях первой сферы.

Взаимное смещение колец на некоторый угол образует анизотропную структуру силовых колец в сферах, но плоскости колец всегда проходят через центр системы противоположностей.

В плоскости экватора пересечение колец в каждой плоскости образует шесть центров сжатия разнополярных частиц субстанции, на рисунке показаны точками.

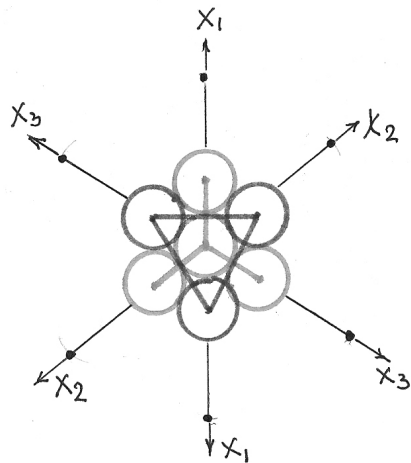


Рис. 25

На рисунке показана простая схема коллапсара электрона из семи гамма трубок. Оси ( $y$ ) располагаются перпендикулярно осям ( $X$ ) и на рисунке не показаны.

В местах пересечения оси ( $z$ ) тремя кольцами (расположены в трёх плоскостях) образуют ещё два центра полюсные центры сжатия. Если соединить восемь (шесть в плоскости экватора (рис. 25) и два на полюсах, по оси  $z$ ) скоплений линиями, образуется геометрическая форма из двух шестигранных пирамид с единым основанием в плоскости экватора.

Восемь центров сжатия в сфере образованы суммарными потенциалами разнополярных и однополярных скоплений в гравитационных кольцах. Структура восьми общих зарядовых центров в сферических волнах сжатия и разряжения рассматривается дополнительно в разделе изучения структуры атомов.

Электрический потенциал центральной, 49 трубки, не замкнут во внутренней системе нейтрализации, разделён геометрическим расположением и выстраивает собственную систему нейтрализации через индуцированное стороннего электрического поля.

Электрические потенциалы однополярных (гравитационных) блоков в семи гамма-трубках формируют систему нейтрализации сил противодействия сжатию за пределами структуры коллапсара электрона, через индуцирование разнополярных скоплений в первой гравитационной сфере.

Строительство зарядовых твердей однополярными скоплениями в гамма-трубках происходит по собственному структурному подобию, получившему условное определение как система двух треугольников (малых треугольников).

Гравитационные тверди постоянно распространены, взаимодействуют с другими твердями на расстоянии по законам дальнего действия и ближнего действия.

Особыми свойствами обладают системные гравитоны электрона в индуцированной сфере электрона (система двух больших треугольников, рис. 15). Системные гравитоны интегрируют общую систему гравитационного индуцирования в сфере электрона.

Системные гравитанты электрона индуцируют системные гравитоны в сферах, обладают особыми свойствами?

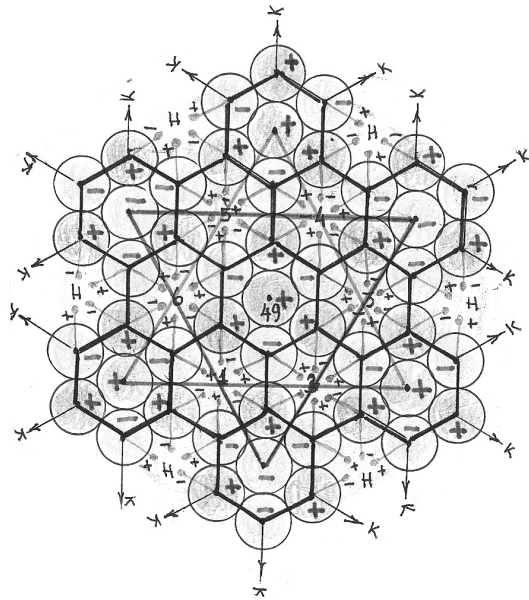


Рис. 26

На рисунке 26 стороны больших треугольников проходят через центры полных индуцированных магнетонов и соединяют центры шести гамматрубок коллапсара электрона, в центре системного гравитанта расположена 49 разделённая трубка.

Геометрическое расположение элементарных скоплений в гамма-трубках, общая система построения магнетонов и гравитантов в виде треугольников, шестиконечных звёзд, шестиугольников создана невидимыми силами притяжения и отталкивания. Взаимное расположение скоплений, коллективов скоплений определяет структуру силового геометрического взаимодействия.

Короткодействующие силы в полных магнетонах электрона (помечены цифрами от одного до шести) создают систему сжатия и противодействия сжатию, направления суммарных векторных сил в магнетонах образуют геометрическую форму двух больших треугольников.

Свободные, короткодействующие силы в неполных магнетонах раскрыты для коллективных взаимодействий, на рисунке 26 места

раскрытых короткодействующих сил показаны буквами (н) и векторы свободных сил помечены буквами (к).

Гравитанты в гамма-трубках (на рисунке 26 показаны шестиугольниками) индуцируют сферу однополярными скоплениями в двух разнополярных блоках, расположенных в элементарных трубках диагонально.

Гравитант электрона образован силами противодействия сжатию между однополярными элементарными скоплениями в семи гамма-трубках (рис. 27), расположенных спирально по четыре в звёздах гамма-трубок!

В каждой семёрке гамма-трубки четыре однополярных скопления одного знака расположены в центре звезды, а три скопления противоположного знака в вершинах треугольника.

Полярность скоплений в звёздах и треугольниках последовательно меняется в гамма-трубках, и поэтому спирально в вершинах больших треугольников располагаются сразу четыре элементарных скопления (рис. 27).

На рисунке 27 специально выделены для наглядности по четыре однополярных скопления в звёздах гамма-трубок.

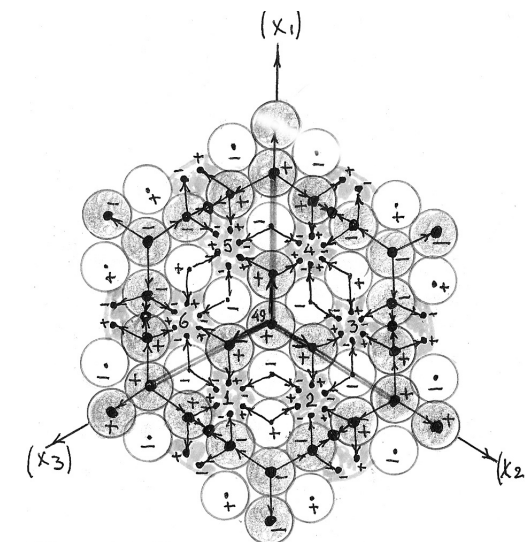


Рис. 27

В центрах шести гамма-трубок расположены вершины системного гравитанта электрона, большие треугольники. Центры гамма-трубок, ещё и центры четырёх однополярных скоплений, расположенных в геометрической форме звезды.

Элементарные однополярные скопления в группах звёзд образуют вершины и стороны шестиугольника коллапсара электрона, электрическая цепь взаимодействия в группах звёзд замкнута в змеевидной цепи сжатия.

Однополярные скопления, расположенные в треугольниках гамма-трубок, находятся в блоке однополярных скоплений (рис. 28), соединены внутренней электрической цепью с однополярными группами в звёздах.

Группа из четырёх однополярных скоплений в звездах обладает однополярным потенциалом восьми скоплений, четыре в группе звезды, три в группе треугольника другой гамма трубки и ещё одно, восьмое скопление, находится в центральной гамма-трубке.

Настоящее утверждение основано на принципиальной схеме силовых линий противодействия сжатию между однополярными элементарными скоплениями в коллапсаре электрона, показанных на рисунке 28. Две ближайшие разнополярные силовые линии противодействия образуют замкнутые кольца сжатия коллапсара.

В центре гравитанта электрона (большие треугольники) расположен седьмой гамма-гравитон, геометрическое расположение в центре не позволяет седьмому гравитону находиться в спиральной системе однополярных групп в звёздах.

Через систему гравитационных колец в силовых линиях сжатия и противодействия сжатию в коллапсаре (см. рис. 28) скопления в шести элементарных трубках седьмой гамма трубки, создают общий потенциал в однополярных блоках электрона.

Шесть скоплений седьмой гамма-трубки коллапсара электрона создают общий однополярный потенциал в электроде, а 49 скопления в центре семерки разделено и индуцирует пространство в гравитантах коллапсарных систем нуклонов и через индуцирование собственного стороннего электрического поля, а также в коллективах взаимодействия (рис. 28).

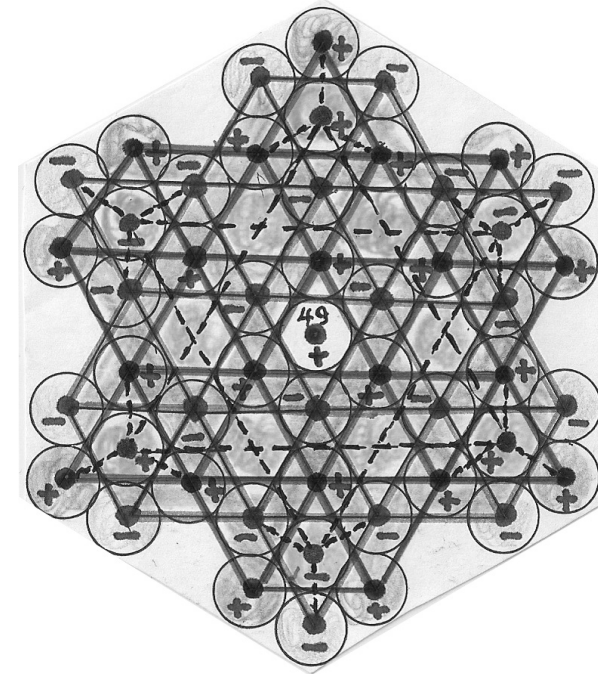


Рис. 28

На рисунке 28 элементарные скопления плюс и минус расположены в двух системных силовых линиях противодействия сжатию.

Силовые линии образуют малые треугольники в каждой гамме трубки и в шести магнетонных пространствах, а также большие треугольники в общей системе, из них два усечённых, больших, треугольника электрона.

Силовые однополярные линии противодействия сжатию замкнуты в семёрках с противоположных сторон коллапсара и соединены между собой спиральными силовыми линиями в элементарных трубках электрона. Две системы противодействия сжатию между однополярными элементарными скоплениями образуют два разнополярных зарядовых блока в коллапсаре.

Каждая силовая однополярная линия отдельно создаёт силы противодействия сжатию, а совместно образуют общую силовую

линию в кольце сжатия, также и два разнополярных блока в коллапсаре электрона совместно создают коллапсарное сжатие.

Нечётные скопления в центре гамма-трубок не входят в системы силовых линий, на рисунке 28 силовые линии не пересекают седьмые скопления. Тогда как объяснить, почему вершины больших треугольников расположены в седьмых (нечётных) скоплениях и интегрируют однополярные силы гравитационного индуцирования коллапсара электрона?

На рисунке 28 расположение суммарных векторных сил сжатия и противодействия сжатию в гравитанте электрона и векторных сил противодействия в группе из четырёх однополярных скоплений в звёздах гамма трубок показано пунктиром.

Объяснение простое, все седьмые скопления в гамма-трубках расположены в центре однополярного группового скопления и имеют непосредственный контакт с тремя однополярными скоплениями звезды. Однополярные элементарные скопления, расположенные звездой, обладают групповым единым электрическим потенциалом, контакт с одним из четырёх означает контакт со всеми.

Две ближайшие, бесконечные (замкнутые), силовые однополярные линии противодействия сжатию образуют систему сжатия в бесконечных, замкнутых кольцах. Название кольцо (деформированное кольцо) не определяет геометрическую сущность взаимодействия двух ближайших разнополярных замкнутых силовых линий в коллапсаре. На некотором расстоянии, в индуцированных сферах электрона, кольца приобретут истинную геометрическую форму.

Силовые линии и кольца расположены в трёх геометрических направлениях одновременно, продолжают спирально (по диагоналям) в элементарных трубках и замыкаются с противоположной стороны коллапсара электрона.

Индукцированные скопления в сфере образуют подобие в гравитационных кольцах и в силовых однополярных линиях противодействия сжатию.

Последовательное расположение гравитантов по оси зет образует гравитационные трубки. Полное название – гравитационная гамма-трубка или гравитационная системная трубка коллапсара электрона – отражает истинную сущность коллапсарных систем.

Названия «гравитационные трубки» и в коллапсарах, и в гравитационных твердях не отражают некое отдельное структурное образование, а дано свойству взаимодействия однополярных зарядов в коллапсарах и индуцированных коллапсарами зарядовых твердях.

Радиальное, последовательное, расположение гравитонов в волнах сжатия и разряжения образуют идеализированное геометрическое подобие гравитационных трубок (условные трубки) в общей, неделимой структуре сферических гравитационных волн.

На рисунке показаны гравитоны в сферах (29, внизу), расположенные радиально. Показано по шесть индуцированных скоплений в каждом гравитоне, без седьмых скоплений в центре или магнетонов, в силовой магнитной линии.

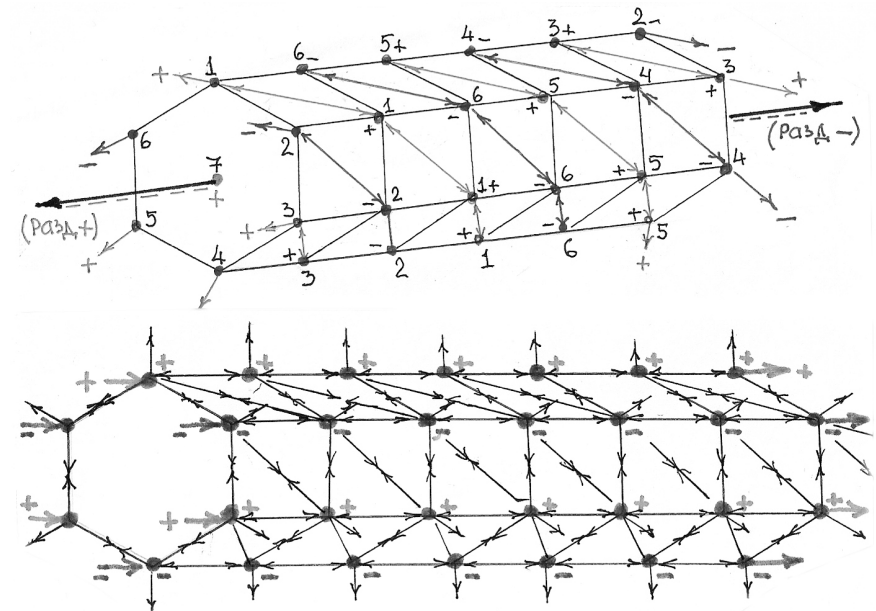


Рис. 29

На рисунке 29 показаны сверху развёрнутая для наглядности гравитационная гамма-трубка (часть трубки из шести гравитантов), внизу развёрнутая индуцированная условная трубка из шести гравитонов в сферах волны сжатия.



Напомним, гамма-трубки состоят из элементарных скоплений, а трубки гравитонов в волне сжатия сфер состоят из индуцированных скоплений.

Сравним, какие имеются отличия в структуре гравитационной гамма-трубки коллапсара электрона и в структуре условной гравитационной индуцированной трубки в волне сжатия сфер, образованной радиально расположенными шестью гравитонами?

В коллапсаре (рис. 29, вверху) существует прямое взаимодействие сил сжатия разнополярных элементарных скоплений в элементарных трубках и спиральное (диагональное) противодействие сжатию однополярных элементарных скоплений.

Разнополярные индуцированные скопления в трубке гравитонов расположены спирально (рис. 29, внизу), прямо (радиально в сферах) расположены однополярные скопления.

В индуцированных гравитационных твердых, в сферических волнах сжатия и разряжения произошло изменение направления сил противодействия сжатию на прямые, что позволяет распространению гравитационного поля в волнах сжатия и разряжения на большие расстояния, почему?

Взаимодействие индуцированных скоплений в первой сфере образует форму гравитонов, систему двух треугольников. Скопления индуцируют собственное подобие в гравитонах полусфер и в общей первой сфере электрона, а радиально своё подобие, одноимённое скопление, во второй сфере.

Каждое скопление в гравитонах последующих сфер индуцировано скоплениями в гравитоне предыдущей сферы, кроме скоплений первой сферы, индуцированы гравитантами коллапсара.

Напомним, каждый электрический заряд скопления в гравитоне отталкивает, радиально между сферами, однополярные частицы субстанции на некоторое расстояние, противодействует этому электрический заряд рядом расположенного скопления противоположного знака.

По этой причине однополярные индуцированные скопления в сферах расположены радиально (рис. 29, внизу) и образуют однополярные, прямые силовые линии противодействия сжатию, а разнополярные скопления располагаются в соседних силовых линиях, спирально, создают силы притяжения.

Радиальное построение гравитонов сопровождается радикальным изменением расстояний между скоплениями в гравитонах сфер. Чем дальше находится сфера от центра индуцирования гравитационного поля, тем больше должны быть расстояния между скоплениями, это утверждает геометрия, а что происходит реально?

Увеличение расстояний между скоплениями гравитона в отдалённых сферах (в конце волны сжатия) приводит к неустойчивому состоянию частиц в вершинах шестиугольников гравитонов и разрушению силового равновесия между разнополярными и однополярными частицами. Образуется дальняя граница насыщения сферической волны сжатия и начало сферической волны противодействия сжатию, волны разряжения.

Индуцированные скопления в нестабильных гравитонах смещаются радиально к началу следующей волны сжатия и формируют независимую от расстояния до центра коллапсара гравитационную сферу. Почему независимую?

Все сферы индуцированы предыдущими сферами и индуцируют последующую сферу, поэтому расстояния до источников индуцирования минимальные (длина волны разряжения между сферами), но с удалением от центра коллапсара растёт длина волны разряжения! Рост длины волн разряжения приводит к увеличению площади расположения скоплений в гравитонах следующих сфер и слабости силовых связей между скоплениями.

Волна сжатия сфер между разнополярными скоплениями стабилизирует радиально системы гравитантов в волне сжатия и отталкивает силами противодействия однополярных зарядов частицы в нестабильных гравитонах на некоторое расстояние, равное длине волны разряжения.

За волной разряжения формируется первая (независимая) сфера в новой волне сжатия, расстояния между частицами в гравитонах не зависят от расстояния до центра коллапсара и сферы в предыдущей волне сжатия. Силы притяжения между разнополярными скоплениями в сферах направлены по диагоналям, спирально, а силы противодействия сжатию между однополярными скоплениями прямые, радиальные.



Превосходство сил противодействия сжатию между однополярными скоплениями над силами сжатия между разнополярными скоплениями, расположенными по диагоналям (спирально) в условных гравитонных трубках, позволяет беспрепятственно распространяться гравитационному полю на большие расстояния.

В коллапсарах разнополярные скопления создают прямые силы сжатия, спиральные силы противодействия между однополярными скоплениями не могут препятствовать коллапсарному сжатию! В сферических волнах сжатия сфер и разряжения спиральные силы сжатия между разнополярными скоплениями слабее прямых сил между однополярными скоплениями и не могут препятствовать распространению гравитационного поля.

Индукцированное гравитационное поле коллапсаров, коллективов коллапсаров создаёт универсальную форму равновесия сил действия и противодействия в самом коллапсаре через нейтрализацию ГрЭДС в замкнутых индуцированных сферах и твердях коллапсара.

Однополярные заряды нейтрализуют свою силу не в коллапсаре, а в зарядовых сферических твердях! Коллапсар и его индуцированные гравитационные тверди едины и неотделимы, составляют единое целое в коллапсарной системе.

В коллапсаре спиральное расположение однополярных элементарных скоплений не препятствует сжатию, а в твердях разнополярные скопления расположены спирально и не препятствуют расширению гравитационных твердей радиально на большие расстояния!

Гравитационные тверди нейтрализуют потенциалы однополярных спиральных трубок в замкнутых сферах. В первой сфере произошла полная нейтрализация суммарных однополярных зарядов в двух разнополярных условных блоках (объединениях) электрона.

Уникальное свойство однополярных зарядов плюс и минус продолжается в твердях. Первая сфера нейтрализовала суммарные потенциалы однополярных зарядов в скоплениях гамма-трубок коллапсара, но сама (сфера) нейтрализует собственные потенциалы скоплений в гравитонах второй сферы, а вторая в третьей сфере, и так далее происходит процесс нейтрализации.

Системы взаимодействия элементарных разнополярных и однополярных скоплений в гамма-трубке (внизу) и индуцирован-

ных разнополярных и однополярных скоплений в условной гравитонной трубке (вверху) показаны на рисунке 30. Показаны разные направления векторных сил сжатия между разнополярными скоплениями и векторными силами противодействия сжатию в гамма-трубке (внизу) и в трубке гравитонов (вверху).

Сравним силы сжатия между разнополярными скоплениями и силы противодействия сжатию между однополярными скоплениями в структурах гамма-трубки и в условной трубке гравитонов в волне сжатия сфер (рис. 30).

На развёрнутой схеме гамма-трубки (рис. 30, внизу) векторами показаны силы притяжения между разнополярными элементарными скоплениями и силы противодействия сжатию между однополярными элементарными скоплениями в шести прямых элементарных трубках (седьмая не показана).

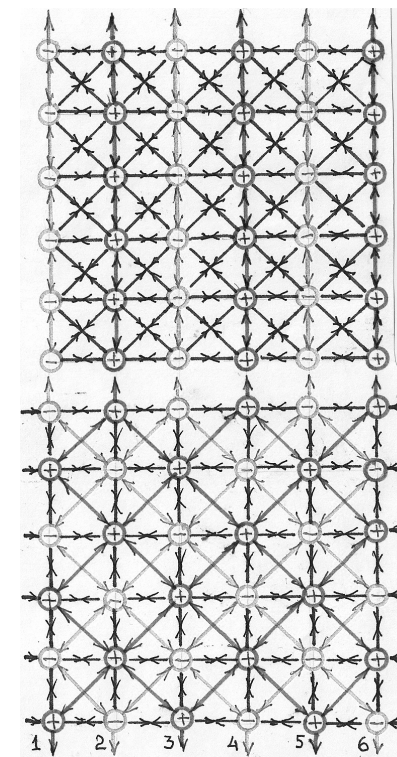


Рис. 30

Начало и концы прямых элементарных трубок обозначены цифрами от 1 до 6 внизу схемы, одновременно являются началом и концом спиральных однополярных окончаний. Потенциалы разнополярных элементарных скоплений шести прямых элементарных трубок нейтрализованы в замкнутой внутренней цепи гамма-трубки, а потенциал разделённой, седьмой элементарной трубки нейтрализован через стороннее электрическое поле.

Силы прямого действия между разнополярными скоплениями в шести элементарных трубках и силы прямого действия между шестью разнополярными скоплениями в кольцах семёрок показаны на схеме векторами сжатия, по сторонам квадратов.

Чётное, парное, количество семёрок в гамма-трубке делает начало и конец каждой из шести спиралей смещёнными. Например, спирали берут начало в первой семёрке (показаны справа цифрами), в каждой семёрке по оси (z) спирали проворачиваются на 60 градусов вправо и влево (направление диагоналей квадратов) и потому только в седьмой семёрке (показано шесть семёрок) спирали проворачиваются на 360 градусов и окажутся в той же элементарной трубке.

Имеет ли это наблюдение какое-либо значение, если все диагонали пересекаются и образуют подобие клетки Фарадея?

По причине чётности общего количества семёрок в гамма-трубке, электрические потенциалы однополярных зарядов имеют выход с противоположных сторон, но в разных элементарных трубках, что подтверждает наличие однополярных зарядовых блоков в гамма-трубках и в коллапсаре электрона.

Противодействующие сжатию однополярные элементарные заряды плюс (+) и элементарные заряды минус (-) в шести прямых элементарных трубках располагаются по диагоналям квадратов, спирально.

Каждое из шести спиральных силовых направлений влево и шести спиральных направлений вправо (см. рис. 30) пересекается в четвёртой семёрке (ряд под цифрой 4) с противоположной стороны и вновь смыкается в той же трубке в седьмой семёрке (седьмая не показана).

Спиральные однополярные силы показаны по диагоналям квадратов на схеме, образуют гармоничную систему общего противо-

действия сжатию, но у них отсутствует полная системная нейтрализация в силовой внутренней структуре гамма-трубки.

Спиральное расположение однополярных зарядов разрешает коллапсирование (сжатие) до состояния насыщения сил, противодействующих дальнейшему сжатию, создающих равновесие сил сжатия и противодействия сжатию в гамма-трубках.

Преобладание сил сжатия между разнополярными скоплениями – прямого векторного действия, над силами противодействия сжатию – диагонального векторного действия, является естественной закономерной причиной коллапса частиц субстанции.

На рисунке (рис. 30, внизу) векторами показаны силы прямого действия и силы спирального противодействия сжатию в гамма-трубках. Спиральное силовое противодействие сжатию слабее прямых сил сжатия, что и определяет само понятие коллапс и гравитация.

Во внутренней структуре коллапсара нет собственных разрушительных сил, спиральные силы только останавливают процесс сжатия и не способны вернуть систему в исходное состояние.

Разрушение твердей, особенно первой волны сжатия, приводит к хаотической силовой генерации в твердях и возможному антиколлапсу системы сжатия через разделённый (спин) заряд в нечётной 49 трубке коллапсара электрона.

Разнополярные и однополярные частицы в структурных и индуцированных скоплениях коллапсара электрона проявляют максимальные силовые свойства на очень малых расстояниях.

Малые расстояния между разнополярными частицами субстанции и скоплениями частиц – это ключ, начало процесса коллапсирования, преобладающими силами сжатия между разнополярными зарядами над силами противодействия сжатию между однополярными зарядами.

Силы противодействия между однополярными частицами проигрывают в единоборстве силам сжатия между разнополярными частицами, равновесие сил достигается в состоянии коллапса частиц субстанции (рис. 31, внизу).

Уменьшаются расстояния между частицами – растут силы сжатия и силы противодействия сжатию, но на малых расстояниях пре-

кращается геометрическое превосходство разнополярных частиц в системе сжатия. На малых расстояниях между частицами образуется силовое геометрическое взаимодействие в системах равновесия сил, свастиках.

На рисунке 31 показано равенство сил в свастиках на боковой поверхности шести элементарных трубок (внизу) и на боковой поверхности в условной трубке гравитонов в сферах.

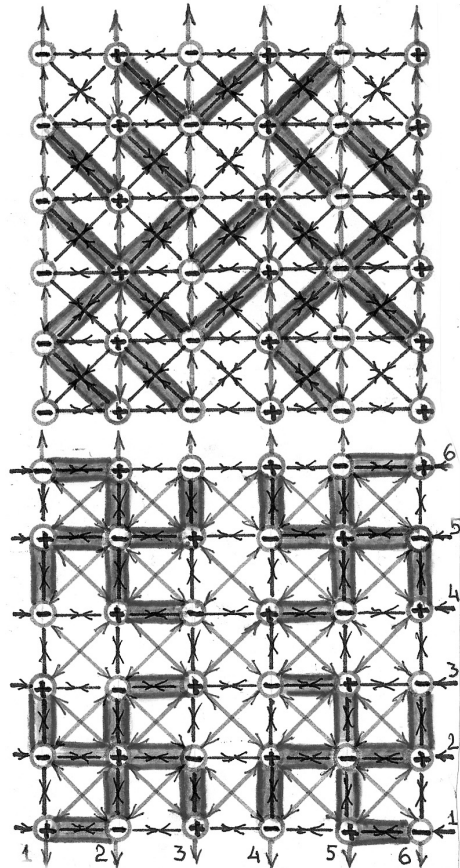


Рис. 31

Равновесие сил сжатия между разнополярными элементарными скоплениями в шести элементарных трубках электрона (рис. 31, внизу) и равновесие сил в волне сжатия сфер (вверху рисунка), в

свастиках, показывает природу происхождения элементарных скоплений плюс и минус и частиц субстанции вещества.

Напомним, гамма-нейтрино состоит из семи элементарных нейтрино, расположенных в двух поляризованных семёрках плюс и минус. Гамма-нейтрино образует гамма-трубки в коллапсаре электрона.

На рисунке 32 показано по девять элементарных скоплений, образующих систему силового равновесия в элементарных свастиках плюс и минус. Каждая свастика состоит из девяти элементарных скоплений плюс и минус, поэтому названа элементарной гамма-свастикой.

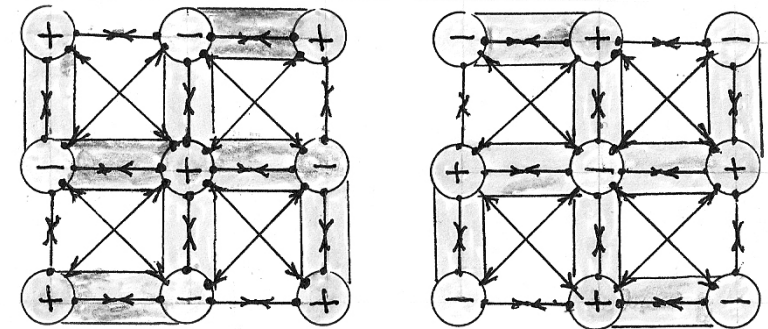


Рис. 32

Структура свастики состоит из девяти элементарных скоплений, по четыре однополярных элементарных скопления плюс и минус расположены в вершинах большого и малого квадратов, девятое элементарное скопление расположено в центре квадратов, определяет полярность единой системы централизованного сжатия.

На рисунке 32 показаны элементарная гамма свастика плюс (слева) и элементарная гамма свастика минус (справа), каждая свастика состоит из девяти элементарных скоплений.

Масса элементарной гамма-свастики равна сумме масс в девяти элементарных скоплениях частиц субстанции. Потенциалы четырёх зарядов противоположного знака, в вершинах квадратов, нейтрализованы в электрической цепи свастики. Потенциалы нечётных,

девярых скоплений в центрах квадратов, взаимно нейтрализованы через индуцирование скоплений в первой сфере.

Из девяти (нечётное число) скоплений в свастике восемь зарядов в скоплениях противоположного знака взаимно нейтрализованы.

Девятые заряды в свастиках разделены геометрическим расположением в центре и структурно проявляются в индуцированной сфере как элементарные заряды гамма-свастик.

В системе взаимной нейтрализации разнополярных потенциалов свастик девятые скопления в противоположных свастиках гамма трубки проявляются как спиновые заряды с радиальными направлениями распространения векторных сил, через индуцирование единой системы стороннего поля электрона по экватору.

На рисунке 31 показаны элементарные развёрнутые свастики в шести элементарных трубках электрона (внизу) и свастики в условной трубке гравитонов сфер в волне сжатия. Гравитоны, скопления, расположенные в вершинах шестиугольников, в волне сжатия сфер, образуют условную трубку гравитонов.

На рисунке (рис. 31) в нижней части рисунка показаны структурные образования из девяти скоплений в форме отдельных свастик на поверхности шести элементарных трубок коллапсара электрона в гамма-трубке.

Гамма-трубки электрона расположены в семёрке. Возникает естественный вопрос, как индуцируют собственное подобие в сферах девять скоплений в свастиках, расположенных к центру коллапсара?

Расположенные к центру свастики сохраняют систему сжатия и противодействия сжатию, а электрический потенциал скоплений индуцирует гравитационное поле через системы однополярных блоков (см. рис. 28), усиливает потенциалы скоплений в свастиках, расположенных на внешней стороне коллапсара электрона.

Каждое элементарное скопление в коллапсарах индуцирует гравитационное поле в интегрированных структурах. Напомним, по оси (z) две структуры однополярных блоков образуют систему гравитационного индуцирования двух треугольников в гамма трубках и в общей системе коллапсара электрона (большие треугольники).

Потенциалы элементарных скоплений в 49 разделённой трубке нейтрализуются через индуцирование стороннего электрического

поля, а через единую систему однополярных блоков индуцируют совместное гравитационное поле коллапсара электрона. Нечётные скопления всегда связаны электрическим контактом в системе звезды (см. рис. 28).

На развёртке шести элементарных трубок (рис. 31) скопления в трубках образуют структуры сжатия в виде свастик, и каждая свастика индуцирует своим подобием общую структуру первой сферы в направлении экватора совместно с системами двух треугольников, индуцирующих первую сферу в полярных направлениях. Свастики, расположенные к центру коллапсара, индуцируют сферу через однополярные блоки.

Взаимное расположение разнополярных скоплений в трубках коллапсара электрона и в условной трубке гравитонов сфер в волне сжатия, противоположное и это, определяет ориентацию свастик и площади размещения свастик.

На рисунке (рис. 31) показано принципиальное отличие сил притяжения и сил сжатия в структурах коллапсаров и в индуцированных сферах.

Смысловое описание сущности систем равновесия сил в свастиках коллапсаров и в индуцированных сферах требует внимательного изучения направления векторных сил сжатия между разнополярными элементарными скоплениями и изучения направления векторных сил противодействия сжатию, между однополярными элементарными скоплениями.

Изменение направления сил сжатия между разнополярными элементарными скоплениями в коллапсарах и сферах определяет геометрическую форму колен свастики в последовательных электрических цепях сжатия и противодействия сжатию.

Прямые, замкнутые в змеевидной электрической цепи силы сжатия в элементарных трубках на рисунке показаны вертикально и прямые силы сжатия в кольцах семёрок, показаны горизонтально, интегрированы в силовых системах свастик гамма-трубок. Стороны свастик в коллапсаре, вертикальные и горизонтальные колена, расположены по сторонам квадратов, а в твердых – диагонально (рис. 31).

Направления векторных сил противодействия сжатию между однополярными элементарными скоплениями в свастиках образу-



ют крест между коленами, на площади свастик и между свастиками (рис. 32), направлены по диагоналям больших квадратов и по сторонам малых квадратов в свастиках.

Четыре элементарных скопления в вершинах каждого креста (рис. 32), взаимным притяжением между разнополярными скоплениями по сторонам квадратов образуют систему четырёх созидательных сил сжатия в центре креста, на пересечении векторных сил противодействия сжатию по диагонали.

Направления векторных сил сжатия в малых квадратах диагональное, а в больших квадратах по диагоналям происходит противодействие сжатию!

Крестовые, диагональные силы противодействия сжатию в гамма-трубках коллапсара электрона, разрешают коллапс системы, но запрещают бесконечное сжатие, на малых расстояниях силы противодействия становятся прямыми и равны прямым силам сжатия.

Векторные силы сжатия в индуцированных сферах (рис. 31, вверху) диагональные, и поэтому свастики в условных трубках сфер волны сжатия располагаются на большой площади, колена свастик проникают на площадь соседних свастик.

Однополярные силы противодействия сжатию между сферами (на рисунке 31 показано векторами вертикально) в силовых параллельных линиях ограничивают сжатие радиально, но не в сфере.

Две гамма-свастики с собственными объединёнными интегрированными разнополярными центрами размещаются на трёх семёрках. На схеме (рис. 31, внизу) четыре свастики объединяют по девять элементарных скоплений в шести рядах (кольцах) семёрок, две свастики объединяют три семёрки.

Какой вывод можно сделать из закономерного расположения свастик на боковой поверхности гамма-трубок коллапсара электрона?

По девять элементарных скоплений в элементарных трубках коллапсара электрона, расположенных в силовой геометрической форме свастики (системы двух квадратов), создают собственную интегрированную систему взаимодействия в единой структуре коллапсара, подобную системе двух треугольников.

Разнополярные центры противоположащих свастик выполняют роль спинowego индуцирования, подобно поляризованным зарядам крайних скоплений в седьмой спиновой трубке.

Свастика – это подобие системы двух треугольников, объединяет четыре силы сжатия и противодействия сжатию в системе общего равновесия сил, индуцирует собственным подобием гравитационную сферу и стороннее электрическое поле. Общее количество семёрок в гамма-трубках коллапсара электрона должно делиться на три без остатка, но только при условии, делимое должно иметь чётное количество семёрок.

Две разнополярные семёрки образуют равное количество скоплений противоположного знака, по этой причине делаем заключение: количество семёрок в гамма-трубках коллапсара электрона должно быть кратное не трём, а шести. Реальное количество семёрок в гамма-трубках должно соответствовать одному из чисел следующего ряда: 6, 12, 18, 24 и так далее.

В разнополярных частицах субстанции всегда потенциально присутствуют оба свойства электричества – притяжение и отталкивание. Свойство притяжения и отталкивания проявляется не знаком заряда частицы или элементарного скопления, а взаимодействием!

Какие свойства имеет частица без взаимодействия? Ответ – её самой частицы нет, она скрыта!

Возрождает массу частиц из небытия силовое ВЗАИМОДЕЙСТВИЕ разнополярных и однополярных зарядов на носителях, частицах субстанции.

Возрождение частиц из скрытого, спящего состояния небытия происходит через свойства массы в частице субстанции, или притягивать зарядовую противоположность, или отталкивать собственное зарядовое подобие в силовом контакте.

Почему возрождение из спящего состояния – небытия, а не рождение частицы субстанции вновь? Материя не рождается, была всегда и всегда будет или в скрытом состоянии, или в проявленном состоянии циклического преобразования.

Скрытая материя космоса, потенциальная масса в абсолютных нейтральных частицах, абсолютных нейтрино, содержит в себе две

разнополярные компоненты вещества – субстанцию вещества и антисубстанцию вещества.

Субстанция вещества в нейтральной системе абсолютного нейтрино – это масса, обладающая отрицательными свойствами электричества и антисубстанция вещества, это масса, обладающая положительными свойствами электричества. Далее, для удобства повествования, будем называть разнополярные массы абсолютного вещества общим словом – субстанция.

В одном абсолютном нейтрино существуют две космические силы, силы взаимного притяжения. Два абсолютных нейтрино создают четыре космические силы, четыре силы прямого притяжения между разнополярными частицами в абсолютных нейтрино и единые крестовые силы противодействия притяжению между однополярными частицами.

Силы противодействия между двумя отрицательными и двумя положительными частицами равны по значению и рассматриваются под общим определением как однополярные силы.

Четыре космические силы образуют силовую систему квадрат, в вершинах квадрата располагаются однополярные частицы двух абсолютных нейтрино. Однополярные частицы плюс и минус, расположенные по диагоналям квадратов, образуют крест, силы сжатия между разнополярными частицами направлены по сторонам квадратов.

Разнополярные частицы субстанции в абсолютных нейтрино в особых условиях синтезирования образуют скопление частиц субстанции в элементарном нейтрино. Разнополярные скопления частиц субстанции, в элементарном нейтрино, потенциально обладают элементарными зарядами плюс и минус.

Все тела излучают или поглощают электромагнитные волны. Нет хаотического теплового движения частиц (скоплений частиц), есть закономерное, относительное движение разнополярных частиц субстанции, генерирующих или поглощающих энергию электромагнитного излучения.

Поляризация, проявление разнополярных зарядов в частицах субстанции, материи космоса происходит через тепловое движение генерирующих частиц субстанции и антисубстанции, в неподвижных абсолютных нейтрино и нейтральных скоплениях.

Энергия электромагнитных волн гасится безвозвратно силовым противодействием однополярных электрических зарядов в структурах индуцированных гравитационных сфер, в волнах сжатия и разряжения.

Неравенство электрических сил притяжения и сил противодействия притяжению между разнополярными и однополярными зарядами в гравитационных зарядовых твердых и в структурах коллапсаров создаёт относительное движение разнополярных и однополярных частиц субстанции.

Движение разнополярных частиц, скоплений частиц в коллапсарах и гравитационных твердых относительно друг друга генерирует электромагнитные волны в окружающее пространство, которые поглощаются и нейтрализуются движением других частиц и тел. Любое силовое движение частиц вещества, скоплений частиц в телах вызывает противодействие сил движению.

Приходящие электромагнитные волны изменяют равенство электрических сил сжатия и противодействия сжатию в волнах сжатия и разряжения твердых, изменяют расстояния между частицами, а изменение расстояний между электрическими зарядами в скоплениях – это электрический ток (ток смещения).

Сближение и отдаление поляризованных частиц изменяет электрические потенциалы в цепочках действия и противодействия электроразъединительных систем, создают необходимые условия тепловой генерации частиц субстанции. Продукт тепловой генерации – это электромагнитные волны, создают физический эквивалент изменением равновесия электрических сил в индуцированных сферах твердых.

Частицы субстанции и антисубстанции – разнополярные частицы субстанции, всегда стремятся к полному равновесию сил в абсолютных нейтрино, в состоянии абсолютного холода и неподвижности (скрытое состояние).

Подобные токи генерации электромагнитных волн, созданные движением частиц субстанции в электронах, существуют и в искусственном генераторе электромагнитных волн, колебательном контуре.

Токи электронов изменяют равновесие сил между разнополярными и однополярными частицами субстанции, в собственных зарядовых твердых, в силовых системах кристаллической решетки

проводников и в окружающем пространстве электрической цепи колебательного контура.

Какая принципиальная разница существует между электромагнитными волнами теплового движения частиц и радиоволнами? Частота колебаний и длина волны распространения даёт характеристику электромагнитным волнам теплового движения частиц. Теплота – это характеристика генерации частиц субстанции в твердых и структурах коллапсаров.

Природа света, конденсированных электромагнитных волн дана в общем описании апокалипсисов в системах коллапсаров.

Приходящие электромагнитные волны поддерживают или изменяют состояние генерации в сферических волнах сжатия и разряжения. Частицы в гравитационных твердых генерируют, создают космический тепловой фон – условие, необходимое для сохранения проявленного мира.

Тепло, генерация электромагнитных волн не накапливаются в Космосе, а поглощаются безвозвратно. Движение зарядовых систем в космическом пространстве (токи), процессы синтеза элементарных нейтрино, гамма-нейтрино, электронов, нуклонов, атомов в генерирующих сферах звёзд генерируют большую часть тепловых электромагнитных волн в пространстве Космоса.

Любое движение электрических зарядов в космических системах – это токи, а токи создают электромагнитные поля.

Движение элементарных коллапсаров, вырабатываемых в генерирующих сферах звёзд, скоплений элементарных коллапсаров в ядрах атомов и космических телах, излучение электромагнитных волн – изменяют структурное силовое равновесие поляризованных частиц в твердых космического пространства, поддерживают в состоянии тепловой генерации.

Движение элементарных коллапсаров создаёт тепловое движение в собственных зарядовых твердых. Тверди коллапсаров и любых коллективных систем в движении генерируют волны де Бройля взаимодействием индуцированных частиц в собственных твердых с частицами в твердых окружающих систем.

Причина всех люминисцентных явлений связана с генерацией в твердых движущихся элементарных коллапсаров, атомов, молекул

и любых тел. Генерация в собственных сферах создаёт совокупность частот или длин электромагнитных волн – спектр испускания (эмиссионный спектр), характерный каждой структуре твердей по спектральному анализу.

Люминисцентные явления проявляются и в твердых относительно неподвижных систем под воздействием внешних электромагнитных волн.

Тепловое движение возрождает массу в частицах абсолютной субстанции с проявления электрических свойств зарядов частиц. Поляризация, деление нейтрального скопления в абсолютном нейтринно, проявление потенциальных свойств разнополярных и однополярных частиц субстанции возможно только в состоянии теплового относительного движения.

Первичная материя бессмертна, вновь не рождается – уходит в спящее состояние, небытие при отсутствии теплового движения и вновь возрождается тепловым движением.

Системы двух квадратов, гамма свастики, объединяют девять элементарных скоплений, нечётное количество, что определяет системный знак (в центре) заряда свастики (+), или (-). На схеме (рис. 33), отдельно показаны системы двух квадратов в свастиках.

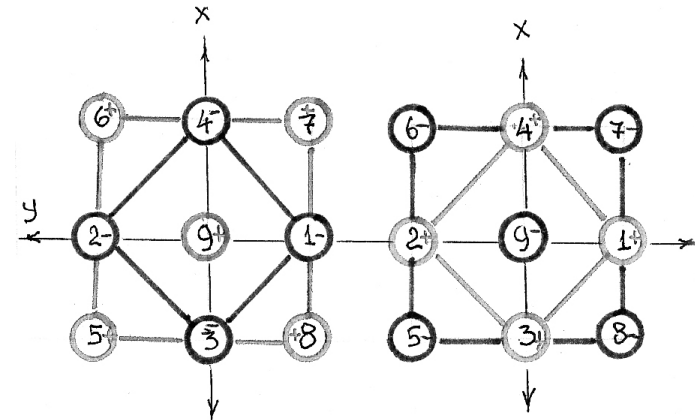


Рис. 33

На рисунке 33 показаны схемы расположения элементарных скоплений в системах двух квадратов, свастиках.

Системные скопления элементарных частиц субстанции в гамма-свастиках, коллапсаров электронов и индуцированных частиц субстанции в сферах волн сжатия и разряжения отображают единый космический закон силовой интеграции зарядовых масс.

Гравитационное индуцирование в системе двух треугольников направлено по оси зет в полярных направлениях, создаёт сотовую структуру в сферах.

Система двух квадратов в форме свастики индуцирует сферы по экватору, а как эта система вписывается в структуру общей сотовой сферы?

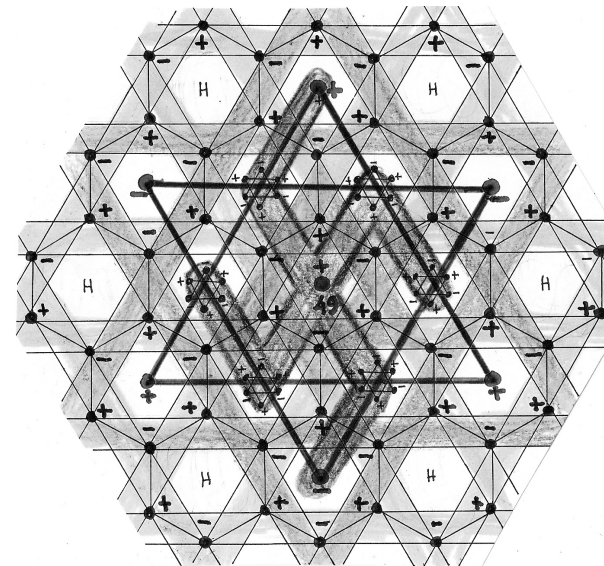
Системы двух квадратов, свастики универсальны в любой структуре коллапсаров и индуцированных твердых. Как универсальная система двух квадратов проявляется на индуцированной сфере в полярных направлениях?

Система двух квадратов показана вписанной в фрагмент гравитационной, первой сферы, на рисунке 34, в направлении одного из полюсов коллапсара электрона. Название «полюс» подобно земным северному и южному полюсу помогает в смысловом описании объяснять сущность образования свастики, систем двух квадратов в сферах.

Минимальные гамма-свастики, системы двух квадратов, изображенные на рисунке 32, стремятся построить идеальную систему равновесия сил без деформации, а на рисунке 34 показана деформированная свастика, почему?

На рисунке 34 показана свастика в ромбе, расположенном в структуре индуцированного системного гравитона коллапсара электрона (большие треугольники), малые гамма-свастики в структуре гамма-гравитонов не показаны.

Свастики, индуцированные в полярных направлениях, расположены в геометрическом пространстве шестиконечной звезды, системы двух треугольников. Свастики встроены в ромбы, системы двух треугольников в форме шестиконечной звезды (рис. 34).



*Рис. 34. Показана одна из трёх свастик в ромбах, образованных системой двух треугольников в гравитоне (большие треугольники) электрона.*

В индуцированном гравитоне электрона в форме шестиконечной звезды расположены три свастики в трёх направлениях, на рисунке 34 показана одна свастика. Геометрия шестиконечной звезды определяет искажённый (ромбический) вид системы двух квадратов, свастики.

Два треугольника образуют форму шестиконечной звезды, а в звезде расположены три ромба. В вершинах больших диагоналей трёх ромбов расположены индуцированные скопления гравитона электрона (седьмые скопления в гамма-трубах), а в вершинах малых диагоналей трёх ромбов расположены скопления в системе индуцированных полных магнетонов.

Свастики в гравитонах деформированы на площади ромбов геометрическим расположением индуцированных скоплений в вершинах и центре больших и малых шестиконечных звёзд. Деформированные системы двух квадратов в ромбах не изменяют сотовую структуру сфер, совместно с системами двух треугольников



интегрируют систему равновесия сил притяжения и сил противодействия притяжению в гравитонах и магнетонах.

Одна (показана одна из трёх) деформированная система двух квадратов свастика электрона (рис. 34) объединяет шесть магнетонов электрона с двумя скоплениями в гравитоне электрона, расположенных в разных треугольниках и со скоплением в центре.

Три наложенных друг на друга системы двух квадратов, свастики, объединяют потенциалы магнетонов, гамма-гравитонов и гравитона электрона и потенциалы разделённых зарядов спиновой трубки. В центре свастики расположено скопление, индуцированное концевыми зарядами 49 разделённой трубки. Вывод: системы двух квадратов, свастики интегрируют потенциалы в гравитонах, магнетонах и потенциалы в разделённых спиновых трубках, образуют общую систему равновесия сил.

В сфере в полярных направлениях система двух квадратов, свастика, расположена в структурах индуцированных гравитонов и магнетонов (рис. 34). Подобная система интегрирования сил существует и в коллапсаре электрона, на рисунке 35 показана система двух квадратов в ромбе гравитанта электрона.

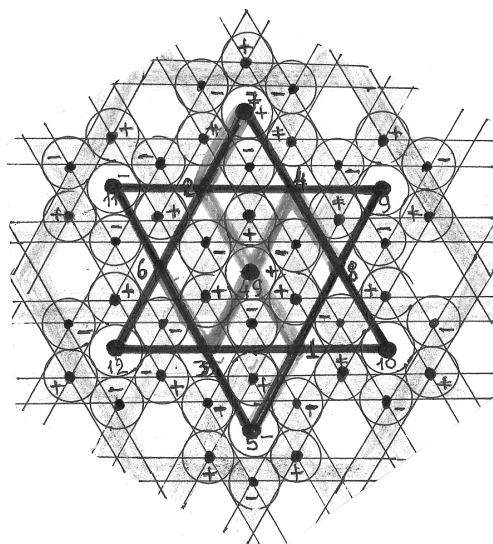


Рис. 35

Систему двух квадратов электрона, свастику, образуют электрические потенциалы 49 концевых элементарных скоплений, расположенных в полярных направлениях с противоположных сторон коллапсара (рис. 35).

Элементарные скопления в семёрках гамма-гравитантов, скопления (седьмые в гамма трубках) гравитанта электрона и скопления в поляризаторах магнетонов создают общую систему равновесия сил в системном стабилизаторе сил (Рис. 35), свастике электрона.

На рисунке 35 показана одна из трёх свастик электрона. Не показаны свастики и в гамма гравитантах. Свастики электрона в трёх ромбах шестиконечной звезды объединяют семь трубок гамма-гравитантов и шесть магнетонных трубок в коллапсаре электрона.

Деформация в ромбах идеальной системы двух квадратов даёт подсказку о существовании силовой напряжённости в гравитационных твердях.

Минимальное количество скоплений в системе двух квадратов равно девяти, пять скоплений частиц одного знака и четыре скопления частиц противоположного знака. Совмещённые системы двух квадратов используют часть скоплений совместно.

Система двух квадратов универсальна, образует интегрированные взаимодействия гамма-систем, не изменяет дифференцированные свойства каждой.

Девять гамма-свастик (рис. 36), образуют единую свастику в большом подобии. Объединение малых гамма-свастик в большие свастики, например, на боковой поверхности коллапсаров электронов (рис. 36), продолжается далее в закономерной последовательности и в сферах.

Идеализированный, фрагмент объединения девяти гамма-свастик показан на рисунке 36, без индуцирования (деформации) сторонним электрическим полем.

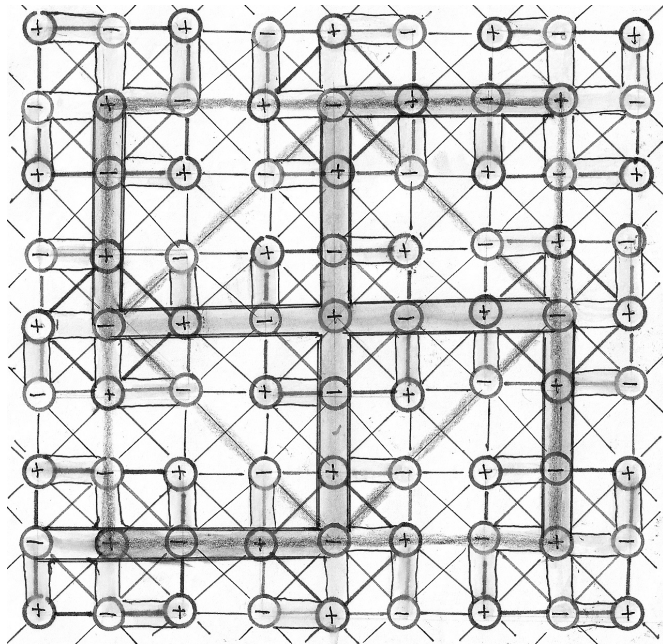


Рис. 36. Показана интеграция девяти идеализированных гамма-свастик в объединённой системе двух квадратов.

Структура свастики объединяет индуцированные заряды скоплений в интегрированный, общий заряд сжатия и противодействия сжатию.

Общий, суммарный, гравитационный заряд сжатия в свастиках образует подобную систему взаимодействия индуцированных скоплений в форме вихревых волн сжатия и разряджения на расстоянии. Расположение общих гравитационных зарядов сжатия, системы двух квадратов подобно геометрическому расположению скопленных частиц в форме свастики (рис. 36).

Общие гравитационные заряды в свастиках индуцируют собственное подобие на расстояние не только в сферах, но и в центрах масс.

В общем геометрическом центре (центре тяжести), в пространстве между скоплениями частиц, коллапсарами, гравитационными массами в системах происходит образование единого индуцированного, пропорционального по массе, общего зарядового центра.

Индукцированные зарядовые центры могут перемещаться и быть неподвижными (относительно неподвижными). Например, индуцированные зарядовые центры сжатия в шаровых скоплениях (шаровые молнии) могут быть неподвижными (не наблюдаются, но они существуют) и выдают себя при движении в пространстве или при разрушении, полном или частичном.

Подвижные вихревые зарядовые центры (подобие свастики) перемещаются в пространстве через ротацию частиц субстанции в структуре свастики. Перемещаются не частицы субстанции в свастике, а волны зарядов в виде вихря (свастики) через индуцирование новых частиц субстанции по направлению движения. Процесс ротации частиц субстанции в движущемся гравитационном заряде свастики, может происходить по закону распространения электромагнитных волн.

Возможные перемещения зарядовых центров (скоплений) через ротацию скоплений, перемещение электромагнитных волн в форме свастик, подобия свастик происходят по закону близкодействия.

Состояние неподвижности (относительной неподвижности) зарядовых центров определяет относительная взаимная неподвижность всей структуры индуцирования.

Например, относительной неподвижностью обладают зарядовые центры, индуцированные коллапсары в звёздах и планетах. Подвижностью обладают общие зарядовые центры сжатия между циклонами – антициклоны, образуются, перемещаются и распадаются при отсутствии внешнего индуцирования.

Скорость и направление перемещения закрытых зарядовых центров (например, коллапсара Земли) зависит от скорости перемещения масс индуцирования, окружающих зарядовый центр.

Зарядовые центры, построенные из скоплений частиц субстанции, могут перемещаться через ротацию частиц по законам распространения электромагнитных волн, проникать через препятствия, подобно шаровым молниям. Зарядовые центры, построенные из элементарных коллапсаров, не могут перемещаться через ротацию.

Системные скопления галактических масс в объединениях коллапсаров образуют форму взаимодействия в виде свастик, с единым зарядовым индуцированным центром Галактики.

Универсальный закон двух квадратов объединяет плоское и объёмное взаимодействие скоплений в пространствах коллапсаров и в индуцированных твердях. Деформация квадратов, свастик в структурах коллапсаров и индуцированных твердях показывает признаки универсальности систем гравитационного взаимодействия.

Рассмотрим процесс индуцирования скоплений первой сферы коллапсара электрона. Необходимо ответить на следующие вопросы: как происходит образование скоплений и его полярность, почему скопления в сфере выстраивают подобие взаимному расположению элементарных скоплений в коллапсаре?

В короткой форме процесс индуцирования скоплений, в гравитантах первой сферы можно описать примерно так.

Электрические потенциалы концевых скоплений в 49 элементарных трубках коллапсара электрона индуцируют собственное зарядовое подобие в скоплениях однополярных частиц в ближайшем пространстве.

Потенциалы концевых скоплений в 49 трубках, будто поршнем, сжимают перед собой одноимённые по знаку электрического заряда частицы вещества собственного подобия в единое скопление, но этому процессу препятствуют силы притяжения соседних зарядов противоположного знака в других концевых трубках коллапсара.

Частицы вещества находятся в тисках двойного сжатия между силой отталкивания, потенциалом одноимённого элементарного заряда и силами притяжения к соседним скоплениям противоположного знака в коллапсаре. На некотором расстоянии образуются индуцированные (созданные) скопления, сближение с коллапсаром даёт преимущество силам отталкивания, а отдаление даёт преимущество силам притяжения.

Одновременно электрические потенциалы концевых скоплений притягивают частицы вещества противоположного знака, но этому противодействуют также рядом расположенные концевые заряды другого знака в соседних трубках. По этой причине происходит сжатие одноимённых частиц в скопления первой сферы на некотором расстоянии от коллапсара, системой равновесия сил.

Взаимное геометрическое расположение скоплений в коллапсаре выстраивает собственное силовое подобие в индуцированной

сфере. Подобные процессы происходят с индуцированием скоплений в следующих сферах.

Однополярные скопления в сферах распространяются стреловидно, в радиальном направлении, последовательно повторяются в следующих сферах твердей.

Перпендикулярно к каждому однополярному скоплению в сфере индуцированы скопления (в системе двух квадратов четыре скопления) противоположного знака, с геометрическим расположением в вершинах малого квадрата (образуют крест, рис. 32).

Совместно пять скоплений, четыре в вершинах малого квадрата и одно в центре, индуцируют четыре скопления в вершинах большого квадрата, однополярных заряду скопления в центре (рис. 32).

Силовое равновесие сил в идеальной, недеформированной свастике (рис. 32) образует соотношение площадей квадратов 1:2. Нарушение соотношения площадей квадратов в ромбе – признак силовой деформации в системе и может определяться практически, через математическое описание.

Скопления в вершинах большого квадрата, свастики, одновременно находятся в структурах малых квадратов, в общей системе гравитационных сфер и твердей (см. рис. 36).

Центр свастики есть общий индуцированный центр девяти поляризованных скоплений в единой системе коллапсара и подобен центру семёрки. В объединённых свастиках центры девяти скоплений размещены в центрах малых свастик (рис. 36).

Центры свастик, показанные на фрагментах (рис. 32), определяют закономерную интеграцию сил, симметрию противодействия коллективами скоплений в общей интегрированной системе коллапсара.

Потенциалы девяти скоплений в свастиках, расположенных по экватору, индуцируют в гравитационной сфере электрона центры шестиконечных звёзд (сдьмые скопления в гамма-гравитонах) совместно с потенциалами концевых сдьмых скоплений в гравитантах, расположенных в сторону экватора.

Потенциалы концевых скоплений разделённой сдьмой трубки в шести гамма-трубках образуют общую структуру нейтрализации

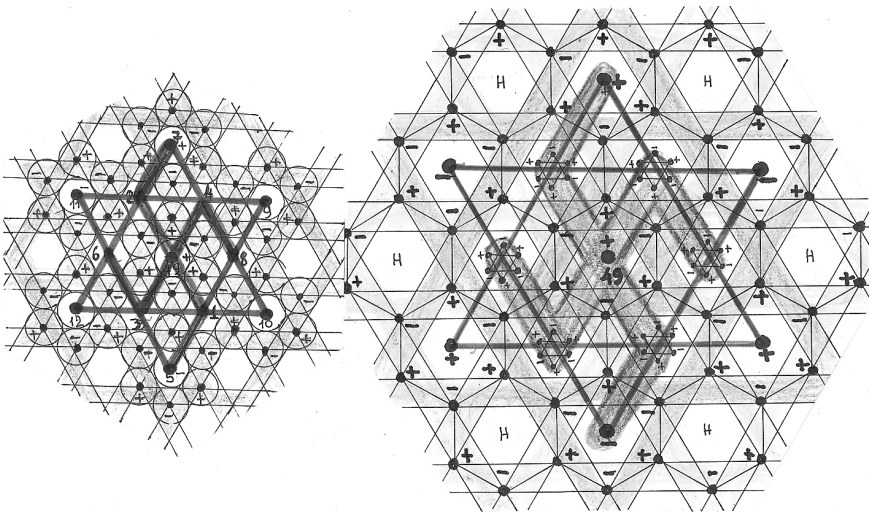


сил в системном гравитанте электрона и индуцируют седьмые скопления в гравитонах.

Потенциалы шести элементарных трубок в семи гамма-трубках электрона, в замкнутых последовательных цепях взаимодействия разнополярных зарядов расположены навстречу друг другу.

Соответственно, электрическая цепь нейтрализации потенциалов в шести трубках замкнута, все скопления в змеевидной последовательной цепи следуют одно за другим и не могут иметь статус разделённого поляризованного скопления, но только в прямом взаимодействии.

Скопления в шести элементарных трубках образуют боковую поверхность гамма-трубки и открыты в радиальном направлении для индуцирования пространства по экватору, в системе двух квадратов.



*Рис. 37. Структура коллапса электрона, концевых скоплений в элементарных трубках, скоплений в поляризаторах магнетонных трубок, системы двух квадратов, системы двух треугольников, как в зеркале, отражаются в индуцированной полярной полусфере электрона (справа).*

Каждое скопление в свастике индуцирует собственное подобие и нейтрализуется в ближайшей замкнутой гравитационной сфере.

Скопления в системах двух квадратов вписываются в шестиконечную структуру гравитационной сферы по экватору и создают единую систему гравитационного индуцирования (рис. 37).

Два направления индуцирования (в полярных направлениях и по экватору) имеют схожее структурное расположение в сферах, создают седьмое скопление через деформацию системы двух квадратов в виде ромба шестиконечной звезды (см. рис. 37).

Индуцирование свастиками экваториальной зоны подобно гравитационному индуцированию в полярных направлениях системами двух треугольников.

На рисунке 37 показано подобие силовых однополярных линий в кольцах сжатия и противодействия сжатию в коллапсаре электрона (слева) и в индуцированной первой сфере (справа).

Особым свойством обладает суммарный заряд разделённой 49 трубки и силовые магнитные линии, исходящие от магнетонных трубок электрона (рис. 37).

Электрический потенциал концевых скоплений 49 трубки и магнитные потенциалы магнетонных трубок создают единую систему электромагнитного поля.

Магнитное индуцирование, исходящее от магнетонов коллапсара электрона в противоположных, полярных направлениях, выстраивает систему замкнутых электромагнитных силовых линий по экватору.

Пучки силовых магнитных линий начинаются у концевых поляризаторов магнетонных трубок коллапсара и смыкаются над экватором в замкнутой системе нейтрализации.

Разнополярные заряды в свастиках гравитонов не выстраивают замкнутых магнитных линий, выстраивают силовые линии и кольца нейтрализации сил в сферах, но сами кольца в сферах имеют непосредственный контакт с силовыми магнитными линиями! В системах коллапсаров рождается электромагнитное поле и распространяется в электромагнитных силовых линиях через индуцированные сферы в волнах сжатия и разряжения.



Направление индуцирования по экватору зарядами в свастиках перпендикулярно полюсному магнитному индуцированию создаёт, в коллапсах-магнитах особую нейтральную зону.

Нейтрализация потенциалов концевых зарядов разделённой 49 трубки происходит через индуцирование самостоятельного, стороннего электрического поля в отдельном коллапсаре электрона или совместную структуру стороннего поля в коллективах взаимодействия, например, в электрон-позитронном нейтрине.

Разделённые седьмые скопления в шести гамма-трубках индуцируют гравитационные сферы в структуре системного гравитона, разделена в электроне только 49 трубка. Разнополярные скопления в 48 элементарных трубках электрона взаимодействуют в замкнутой последовательной (змеевидной) цепи сжатия и нейтрализованы. Те же скопления в 48 трубках, расположенные по диагоналям условных квадратов (спирально), образуют системы однополярных потенциалов, противодействующих сжатию и образующих системы двух треугольников, гравитанты, в гамма-трубках и в коллапсаре.

И те же скопления индуцируют экваториальное и полярные направления коллапсара системами двух квадратов, свастиками.

Причина кажущегося сложного общего индуцирования в едином космическом законе двух квадратов (рис. 32). На рисунке 36 показана идеализированная плоская сфера из девяти минимальных свастик, но сферы взаимодействуют и образуют объёмную систему свастик (рис. 38).

Чередование трёх сфер образует куб в пространстве минимальной свастики (см. рис. 38), а в девяти сферах куб в пространстве большой свастики из девяти минимальных (рис. 36). Минимальная система двух квадратов на рисунке 38 образует в трёх сферах куб (подобие куба), показано вверху. В нижней, развёрнутой части рисунка, показано скопление в центре куба (пересечение осей  $X, y, z$ ) взаимодействующее одновременно со всеми 26 окружающими скоплениями, с шестью непосредственно.

Закон силового взаимодействия действует независимо от физического происхождения скопления и структурного его расположения в коллапсах или твердях. Природа происхождения

разнополярных скоплений из абсолютных нейтринно едина в коллапсах и в твердях, все образованы электроразделительными силами.

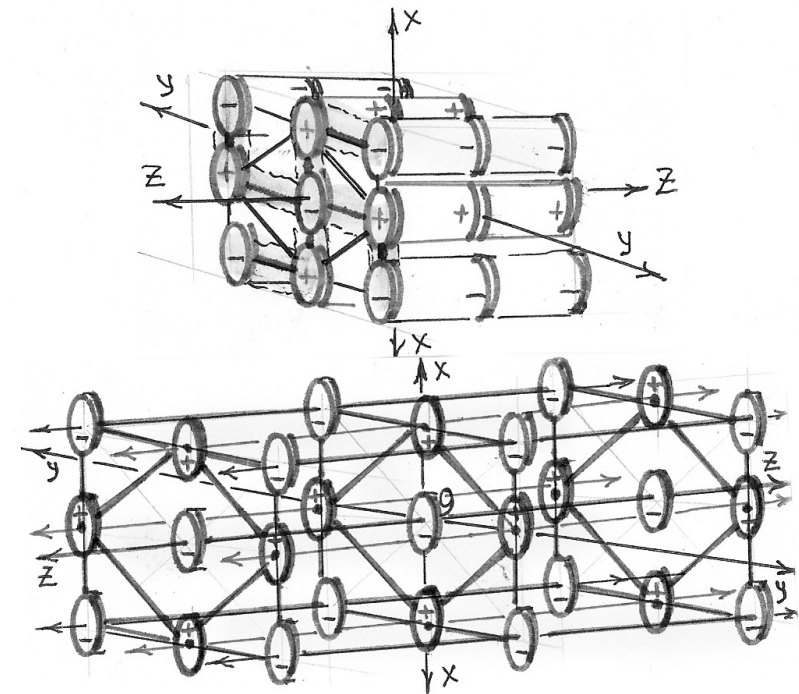


Рис. 38

Идеализированная (без деформации) система двух квадратов образует универсальные объёмные системы силового взаимодействия сфер в волнах сжатия и разрядки (рис. 38).

Система силовых связей одного скопления с окружающими поляризованными скоплениями универсальна в структурах коллапсаров и индуцированных твердях и даёт ответ на вопрос почему скопления в свастиках общей трубки коллапсара электрона индуцируют сферы по экватору и в полярных направлениях.

Кубовитость свастик возможна при условии равных расстояний между скоплениями в сферах и между сферами (рис. 38), нарушение кубовитости изменяет идеализированную систему равновесия.

Структурное, геометрическое, расположение поляризованных скоплений на оси (z), в 49 трубке коллапсара электрона и статус нечётной определяют характеристики особой системы силовой нейтрализации скоплений в стороннем электрическом поле.

Сравним: разнополярные скопления в элементарных прямых трубках замкнуты в змеевидных цепях сжатия, следуют одно за другим, и нет в электрических цепях концевых скоплений, и потому суммарные зарядовые потенциалы скоплений в трубках замкнуты.

Одновременно однополярные потенциалы скоплений в элементарных трубках образуют систему двух треугольников концевыми зарядами в противоположные стороны, создают собственное подобие в индуцированной сфере.

Согласно закону индуцирования (кроме первой, любая сфера индуцирована предыдущей и сама индуцирует последующую), любое скопление взаимодействует непосредственно, радиально по оси z, с двумя однополярными скоплениями, а по осям

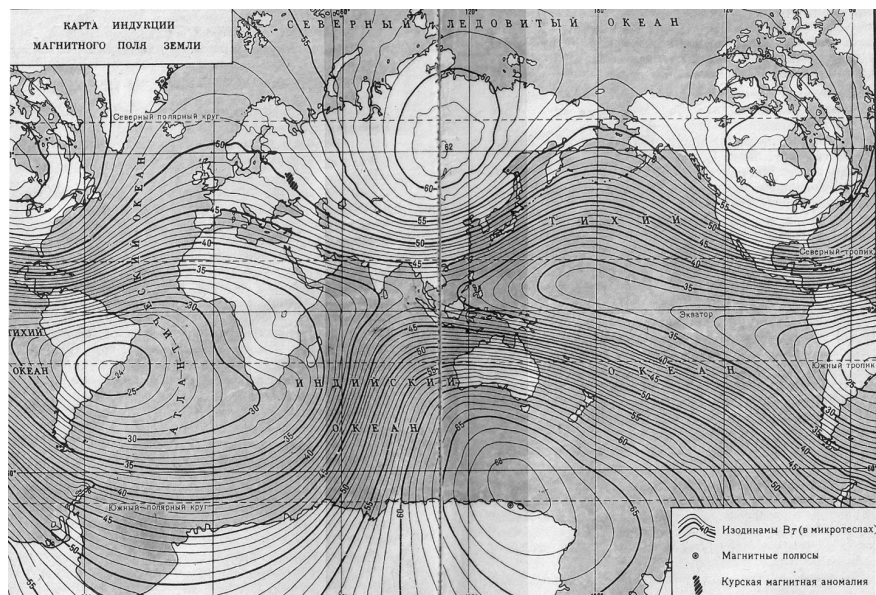


Рис. 39. Карта индукции магнитного поля Земли.

икс и игрек с четырьмя скоплениями противоположного знака (рис. 38).

Особыми свойствами обладают спиновые, разделённые заряды в нечётной 49 трубке коллапсара электрона. Электрический потенциал концевых скоплений 49 трубки не имеет цепи нейтрализации в структуре коллапсара электрона, индуцирует систему нейтрализации в окружающем пространстве через индуцирование стороннего электрического поля.

Электрическое поле разделённых зарядов – это не кулоновское поле, известно как стороннее электрическое поле или электроразделительное поле

Электрическое поле Земли – это стороннее электрическое поле. Для дальнейшего описания природы электромагнитного поля необходимо показать наглядно проявление электрического стороннего поля на карте индукции магнитного поля Земли.

Подробное описание происхождения планеты Земля опубликовано в разделе Космогония истины.

Краткое описание карты индукции магнитного поля Земли, показанной на рисунке 39.

На географическую основу нанесены изолинии картографируемых физических величин. Изолиния – это прямая или кривая, во всех точках изолинии физическая величина измерения имеет одно и то же значение.

Магнитные карты по существу являются общей картой, совмещения карты изогон, изоклин или изодинам. Мировые магнитные карты – представляют собой изображение изолиний, отражающих пространственное распределение главного магнитного поля и крупных, региональных аномалий.

Замкнутые изолинии на мировых магнитных картах выявляют особенности крупных магнитных аномалий и общую систему расположения изолиний. На карте индукции магнитного поля Земли видны четыре материковых аномалии.

Три аномалии имеют, приблизительно, равное значение в изодинамах. Это Северобайкальская и Североамериканская аномалии в северном полушарии и аномалия у берегов Антарктиды, в южном полушарии.

Значения изодинам даны в единицах индукции магнитного поля, в теслах (микротеслах). Четвёртая аномалия, Южноамериканская, имеет существенное отличие не только в единицах измерения (24), но ещё и географическим расположением между системами в северном и южном полушариях.

У города Рио-де-Жанейро значение магнитного поля Земли в единицах измерения равно 24, сравним, в трёх других аномалиях более чем 60 (изодинамы даны в микротеслах).

Над городом Рио-де-Жанейро и над Южной Америкой находится электромагнитная крыша мира. Сравнение с крышей мира уместно, электромагнитная гора реально существует и образует силовую систему противодействия между полюсными системами.

Южная часть полуострова Индо-Китай и остров Суматра находятся в центре выхода двух противоположных по знаку полярности, разделённых зарядов спиновой трубки дискатора Земли. С запада и востока от выхода индуцирования стороннего поля расположены изолинии индуцированной магнитной горы по экватору.

Северобайкальская и Североамериканская аномалии объединяют единую структуру сжатия в северном полушарии. Аномалия у берегов Антарктиды объединяет силы сжатия в южном полушарии.

Стороннее электрическое поле и магнитное поле совместно образуют электромагнитное поле. Планета Земля обладает электромагнитным полем. Смысловое описание стороннего электрического поля и магнитного поля Земли наглядно объясняет природу электромагнитного поля.

У планеты Земля нет избыточного отрицательного заряда и нет кулоновского электрического поля, есть стороннее электрическое поле!

Известно, неэлектростатические силы называются сторонними силами. Сторонние силы могут быть созданы источниками тока (аккумуляторами, гальваническими элементами, электрическими генераторами и др.).

Внешние, сторонние силы, индуцируют стороннее электрическое поле в проводнике, в котором движутся заряды электронов

в замкнутой электрической цепи. Движущиеся в проводнике заряды электронов создают магнитное поле, электроны обладают собственным сторонним полем, и через него происходит образование магнитного поля в движущемся электроне.

Индукцированный коллапсар – дискатор Земли, находится в центре планеты, состоит из элементарных скоплений в элементарных нейтральных коллапсарах, гамма-нейтрино, электронов  $e^-$  и нейтронов. Масса дискатора пропорциональна зарядовой массе Земли и общей массе индуцированных скоплений в твердых.

Изолинии на карте индукции магнитного поля Земли (рис. 39) замкнуты в трёх индуцированных системах и образуют характерный рисунок на поверхности Земли.

В индуцированной системе северного полушария, в массе полушария и околоземном космическом пространстве распространяется отрицательный заряд спина коллапсара Земли. В индуцированной системе южного полушария распространяется положительный заряд спина коллапсара Земли.

Между индуцированными системами в северном и южном полушарии расположена общая индуцированная система нейтрализации разнополярных индуцированных систем в полушариях. Электромагнитное поле Земли едино и неразделимо в двух составляющих, магнитном поле и электрическом стороннем поле.

Электрический потенциал разделённой, нечётной, трубки дискатора Земли, через систему индуцирования выходит на поверхность и нейтрализуется в околоземном космическом пространстве.

Место выхода стороннего электрического поля на карте индукции магнитного поля Земли имеет характерный рисунок, образованный изолиниями и находится в Индийском океане (см. карту, рис. 39).



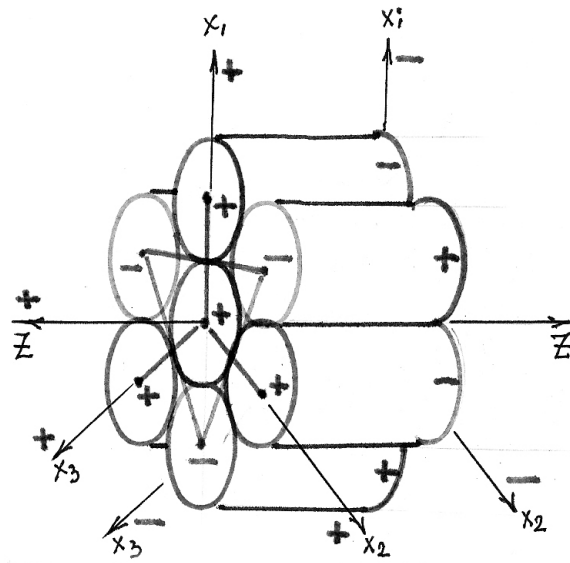


Рис. 40

Общий центр выхода стороннего электрического поля Земли на поверхность и околоземное пространство находится на острове Суматра (рис. 41). Всего возможных потенциальных направлений выхода стороннего электрического поля на поверхность шара Земли – три, смещённые на 120 градусов (см. рис. 40).

На рисунке 40 показан общий вид коллапсара – дискатора Земли, и три возможных направления выхода стороннего поля на поверхность. Элементарные коллапсары могут иметь четыре направления выхода стороннего поля, четвёртое в противоположные стороны по оси зет.

Коллапсары планет и звёзд относятся к индуцированным коллапсарам и названы дискаторами. Преобладание сил сжатия в общей трубке коллапсара Земли, по оси зет и в плоскости осей икс и игрек деформирует форму трубки в подобие диска автомобильного колеса.

Элементарные и индуцированные коллапсары, независимо от структурной сложности, имеют систему построения в семёрках и интегрированных системах взаимодействия, под условным названием треугольник-звезда. На рисунке (рис. 40) показана принципи-

альная схема трёх возможных выходов стороннего поля на поверхность Земли через три направления в структуре звезды.

Смена направления выхода стороннего поля на поверхность и околоземное космическое пространство приводит к апокалипсису на планете Земля.

В результате апокалипсиса разрушается существующее электрическое поле и магнитное поле Земли и одновременно происходит индуцирование новой системы нейтрализации спиновых зарядов через другое направление максимального выхода стороннего поля на поверхность Земли.

Почему происходят апокалипсисы на Земле? Движение материков и земной коры – это движение электрических зарядов в перемещаемых массах материков. Смещение электрических зарядов в подвижных массах нарушает равновесие сил в индуцированном электрическом поле Земли.

Электрическое поле Земли перемещает массы в материках и земной коре и создаёт условия собственного жертвоприношения, апокалипсиса, для продолжения биологической жизни на Земле через рождение нового поля, с максимальным выходом электрического поля в другом месте.

Выход на поверхность существующего в наше время электрического поля Земли (см. карту индукции магнитного поля, рис. 41) называется Балу-бык (центр о. Суматра), прежнее направление максимального выхода спина находилось в 120 градусах восточнее, в Тихом океане и называлось Илу-бык.

Индуцированное электрическое поле начинается в электрической незамкнутой цепи спиновой трубки дискатора Земли.

Однополярные электрические потенциалы зарядовых блоков в разделённой трубке дискатора направлены в противоположные стороны, индуцируют массу полушарий Земли. Индуцированные электрические, разнополярные потенциалы в полушариях образуют в кольцевой зоне, по экватору, систему нейтрализации.

Над дискатором в одном из трёх направлений звезды на поверхности планеты образуется наибольшее проявление потенциала спина в Илу (Балу) между индуцированными массами в полушариях и массой нейтрализации по экватору.



Пространство на поверхности планеты, где образовался Илу (Балу), называется выходом стороннего поля на поверхность Земли.

Реально вся масса, начиная от дискатора Земли, индуцирует электрическое поле, но общим географическим местом максимального проявления сил сжатия и противодействия сжатию заряда на поверхности Земли обладает Илу (Балу, рис. 41).

Названия Илу, Балу (Бык, Корова) и другие названия в мифологиях даны проявлению электрического поля в месте выхода на поверхность Земли. Место выхода Балу на поверхность образует характерный рисунок взаимным расположением изолиний в полушариях и по экватору на карте индукции магнитного поля.

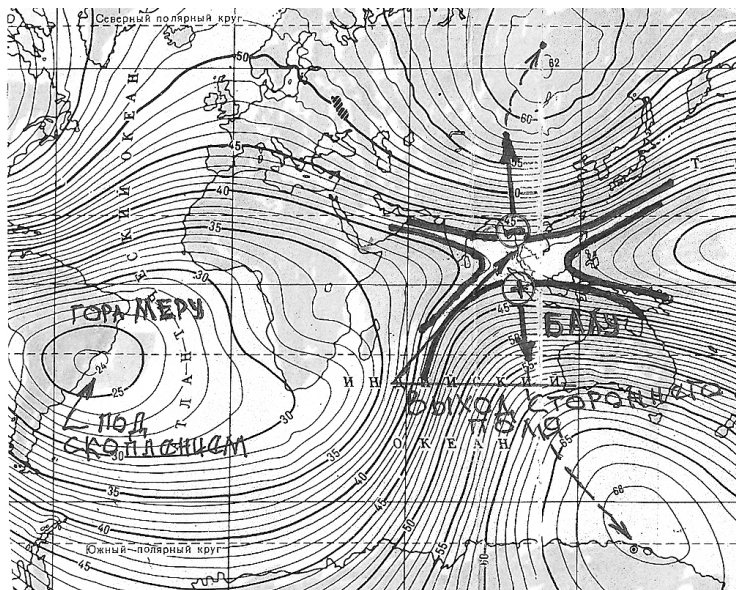


Рис. 41

Апокалипсисы – это жертвоприношение прежней системы индуцированного электрического поля для рождения новой системы электрического поля. Апокалипсисы создают условия для зарождения биологической жизни на планетах с благоприятными климатическими условиями жизни, подобными существующим на нашей Земле, совершенствуют и сохраняют жизнь.

Какова энергия стороннего поля, можно судить по результатам действия стороннего поля:

- стороннее поле образовало Пангею в начальный период формирования планеты и отделившуюся от Пангеи массу будущего спутника Земли – Луны.

- стороннее поле разрушило Пангею на части и продолжает перемещать материки, образует горы, создаёт систему океанических и воздушных течений.

- искусственное, прогрессирующее движение масс по планете и в околоземных зарядовых твердых телах в людях, грузах и транспорте, изменение масс в материках перемещением полезных ископаемых и углеводородов на другие континенты, искусственные преграды для стока вод изменяют естественное соотношение сил действия и противодействия в общей глобальной зарядовой системе Земли.

- искусственное внесение хаоса в естественные циклические изменения сопровождается адекватным противодействием зарядовой системы Земли, на любое действие существует противодействие. По незнанию истины противодействие зарядовой системы планеты Земля искусственному вмешательству человечеством объясняется как глобальное изменение климата, вызванного парниковым эффектом, разрушением озонового слоя и другими небывшими.

- Земля – это зарядовая система, живое интуитивное космическое создание. Вмешательство человека, изменяющее структуру равновесия электрических сил в общей подвижной зарядовой системе на поверхности Земли сопровождается ответными процессами противодействия изменениям, нарушающим сложившееся циклическое равновесие сил между континентами.

- перемещение любой массы – это перемещение скопления электричества в зарядовых массах и индуцированных твердых телах. Перемещение зарядов в массах изменяет естественное соотношение сил в электрическом стороннем поле Земли.

- насильственное перемещение электрических зарядов в массах, хозяйственной деятельностью людей изменяет сложившуюся структуру сил циклического равновесия, вносит элементы хаоса. Например, зарядовая масса загруженного аэробуса, вылетающего с Американского континента, будет заполнена естественным адекват-

ным движением зарядовых масс в атмосфере в обратном (условно) направлении движению самолёта.

- неоднократные смены направлений максимальных выходов стороннего поля в истории планеты сопровождаются апокалипсисами Земли, губительными физическими процессами для всего живого и одновременно спасающими жизнь на планете от полной гибели (в разделе Космогония истины).

Смысловое описание электромагнитного поля, состоящего из двух составляющих, магнитного поля, исходящего от магнетонов и стороннего поля, исходящего от потенциала разделённого заряда, далее продолжим на примере отдельного нейтрального электрона и двойного электрона (электрон-позитронного) нейтрино ( $2e$ ).

Отдельные элементарные коллапсары электроны обладают свободным пространством для построения индуцированного стороннего поля в собственных сферических гравитационных твердях.

Стороннее поле индуцированных коллапсаров, например, стороннее поле коллапсара Земли, распространяется в начале в окружающих массах (несвободное пространство), затем выходит на поверхность и околосферное космическое пространство, а отдельные коллапсары-электроны окружены свободным пространством, собственными гравитационными твердями.

Нейтрализация потенциалов зарядов в разделённой трубке элементарных скоплений происходит за пределами внутренней системы коллапсара, в сферических гравитационных твердях.

Индуцирование стороннего электрического поля суммарным потенциалом элементарных зарядов в однополярных блоках 49 трубки образует электрические цепи нейтрализации спина электрона.

Какова структура стороннего электрического поля нейтрального электрона, какие изменения происходят в электроны ( $e^-$ ) и позитроне и какие силы создают и сохраняют единую систему электрон – позитронного нейтрино?

Процесс электрического индуцирования – это силовое создание в окружающем пространстве разнополярных скоплений из частиц субстанции, образующих структурные системы силовых линий в кулоновских полях и структурные подобию силовых линий в сторонних полях.

Между положительными элементарными зарядами протонов в ядрах и отрицательными элементарными зарядами в электронах атомов существует электрическое кулоновское поле и силовые линии кулоновского поля.

Принято считать, электрическое кулоновское поле начинается с поверхности проводников первого рода и внутри проводников кулоновского поля нет, истина опровергает данное утверждение.

Электроны не совершают орбитальных и вращательных движений, относительно неподвижны в структуре атомов и располагаются в гравитационных сферах ядра в волнах сжатия и разряжения на некотором закономерном расстоянии в системе общего равновесия сил.

Электроны взаимодействуют с твердями ядра собственными гравитационными сферами в волнах сжатия и разряжения, создают систему равновесия сил притяжения к ядру и противодействия притяжению к ядру в индуцированных силовых линиях, между элементарными и спиновыми зарядами, в кулоновском и стороннем электрических полях.

Кулоновское электричество – это часть стороннего электричества в 49 разделённой трубке электрона. Стороннее электрическое поле – это часть электромагнитного поля, и поэтому электрон связан с ядром и электромагнитным полем.

Коллапсарные, гравитационные, сильные электромагнитные и слабые взаимодействия едины по электрической природе происхождения, неотделимы в системах коллапсаров и индуцированных ими зарядовых твердях.

Название «зарядовые тверди» объединяет общую систему индуцирования окружающего коллапсар пространства гравитационными, сторонними, магнитными (электромагнитными) и кулоновскими полями.

Структура стороннего электрического поля имеет существенное отличие от структуры кулоновского электрического поля.

Рассмотрим особенности проявления элементарных разнополярных зарядов и сторонних однополярных зарядов в блоках элементарных зарядов на примере структуры гамма-нейтрино (рис. 42).

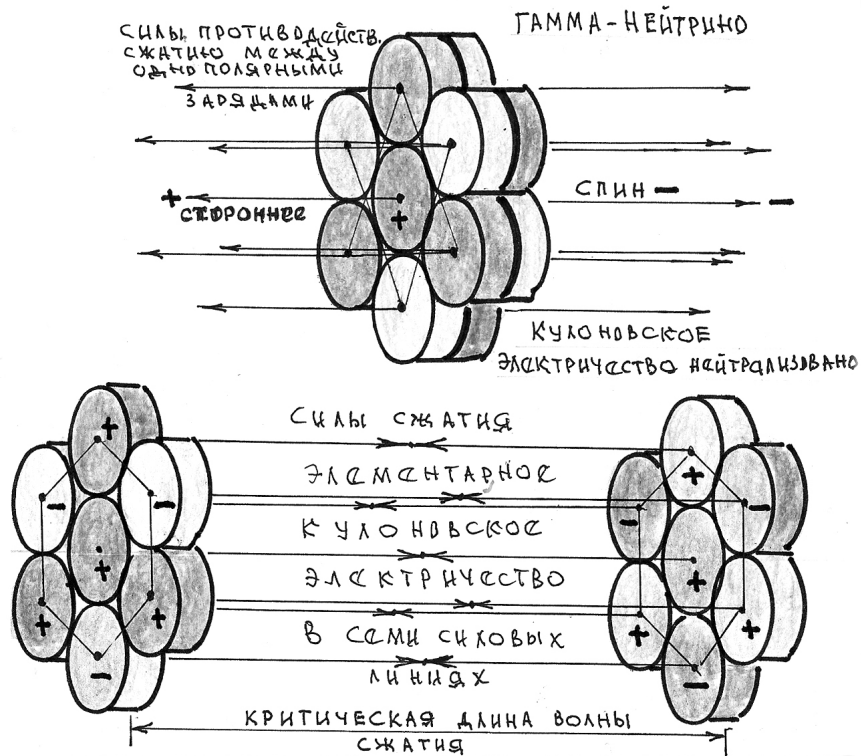


Рис. 42

Элементарные заряды проявляются делением гамма-нейтрино на две разнополярные семёрки, седьмые скопления в семёрках определяют знак полярности.

По три элементарных скопления плюс и минус в каждой семёрке взаимно нейтрализуются, а нечётные седьмые скопления проявляются как элементарные кулоновские заряды.

Кулоновские элементарные заряды плюс и минус в структуре элементарных нейтрино, в 49 элементарной трубке электрона, образуют единый элементарный нейтральный заряд стороннего электричества ( $0,5q_{\text{элм}}^- + 0,5q_{\text{элм}}^+ = 1q_{\text{стр}}^{(-+)}$ ). Элементарные заряды элементарного нейтрино (два скопления), плюс и минус дают в сумме один, единый, нейтральный заряд в стороннем поле.

Элементарный нейтральный заряд противодействия сжатию индуцирует в противоположные стороны по оси зет стороннее электрическое поле и скрывает элементарные кулоновские заряды в элементарном нейтрино.

Кулоновские силы сжатия в элементарном нейтрино между потенциальными разнополярными элементарными зарядами, создают и силы противодействия сжатию между однополярными зарядами.

В элементарном нейтрино сила сжатия, образованная двумя разнополярными элементарными зарядами, равна силе противодействия сжатию между двумя элементарными разделёнными разнополярными зарядами. Почему разделённые?

Элементарное нейтрино – это трубка, состоящая из двух скоплений, и поэтому силы сжатия и силы противодействия сжатию происходят между двумя элементарными зарядами.

Внимательно изучим рисунок 42, семь элементарных нейтрино образуют коллапсар гамма-нейтрино, разнополярные скопления в каждом элементарном нейтрино потенциально при делении обладают кулоновскими элементарными зарядами плюс и минус, а совместно образуют единый элементарный заряд плюс и минус стороннего поля.

Векторы сил сжатия между потенциальными кулоновскими зарядами плюс и минус в семи единых элементарных зарядах показаны на принципиальном рисунке 42 (внизу), а векторы сил противодействия сжатию показаны на рисунке 42 (вверху).

Для наглядности, гамма-нейтрино (рис. 42, вверху) показано в критическом состоянии сил сжатия (рис. 42, внизу).

Критическое состояние сил сжатия – это допустимое удаление (максимальная длина волны сжатия) семёрок гамма-нейтрино, когда силы притяжения между разнополярными скоплениями ещё существуют и способны вернуть систему в исходное состояние, дальнейшее увеличение расстояний между семёрками приводит к делению гамма-нейтрино.

Деление гамма-нейтрино в позитроне (позитроне протона) при отделении электрона ( $e^-$ ) от нейтрона проявляет элементарные заряды плюс и минус (рис. 43).



В семёрках гамма-трубки электрона и позитрона образовалось нечётное количество элементарных скоплений, по шесть скоплений нейтрализованы парами и в общей замкнутой цепи сжатия (рис. 43), а элементарные скопления плюс и минус в спиновых 49 трубках создают силовую линию из индуцированных скоплений.

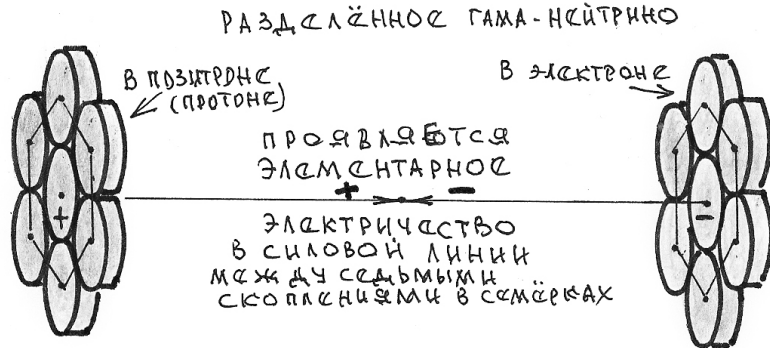


Рис. 43

Показаны семёрки гамма-нейтрино, в седьмых гамма трубках позитрона и электрона и векторные силы притяжения между кулоновскими элементарными зарядами.

Стороннее электричество (спин) проявляется между однополярными скоплениями (между блоками элементарных однополярных скоплений), противодействующих сжатию!

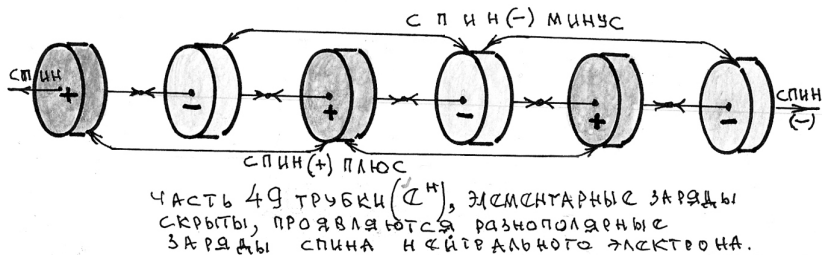


Рис. 44

Показано чётное количество элементарных скоплений в трёх элементарных нейтрино, расположенных последовательно в 49 трубке (части трубки) нейтрального электрона ( $e^H$ ).

Потенциальные элементарные заряды кулоновского электричества (рис. 44) создают силы сжатия между разнополярными скоплениями в 49 трубке электрона.

Однополярные скопления в двух блоках (рис. 44) образуют силы противодействия сжатию и индуцируют в противоположные стороны стороннее электрическое поле.

Стороннее электричество и гравитационное электричество в однополярных блоках имеют общую природу происхождения. Седьмые спиновые трубки гамма-нейтрино в гамма-трубках электрона находятся в вершинах системного гравитанта (большие треугольники) электрона (рис. 45).

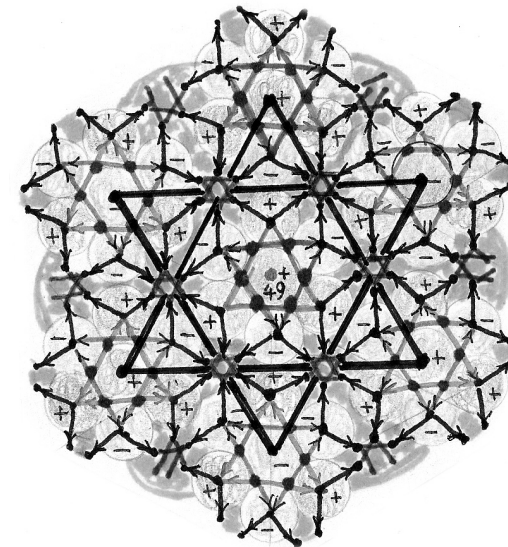


Рис. 45

Седьмые скопления в гамма-трубках индуцируют гравитационное поле электрона в системном гравитанте электрона (большие треугольники на рисунке 45). Седьмые скопления в гамма-нейтрино были спиновыми, а в электроне индуцируют гравитационное поле.

Спиновые трубки электронов (кроме одной в осевом центре) в структуре нуклонов (в главе – коллапсары нуклоны) индуцируют гравитационное поле в системе двух треугольников!



Стороннее поле в отличие от кулоновского поля образовано силами противодействия сжатию. Противодействие в коллективах однополярных кулоновских зарядов не опровергает сущность кулоновского электричества, это силы сжатия, почему?

Силы противодействия (отталкивания) между однополярными кулоновскими зарядами всегда нейтрализованы силами притяжения к равному количеству зарядов противоположного знака, например, через индуцирование (электризацию на расстоянии) зарядов.

На рисунке 46 показано принципиальное отличие между структурой кулоновского электрического поля и структурой стороннего электрического поля в индуцированных зарядовых твердых электрон-позитронного нейтрино.

Деление гамма-нейтрино проявляет кулоновские заряды в спиновых элементарных трубках электрона ( $e^-$ ) и позитрона ( $e^+$ ). Между электроном и позитроном возникают силы притяжения, подобные силам притяжения между протоном и электроном, и происходит образование электрон-позитронного нейтрино.

Нейтральные электроны ( $e^0$ ) не могут создавать отдельных систем из двух электронов, сторонние электрические поля в нейтральных электронах препятствуют сближению и образованию совместной системы, подобной системе электрон-позитронного нейтрино.

Силы противодействия сжатию между блоками однополярных зарядов распространяются в индуцированных сторонних полях электрона и позитрона и противодействуют сближению (рис. 46).

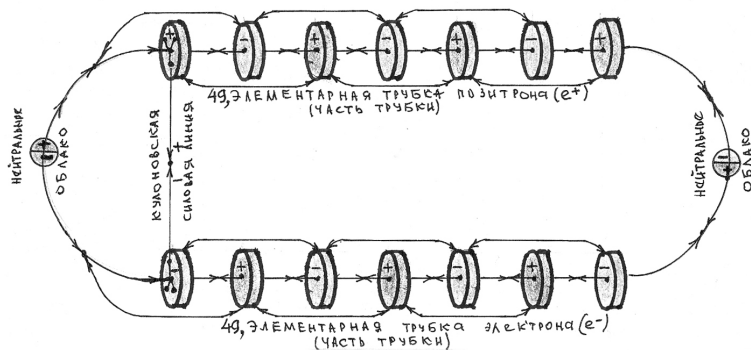


Рис. 46

Показаны спиновые элементарные трубки (часть трубки) электрона и позитрона и принципиальная схема образования системы равновесия сил притяжения и отталкивания между кулоновскими элементарными зарядами и в общей структуре стороннего электрического поля.

В разделённом заряде 49 трубки электрона ( $e^-$ ) минус находится один избыточный отрицательный элементарный заряд, а в позитроне ( $e^+$ ) недостаёт одного отрицательного элементарного заряда.

Неравенство элементарных зарядов противоположного знака в электронах и позитронах нарушает свойство нейтральности спина в электроне и позитроне и рождает кулоновское электричество в спинах электронов и позитронов.

Электрические силы притяжения между кулоновскими разнополярными элементарными зарядами создают индуцированные скопления в силовой линии. Силы сжатия между разнополярными индуцированными скоплениями выстраивают кратчайший путь построения силовой линии (рис. 46).

Электрические силы противодействия сжатию между однополярными зарядами в блоках электрона (позитрона), индуцируют в противоположные стороны по оси зет стороннее электрическое поле электрона (рис. 46).

Стороннее электрическое поле электрона (позитрона) обладает не только силами отталкивания, но и силами притяжения через индуцированные скопления разнополярных частиц в нейтральном облаке (рис. 46).

В единой системе электрон-позитронном нейтрино индуцированы скопления частиц в двух совместных нейтральных облаках (рис. 46).

Единство происхождения кулоновских элементарных зарядов и сторонних зарядов в однополярных блоках наглядно показано на рисунке 46. Нечётные элементарные скопления в спиновых трубках электрона и позитрона (на рисунке 46, слева) проявляются как элементарные заряды, выстраивают силовую линию взаимного притяжения, но они одновременно расположены и в однополярных блоках и индуцируют стороннее электрическое поле.

Силловые линии стороннего электрического поля (силы отталкивания) принципиально отличаются от силовых линий кулоновского поля (силы притяжения) между элементарными зарядами электрона и позитрона, направлением силового действия между индуцированными скоплениями в силовых линиях (рис. 47).

Силы отталкивания между однополярными индуцированными скоплениями в электрическом стороннем поле, не разрешают выстраивать силовые линии кратчайшим путём, как это происходит в кулоновском поле (рис. 46 и 47).

Силы отталкивания между однополярными индуцированными скоплениями в стороннем поле электрона и позитрона подобны электрическому ветру (условное название однополярных электрических сил отталкивания).

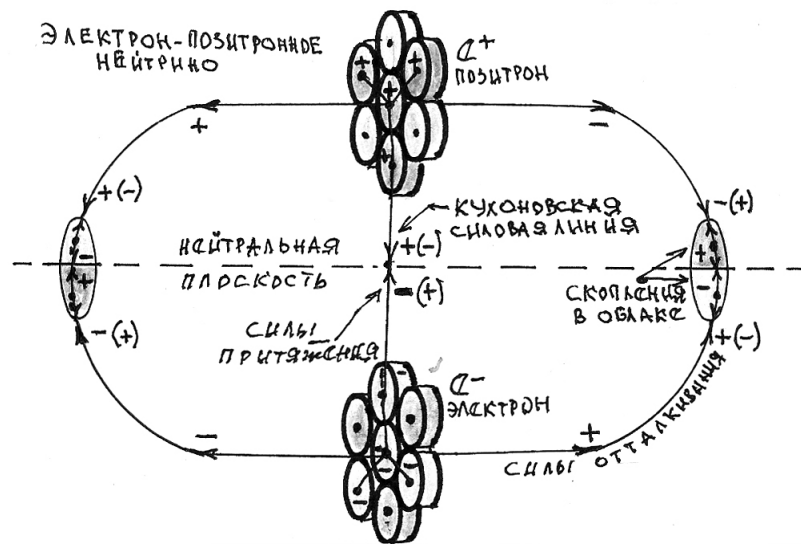


Рис. 47. Электрон-позитронное нейтрино ( $2e$ ), коллапсары показаны не полностью.

На принципиальной схеме электрон-позитронного нейтрино показано по одному слою элементарных скоплений в коллапсарах, седьмые элементарные трубки в гамма-трубках и спиновые трубки (в центрах звезд) показаны точками.

Электрический ветер (усл.) с каждой стороны коллапсара электрона и позитрона, будто поршнем, отталкивает на некоторое расстояние одноимённые по знаку заряда частицы субстанции в скоплениях. Разнополярные скопления частиц силами притяжения образуют два нейтральных скопления частиц (расположены в двух нейтральных облаках, на рисунке 46 и 47 слева и справа).

Разнополярные скопления в нейтральных скоплениях (облаках) расположены в обратном направлении. Силы притяжения между разнополярными зарядами и силы отталкивания между однополярными зарядами разворачивают индуцированные разнополярные скопления в нейтральных облаках сжатия (рис. 47).

Развёрнутые, разнополярные скопления в облаках, создают силы сжатия между собой и с спиновыми зарядами в последовательной электрической цепи силовых линий в едином стороннем поле электрон-позитронного нейтрино (рис. 47).

Процесс образования элементарных зарядов в нуклонах коротко можно описать так. От спиновой трубки нейтрона отделяется нейтральный электрон вместе с семёркой плюс разделённого гамма-нейтрино, вторая половина разделённого гамма-нейтрино остаётся в спиновой трубке нейтрона. Произошло выделение (образование) из нейтрона, протона, электрона и двух разнополярных открытых элементарных зарядов в семёрках разделённого гамма-нейтрино.

Существует свободное электрон-позитронное нейтрино (рис. 46 и 47) и зависимое электрон – позитронное нейтрино.

В атомах (см. главу атомы) позитроны расположены в спиновых трубках протонов и будто якорем притягивают электроны силовой линией взаимного притяжения, а совместное стороннее электрическое поле электронов противодействует притяжению.

Электрон-позитронные нейтрино в атомах не имеют пространственной свободы действия, зависимы в единой структуре атомов. Силы отталкивания между однополярными зарядами электронов ( $e^-$ ) в зарядовых сферах ядра и силы притяжения к элементарным зарядам в протонах создают коллективные системы равновесия сил.

Структура и взаимное расположение частиц субстанции в индуцированных, разнополярных скоплениях электрического кулонов-

ского поля имеют существенное отличие от структуры индуцированных скоплений в стороннем поле.

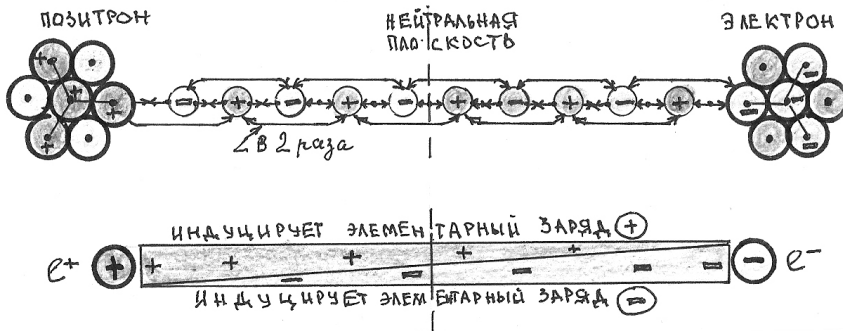


Рис. 48

Принципиальное взаимное построение индуцированных скоплений в структуре силовой линии, кулоновского электрического поля, в электрон-позитронном нейтрине, показано на рисунке 48, элементарные трубки (кроме седьмых) в коллапсарах не показаны.

Элементарные заряды электрона и позитрона через одно из трёх возможных направлений (всего четыре направления) выхода звезды отталкивают одноимённые частицы субстанции и притягивают частицы противоположного знака.

Векторы сил отталкивания и векторы сил притяжения, исходящие от элементарных зарядов электрона и позитрона, совместно создают единые силы сжатия скоплений в электрической силовой линии.

Масса частиц в индуцированных однополярных скоплениях уменьшается с удалением от элементарных зарядов электрона и позитрона и пропорциональна изменению площади сечения в разнополярных, усечённых конусах (графическое объяснение), показанных для смыслового понимания на графическом рисунке 48, внизу.

На графическом рисунке 48 (внизу) изменение массы в однополярных скоплениях и соответственно потенциала заряда, зависит от расстояния и показано в виде двух разнополярных (усечённых) конусов, направленных навстречу друг другу.

Равные площади сечения в конусах противоположного знака расположены на равном удалении от электрона и позитрона, в плоскости нейтрализации (рис. 48).

Общая площадь сечения в двух конусах не изменяется в любом месте сечения, изменяются пропорции площадей сечения в конусах, а соотношение площадей определяет потенциал (не нейтрализованного) заряда в плоскости сечения. Только два ближайших разнополярных скопления к плоскости нейтрализации обладают равной массой и равными зарядами противоположного знака и поэтому нейтрализованы.

Силы притяжения между разнополярными скоплениями превосходят силы отталкивания между однополярными зарядами в 2 (два) раза, почему? Расстояния между однополярными скоплениями в два раза больше (рис. 48 (A), вверху) расстояний между разнополярными скоплениями! Почему электрические силовые линии не пересекаются, изгибаются, но не преломляются?

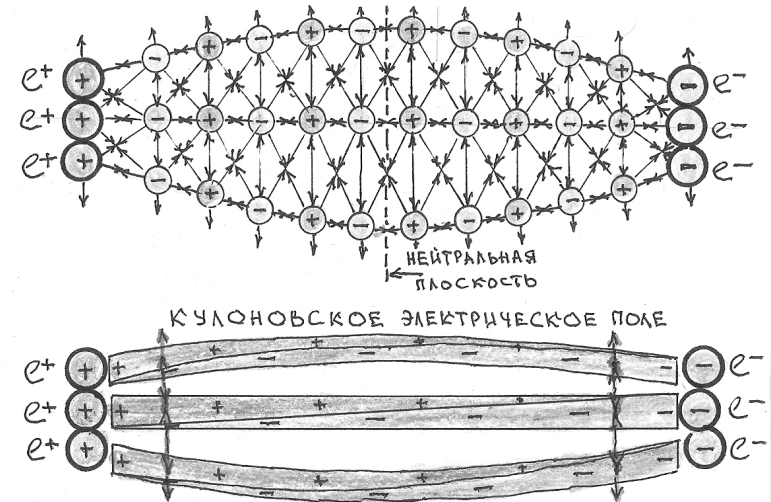


Рис. 48(A)

Показана принципиальная схема сил притяжения и отталкивания между индуцированными разнополярными скоплениями в силовых линиях электрического кулоновского поля.

Показаны три отдельные (условно) силовые линии между элементарными зарядами в электронах и позитронах, расположенных в одной плоскости. Отдельных силовых линий (групп силовых линий) не существует. Полная система равновесия сил образуется в единой системе электрического поля (электрических полей), и поэтому реальные скопления в силовых линиях расположены в объёме действия сил кулоновского поля.

На рисунке 48,48(A) рассматривается электростатическое поле. Элементарные заряды электронов и позитронов неподвижны в данной системе отсчёта, и на индуцированные скопления в силовых линиях нет внешнего силового воздействия, изменяющего состояние относительной неподвижности.

Векторы сил притяжения (рис. 48 A) между индуцированными разнополярными скоплениями образуют систему прямого сжатия в прямых силовых линиях и диагональную систему сжатия между разнополярными скоплениями в соседних силовых линиях.

Расстояния между однополярными скоплениями в силовых линиях в два раза больше, и поэтому между кулоновскими зарядами в индуцированном поле возникает преобладание сил притяжения.

В поперечной плоскости сечения между силовыми линиями (рис. 48 A) однополярные заряды расположены в непосредственной близости и обладают максимальными силами отталкивания в начале и конце силовой линии.

Равные однополярные потенциалы скоплений в силовых линиях образуют эквипотенциальные поверхности.

Примером эквипотенциальной поверхности является поверхность заряженного проводника. В пространстве внутри проводника, напряжённость электростатического поля равна нулю, нейтрализованы кулоновские заряды противоположного знака в пространствах атомов и между атомами.

Наибольшим потенциалом однополярного заряда обладают скопления в начале и конце силовых линий (показано на графическом рисунке 48 A), и поэтому максимальные силы отталкивания между силовыми линиями возникают в непосредственной близости к электрону и позитрону.

Максимальные силы притяжения между скоплениями в силовых линиях существуют в нейтральном пространстве электрического поля, в ближайшем пространстве к плоскости нейтрализации. В нейтральном пространстве стационарного электрического кулоновского поля потенциалы элементарных зарядов противоположного знака равны и обладают максимальными силами взаимного притяжения.

Изгибание силовых линий в кулоновских полях обусловлено не только взаимным, относительным, расположением кулоновских зарядов в простых и сложных (коллективных) стационарных полях, но и неравенством поперечных сил притяжения и отталкивания между разнополярными и однополярными индуцированными скоплениями в силовых линиях (рис 48 A) и структурой гравитонов сфер (рис. 50).

На рисунке 48 векторы сил притяжения и отталкивания между скоплениями образуют системы сил в четырёхугольниках, реальная система притяжения и отталкивания образуется в объёмах кубов (подобия кубов) и рассматривается в дополнении.

Максимальные однополярные потенциалы в электрическом кулоновском поле находятся в непосредственной близости к электрону и позитрону и изменяются с расстоянием, пропорционально уменьшению площади сечения в конусах.

Переменное, нестационарное электрическое поле рассматривается в разделе изучения электромагнитного поля. Рассмотрим далее структуру индуцированного стационарного (условно неподвижного) стороннего поля отдельного нейтрального коллапсара электрона.

Стороннее электрическое поле неотделимо от электромагнитного поля. Особые свойства структуры стороннего поля рассмотрим в идеализированном, стационарном состоянии, когда структура частей коллапсара и скоплений в индуцированных зарядовых твёрдых неподвижны в данной системе отсчёта.

Нейтрализация электрического потенциала однополярных зарядов в блоках 49 спиновой трубки электрона, имеет существенное отличие от нейтрализации электрических однополярных потенциалов в блоках 48 других трубок электрона.



Уникальное геометрическое расположение элементарных скоплений в спиновой трубке электрона определяет особые свойства системы нейтрализации в индуцированном стороннем поле.

Блоки однополярных зарядов в 48 трубках электрона индуцируют окружающее пространство в полярных направлениях системами двух тругольников и создают собственное подобие в гравитонах сферы.

Только гравитоны и магнетоны коллапсаров обладают способностью индуцировать собственные подобию в гравитонах и в магнетонах магнитных силовых линиях.

Кулоновское электрическое поле и стороннее электрическое поле распространяются в гравитационном поле, через изменение потенциалов (массы в гравитационных скоплениях) электрических зарядов противоположного знака и силовую деформацию в гравитонах сфер смещением частиц гравитонов в силовые индуцированные линии (см. рис. 49).

Спиновые потенциалы в однополярных блоках разделённых трубок коллапсаров распространяются в структуре гравитационного поля через изменение потенциалов электрических зарядов противоположного знака, массы частиц в скоплениях гравитационного поля. Силовые линии стороннего поля деформируют структуру гравитационного поля, смещают скопления в гравитонах сфер (см. рис. 49).

Потенциалы элементарных скоплений в зарядовых однополярных блоках (49) сорок девятой трубки электрона индуцируют собственное поле нейтрализации, стороннее электрическое поле.

Стороннее электрическое поле обладает особыми свойствами и проявляется в электромагнитном поле. На карте индукции магнитного поля Земли (рис. 39) стороннее электрическое поле и магнитное поле проявляются в едином электромагнитном поле.

На рисунках взаимодействия электрона и позитрона в единой системе электрон-позитронного нейтрино (рис. 46 и 47) показана принципиальная электрическая цепь нейтрализации сторонних электрических полей и индуцированных скоплений в нейтральных облаках сжатия частиц.

Элементарные коллапсары электроны и позитроны индуцируют самостоятельно собственное стороннее поле, например, в процес-

се образования электрон-позитронной пары, при делении электрон-позитронного нейтрино (жёсткого гамма-кванта).

По незнанию истинного происхождения элементарных частиц в современной физике, электрон-позитронные нейтрино называют жёсткими гамма-квантами (жёсткими фотонами), а нейтральные электроны называют гамма-квантами (фотонами).

Процесс образования электрон-позитронной пары происходит при столкновении электрон-позитронного нейтрино (жёсткого гамма-кванта) с какой-либо частицей, например, электроном.

Сближение (столкновение) системы электрон-позитронного нейтрино с системой отдельного электрона (коллективной системой электронов в атоме) раскрывает замкнутую электрическую цепь стороннего электрического поля и кулоновского электрического поля в силовой линии между элементарными зарядами протона и электрона.

Силы притяжения между элементарными зарядами сохраняют структуру электрон-позитронного нейтрино в стабильном состоянии, и поэтому сближение с заряженным коллапсаром, электроном ( $e^-$ ), позитроном или ядром атома деформирует (разрушает) систему равновесия сил между индуцированными частицами кулоновского поля (рис. 49).

Деление электрон-позитронного нейтрино ( $2e = e^- + e^+$ ) разрушает прежнюю общую систему стороннего электрического поля и сопровождается образованием самостоятельных собственных сторонних полей и электромагнитных полей, почему?

Отдельные подвижные электроны и позитроны не могут создавать стационарных кулоновских полей между собственными элементарными зарядами и элементарными зарядами на других коллапсарах (коллективах коллапсаров). Подвижное электрическое поле электрона и позитрона – это электромагнитное поле.

Изменяются расстояния между индуцированными частицами и скоплениями, изменяются и массы скоплений частиц в движущихся кулоновских силовых линиях, а это уже не электрическая силовая линия, а электромагнитная, незамкнутая силовая линия. На что влияет незамкнутая, электромагнитная кулоновская силовая линия?

Элементарные заряды в электронах и позитронах находятся в сорок девяти элементарных трубках, а это спиновые трубки, выстраивают собственные системы нейтрализации однополярных зарядов (в двух блоках) через стороннее электрическое поле.

Незамкнутая пульсирующая электромагнитная линия кулоновского поля создаёт электромагнитные возмущения и пульсацию элементарных зарядов в спиновой трубке и в индуцированных скоплениях стороннего поля, а это есть электромагнетизм замкнутого стороннего электрического поля.

И, наконец, влияние пульсирующих электромагнитных сил в кулоновском и стороннем поле на системы гравитонов и магнетонов в коллапсах через однополярные скопления в звёздах гамма-трубок активизирует пульсацию скоплений в магнитных силовых линиях.

Деление (разрушение) электрон-позитронного нейтрино (жёсткого гамма-кванта) на отдельный электрон и позитрон сопровождается электромагнитной активностью в генерирующих собственных сферах коллапсаров, наблюдается в опытах, например в среде, наполняющую камеру Вильсона.

Процесс превращения электронов и позитронов (аннигиляция, уничтожение) в нейтральные электроны (гамма-кванты, фотоны) происходит, когда избыточная семёрка разделённого гамма-нейтрино в спиновой гамма-трубке электрона возвращается на своё законное место, соединяется в гамма-нейтрино с семёркой в спиновой трубке позитрона.

Подобно искровому разряду, элементарный заряд электрона вместе с семёркой гамма-нейтрино совершает проскок на минимальном расстоянии от спиновой трубки позитрона. Силы взаимного притяжения между всеми элементарными зарядами в семёрках, ускоряют процесс возвращения семёрки гамма-нейтрино в систему позитрона.

В гамма-трубках электрона и позитрона только один нечётный элементарный заряд в центре семёрок не имеет нейтрализации в собственных структурах и поэтому нейтрализуется через кулоновское поле. Остальные шесть, в каждой семёрке, входят в замкнутую змеевидную систему сжатия между разнополярными скоплениями.

В момент максимального сближения замкнутые змеевидные цепи в спиновых гамма-трубках электрона и позитрона стремятся к объединению в единые.

Отдаление элементарных скоплений в семёрке гамма-трубки электрона и сближение с элементарными скоплениями в гамма-трубке позитрона увеличивают силы притяжения и ускоряют движение.

Процесс разряда (аннигиляции) электрона и позитрона в подавляющем большинстве случаев сопровождается образованием двух нейтральных электронов (гамма-квантов, фотонов).

Что происходит, когда в процессе разряда (аннигиляции) образуется более двух нейтральных электронов (фотонов)?

Если в процессе разряда между электроном и позитроном окажется один или более (нейтральная спиновая цепь) нейтральных электронов, они становятся проводниками в электрической цепи разряда, а по окончании процесса их электромагнитное возбуждение наблюдается в опытах.

Нейтральный электрон в центре процесса разряда (аннигиляции электрона и позитрона) принимает семёрку гамма-нейтрино от электрона, а свою семёрку передаёт позитрону.

В нормальном (невозбуждённом) состоянии неподвижные нейтральные электроны не наблюдаются и проявляют себя электромагнитным возбуждением в процессе разряда (аннигиляции) электронов и позитронов и в других случаях.

Гамма-нейтрино всегда нейтрально и не имеет открытых кулоновских зарядов. Деление гамма-нейтрино в любых элементарных коллапсах (частицах и античастицах) проявляет элементарные заряды. Заряженные коллапсары обладают способностью к быстрому воссоединению разделённых элементарных зарядов, а нейтральные системы могут длительное время находиться в свободном состоянии.

Нейтрализация разделённых, проявленных, элементарных кулоновских зарядов в семёрках гамма-нейтрино и нейтрализация сторонних элементарных зарядов в однополярных блоках электронов и позитронов не определяет полную нейтрализацию коллапсарных систем.

Гравитационное индуцирование частиц субстанции вещества системами двух треугольников в вершинах шестиконечных звёзд (гравитонах) определяет структуру гравитационных сфер коллапсаров. Структура гравитационных сфер в волнах сжатия и разряжения универсальна и обладает гравитационными силами притяжения и отталкивания.

Структура гравитационных сфер в волнах сжатия и разряжения состоит из индуцированных скоплений частиц субстанции вещества. Разнополярные скопления в структурах гравитационных сфер и между сферами создают силы притяжения, а однополярные скопления в гравитационных сферах и между сферами противодействуют притяжению.

Электроны и позитроны в электрон-позитронных нейтрино образуют совместную структуру нейтрализации элементарных кулоновских зарядов и сторонних зарядов в однополярных блоках. Электрические поля деформируют структуру разнополярных скоплений в гравитонах сфер, изменяют массу частиц в скоплениях и смещают скопления в силовые линии (рис. 49).

Как строится система стороннего электрического поля и кулоновского электрического поля через деформацию в совместных гравитационных сферах электрон-позитронного нейтрино, показано на принципиальном рисунке 49.

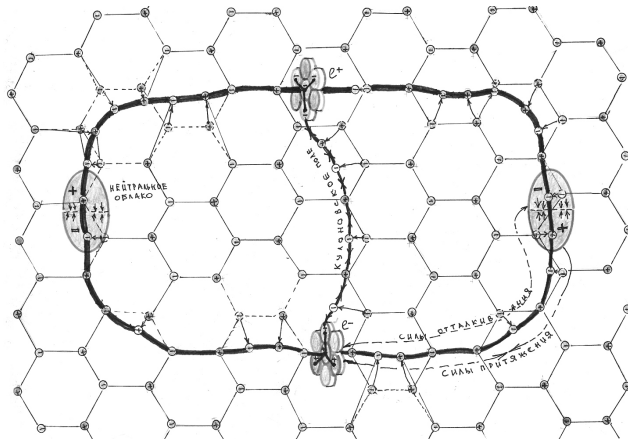


Рис. 49

Размещение электрона и позитрона на неполной, условной гравитационной сфере показано для удобства смыслового описания сути распространения сторонних и кулоновских электрических полей в сферах, совместных гравитационных твердей электрона и позитрона, в электрон-позитронном нейтрино. Показан принцип распространения индуцированных спиновых однополярных потенциалов и элементарных зарядов электрона и позитрона в гравитационных сферах электрон-позитронного нейтрино.

На рисунке 49 не показаны магнетоны и скопления в центрах гравитонов, коллапсар электрон и коллапсар позитрон показаны в простой, условной форме.

Силовые линии стороннего электрического поля и силовые линии кулоновского электрического поля, показанные на схеме рисунка 49 электрон-позитронного нейтрино, распространяются в структуре гравитационного поля.

Процесс изменения массы в индуцированных скоплениях гравитонов, силовое смещение скоплений гравитонов из вершин шестигульников в силовую линию показан условно на абстрактной схеме рисунка 49. Происходит деформация гравитонов в сферах, изменяется масса в индуцированных скоплениях силовой линии.

Процесс образования структуры стороннего поля в структуре гравитационного поля можно описать так. Разделённые заряды в однополярных блоках сорок девятой элементарной трубки обладают силами противодействия сжатию внутри трубки, а за её пределами?

Заряды в однополярных блоках разделённой трубки электрона создают силы взаимного отталкивания с однополярными частицами в окружающем пространстве и силы взаимного притяжения с частицами противоположного знака.

Для образования скопления, сжатия однополярных частиц недостаточно одной силы отталкивания или притяжения, должны действовать одновременно две силы, образующие сжатие. Например, две противодействующие силы образуют скопления в гравитонах сфер (см. системы двух треугольников).

Стороннее электрическое поле индуцировано блоками однополярных зарядов плюс и минус в противоположные стороны коллапсара, и поэтому в системе нет противодействующих сил для образо-

вания скоплений, но спиновая система индуцирования стороннего поля сама создаёт заряды противоположного знака в нейтральных облаках сжатия частиц субстанции.

Здесь в индуцировании стороннего поля разделёнными однополярными зарядами проявляются уникальные возможности материи космоса создавать системы взаимной нейтрализации на расстоянии через образованные суммарные потенциалы зарядов однополярных скоплений частиц в нейтральных облаках сжатия частиц субстанции (рис. 49).

Спиновые заряды плюс и минус электрона и позитрона, отталкивают однополярные частицы субстанции в пространстве сфер электрон-позитронного нейтрино (рис. 49) на некоторое расстояние. Смещённые разнополярные скопления соединяются силами притяжения в облаках нейтрализации (см. рисунок 49) и совершают обмен скоплениями, силами притяжения и отталкивания в последовательной электрической цепи нейтрализации спиновых зарядов электрона и позитрона.

Образовались собственные заряды противодействия в облаках нейтрализации электрон-позитронного нейтрино, на рисунке показаны силы притяжения и силы отталкивания в электрической цепи силовых линий (показана одна) стороннего поля. Процессом индуцирования скоплений в силовых линиях управляют заряды в электроне, позитроне и образованные заряды в нейтральном облаке.

Индукцированные разнополярные скопления в силовых линиях стороннего поля образуют силы отталкивания и силы притяжения, структура силовых линий стороннего поля подобна структуре силовых линий кулоновского поля (см. рис. 47 и 48).

Причина возникновения индуцированного электрического поля, известного явления самоиндукции, связано с восстановлением структуры гравитационного поля, из состояния деформации, в нормальное или изменённое состояние.

При распаде электрон-позитронного нейтрино прекращается силовая деформация скоплений в гравитонах и подобно освобождённой от нагрузки пружине восстанавливается структура гравитационного поля в прежнее состояние, движение частиц индуцирует электрическое поле и образует токи смещения, препятствующие изменению силы тока в переменной цепи (явление самоиндукции).

Движение заряженных частиц из структуры распадающихся силовых линий в нормальное состояние структуры гравитонов сопровождается электродвижущей силой самоиндукции.

Силы самоиндукции возникают противодействием силам деформации в структурах гравитонов (пружина сжимается) и прекращаются восстановлением равенства сил в структурах гравитонов сфер, при распаде электрических силовых линий (пружина выпрямилась).

Согласно теории близкодействия (в современной фундаментальной физике), энергия любых заряженных тел сосредоточена в электрическом поле этих тел? Истина отвергает данное утверждение, полная энергия любого тела (заряженного и незаряженного, подвижного и неподвижного) сосредоточена в общем (гравитационном) заряде тела. Полная, скрытая энергия равна освобождаемой энергии при возможном разрушении структур коллапсаров в телах и в индуцированных скоплениях зарядовых твердей до образования из тел отдельных первичных частиц субстанции в абсолютном холоде. Гравитационное поле, электрическое кулоновское поле, стороннее поле и электромагнитное поле проявляют часть энергии тела.

Между элементарными скоплениями и индуцированными скоплениями существует принципиальное различие. Элементарные разнополярные скопления имеют собственную структуру, частицы субстанции в элементарных разнополярных скоплениях элементарного нейтрино располагаются в структуре систем двух квадратов (в настоящем разделе смыслового описания физики не рассматривается).

Условия синтезирования элементарных скоплений в элементарных нейтрино подобны процессу синтезирования элементарных коллапсаров. Элементарные скопления плюс и минус имеют стабильные массы в космическом пространстве и обладают элементарными открытыми зарядами, равными зарядам разнополярных частиц субстанции (рассматривается в дополнении).

Индукцированные скопления рождаются и существуют под воздействием сил притяжения и отталкивания (индуцирования), не обладают стабильной массой и зарядом, существуют, изменяют состояние и взаимное расположение в сферах твердей под воздействием внешних сил, исходящих от элементарных скоплений в коллапсарах, коллективах коллапсаров.



Универсальные гравитационные тверди в волнах сжатия и разряжения позволяют индуцирование электрических полей в структуре сфер и между сферами. На рисунке 49 показан принцип распространения электрических полей в сфере.

Какое силовое воздействие оказывают индуцированные электрические поля в гравитационных твердях на способность гравитационного поля притягивать и отталкивать тела?

Деформация гравитационных твердей сторонним электрическим полем и кулоновским электрическим полем создаёт локальные силы антигравитации между массами однополярных элементарных скоплений во внутренней структуре коллапсаров электронов и позитронов и внешней структурой деформированного гравитационного поля.

Внутренние силы антигравитации (силы противодействия притяжению, сжатию) скрыты в общей нейтральной системе электрон-позитронного нейтрино и проявляются только при изменении нейтрального состояния.

Изменение нейтрального состояния систем, электромагнитные возмущения – генерация частиц субстанции и скоплений частиц в коллапсарных системах и окружающих пространствах, создаёт пропорциональные силы антигравитации (отталкивания) между взаимодействующими зарядовыми массами.

Например, периодическая активность Солнца создаёт пропорциональные силы антигравитации с гравитационными твердями планет и другими телами солнечной системы.

Усиление электромагнитной активности (генерации) ближайших к ядру Солнца гравитационных сфер в волнах сжатия и разряжения изменяет структуру всех зарядовых твердей солнечной системы и усиливает противодействие силам притяжения (гравитации).

Наибольшими силами притяжения обладают холодные системы, обладающие большой плотностью (малые расстояния между частицами) индуцированных скоплений в сферах и зарядовых твердях систем.

Гравитационные системы (тела) создают максимальные силы притяжения к частицам противоположного знака в сферах и твердях окружающих систем при температуре генерации зарядов близкой к температуре абсолютного холода.

В понятие «гравитационные силы» необходимо внести существенное изменение, не только гравитационные поля (коллапсарные, ядерные силы) обладают гравитационными силами притяжения и отталкивания, но и кулоновские, сторонние и электромагнитные поля обладают силами локальной гравитации, притяжения!

Локальная гравитация – условное название проявления электрических зарядов в коллапсарных системах, деформирующих гравитационную систему сил притяжения и отталкивания.

Однополярные скопления в гравитантах коллапсаров индуцируют разнополярные скопления в гравитонах сфер. Силы притяжения и силы противодействия притяжению едины по природе происхождения. Силы сжатия между разнополярными скоплениями в элементарных трубках коллапсаров создают равные силы противодействия сжатию в гравитантах, между однополярными скоплениями в трубках, и, наоборот, силы противодействия сжатию между однополярными скоплениями создают силы притяжения в гравитонах.

Электрическая природа сил притяжения (тяготения) и отталкивания в гравитационных полях допускает силовые изменения в структуре собственных полей, локальные (местное, ограниченное) проявления сил гравитации и антигравитации в кулоновских, сторонних и электромагнитных полях.

Кулоновское поле индуцировано силами притяжения между разнополярными элементарными зарядами, находящимися в разных коллапсарных системах, разделённых пространством (рис. 49).

Стороннее электрическое поле индуцирует одна коллапсарная система, например, электрон и позитрон каждый самостоятельно индуцирует собственное стороннее поле и совместно объединённое стороннее поле в электрон-позитронном нейтрино (рис. 49). Существует принципиальное отличие в построении собственной структуры стороннего поля в отдельном (свободном) коллапсаре от структуры общего стороннего поля.

В отдельном коллапсаре электроны, например, нейтральном электроны ( $e^+$ ), общие потенциалы зарядов в отталкиваемых однополярных скоплениях (подобие облаков) создают максимальные силы взаимного притяжения в одном из трёх направлений по экватору, почему?

В коллективной системе электрон-позитронного нейтрино индуцирование стороннего поля однополярными блоками зарядов в спиновых трубках электрона и позитрона распределено равномерно по всей площади структуры звезд, с каждой стороны коллапсара (см. рис. 49).

Расположение четырёх однополярных скоплений в семёрках гамма-трубок коллапсаров электронов образуют форму знака электрической звезды. Например, начало и концы обмоток трёхфазного двигателя соединяют в звезду или треугольник, подобное геометрическое расположение однополярных скоплений в одном ряду семёрок, гамма-трубки получило название треугольник и звезда.

Структура однополярных звёзд и треугольников распространяется и в сорока девяти концевых скоплениях электронов, в коллапсарах нуклонах, а также в индуцированных коллапсарах, например, в коллапсаре-дискотере Земли.

Однополярные заряды, расположенные в форме электрической звезды, образуют общий контакт выхода и поэтому обладают равным потенциалом спинового заряда нечётной трубки. Направление выхода стороннего поля и кулоновского поля зависит от взаимного расположения взаимодействующих систем.

На рисунке 50 показаны выходы стороннего поля через одно из трёх направлений в разнополярных звездах, но сами спиновые заряды находятся в сорок девятих трубках и используют кратчайший путь нейтрализации зарядов. Объединённая структура звёзд системы однополярных концевых скоплений в коллапсарах электронах показана на рисунке (см. рис. 27).

На плоской схеме рисунка 50 показан принцип индуцирования стороннего поля разделёнными потенциалами зарядов в сорок девятой трубке нейтрального электрона ( $e^H$ ). Показаны принципиальные изменения в структуре гравитационных сфер электрона, вносимые силами деформации в полушариях и нейтральной экваториальной зоне.

Структура деформации гравитационных сфер сторонним электрическим полем Земли подобна структуре распространения стороннего поля в отдельных элементарных коллапсарах, и поэтому

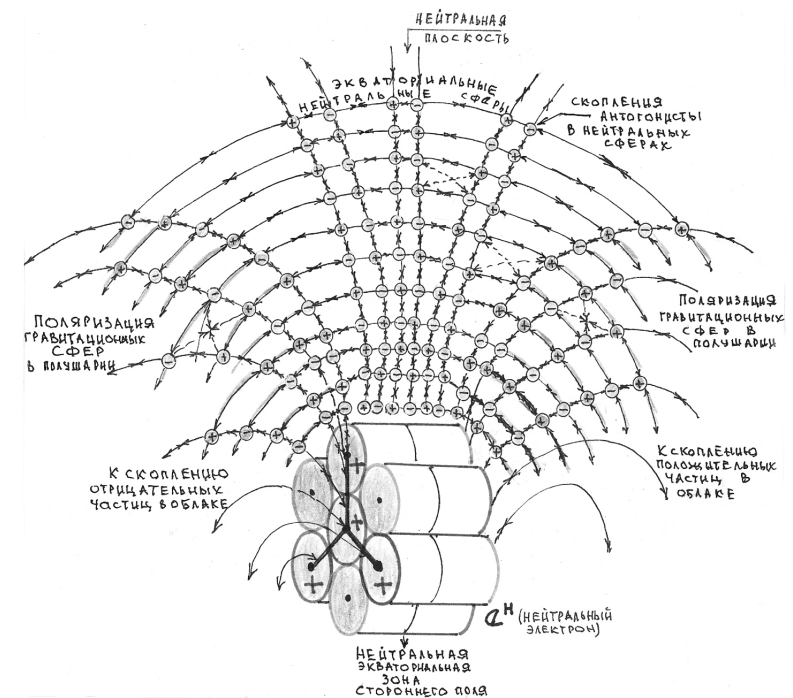


Рис. 50

привычные географические названия упрощают смысловое описание физических процессов.

Разнополярные заряды стороннего электрического поля в полушариях поляризуют гравитоны в сферах, создают преобладание электрических зарядов. На рисунке 50 показано преобладание спинового разнополярного электричества в сферах полушарий, стороннее электрическое поле нарушает нейтральность скоплений в гравитонах сфер и сферах через изменение массы в скоплениях.

Спиновые заряды индуцируют скопления и силовые линии стороннего поля в полушариях и в пространстве по экватору электрона, нейтральное пространство. Скопления в силовых линиях нейтрального пространства индуцированы скоплениями в силовых линиях стороннего поля в полушариях и не имеют прямого контакта с телом коллапсара.

Стороннее электрическое поле индуцирует скопления в нейтральной зоне и выстраивает комбинированную систему взаимодействия в силовых линиях. Где начало и конец силовых линий в нейтральной зоне коллапсара?

Концевые скопления в силовых линиях нейтральной зоны, зависли над элементарными трубками коллапсара электрона (рис. 50), и кажется, что силовые линии оборваны, но это не так. Силовые линии нейтральной зоны замкнуты через сферы в полушариях!

Однополярные скопления в силовых линиях стороннего электрического поля в полушариях, расположенные поперечно, индуцируют скопления в силовых линиях нейтральной зоны и замыкают электрическую цепь, образуется комбинированная система силовых линий.

Комбинированные силовые линии нейтральной зоны берут начало от однополярных потенциалов в силовых линиях сфер и смыкаются на индуцированных зарядах противоположного знака в нейтральном облаке (рис. 52).

Скопления в прямых силовых линиях, исходящие от разнополярных потенциалов сорок девятой трубки электрона в индуцированных полушариях электрона, смыкаются в общей системе силовых линий в нейтральном зарядовом облаке частиц над экватором (рис. 52).

Систему индуцирования стороннего поля Земли, в мифологиях сравнивали с четырьмя лепестками цветка лотоса, подобие цветка располагается на одном из выходов звезды Балуг (рис 39), показано на карте индукции магнитного поля.

Скопления в силовых линиях нейтральной зоны называются скоплениями антогонистами, почему? Спиновые заряды в разделённой трубке пытаются нейтрализоваться силами взаимного притяжения в силовых линиях кратчайшим путём, через одно из трёх направлений звезды, а индуцированные скопления в силовых линиях нейтральной зоны препятствуют смыканию силовых линий в полушариях.

Поперечное индуцирование скоплениями в силовых линиях полушарий создаёт разнополярные скопления в силовых линиях нейтральной зоны (рис. 50). Поперечное силовое противодействие (в сферах) между однополярными скоплениями в спиновых силовых линиях полушарий и однополярными скоплениями, антогонистами,

в силовых линиях нейтральной зоны по экватору, препятствует прямому смыканию силовых линий разделённых зарядов электрона в полушариях. Скопления в нейтральной зоне (рис. 50 и 52) созданы однополярными скоплениями в силовых линиях полушарий, расположенных поперечно, препятствуют прямому смыканию силовых линий и поэтому называются скоплениями-антогонистами.

Преобладание сил взаимного притяжения в одном из трёх направлений звезды (если отсутствуют внешние силы), определяет путь и направление строительства стороннего поля в отдельном электроне. По короткому пути нейтрализации потенциалов спиновых зарядов строится структура стороннего поля в отдельном электроне, где нет внешнего силового влияния сторонних полей в других системах, но короткому пути нейтрализации противодействуют индуцированные скопления-антогонисты.

Какие изменения происходят в гравитационных сферах при образовании стороннего поля в отдельном электроне, например, в процессе разряда (аннигиляции) электронов и позитронов и превращения заряженных электронов в нейтральные электроны?

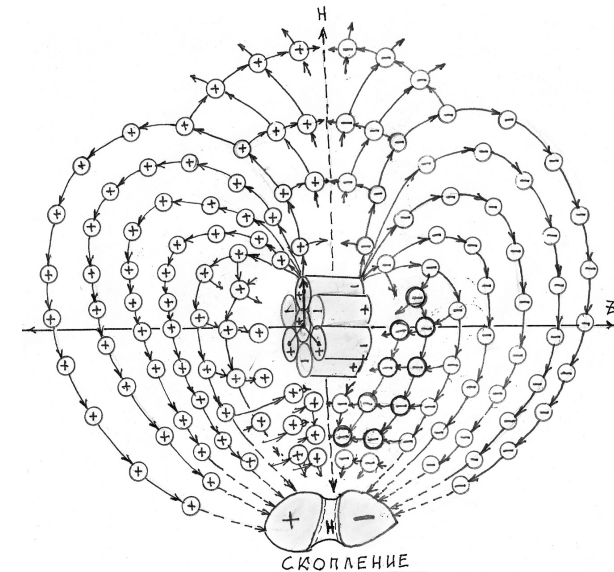


Рис. 51

Показано начало процесса формирования стороннего электрического поля в полушариях и нейтрального скопления частиц в гравитационных сферах отдельного электрона. Спиновые заряды смещают, отталкивают однополярные частицы субстанции в нейтральное облако и нейтральную зону по экватору.

На схеме 51 показан принцип образования скоплений в облаке и скоплений антогонистов в нейтральной зоне, ещё не произошёл обмен скоплениями (скопления не развёрнуты на  $180^\circ$ ) и силовые линии поэтому показаны однополярными.

После образования (сжатия) нейтрального скопления, из двух разнополярных частей, разворота на  $180^\circ$ , происходит вторичное индуцирование силовых линий в полушариях зарядами противоположного знака в облаке (см. рис. 52).

Между индуцированием однополярными зарядами в гравитантах (системе двух треугольников) и индуцированием стороннего поля разделёнными спиновыми однополярными зарядами есть существенное отличие.

В гравитантах однополярные элементарные скопления расположены спирально и находятся в непосредственном контакте по диагоналям, а в разделённой трубке элементарные однополярные заряды расположены прямолинейно, но между ними находятся скопления противоположного знака.

Концевые заряды в гравитантах коллапсаров электронов отталкивают одноимённые частицы в окружающем пространстве, но этому противодействуют заряды противоположного знака, расположенные рядом, они притягивают отталкиваемые частицы.

Отметим ещё одно важное отличие в индуцировании стороннего поля и гравитационного поля. Разнополярные заряды в гравитантах индуцируют скопления в гравитонах и располагаются рядом, а разнополярные спиновые заряды, индуцирующие скопления стороннего поля, располагаются с противоположных сторон коллапсара.

Силы сжатия между разнополярными скоплениями в нейтральном облаке (рис. 52), создают равные силы противодействия сжатию между однополярными индуцированными скоплениями в облаке.

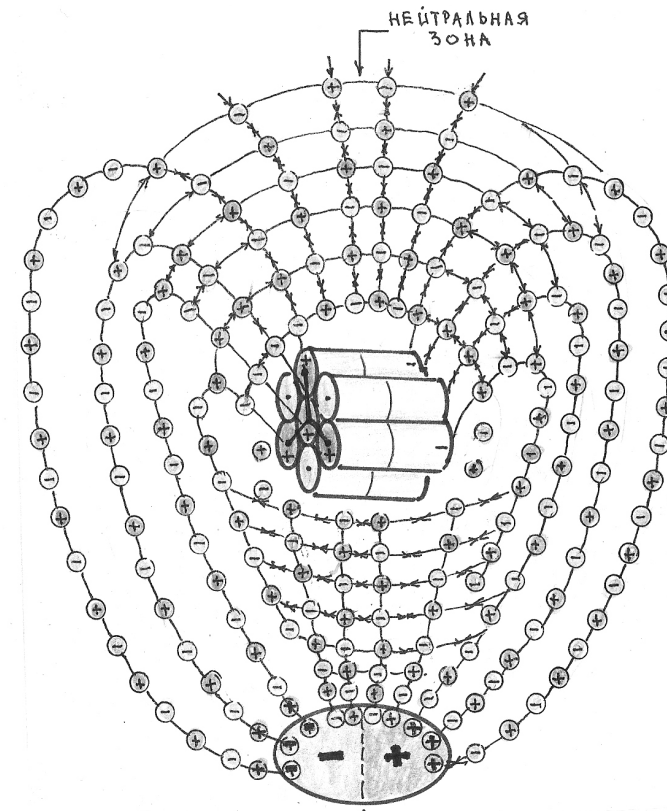


Рис. 52

Однополярные заряды противодействия сжатию в спиновой трубке нейтрального облака (подобие коллапсара) индуцируют совместно с спиновыми зарядами сорок девятой трубки силовые линии стороннего поля в полушариях и нейтральной зоне коллапсара электрона (рис. 52).

Силы сжатия между разнополярными скоплениями всегда образуют трубки или подобие трубок в силовых линиях сжатия, а в трубках сжатия образуется система противодействия сжатию между однополярными скоплениями (в блоках скоплений).

Электрические цепи силового взаимодействия между разнополярными и однополярными частицами (скоплениями) в нейтраль-



ном облаке сжатия образуют подобие коллапсаров из индуцированных скоплений частиц противоположного знака.

Элементарные коллапсары образованы из элементарных скоплений в элементарных трубках и из индуцированных скоплений в магнетонах, обладающих собственными структурами.

Подобия коллапсаров (подобны только электрические цепи взаимодействия, но нет реального коллапсарного сжатия) в шаровых скоплениях не создают коллапсарной плотности, созданы из индуцированных частиц субстанции спиновыми зарядами коллапсаров и коллективами коллапсаров на расстоянии.

Распадающиеся индуцированные коллапсары известны как шаровые молнии и другие светящиеся объекты.

Конденсированные заряды в шаровом скоплении способны смещаться в пространстве через ротацию частиц. Часть частиц покидает (силами отталкивания) скопление и замещается частицами (силами притяжения), расположенными в пространстве по направлению движения шарового скопления. Скорость и векторное направление ротации, частиц субстанции пропорциональна скорости движения и определяет направление движения шаровых скоплений.

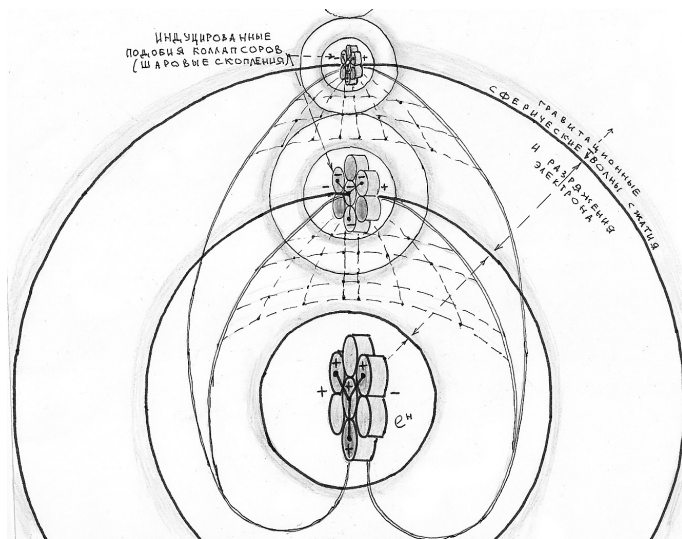


Рис. 53

Реальные геометрические, объёмные формы коллапсаров скрываются под гравитационными сферами в волнах сжатия (разряжения) и поэтому проявляются как шаровые скопления.

Ротация разнополярных частиц в структуре шаровых скоплений подобна распространению электромагнитных волн в пространстве и позволяет зарядам в шаровых скоплениях смещаться по законам близкодействия. Перемещается в пространстве только заряд шарового скопления, ротация частиц субстанции смещает конденсированные заряды в пространстве.

Подобным образом через ротацию частиц субстанции распространяются заряды в цугах электромагнитных волн, конденсированные заряды, образованные распадом (образованием) шаровых скоплений стороннего электрического поля в элементарных коллапсарах (коллективах коллапсаров). Конденсированные заряды шаровых скоплений (фотоны) в распространяемых цугах волн сохраняют подобия коллапсаров, но только в структуре оборванной силовой линии, обладают собственным открытым разделённым зарядом (спином).

За время движения в пространстве процесс ротации частиц в зарядовом цуге изменяет (деформирует) структуру системы распространения электромагнитных волн цуга. Изменение длин волн и частот в цугах за время движения в пространстве от отдалённых объектов свечения (преобладание красного спектра) неизбежно и не может характеризовать скорость движения излучающей системы. Преобладание красного спектра показывает изменения в структуре цуга за время движения в пространстве.

Стабильная масса частиц в шаровых скоплениях может находиться в состоянии покоя (рис. 53) или в состоянии ротации частиц.

Подобия коллапсаров, шаровые скопления, распадаются при отсутствии внешнего индуцирования, например, при разрушении электрон-позитронного нейтрино и проявления электрона и позитрона, распадаются два нейтральных облака (частично) и вновь формируются в отдельных структурах электрона и позитрона.

Процесс распада шаровых скоплений электрон-позитронного нейтрино и проявления отдельного электрона и позитрона, сопровождается образованием конденсированных подвижных электромагнитных волновых цугов, излучением волн света.

Почему стороннее электрическое поле не производит деление электрических зарядов в проводниках (электризация тел на расстоянии, через влияние электрическими зарядами) подобно кулоновскому электрическому полю?

В стороннем электрическом поле нет преобладания сил в любом направлении силового взаимодействия, прямые и поперечные силы равны (нейтрализованы) и не смещают электроны в проводниках.

Для смещения электронов в проводниках необходимо раскрыть спины электронов в местной системе нейтрализации и создать замкнутые цепи спинов, например, в цепи постоянного тока.

Стороннее электрическое поле индуцировано однополярными зарядами в блоках спиновой трубки, противодействующих сжатию, силы отталкивания в стороннем поле нейтрализованы зарядами противодействия в шаровых скоплениях.

В силовых линиях стороннего поля существует равенство сил отталкивания и притяжения, а в силовых линиях кулоновского поля преобладают силы притяжения между разнополярными кулоновскими зарядами.

Выход стороннего поля через одно из трёх направлений концевых однополярных зарядов электрона в звёздах образует общую систему равновесия сил у поверхности коллапсара.

На рисунке 54 показан выход стороннего поля нейтрального электрона.

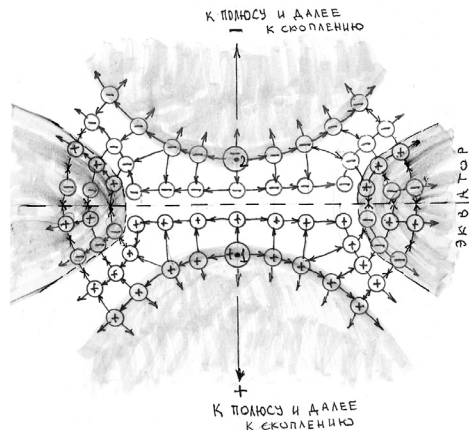


Рис. 54

Место выхода стороннего поля через концевые скопления в звёздах образует особую форму силового противодействия частей единого стороннего поля электрона (см рис. 54).

Стороннее электрическое поле в полушариях и в нейтральной зоне, по экватору, образует характерный рисунок на карте индукции магнитного поля Земли (рис. 55).

В мифологиях (источники истины) выходы стороннего поля Земли имеют общее название Бык и конкретные названия, современный выход стороннего поля называется бык Балу.

На рисунке 54 показаны два поляризованных объёмных пространства, расположенных в направлении полюсов и далее к скоплению с обратной стороны коллапсара и два направления индуцирования нейтральной зоны по экватору, образующие форму лепестков цветка (описания в мифологиях).

Принципиальная электрическая схема противодействия индуцированных скоплений в силовых линиях и между объёмными поляризованными пространствами у поверхности коллапсара в общей смысловой форме показана на рисунке выхода стороннего поля (рис. 54).

Поляризованные объёмные пространства в полушариях и нейтральной зоне, будто крылья птиц (рис. 53), огибают полярные полушария коллапсара и завершаются скоплением частиц в индуцированном подобии коллапсаров, в шаровых скоплениях, на вершине стороннего поля.

Стороннее электрическое поле, исходящее от разделённых однополярных потенциалов зарядов в спиновых трубках элементарных коллапсаров, удобно рассматривать одновременно с электрическим полем Земли и электрическими полями других планет солнечной системы.

Стороннее электрическое поле Земли и других планет – это наглядные пособия для изучения влияния спиновых разделённых зарядов в дискаторах на движение атмосферы, материков, генерирования магнитного поля на планетах и других проявлений.

В мифологиях индуизма выход спина Земли сравнивали с цветком лотоса, четыре лепестка которого расположены по сторонам света. Например, из пупа Вишну (дискатор Земли) вырос лотос, на

пуповине поднялся из мировых вод, распустился четырьмя лепестками, в вершинах которых живёт бог Брахма, индуцированное подобие коллапсара.

Принципиальная форма построения стороннего поля показана на рисунке 52 и 53, в экваториальной зоне колапсаров формируется особая зона, нейтральная и единая плоскость нейтрализации. В нейтральной плоскости, например, планеты Сатурн и других больших планет формируются астероидные пояса. Астероидный пояс солнечной системы сформировался в нейтральной плоскости гравитационных сфер Солнца. В астероидном поясе солнечной системы расположена вершина горы, подобие Меру, стороннего поля Солнца.

Нейтральная плоскость есть начало в системе противоположностей любого коллапсара. Деление коллапсара и индуцированных твердей условной плоскостью по экватору (плоскость осей икс и игрек), проходящей через центр коллапсара (пересечение осей икс, игрек и зет), называется идеализированной плоскостью нейтрализации в системе противоположностей.

Нейтральная плоскость показана пунктиром на рисунках 52 и 54, а также на карте индукции магнитного поля Земли (рис. 55). Пунктирная линия, проходящая приблизительно по экватору Земли через выход спина (Бык) и проекцию горы Меру, на поверхности планеты, у города Рио-де-Жанейро, показывает плоскость нейтрализации, магнитный экватор. Деформация плоскости отражает силовые напряжения в структуре поверхности Земли, связанные со смещением масс в земной подвижной коре и материках, неравенством масс в полушариях.

Для убедительности и общего представления физической сути электромагнитного поля удобно использовать в смысловом описании структурные элементы стороннего и магнитного поля на карте индукции электромагнитного поля Земли, как реальное наглядное пособие.

Название, карта индукции магнитного поля Земли дано учёными, которые не могли знать в то время истинного проявления стороннего поля в единой системе электромагнитного поля.

Изолинии на карте индукции показывают общее проявление разделённых зарядов в стороннем поле и магнитном поле, в едином электромагнитном поле Земли.

Стороннее электрическое поле создаёт силы движения между материками в земной подвижной коре, океанических течений вод и воздушных масс в атмосфере.

Движение зарядов в материках изменяет потенциалы индуцированных скоплений в замкнутых силовых линиях стороннего поля и, соответственно, потенциалы спиновых зарядов в разделённой трубке коллапсара.

Пульсирующие электрические потенциалы спиновых зарядов в разделённой трубке возбуждают заряды в скоплениях магнетонов дискатора Земли, а магнетоны возбуждают скопления в замкнутых магнитных силовых линиях магнитного поля.

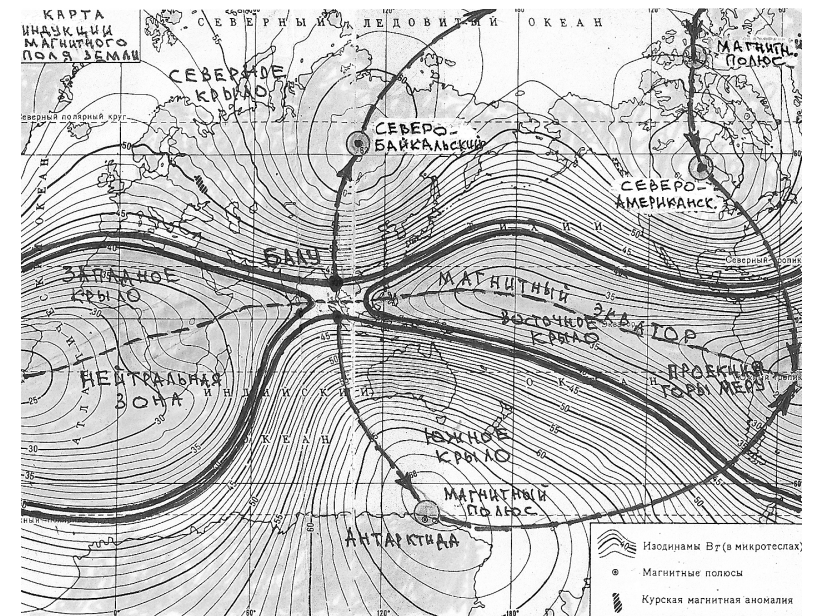


Рис. 55

На карте индукции электромагнитного поля у поверхности Земли (рис. 55) линии изодинам образуют характерный рисунок выхода стороннего поля через одно из трёх возможных направлений (Бык), с общим центром в кордильере потухшего (временно) вулкана на острове Суматра.



Линии изодинам также показывают, что у побережья Южной Америки на большой высоте располагаются шаровые скопления стороннего электрического поля Земли, называемые горой Меру, что означает Место Ра, или просто Хара (Гора Ра).

Основная масса населения Земли перед апокалипсисом, произошедшим приблизительно 11,5 тысяч лет назад, проживала в благоприятных для жизни местах планеты, районах выхода стороннего поля Илу и под скоплением Ра Илу, смотри рисунок 56.

Люди проживали на архипелагах и островах территории Му (Мура) в Тихом океане (большинство островов находятся под водой) и прилегающих к Тихому океану территориях, а также под крышей мира (под скоплением Ра Илу), в Африке. Сравним, большинство современного населения Земли проживает также на территориях прилегаемых к выходу спина, Балу, на полуостровах Индостан и Индокитай и на больших и малых островах в Индийском океане и под крышей мира (скоплением Ра Балу) в Южной Америке (рис. 56).

Прежний выход стороннего поля Земли, Илу, находился в Тихом океане, в 120° восточнее по экватору, от выхода современного стороннего поля, Балу (рис. 56).

Большинство людей, проживающих на архипелагах Му (Мура), прилегаемых территориях на востоке (Америка) и западе (острова Океании и побережье юго-восточной Азии) говорили на одном языке или на близких наречиях одного единого языка.

Продолжительное время борьбы за существование оставшихся в живых изолированных групп людей после апокалипсиса называется пробелом в памяти преемственности, передачи общих знаний предков последующим поколениям людей. Большинство учёных, знавших истину, погибли, выжила часть сильнейших молодых людей, боровшихся за собственное существование и жизнь своих детей.

В благоприятных местах для проживания после апокалипсиса возрождались отдельные группы населения Земли. Смешение единого общего языка с языками местных племён формировало множество самостоятельных диалектов и наречий.

В любом языке современных народов Земли осталось множество слов прежнего единого языка Земли. Например, такие слова, как Ан (Ану), Ра, Хара (Гора), Ил (Илу), Алу (Аль, Эль), Балу, а также Ад,

Ом, Му и многие другие слова присутствуют в прямом или изменённом произношении любого языка мира.

Мифологическое название (источники истины) бог Гор означает Го – Ра (Хара) или Ра на Горе. Фараон – это название Хара он, или Го – Ра он, а гора Меру означает Место Ра (Мера, Меру), место небесного Рая.

Название небесный Рай, крыша мира, царство небесное, царь небесный, сын божий, дано индуцированному скоплению стороннего электрического поля Земли на небесах. Почему?

В центре Земли скопление в коллапсаре-дискаторе – это Всевышний планеты Земля, шаровое скопление стороннего поля на небесах, это сын божий – Ра, царь света. Скопление Ра – это не Солнце, а солнцеподобное индуцированное образование, шаровое скопление стороннего электрического поля Земли.

Во время апокалипсисов разрушение шарового скопления Ра (уходит к отцу в дискатор), стороннего поля и его движение наблюдается с Земли, как второе испепеляющее Солнце и как падающая, в сторону Северного полушария, пылающая планета.

Подобно пылающей планете проявляется на небе в процессе апокалипсиса и названа в мифологиях планетой Польшь. Название Польшь характеризует намерение горящего шарового скопления и переводится По Илу она. В старом русском языке говорили – она (женщина) пошла по воду, за водой. И здесь, горящее скопление, знающие истину люди (от кого?) называли истинным намерением шарового скопления, скопление пошло к Илу, выходу прежнего стороннего поля. Одновременно новое скопление, новая потенциальная планета Польшь, будет выходить через индуцирование стороннего поля от нового выхода, например, Балу.

Само построение системы нейтрализации стороннего электрического поля Земли подобно дереву, корни дерева находятся в дискаторе Земли, ствол дерева начинается от дискатора и выходит на поверхность (Бык с центром о. Суматра), от выхода на поверхность начинается крона дерева и завершается вершиной и скоплением Ра.

В среднеперсидском Бундахишне и в Авесте в тот же центр, где на горе, возвышающейся над мировым океаном, растёт древо всех семян, поместили священного осла.



В иранском сюжете упоминается праведный осёл, стоящий посреди мирового океана, периодически приносимый в жертву для поддержания жизни на Земле. Гигантский осёл, помимо трёх ног, обладает шестью глазами, девятью ртами, двумя ушами, одним рогом и питается духовной пищей.

Регведийское видение, жертвоприношения почти полностью совпадает с иранским описанием, но вместо осла в центр мироздания поставлен священный Бык, он также трёхногий и трижды связан, и его тело (жир) трижды разделено между богами, посреди океана помещён золотой прут. Обожествление коров (быков) в Индии и в других государствах индуизма практикуется верующими и в настоящее время.

На карте индукции магнитного поля Земли (рис. 56) стоит священный Бык (священный Осёл). Изолинии, расположенные в месте выхода стороннего поля (Балу) на карте, изолинии индуцированных пространств в полушариях и в нейтральной зоне по экватору показывают форму тела священного животного.

Три мировые аномалии: Северобайкальская, Североамериканская и у берега Антарктиды – это ноги священного животного, уходящие на глубину залегания континентов, подвижной земной коры.

Шаровые скопления Ра на небесах индуцирует не только разделённый спиновой заряд дискатора Земли, но и мировые гравитационные заряды (аномалии), региональные, локальные и другие заряды подвижной земной коры в полушариях и нейтральной зоне.

Общая гравитационная масса в материках (частях материков), гравитационная масса в подвижной земной коре под водами океанов, гравитационная масса вод океанов и морей, гравитационная масса в атмосфере, индуцированная одним крылом стороннего электрического поля, образует массу земной коры в полушарии.

Стороннее электрическое поле распространяется в подвижной земной коре, в атмосфере Земли и ближайшем космическом пространстве. В описании структуры стороннего поля Земли общая гравитационная масса указывается в короткой форме. Нет отдельной гравитационной массы только в земной коре или гравитационной массы только в материке полушария. Масса неразделима в индуци-

рованных крыльях полушарий, и в нейтральной зоне отражает единую структуру стороннего поля Земли.

В подвижном гравитационном заряде земной коры северного полушария находится Евразийский континент, Северная Америка и множество островов и архипелагов, индуцированных северным крылом стороннего поля Земли (см. карту, рис. 55).

В подвижном гравитационном заряде земной коры южного полушария находится Антарктида, Австралия, острова и архипелаги индуцированные южным крылом стороннего поля Земли (рис. 55).

В нейтральной зоне стороннего поля Земли находятся Африка и Южная Америка, острова и архипелаги индуцированного нейтрального пространства (рис. 55).

Стороннее электрическое поле дополнительно индуцировано гравитационными массами в полушариях и нейтральном пространстве через общие гравитационные зарядовые центры подвижной земной коры в мировых аномалиях.

Мировая аномалия, единый зарядовый центр стороннего электрического поля Земли, бык Балу находятся одновременно в двух зарядах противоположных индуцированных полушарий и в двух зарядах в крыльях нейтрального пространства (восточное и западное крыло нейтральной индуцированной зоны).

Максимальное силовое влияние в крыльях стороннего поля на окружающие заряды в массах полушарий и нейтрального пространства проявляется во время апокалипсисов и определяет пути максимального разрушительного влияния на планете (см. карту 56).

В северном полушарии путь максимального разрушительного влияния на поверхность планеты северным крылом стороннего поля Земли проходит (см. карту) от быка Балу к Северобайкальскому гравитационному центру, далее к гравитационному заряду, расположенному на магнитном полюсе, затем к Североамериканскому гравитационному заряду и завершается в скоплении на горе Меру.

Общая масса в материках северного полушария значительно превосходит массу в материках южного полушария. В северном полушарии образованы два материковых гравитационных заряда, Северобайкальский и Североамериканский, и между ними на месте

магнитного полюса образован общий гравитационный заряд северного полушария (рис. 55).

В южном полушарии общий гравитационный заряд Антарктиды и Австралии смещён на побережье Антарктиды и находится на месте магнитного полюса (см. карту, рис. 55).

Структура гравитационных мировых, региональных и других зарядов (центров масс) подобна структуре коллапсаров, состоит из индуцированных скоплений и структурно расположенных (замещающих индуцированные скопления) в трубках атомов и молекул.

Система индуцирования выстраивает структуры атомов и молекул в подобие коллапсаров, особые свойства мировых, региональных, локальных и других скоплений проявляются в кемберлитовых трубках, залежах полезных ископаемых, подобных КМА (Курской магнитной аномалии).

Гравитационные заряды, трубки коллапсаров на магнитных полюсах планеты расположены вертикально под поверхностью земли и совместно с дискатором Земли образуют магнитную ось из параллельных магнитных силовых линий. Концевые индуцированные магниты (подобия коллапсаров на магнитных полюсах) смещены относительно географических полюсов.

В северном полушарии преобладает масса в Евразийском континенте и преобладают силы отталкивания в крыле индуцирования стороннего поля в направлении материка Северной Америки и острова Гренландия.

Индуцированное подобие коллапсара на магнитном полюсе северного полушария Земли смещено суммарными силами гравитационных зарядов Евразийского континента и заряда в крыле стороннего поля, на 1000 километров от Северного географического полюса, в район Канадского Арктического архипелага (см. карту).

Индуцированное подобие коллапсара в южном полушарии смещено на 800 километров от Южного географического полюса и расположено на берегу Антарктиды (см. карту).

Магнитная ось Земли, состоящая из параллельных магнитных силовых линий, образует кривую, соединяющую индуцированные коллапсары на магнитных полюсах с магнетонами дискатора планеты. Магнитные полюса трёх потенциальных выходов стороннего

поля в северном полушарии образуют треугольник, а потенциальные материковые гравитационные заряды образуют шестиугольник (рис. 57).

Почему индуцированные гравитационные заряды обладают структурой, подобной коллапсару? Существует прямая зависимость: гравитацию, индуцированную однополярными зарядами в системе двух треугольников создают коллапсары и, соответственно, существует и обратное проявление, силы гравитационных полей создают подобия коллапсаров в простых и сложных пространствах. В простых пространствах нет элементарных коллапсаров, только частицы субстанции.

Смещение выхода стороннего поля Земли на  $120^{\circ}$  к западу по экватору (11,5 тыс. лет назад), апокалипсис Земли, сопровождался одновременно разрушением прежнего быка Илу. Выход Илу (Альфа) находился в Тихом океане, архипелаги суши, погрузившиеся под воду, назывались Му (Мура).

Происходило разрушение стороннего поля и магнитного поля Земли, вместе с Илу (Мура) разрушались прежние мировые гравитационные заряды, Североамериканский располагался на южном побережье Аляски (рис. 56).

Разрушалась прежняя структура магнитного поля Земли и единый гравитационный заряд северного полушария на месте прежнего магнитного полюса Земли. Магнитный полюс располагался значительно ближе к Евразийскому континенту (рис. 57).

Происходило разрушение прежнего мирового заряда Евразийского континента, центр заряда располагался на обширной территории северной части Скандинавского полуострова, Балтийского моря, Кольского полуострова, Белого моря и озера Ладога.

На реальной карте магнитного поля Земли показан реальный выход современного стороннего поля Балу. Проявления магнитного и стороннего поля, индуцированных Балу, показано изолиниями на карте. Изолиниями показаны расположения материковых гравитационных скоплений в полушариях, проекция горы Меру и шарового скопления на нейтральную зону.

На реальной, современной карте индукции магнитного поля Земли показаны основные структуры нового и прежнего сторонне-

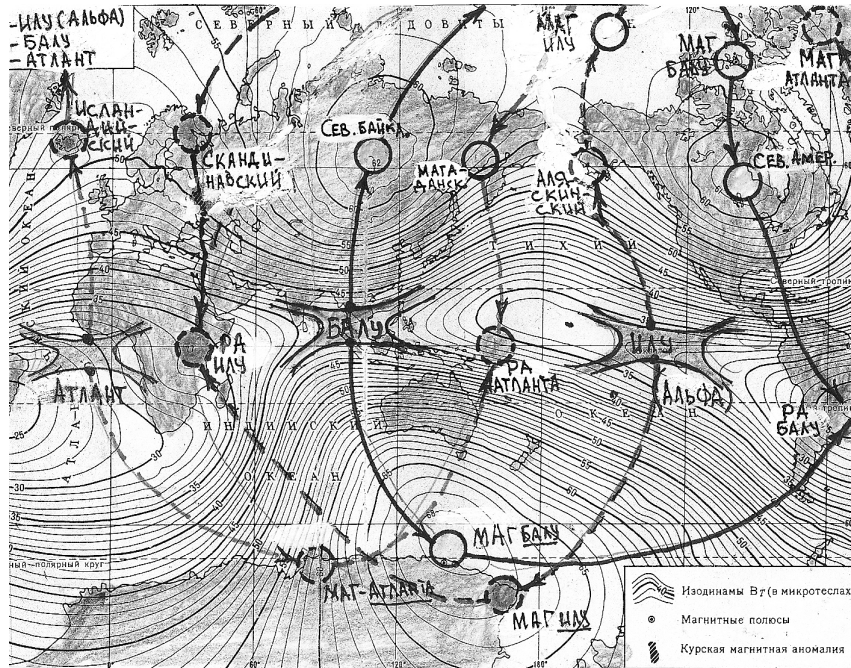


Рис. 56

го поля, возникающие и распадающиеся в процессе апокалипсисов. Показаны три возможных направления, выходы стороннего поля на поверхность планеты, существует вероятность проявления тройного одновременного проявления выходов на короткое время.

Во время апокалипсисов все три выхода задействованы в процессе смены направления выхода спина. Слабость прежнего стороннего поля, вызываемая смещением (деформацией) материков в критическое эпохальное время, например, во время сближения с ближайшими планетами или во время парада планет, создают условия возможного начала апокалипсиса.

Нарастающее силовое противоборство между слабым старым сторонним электрическим полем и нарождающимся новым сторонним электрическим полем называется процессом зарождения апокалипсиса. Умная обезьяна наблюдает за двумя дерущимися тиграми и затем добывает раненого победителя, истинный смысл

сравнения раскрывается знанием сути процессов апокалипсисов и конечного результата в происходящем событии.

Возможен временный, переходной вариант, когда на некоторое время власть на земле захватывает умная обезьяна, но тигры (выходы спина на поверхность) бессмертны и, восстановив силы у отца (дискатора), заберут власть у хитрой обезьяны. Такие периоды, чередование коротких апокалипсисов между эпохальными апокалипсисами, на планете происходили и могут происходить.

Расположение мировых аномалий в полушариях, место выхода стороннего поля на поверхность Земли, расположение вершины горы Меру раскрывают причины резкого изменения климата после апокалипсисов, причины оледенений обширных территорий во время продолжительных и коротких ледниковых периодов (рис. 56).

На карте, показанной на рисунке (рис. 56), вся структура стороннего поля и магнитного поля, гравитационных мировых, региональных, локальных и других скоплений, шаровое скопление Ра в процессе апокалипсиса разрушаются. Освобождаются чудовищные силы сжатия и противодействия сжатию в зарядовых центрах.

Одновременно возникают новые разрушительные силы в процессе образования нового стороннего поля. Полное описание поражающих факторов, влияющих на биологическую жизнь и продолжение жизни на планете, рассматривается в дополнении.

Происходило разрушение шарового скопления Ра и горы Меру, скопление Ра располагалось в верховьях Белого Нила в районе горы Калиманджаро и озера Виктория.

Одновременно временно распадаются (перемещаются, генерируют) и вновь формируются экваториальные, лежащие кольцевые аномалии, вентиляторы климата (рис. 58), региональные, локальные, местные и другие индуцированные аномалии.

Распадаются скопления частиц в структуре магнитных силовых линий, генерируют частицы в скоплениях гравитантов и гравитонов гравитационного поля, образуются токи смещения частиц и токи самоиндукции в структурах земного шара, в атмосфере и ближайшем космическом пространстве.



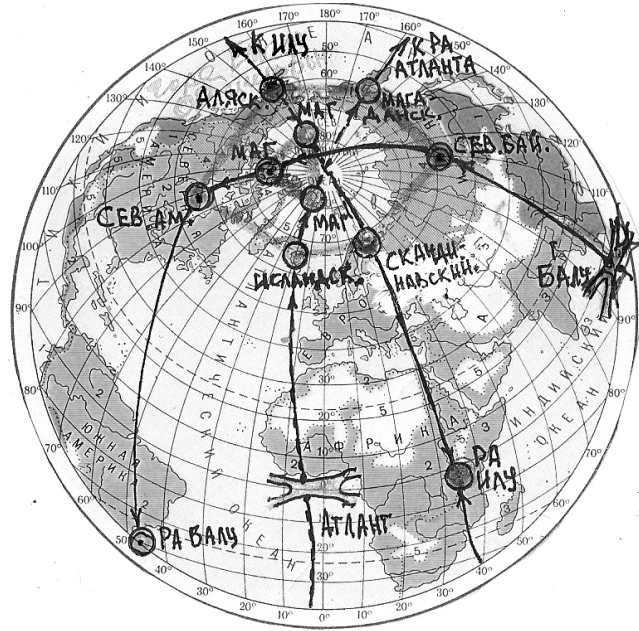


Рис. 57.

В северном полушарии шесть гравитационных мировых аномалий, центров сжатия (центров масс в континентах), проявляемых на поверхности Земли, образуют шестиугольник, а в центре шестиугольника потенциальные магнитные полюса образуют треугольник, почему?

На снимках полюсов планеты Юпитер космическими аппаратами получено изображение тёмных пятен в плотных слоях атмосферы планеты, образующих форму шестиугольников.

Тёмные (плотные) скопления в вершинах шестиугольников на полюсах Юпитера – это продолжение магнетонных трубок коллапсара – дискатора в структурах планеты. Полные магнетонные пространства в дискаторах обладают наибольшей коллапсарной плотностью сжатия, распространяют своё влияние в пространстве.

Проекция полных и неполных магнетонных пространств в земной коре полушарий определяет пространственное расположение и структуру зарядовых центров (аномалий). Образуется деформи-

рованное расположение индуцированных скоплений в шестиконечных образованиях на поверхности полушарий. Неравномерное распределение масс в подвижной земной коре и масс в полушариях планеты деформирует систему идеального расположения скоплений в форме шестиугольников.

Магнетонные трубки коллапсаров выходят на поверхность полушарий планеты и в других местах земли, образуют зарядовые индуцированные центры, подобия коллапсаров, проявляются изменением выхода магнитных силовых линий (аномалии), деформируют структуру материков и земной коры горообразованием, образованием возвышенностей, способствуют образованию вулканов.

В мифологиях Греции царю Олимпа (гора Меру) Зевсу помогают в борьбе за власть с титанами (трубки гравитонов в дискаторе, через них распространяется выход спина на поверхность, самого Зевса), сторукие великаны – гекатонхейровы, он их призвал на помощь. Великаны – гекатонхейровы (магнетонные, коллапсарные силы в полных магнетонных трубках коллапсара Земли) – ужасные, громадные как горы, вышли они из недр земли и ринулись в бой. Стонала Земля (Гея), грохот наполнял воздух, всё кругом колебалось, даже Тартар (дискатор) содрогался от этой борьбы.

В настоящей части истинного, сравнительного рассказа о процессах апокалипсисов в греческих мифологиях даются очень важные документальные сведения о проявлениях магнетонных (коллапсарных) сил через индуцированные выходы магнетонных трубок на поверхность планеты (аномалии).

В эпоху между апокалипсисами магнетонные силы оказывают значительное влияние на структуру изменения облика материков, образование гор, образование полезных ископаемых, деление материков, движение океанических вод и воздушных масс в атмосфере.

Одновременно объясняются свойства титанов (гравитонных сил в трубках гравитантов, дискатора), содержащих в собственной структуре однополярные скопления в звёздах, через которые проявляются на поверхности земли Зевсы (скопление Ра на горе Меру) во время апокалипсисов.

Полные и неполные магнетонные пространства в полных и неполных магнетонных трубках, расположенных на периферии дис-



катора Земли, проявляются в кольцевых лежащих индуцированных образованиях (рис. 59).

Структуры лежащих кольцевых образований под поверхностью и над поверхностью земли и океаническими водами подобны структурным взаимодействиям скоплений в замкнутых силовых линиях магнитного поля Земли (рис. 59).

Неполные и полные индуцированные образования у поверхности, расположенные в нейтральной зоне земли по экватору планеты, проявляются как японский вентилятор климата.

Японские океанографы обнаружили к востоку от Японских островов странную аномалию в Тихом океане. Обнаружен водоворот, где ось вращения расположена не вертикально, а горизонтально (лежит на поверхности).

Колоссальное количество холодной воды поднимается из глубин и медленно закручивается в колесо диаметром 100 километров (это только у поверхности). Название водоворота переводится с японского языка как вентилятор климата, подобные проявления магнетонных сил (коллапсарных сил) в магнетонных трубках дискатора, расположенных на периферии коллапсара, будем называть лежащими (реально лежит ось вращения) кольцевыми индуцированными зарядами на экваторе.

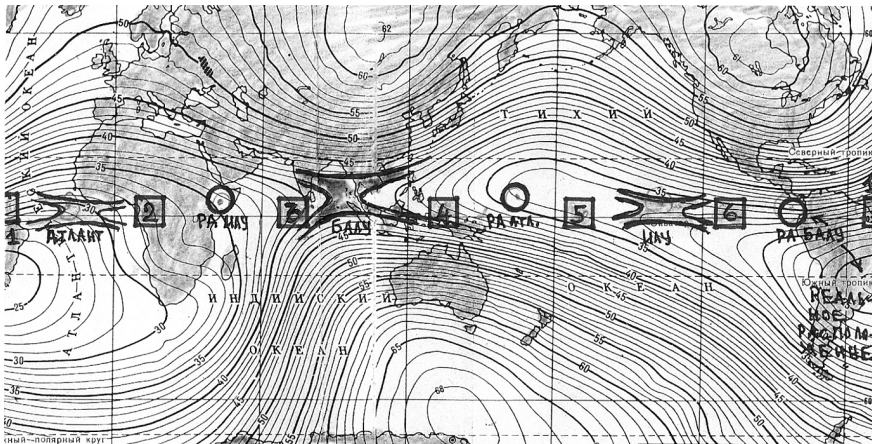


Рис. 58

На рисунке 58 показаны проявления лежащих кольцевых индуцированных магнетонных трубок в предполагаемых местах на экваторе, индуцированные неполными магнетонными трубками дискатора Земли, подобные японскому вентилятору климата.

Трубки магнетонов в дискаторе Земли расположены между трубками гравитонов, смещены радиально на  $30^\circ$ . На рисунке 58 показаны места, где возможны магнетонные проявления, подобные японскому вентилятору климата.

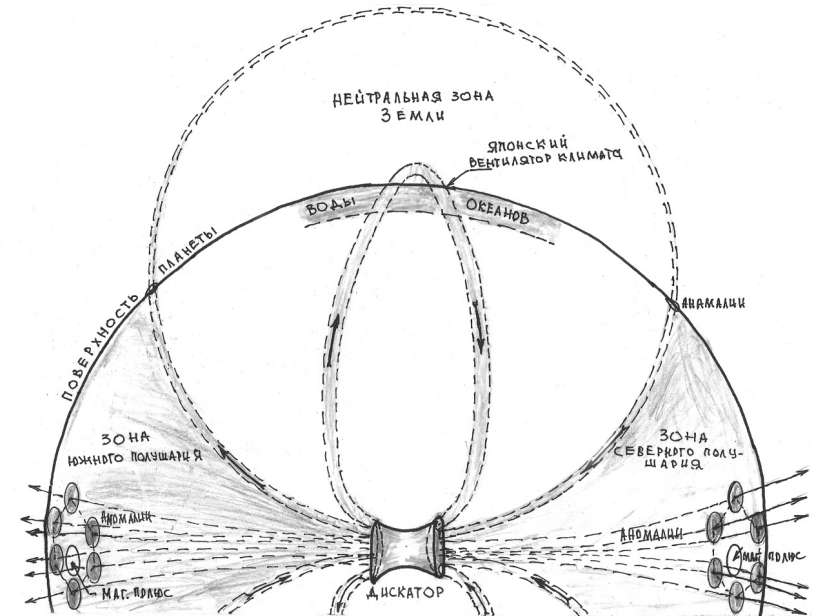


Рис. 59

Магнетонные системные трубки дискатора – это место, где образуется коллапсарное сжатие и магнитные силовые линии. Магнитные силовые линии в магнетонных трубках расположены параллельно и распадаются на отдельные, замкнутые магнитные силовые линии после выхода на поверхность планеты.

Системные магнетонные трубки образованы структурой дискатора Земли, создают коллапсарные силы сжатия и индуцируют мировые и региональные аномалии на поверхности планеты и в ат-

мосфере. Не системные магнетонные трубки в дискаторах индуцируют локальные, местные и отдельные магнитные силовые линии. Места выходов отдельных магнитных силовых линий также образуют аномалии, и их легко можно определить на местности.

Выходы на поверхность земли образуют особые места, проявляемые как мировые, региональные, локальные и другие аномалии, почему?

Магнитные силовые линии в индуцированных магнетонных трубках сохраняют сжатие до выхода на поверхность земли, а затем распадаются на отдельные замкнутые силовые линии в едином магнитном поле Земли.

Особым структурным отличием обладают магнетонные выходы в лежачих кольцевых индуцированных магнетонных трубках. Магнитные силовые линии в лежачих кольцевых магнетонных трубках не распадаются на отдельные силовые линии, нейтрализованы в кольцевой системе.

Неполные магнетоны коллапсара-дискатора Земли в магнетонных трубках расположены на периферии и в изогнутых пространствах (желобах, рис. 59), способствующих образованию замкнутых силовых магнитных линий по кратчайшему пути нейтрализации. Силы сжатия деформируют структуру коллапсара и способствуют образованию лежачих кольцевых аномалий, подобных японскому вентилятору климата.

Пульсирующее электромагнитное поле в лежачих кольцевых магнетонных трубках поляризуют молекулы океанических солёных вод в зоне действия индуцированных зарядов. Степень поляризации солёных вод зависит от температуры электролита (солёной воды), соответственно силы притяжения и силы отталкивания в вентиляторе климата и морских течениях, например, в Южнопассатном течении, изменяются пропорционально разнице температур между холодными водами и тёплыми водами в общей системе движущих сил.

Например, индуцированное кольцевое магнетонное образование в Атлантическом океане, расположенное против устья реки Амазонки (на рис. 58 показано цифрой 1), способствует течению вод в океане, возбуждает образование волн и движение волн к берегу и по реке Амазонке, в определённый период года.

Лежачие индуцированные кольцевые заряды в Атлантическом океане (1 и 2, рис. 58) проявляются на поверхности океана и формируют совместно с другими зарядами вихревые движения вод и воздушных масс в атмосфере, насыщенных испарениями с поверхности океана.

Сформированные, насыщенные воздушные массы в вихревом скоплении, тайфуне, отрываются от взаимодействия с кольцевыми зарядами в океане (у побережья) и перемещаются в сторону Североамериканского континента, почему?

Стороннее электрическое поле Земли через силовое влияние электрического заряда в скоплении Ра (гора Меру) на континентальные заряды перемещает массы в континентах.

Силы стороннего поля, заряд в скоплении Ра смещает заряд Южной Америки и её массу в сторону Тихого океана, а Африканский континент – в северо-восточном направлении. Систему движущих сил Ра необходимо рассматривать в общей системе движущих сил стороннего поля Земли.

На ближайшие океанические воды Атлантики вокруг скопления Ра также действуют движущие силы, как и на заряды в материках. На океанические воды Атлантического океана между Африканским и Южноамериканскими континентами и на воды в Тихом океане у берегов Южной Америки действуют максимальные движущие силы Ра и горы Меру. На воздушные массы в прилегающих пространствах континентов над Атлантическим океаном и Тихим океаном также действуют максимальные движущие силы Ра и горы Меру.

Движению вод и насыщенных влагой воздушных масс в атмосфере Атлантики в западном направлении Южноамериканский континент является преградой (плотиной). По этой причине движущие силы Ра и горы Меру, движущие силы в кольцевых лежачих магнетонных образованиях (1 и 2, рис. 58) формируют систему течений океанических вод в Атлантическом океане и продолжение течений в Северном Ледовитом океане.

Для продолжения морских и воздушных течений на восток в Северном Ледовитом океане используются движущие силы в Исландском гравитационном заряде и Скандинавском гравитационном заряде.

Индукцированные мировые и потенциально мировые заряды, расположенные в форме шестиугольника в северном полушарии, создают движущие силы океанических вод в Северном Ледовитом океане и движения зарядов в циклонах и антициклонах в восточном направлении по Евразийскому континенту.

За естественной преградой, Южноамериканским континентом (рис. 58), сторонние движущие силы электрического поля Земли перемещают воды Тихого океана в западном направлении и создают системы течений вод и воздушных масс в бассейне Тихого океана.

Южное пассатное течение в Тихом океане – это действие единых движущих сил по экватору планеты. Кольцевые магнетонные образования поднимают глубинные воды у западного побережья Южной Америки и других мест и способствуют силам стороннего поля Земли перемещению вод на запад, в Южное пассатное течение.

Африканский континент и Южноамериканский континенты образуют естественное препятствие глобальному течению вод и воздушных масс на запад и восток по экватору и свободному распространению течений в полушариях. Естественные преграды в материках способствуют образованию внутренних течений в Индийском океане, Атлантическом океане, а также в Северном Ледовитом океане.

В Атлантическом океане, в нейтральной зоне Земли, расположены четыре аномальных района. Потенциально и периодически проявляется выход стороннего поля – Атлант, действуют силы в двух лежащих индуцированных кольцевых зарядах (показаны цифрами 1 и 2, см. карту рис. 58) и расположен заряд шарового скопления на горе Меру.

Насыщенные влагой тропиков подвижные воздушные массы в циклонах индуцируют собственный зарядовый центр (потенциальный глаз тайфуна). Чем дальше вихревое подвижное скопление, зарождающийся тайфун, уходит от силового влияния зарядов в водах и атмосфере Атлантики на север, тем больше возникает внутренние силы разрушения в тайфуне (нет внешнего сдерживающего равновесия сил, сжатия).

Холодный воздух в горных районах Анд, гравитационные заряды в массах горных образований препятствуют прямому смещению

воздушных масс сторонним электрическим полем в западном направлении.

Индукцированные, лежащие подобия коллапсаров по экватору (шесть) и скопления в вершинах шестиугольника в северном и южном полушарии – это главные насосы, перемешивающие глубинные воды в океанах планеты (рис. 60).

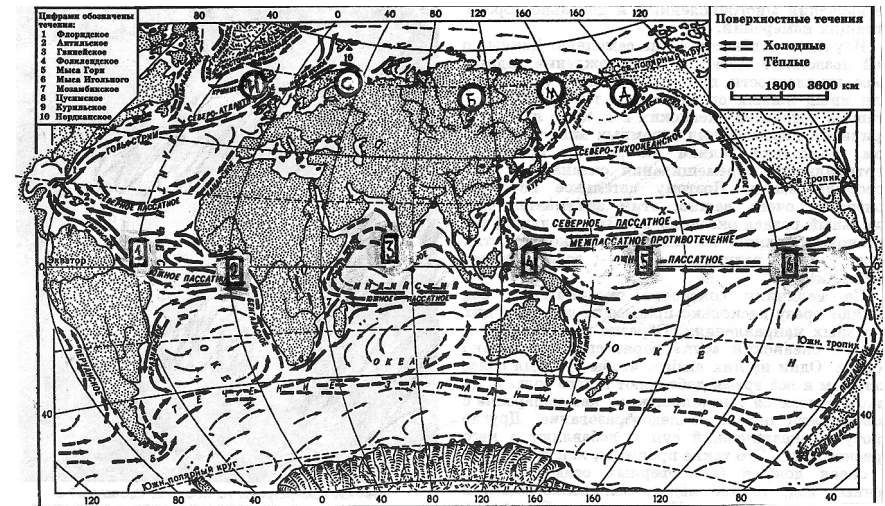


Рис. 60

Карта поверхностных холодных и тёплых течений на планете. На реальную карту нанесены и помечены цифрами лежащие кольцевые аномалии и аномалии северного полушария.

Система формирования движущих сил едина в глобальном пространстве планеты, количество перемещаемых масс и направления движения в экваториальной зоне и в полушариях подчиняются единому закону.

Аномальные скопления, расположенные в форме шестиугольника, проявляемые на поверхности полушарий, индуцированы магнетонными зарядами в магнетонных трубках дискатора Земли. Аномальные зарядовые образования в структуре действующего выхода стороннего поля Балю проявляются как мировые аномалии, а остальные четыре скопления проявляются как региональные обра-



зования, при смене выхода стороннего поля, апокалипсисе Земли, значение скоплений меняется.

Путь индуцирования стороннего поля в полушариях, вносит изменения в географическое расположение региональных зарядов, смещает заряды в некую силовую линию и усиливает заряды до состояния мировых аномалий через дополнительное индуцирование.

При смене выхода спина Земли, апокалипсисе, мировые аномалии, подобные Северобайкальской аномалии, разрушаются, перемещаются в другое место и становятся региональными.

В южном полушарии подобная система расположения индуцированных аномалий на земной (водной) поверхности существует, и их можно вычислить на основе измерений индукции магнитного поля Земли и опытным путём.

В северном полушарии стороннее электрическое поле дополнительно индуцировано Северобайкальской и Североамериканской аномалиями, а в южном полушарии стороннее электрическое поле дополнительно индуцирует общий зарядовый центр полушария, расположенный у берега Антарктиды (рис. 55).

Священное дерево, описываемое в мифологиях, опирается также на три корня, три корня дерева и ноги священных животных, это мировые аномалии действующего стороннего поля Земли.

Изолинии показывают на карте индукции магнитного поля и стороннего поля Земли, проекцию горы Меру и скопления Ра на поверхность планеты. Скопление Ра, расположенное над городом Рио-де-Жанейро – это рог священного животного.

Два крыла индуцирования стороннего поля в полушариях – это уши осла. В структуре индуцированного поля существует подобие глаз, ртов и других физических сравнений и свойств, описываемых в структуре священных животных (стороннего электрического поля Земли).

Священное животное трижды связано, и посреди океана помещён золотой прут, выход спина на поверхность Земли. Три ноги священного животного связаны через мировые аномалии в дискаторе Земли, а выход стороннего поля в центре Балу на земную поверхность – это золотой прут.

Только богу Ра, царю света, спиновому разделённому заряду в осевой трубке дискатора Земли, дано право выхода из царства тьмы на поверхность, для построения собственной системы нейтрализации зарядов в индуцированном подобии дискатора, шаровом скоплении, и поэтому Ра назван сыном Всевышнего, дискатора, на небесах.

Сын света Ра, движущие силы стороннего электрического поля, генерируют тепло в подвижной части земной коры, и это спасает биологическую жизнь на Земле от гибели. Спаситель, царь Ра, периодически приносит себя в жертву, уходит к отцу в дискатор Земли при смене направления выхода стороннего поля, апокалипсисе, и одновременно рождается в другом месте выхода под новым названием.

У Всевышнего (дискатор) есть второй сын, и это царь тьмы, Сатана. Сатана, полное название – с ада Ану, означает бог ада в царстве Ану (Всевышнего Земли). Сатаной, царём тьмы и сыном бога Всевышнего, называют общую систему гравитационного индуцирования в дискаторе Земли, проявляется в гравитационном электрическом поле.

Царь тьмы создаёт самостоятельно общие гравитационные скопления в царстве света, но они также увлекают силами притяжения во тьму индуцированных коллапсаров. Силы царя тьмы, сатанинские силы, значительно превосходят силы царя света, создают и сохраняют систему планеты Земля, противодействуют разрушительным силам апокалипсисов. Оба сына едины и неразделимы в структуре отца и в единой индуцированной системе за пределами дискатора.

Гравитационные поля систем (масс) индуцируют совместные гравитационные центры сжатия в центрах масс, на больших расстояниях, по закону дальнего действия. Гравитационные центры сжатия образуют подобия коллапсаров и индуцированные коллапсары-дискаторы, подобные дискатору Земли.

В галактических структурных гравитационных зарядовых центрах сжатия (чёрные дыры, скрытая тёмная масса) частиц и скоплений частиц субстанции в Галактиках, в скоплениях Галактик, зарождаются звёзды и звёздные системы.

Изолинии на карте индукции магнитного поля у города Рио-де-Жанейро в Южной Америке показывают место вершины горы Меру



(Хара) и одновременно единый индуцированный заряд Африки и Южной Америки на поверхности Земли.

Скопление Ра расположено в атмосфере Земли и в ближайшем космическом пространстве, вершина горы поднимается на 400 тысяч километров.

Название «крыша мира» соответствует действительности. Силовые линии стороннего поля Земли в нейтральном пространстве по экватору сжаты между силовыми линиями в полушариях и образуют подобие сводов (стропил) крыши.

Сравните значение изодинам в трёх мировых зарядовых центрах (от 61 до 68), а на поверхности океана, у города Рио-де-Жанейро значение изодинамы составляет всего 24, почему?

Вертикальные силы притяжения между общим зарядом Африки и Южной Америки на поверхности земли (на шельфе Южной Америки у города Рио-де-Жанейро) и зарядом в индуцированном скоплении Ра на небесах распределяют истинное значение изодинам по высоте силового взаимодействия.

Вертикальное притяжение к скоплению Ра способствует произрастанию высоких деревьев под крышей мира, формируются массы разрушительных циклонов, тайфунов. Под крышей мира силы притяжения вод к скоплению Ра на горе Меру и движущие силы стороннего поля нейтральной зоны в западном направлении (к Тихому океану) в благоприятное время года периодически образуют волны в океане и направляют вверх по руслу реки Амазонки.

Балу, скопление Ра и крыша мира (стороннее электрическое поле) создают силы противодействия между материками и между подвижными массами в полушариях, образуют течения вод в океанах и движение воздушных масс в атмосфере.

Ещё три образования – два образования в Северном полушарии, Северобайкальский и Североамериканский и третье образование у берега Антарктиды – показывают материковые аномалии, объединённые зарядовые центры в полушариях. Мировые зарядовые центры в полушариях смещены, находятся не в центрах масс материков, почему?

Подвижные материки и другие части подводной и надводной суши обладают собственными центрами тяжести (индуцирован-

ными гравитационными центрами масс). Индуцированные центры масс известны как мировые, региональные, локальные и другие аномалии. В общую систему индуцирования центров сжатия стороннее электрическое поле Земли вносит существенные изменения.

Стороннее электрическое поле обладает силами, способными смещать общие зарядовые центры сжатия, выстраивает мировые заряды в подобие силовых линий из аномалий (разрушительный путь Балу) на поверхности Земли.

На карте индукции магнитного поля Земли общая силовая линия из аномалий (путь разрушения) начинается на выходе Балу, включает в себя множество региональных, локальных и других центров масс на пути к Северобайкальскому, Магнитному, затем Североамериканскому мировому центру и замыкается в скоплении Ра, на горе Меру. Подобный путь стороннего поля существует и в южном полушарии Земли.

Индуцированные силами стороннего электрического поля мировые зарядовые центры (аномалии) в полушариях и нейтральной зоне во время апокалипсисов распадаются и образуются новые в других местах.

Стороннее электрическое поле индуцирует два пути нейтрализации спиновых зарядов (рис. 55), в северном полушарии через два мировых центра сжатия, Северобайкальский и Североамериканский, и в южном полушарии через один совмещённый центр с центром масс на выходе магнитного полюса, расположенного на берегу Антарктиды.

Общая масса в материках северного полушария располагается вокруг собственного индуцированного центра (магнитный полюс), расположенного в Северном Ледовитом океане.

Общий индуцированный гравитационный заряд материков в северном полушарии, система гравитационного центра расположена под поверхностью земли и подобна структуре кемберлитовых трубок. Общий гравитационный заряд материковых масс северного полушария расположен на месте современного магнитного полюса Земли.

Кроме мировых, материковых аномалий, существуют региональные, локальные и множество структурных зарядовых центров

на поверхности суши и в океанах, которые также распадаются (частично распадаются) и вновь формируются.

Объединённые зарядовые центры, материковые и региональные, во время апокалипсисов и в процессе формирования образуют кемберлитовые трубки и оставляют реальные следы предшествующих эпох для изучения. Эпохальное время – это время жизни на Земле между апокалипсисами, сменами выхода спина.

Структура кемберлитовых трубок подобна структуре бывших и существующих мировых и региональных зарядовых центров. Например, структура атомов и молекул в кристаллах кемберлитовой трубки (город Мирный) создана силами структуры мирового заряда при смене спина и длительного воздействия на массы в эпохальное время. Месторождения полезных ископаемых образованы также зарядовыми центрами (описание дано в дополнении).

Магнитное поле и стороннее электрическое поле в общей системе электромагнитного поля Земли не изменяют структуру индуцированных гравитационных сфер, волн сжатия сфер и волн разрядки, но вносят силовую деформацию.

Силовое изменение геометрического объёма и естественной структуры сфер, силовое изменение гравитационного поля называется силовой деформацией. Структурные силы в гравитационном поле противодействуют силам деформации. Силы гравитационного поля противодействуют изменению сил деформации.

С удалением от поверхности Земли изъяны деформации сфер в волнах сжатия и разрядки в гравитационных твёрдых сглаживаются, но не исчезают бесследно.

Взаимодействие гравитационных твёрдых с гравитационными твёрдыми Луны, с твёрдыми солнечной системы, с гравитационными твёрдыми планет и орбитальное движение деформирует гравитационное поле Земли.

Сферические волны сжатия и разрядки в гравитационных твёрдых солнечной системы, реальное их существование открыто учёным Бодде.

Арифметическая закономерность Бодде определяет не закономерность расположения планет относительно центра Солнца, а за-

кономерное расположение сферических волн сжатия и разрядки гравитационных твёрдых солнечной системы.

Подобная арифметическая закономерность в структурах индуцированных твёрдых существует индивидуально не только у звёзд, но и у каждой планеты и отражает пространственную зависимость всей зарядовой массы в планетарной системе.

Гравитационное поле каждой планеты максимально взаимодействует с ближайшей гравитационной волной сжатия солнечной системы. Каждая планета взаимодействует собственными гравитационными сферами в волнах сжатия и разрядки с ближайшей волной сжатия солнечной системы по закону дальнего действия.

Скорости гравитационного силового взаимодействия планет в солнечной системе не зависят от расстояния до Солнца. Гравитационные системы (тела) взаимодействуют собственными, постоянно распространёнными, гравитационными сферами в волнах сжатия и разрядки, с постоянно распространёнными сферами в волнах сжатия и разрядки солнечной системы, а не с Солнцем.

Гравитационные волны всегда распространены и поэтому, по закону близкого действия, происходят только изменения в гравитационных полях систем, но скорость силового взаимодействия гравитационных систем всегда мгновенна.

Максимальными силами взаимного притяжения для каждой планеты обладает ближайшая волна сжатия в солнечной системе, опорная волна сжатия индуцированного гравитационного поля Солнца. Закономерность Бодде определяет распределение опорных волн сжатия и разрядки в индуцированном гравитационном поле солнечной системы.

Плоскость движения планет расположена в нейтральной зоне гравитационного поля Солнца, плоскость вращения внутренних планет близка к нейтральной плоскости Солнца.

Неподвижных систем в космическом пространстве нет, неподвижна только бессистемная Матрица космоса. На все подвижные зарядовые системы действуют силы, противодействующие движению, и силы, ускоряющие движение.

Масса тела (вещество тела) стремится кратчайшим путём попасть в состояние неподвижности, космическую Матрицу, а где на-

ходится неподвижность? Движение в неподвижности определяет массу тела и заряд, остановите мысленно движение – и тело перестанет существовать, растворится в неподвижности.

Векторные силы центростремительного ускорения тел возникают при деформации гравитационных твердей между системами взаимного (коллективного) притяжения.

Максимальная периодическая деформация в гравитационных твердых Земли в новолуние вызывает сигиздийские приливы и отливы в морях и океанах, одновременно проходящие с противоположных сторон планеты. Причины синхронных отливов и приливов, происходящие дважды в сутки, рассматриваются в описании планеты Земля и ее спутника Луны.

Деформация гравитационных твердей планеты во время новолуния в декабре, оказывает силовое влияние на дискатор Земли. Дискатор Земли окружён свободным индуцированным пространством, подобием сферической волны разрядки и обладает способностью смещаться в некотором зависимом пространстве центра земли.

Силовая деформация гравитационного поля Земли смещает дискатор (изменяет направление колебательного движения), смещение дискатора, это смещение колоссального электрического заряда. Движение электрического заряда в дискаторе изменяет равенство сил притяжения и отталкивания в структурах земного шара, систему равновесия сил.

Движение коллапсара образует быстрое вертикальное смещение масс в земной коре и создаёт условия возникновения цунами и землетрясений. По причине движения дискатора (колебания) происходят самые мощные землетрясения на земле в декабре и остаточные проявления при движении коллапсара в обратную сторону (принцип маятника) в последующие месяцы.

Периодические, временные колебания нарушаются сближением с другими планетами, особенно внутренними. Линейное расположение внутренних планет, парад малых планет в новолуние декабря, вызывают максимальное движение, колебания дискатора.

Внимание! Линейное расположение малых и больших планет, полный парад планет в новолуние декабря может привести к раскрытию стороннего электрического поля – апокалипсису Земли.

Существует реальная опасность смены выхода стороннего электрического поля, смотрите карту индукции магнитного (электромагнитного) поля Земли. Гора Меру, проекция вершины горы, отражена в общем заряде материков нейтральной зоны замкнутыми изолиниями на карте индукции магнитного поля Земли у города Рио-де-Жанейро.

Проекция шарового скопления Ра на земле – это одновременно и единый центр масс Африки и Южной Америки, должен находиться на экваторе и в Тихом океане (см. рис. 58), реально находится за линией южного тропика и в Атлантическом океане, почему?

Расчётные географические координаты расположения вершины горы Меру и скопления Ра на планете это  $180^\circ$  по экватору от центра выхода Балю. Простые расчёты показывают: идеальное расположение вершины горы Меру должно находиться на экваторе, в Тихом океане, у западного побережья Южной Америки.

Масса материка Южной Америки смещена относительно экватора в южное полушарие и, соответственно, смещён общий зарядовый центр Африки и Южной Америки, в настоящее время расположен на шельфе Южноамериканского континента, у города Рио-де-Жанейро.

Для равенства сил, исходящих от Балю, необходимо сместить проекцию вершины горы Меру вместе с Южноамериканским континентом в расчётное географическое место на экваторе в Тихом океане. Реальному смещению препятствуют множество сил, исходящих от зарядов в материках и от единого заряда северного полушария.

Только при одном важнейшем условии расчётные географические координаты могут совпадать с реальными географическими координатами, если выход спина будет располагаться на месте Альфы в Тихом океане и эра действия сил будет продолжительная.

Альфа (Илу), первый выход стороннего поля, при рождении планеты и он будет последним выходом на планете, располагался на месте Тихого океана. Первый выход на планете Альфа (последующие выходы спина на месте Альфы называли Илу и другими названиями) создал сушу Пангею и массу веществ для собственного спутника Луны (илу на небе, иЛУНА), Илу на Земле создал отделившуюся массу воды и веществ на небе, ИлуНу.

Необходимо ввести ещё одну важную характеристику стороннего электрического поля Земли, определяющую потенциальный запас движущих сил в стороннем поле, или запас возможного хода (движения) единого заряда Африки и Южной Америки.

Смысл названия в следующем: если отсутствует расхождение между расчётными координатами проекции вершины горы Меру на поверхность Земли и координатами реального расположения Ра, отсутствует электродвижущая сила стороннего поля, наступает равенство сил действия и противодействия, и поэтому произойдёт оледенение планеты. Почему?

В настоящее время движущие силы стороннего поля достаточны для производства внутреннего тепла в подвижной земной коре. Движение континентов и подвижной земной коры (электрических зарядов в массах смещения) создают генерацию в гравитационных твёрдых атомах и молекулах и в индуцированных твёрдых кристаллах.

Наибольший эквивалент генерирования тепла разнополярными скоплениями частиц в стороннем электрическом поле Земли происходит на глубине между подвижными и неподвижными (теплоизол) массами в земной коре и под континентами в местах сложного вулканического движения масс.

В местах сложного вулканического движения пластические подвижные массы перемещаются навстречу друг другу (сжатие) или одновременно в разных направлениях: горизонтальном, вертикальном, поперечном, и с переменными скоростями.

В местах сложного движения действующих вулканов разогрев масс через генерацию в зарядовых твёрдых атомах и молекулах в структурных соединениях веществ значительно превосходит разогрев пластических масс в местах простого, горизонтального движения, без встречного сжатия.

При горизонтальном (в сферах) простом движении зарядовые твёрдые атомы и молекулы в подвижных пластах смещения не пересекают индуцированные волны сжатия и разряджения гравитационного поля Земли.

Пока есть запас хода (способность перемещать) в существующем стороннем поле, полного оледенения планеты не произойдёт. Замедление движения, малый запас движения (хода) материков

приводят к постепенному понижению температуры и оледенению аномалийных районов.

Реальный потенциальный запас движения (хода) определите самостоятельно на карте (рис. 58) индукции электромагнитного поля Земли. Проведите три измерения расстояний, два измерения от острова Суматра, через Африканский континент до проекции скопления Ра у города Рио-де-Жанейро и второе измерение между этими точками через Тихий океан. Третье измерение на карте между реальным географическим скоплением у города Рио-де-Жанейро и расчётным географическим местом в Тихом океане, показывает направление движения общего зарядового центра (см. карту, рис. 58) и потенциальный запас хода материков возможного перемещения масс.

Смещение центра выхода Балубу, стороннего поля (идеальное расположение на экваторе) к побережью Азии, объясняется неравенством масс в полушариях Земли, неравенством сил гравитационного притяжения к массам в полушариях.

Смещение центра выхода Балубу к северу формирует под полуостровом Индостан и Индокитаем процессы образования гор Азиатского континента, высочайших пиков вершин на Памире и в Гималаях.

Почему происходило и происходит интенсивное горообразование в северном направлении от Балубу на азиатском континенте? Причина в относительной неподвижности единого общего заряда материков, расположенных в северном полушарии.

Сравним. Движущие силы Балубу действуют и на подвижные массы земной коры в южном полушарии, но Австралия и Антарктида не могут создать замкнутого пространства с единым, относительно неподвижным зарядом в кольце и потому смещаются вместе с подвижной земной корой, позволяют пластичным массам относительно свободно двигаться.

В северном полушарии материка образовали кольцо и через собственные мировые (материковые), региональные, локальные и другие зарядовые центры индуцируют общий заряд (магнитный полюс).

Подвижные пластичные массы не могут значительно смещать материка в северном полушарии (земная кора под материками неподвижна) и поэтому, будто силами невидимых домкратов, на гра-



ницах материков поднимаются подвижные массы в горные образования. Через три тысячи лет после прихода на землю Альфы, после очередного апокалипсиса, на Евразийском континенте гор не станет и на их месте вновь образуется океан Тетис, так утверждают знающие истину (описание дано в дополнении).

Горообразованию способствуют силы зарядов в индуцированных магнетонных трубках, выходы зарядов расположены в Альпах, на Кавказе, на Памире, Гималаях и в других местах.

Апокалипсис, произошедший 11,5 тысяч лет назад, изменил и продолжает изменять структуру западного и восточного полушарий.

Заметим важную особенность. В восточном полушарии Земли расположен выход стороннего поля Балу, а в западном полушарии расположена вершина горы Меру и индуцированное скопление Ра.

Масса в подвижной земной коре и материках западного полушария меньше массы подвижной земной коры и материков в восточном полушарии. Неравенство масс в западном и восточном полушариях определяет смещение магнитных полюсов Земли в направлении Тихого океана и сжатие земной коры под дном океана.

Большая часть подвижной земной коры в восточном полушарии растягивается, а в западном полушарии большая часть земной коры сжимается, поэтому пластичные подвижные массы земной коры под дном Тихого океана вынуждены перемещаться вертикально в горные и вулканические образования!

Подобный процесс перемещения подвижных масс земной коры в горные и вулканические образования существует и в восточном полушарии, в местах сжатия. Например, своды крыши мира опираются только на северную часть Африканского континента и Северо-восточную часть Аравийского полуострова, образуют совместно с крылом стороннего поля в северном полушарии сжатие подвижных пластичных масс.

Своды, силовые линии горы Меру действуют на поверхность земли (вод, воздушные массы в атмосфере) и на зарядовые гравитационные центры материков неравномерно.

Сравним значение изолиний. Под скоплением Ра всего 24, а на границах нейтральной зоны, где силовые линии сводов горы Меру

опираются на поверхность земную, – больше 40 (значения даны в микротеслах).

Чем больше взаимное притяжение между зарядами в скоплении Ра и общим зарядом в центре масс Африканского и Южноамериканского континентов (см. карту), расположенного в Атлантическом океане у города Рио-де-Жанейро, тем больше своды (стропила крыши мира) в местах пересечения с земной поверхностью оказывают силовое влияние на движение континентов.

Силовое притяжение к Ра уменьшается с удалением Южноамериканского континента в западном направлении. Почему?

Увеличение расстояния между зарядами в центрах масс Африканского и Южноамериканского континентов уменьшает силу индуцированного гравитационного общего заряда масс, в Атлантическом океане у города Рио-де-Жанейро, соответственно, уменьшаются силы взаимного притяжения к скоплению Ра и давление сводов на поверхность земли.

Евразийский континент – это естественное препятствие течениям пластичных масс земной коры под материками, и поэтому образуется вынужденное вертикальное движение масс в горные и вулканические образования в южной Европе (Пиренейские горы, Альпы, Карпаты, Судеты и Рудные горы, действующие вулканы Везувий и Этна), на Кавказе, Армянском нагорье и в других местах.

Силовое давление силовых линий в сводах крыши мира (подобие стропил на крыше дома) только на северную и северо-восточную части Африканского континента способствовало отделению Аравии, Малой Азии, Балкан, островов Греческого архипелага и острова Крит, их движению к Евро-азиатскому континенту.

На карте индукции магнитного поля Земли малые расстояния между изолиниями и, соответственно, максимальные силы противодействия стороннего поля находятся на границе между нейтральной зоной горы Меру и северным крылом стороннего поля, а это северная и северо-восточная часть Африки.

Аравийский полуостров продолжает находиться в активной зоне электродвижущих сил стороннего поля Земли, пространство линий разлома по Аденскому заливу и Красному морю увеличивает

ся, а куда смещается масса полуострова и горячие пластичные массы земной коры?

В горообразование на Кавказе и под Армянское нагорье, движение Аравийского полуострова подобно совку, острие совка поднимает и одновременно образует вертикальное движение пластичных масс в горообразованиях.

Силовое противодействие движению в северо-восточном направлении и противодействие распространению пластичных горячих масс в земной коре способствуют вертикальному движению подвижных масс на самом Аравийском полуострове. Вертикальные силы, будто гидравлические домкраты, поднимают участки земли, образуют гряды гор на Аравийском полуострове.

Подобное горообразование, смещение избыточных подвижных масс земной коры под континентами и океаническим дном существует и в других местах сжатия масс, обнажается вертикальная структура земной коры.

В местах сжатия подвижных пластичных масс образуются жидкие углеводородные соединения, смещение пластичных масс под Аравийским полуостровом способствует накоплению нефти и газов в свободных пространствах, убежищах. В зарядовых центрах нет свободных пространств, убежищ для жидких масс (воды, нефти), только между центрами сжатия и на периферии систем существуют свободные пространства.

Неравенство масс в западном и восточном полушариях образовалось при формировании планеты Земля в начальный, эпохальный период жизни молодой планеты. На месте современного Тихого океана в западном полушарии находился первый выход стороннего поля Земли и назывался Альфа (первый).

В начальный период формирования планеты первый выход стороннего поля на поверхность находился в месте, в последующем названном западным полушарием, а вершина горы Меру и скопление Ра образовались с противоположной стороны Земли и названы восточным полушарием.

Сжатие, образованное дрейфом Американского континента, Антарктиды и Австралии к центру Тихого океана, деформация масс в западном и восточном полушарии определяют повышенную вул-

каническую и сейсмическую активность в пространстве западного полушария от вершины горы Меру до выхода на поверхность земли Баллу.

Силы давления на океаническое дно, материи на границах Тихого океана максимальные на планете. Дефект массы в западном полушарии способствует разогреву подвижных масс под дном Тихого океана и активному смещению материков Американского континента, Антарктиды и Австралии в глубоководное полушарие.

Силы стороннего поля в северном крыле стороннего поля на глубинах между теплоизоляцией и подвижной земной корой, смещают горячие пластичные массы под полуостровами Индостан и Индокитай в горные образования Азии.

Благоприятным местом для выхода на поверхность пластичных масс в горные образования являются места бывшего расположения океана Тетис. Дрейф Индостана и Индокитая к Азиатскому континенту закрыл место расположения океана Тетис, но стыки континентальных плит (между зарядами) стали благоприятным местом выхода масс в горные образования.

Индостан – это не бульдозер и не оказывает значительного давления на Азию, под полуостровом пластичные массы текут в горные образования.

Балу и скопление индуцированных частиц Ра создают могучие силы вертикального подъема масс, а своды горы Меру в силовых линиях, на границах с индуцированными крыльями в полушариях, вертикальное давление на массы.

На карте индукции магнитного поля Земли влияние нейтрального пространства горы Меру на поверхность планеты распределено неравномерно. Линии изодинам на границах нейтрального пространства с пространствами в полушариях показывают максимальные силы противодействия в стороннем электрическом поле Земли. В местах, где своды (подобие стропил на крыше дома) силовых линий крыши мира опираются на землю (см. карту), это районы повышенной сейсмичности, горообразования и вулканической деятельности.

Индукцированный заряд шарового скопления Ра на вершине горы Меру силами взаимного притяжения стремится сблизить-

ся с общим зарядом Африки и Южной Америки у города Рио-де-Жанейро, но этому препятствуют опоры сводов (стропила), силовые линии крыши мира.

Силовые линии сводов крыши мира уходят глубоко под поверхность земли (на глубину подвижной земной коры) и создают электродвижущие силы в земной коре, через заряды в континентах и на пластичные горные породы под материками.

Чем больше сила притяжения между скоплением  $P_a$  на вершине горы Меру и общим зарядом материков под вершиной горы, тем больше происходит давление сводов (силовых линий нейтрального пространства) на земную кору.

Общий заряд материков (Африка и Южная Америка), расположенных в нейтральной зоне Земли в Атлантическом океане – это одновременно проекция (влияние силами притяжения) шарового скопления на поверхность земли, расположена на шельфе Южно-американского континента у города Рио-де-Жанейро.

Силы притяжения к гравитационному заряду в скоплении  $P_a$  способствуют парообразованию (испарению) на водной поверхности Атлантического океана, поднимают облака на большие высоты, формируют массы в особых циклонах.

При движении циклонов к Северной Америке вертикальные силы, между зарядом  $P_a$  на небесах и зарядами в массах циклона ослабевают и облака начинают опускаться к земле, проседают и уплотняются, образуются вертикальные силы сжатия в циклоне-тайфуне.

Северное полушарие Земли летом расположено к Солнцу, силы гравитационного притяжения между гравитационным зарядом в циклоне и гравитационным зарядом в опорной земной волне сжатия солнечной системы смещают циклон-тайфун к Северной Америке.

Вертикальное движение насыщенных влагой дождевых облаков к земле – это вертикальное движение электрических зарядов в структуре циклона к земле, образующее вихревое противодействие в массах вертикальному сжатию.

На границе нейтрального пространства с крылом северного полушария в зоне максимального сжатия (влияния) сводов крыши мира в Карибском море и Мексиканском заливе циклоны разрушаются.

Совместно с лунным притяжением и притяжением к ближайшей земной волне сжатия зарядовых твердей Солнца заряды выхода стороннего поля Балу и заряды индуцированной горы Меру (скопления  $P_a$ ) создают общую систему перемещения масс в материках на планете, смещение пластичных масс в подвижной земной коре, изменяющих рельеф материков и океаническое дно планеты.

Силы выхода стороннего поля Балу поднимают пластичные массы в земной коре под океанами и материками вертикально, а давление сводов, силовых линий крыши мира, создают течения пластичных масс в пространство, где меньше существует противодействие вертикальному движению масс.

Пластичные горячие массы, расположенные под дном Тихого океана, вертикальными силами заряда  $P_a$ , через своды горы Меру и силами в крыльях стороннего поля в полушариях смещаются по экватору в южном и северном направлении.

В южном полушарии пластичные массы смещают земную кору вместе с материками Австралией и Антарктидой и не встречают существенного сопротивления движению, поэтому в южном крыле стороннего поля процессы вертикального смещения масс происходят с меньшей активностью.

В северном полушарии Евро-азиатский, Северо-американский континенты и остров Гренландия образовали кольцевую систему с единым зарядовым центром масс (магнитный полюс) и не позволяют собственному смещению, противодействуют силам стороннего поля Земли.

Текущие пластические массы проходят под полуостровом Индостан и Индокитай (направление векторных сил северного крыла стороннего поля) и совместными силами стороннего поля и силами в полных магнетонных зарядах дискатора поднимают массы в горные образования.

Выходы (шесть) полных магнетонных зарядов (аномалий) располагаются на параллели субтропиков, с каждой стороны в полушариях. Почему земная кора становится горячей и почему образуются вулканы?

Выход стороннего поля Земли Балу и гора Меру создают и управляют движением океанических и морских вод в горизонтах

глубин (сферах), а также воздушными течениями в зарядовых системах циклонов и антициклонов.

Суточные циклы – вращение Земли, годовые циклы – смена времён года, гравитационное влияние Луны, Солнца и планет вносят периодические изменения в направления движения, но не изменяют свойств стороннего поля.

Сателитные континенты, континенты, не входящие в зоны действия сил стороннего поля в полушариях, Африка и Южная Америка находятся в экваториальной, нейтральной зоне Земли.

Единственный континент, который не двигался за все исторические времена на существенное расстояние, – это современная Африка. Объясняется просто, здесь находился центр масс Пангеи и над озером Виктория, гора Калиманджаро, находилась гора Меру.

Возвращение на Землю Альфы (Илу) в Тихом океане и образование горы Меру (гора Калиманджаро) создадут силы обратного движения отколовшихся ранее частей Африки.

В экваториальной зоне нейтрализации Африка выполняет роль буфера между выходом стороннего поля (центр остров Суматра), с одной стороны, и вершиной горы Меру (проекция горы, центр у города Рио-де-Жанейро), с другой стороны.

Минимальные расстояния между изолиниями на карте индукции магнитного поля Земли показывают максимальное сжатие на поверхности земли и под землёй.

По изолиниям на карте можно определить места максимального сжатия между границами материков и между разломами, векторное направление электродвижущих сил стороннего поля и движущих сил между материками.

Минимальные расстояния между изолиниями в северной Африке, на юге Европы, Аравийском полуострове, Малой Азии и Кавказе – показывают максимальные силы сжатия между частями земной коры и силами стороннего поля Земли.

Во время апокалипсисов смена выхода спина Земли происходит через мировые аномалии в полушариях и общие зарядовые центры на магнитных полюсах.

Для жителей, живших в северном полушарии, разрушение и гибель приходили с севера, и новый царь возвращался на небо через

север, и поэтому путь стороннего электрического поля в северном крыле, через мировые аномалии, их разрушение и новое образование мировых зарядов называли небесными богами, Асами.

При переводе источников истины люди читали слева направо, а написано было справа налево, и потому вкоренилось (прижилось) название Русса, что читается наоборот – как Ассур. По этой причине направление из Месопотамии, земли Ханаан, Египта, – на север (Ур), там где находились небесные боги Асы, Ассур стали называть наоборот Русса, затем Руссия и Россия.

Подобным образом получил название Африканский континент. Город Карфа (позднее название Карфаген) дал название континенту, читали слово Карфа с противоположной стороны в письменном историческом упоминании города (места) на противоположном берегу моря, и прижилось среди народов на Европейском берегу, островах Средиземного моря название Афрак (Африка).

В северном полушарии смерть приходила со стороны Северного Ледовитого океана, по причине распада скопления Ра и горы Меру, втягиванием старого электрического поля Земли в дискатор и одновременным выходом нового поля в другом месте и индуцированием новой горы Меру и нового царя Ра. Соответственно, опасность от огня в огненных колесницах (вихрях распада электрических зарядов в атмосфере) в южном полушарии приходила со стороны Антарктиды.

Стороннее электрическое поле и магнитное поле Земли опасно деформированы, магнитные полюса смещены в западное полушарие неравномерным размещением материков на планете. Индуцированное скопление Ра на вершине горы Меру смещено в сторону Антарктиды. Нейтральная плоскость или условная плоскость, где свершаются общие процессы нейтрализации масс в двух полушариях, включая зарядовые тверди, должна располагаться в плоскости экватора, реально искривлена и также смещена в южное полушарие.

Деформация стороннего поля смещением материков на Земле, движение материков в западное полушарие на линию действия сил Альфы (Илу) в Тихом океане приближают начало процесса очередного апокалипсиса.



Полный парад планет в момент новолуния на ближайшем к Солнцу расстоянии может раскрыть цепь стороннего поля Земли, предсказания Майя в Дрезденском Кодексе могут свершиться в новолуние 2012 года!!! Вероятность апокалипсиса существует.

Земля будет находиться между Солнцем, Меркурием, Венерой и Луной – с одной стороны, большими планетами и Марсом на одной линии – с другой стороны. Деформация гравитационного поля и стороннего поля Земли линейным расположением практически всей массы солнечной системы достигает пределов самосохранения стороннего поля.

Индукцированное стороннее электрическое поле Земли замкнуто в скоплении Ра на горе Меру. Следовательно, для начала процесса апокалипсиса необходимо разомкнуть (деформировать смещением Ра) электрическую цепь существующего стороннего поля и одновременно создать силы притяжения к электрическим разделённым зарядам спиновой трубки дискатора над новым местом выхода.

Раскрытие электрической цепи стороннего поля Земли приведёт к началу разрушения скопления Ра над Южной Америкой и одновременному индуцированию нового скопления Ра примерно над озером Виктория, в верховьях Голубого и Белого Нила.

Если скопление Ра будет находиться над восточным побережьем Африканского континента на экваторе, соответственно, и центр масс материков нейтральной зоны будет смещён относительно существующего в настоящее время центра масс материков нейтральной зоны у города Рио-де-Жанейро.

Образование нового места центра масс в материках нейтральной зоны возможно при условии изменения количества масс в континентах (островах, архипелагах и в шельфах).

В массу континентов нейтральной зоны существующего стороннего электрического поля входят массы Африканского и Южноамериканского континентов, и поэтому общий индуцированный гравитационный заряд находится между материками.

Новый выход стороннего поля Альфа (Илу) в Тихом океане освобождает из плена Балу новые массы нейтральной зоны Земли в архипелагах Океании, большую часть массы в континенте Австралии и южные части Евразийского континента.

Изменение количества массы в континентах нейтральной зоны и пространственное взаимное расположение в экваториальной части Земли определяет координаты нового индуцированного центра масс на восточном побережье Африки.

Следовательно, начало возможного процесса апокалипсиса определяет состояние Балу, влияние внешних сил на структуру выхода стороннего поля. Через Балу пульсирующее стороннее электрическое поле, по причине движения материков (основная причина), изменяет потенциалы концевых зарядов разделённой спиновой трубки и через структуру дискатора и магнетонные трубки индуцирует магнитное поле Земли.

Во время парада планет деформации в гравитационных твердых Землях и в структуре стороннего поля достигают критических значений, возникают максимальные приливные смещения водных масс в полушариях.

В зарядовых твердых Солнца также происходят изменения, способствующие полному раскрытию цепи стороннего поля на вершине горы Меру. Опорные гравитационные волны сжатия солнечной системы по линии парада планет деформированы. Силы гравитационного притяжения между планетами и Солнцем смещают гравитационные волны (волны Боды) к Солнцу, силы противодействия сжатию в волнах разрядки увеличиваются.

Возрастает плотность частиц субстанции в пространстве гравитационного поля между планетами (наименьшие расстояния между планетами). Между планетами образуются индуцированные гравитационные центры, например, между Землёй и Венерой (значительно ближе к Земле) будет индуцирован гравитационный центр масс, потенциально способный влиять на процессы смены выхода стороннего поля энергией собственного разрушения.

А где будет находиться скопление Ра (Солнца) на вершине горы Меру стороннего поля Солнца? Находится вершина в Астероидном поясе солнечной системы, и по этой причине там нет планеты (по закономерности Боды должна быть планета, а есть астероидный пояс). Планету в астероидном поясе солнечной системы замещает и управляет движением масс в кольцах подвижное скопление Ра, радиально вращается на вершине горы Меру (Солнца) вместе с элек-

трическим полем Солнца. Индуцированное скопление Ра солнечной системы также будет выходить на линию парада планет, между планетами Юпитер и Марс.

Выход планет и всей массы солнечной системы на одну линию (парад планет) будет сопровождаться предупредительными для людей и всего живого на Земле разрушительными чудовищными землетрясениями, наводнениями, ураганами, высокой температурой в атмосфере и другими бедами.

Современная индуцированная система стороннего поля уязвима, не обладает достаточными силами самосохранения в экстремальных условиях. Смещение материков создаёт структурные деформации в существующем электрическом стороннем поле, не позволяет стабильно удерживать власть небесную от выхода Балу, и потому возможна смена власти, апокалипсис на Земле во время парада планет или в других подобных условиях. Важно знать реальность происходящего эпохального события и способы спасения жизней, апокалипсис неизбежен, и он необходим для продолжения жизни на Земле, время прихода апокалипсиса можно прогнозировать, человечество способно подготовиться к процессу смены спина.

Выход Альфы (Илу) в Тихом океане, стороннее электрическое поле и скопление Ра на вершине горы Меру в восточной Африке на экваторе создают единую систему сил, возвращающих материки в первичное подобие Пангеи.

Векторные силы северного крыла стороннего поля, индуцированного выходом Альфы в Тихом океане, направлены между Евроазиатским континентом и Североамериканским континентом, будут разрушать кольцевое скопление континентов в северном полушарии. Северная Америка, острова Канадского архипелага, Гренландия будут дрейфовать к Европейскому и Африканскому континентам. Векторные силы южного крыла стороннего электрического поля будут смещать Антарктиду, Австралию и Южную Америку к Африканскому континенту.

Под влиянием скопления Ра и горы Меру полуострова Индокитай и Индостан начнут дрейфовать в обратном направлении, в Индийский океан, а Евроазиатский континент начнёт смещаться к

экватору, произойдут изменения в акваториях Средиземного моря, Чёрного моря, Каспийского озера и Аральского озера.

Электрический разделённый заряд нечётной спиновой трубки дискатора нельзя скрыть в массе Земли, и по этой причине старое стороннее поле распадается и одновременно рождается новое стороннее поле от нового направления выхода.

В русских былинах три богатыря олицетворяют три выхода стороннего электрического поля на Землю. Илья Муромец – это выход Альфы, первого сына дискатора Земли, Илья – это Илу (название выхода), а Муром (Мура) – означает территорию Му на дне Тихого океана и далее Ур(гибель) и Ом (крик нового рождения).

Три великие пирамиды на плато Гиза построены как символы бессмертия трёх приносимых в жертву и вновь воскресающих богов Ра (Ха Ра Он, ФаРаОн) для спасения жизни людей на Земле.

Они, знавшие истину (кто они?), оставили в камне совершенные сведения. Они знали, что придёт время и разум на Земле станет способным к высшему пониманию истины, и это время наступило.

Почему пирамиды, разные по массе и размерам, расположены с некоторым смещением от прямой линии? Что означает голова человека на теле льва, и почему сфинкс готовится к прыжку на восток?

Голова человека на теле льва – это сын Всевышнего, бог Ра. Подобно льву (ягуару, тигру), новый царь небесной Горы (Хара), Ра он (Хараон, Фараон) совершает прыжок и жертвоприношение для продолжения жизни. У сфинкса тело льва (структура стороннего электрического поля) смертно, а голова человека на теле сфинкса бессмертна. Частицы субстанции в шаровом скоплении Ра бессмертны, это начало материи, а всё созданное из частиц субстанции периодически разрушается и потому смертно.

Почему выбран для сфинкса Лев? Создатели пирамид и сфинкса видели в поведении львов подсказку нам, своим потомкам. Они знали о приближении очередного апокалипсиса и нашли способ передачи знаний нам, своим потомкам.

Они знали, что после апокалипсиса наступит время забвения, пройдёт немало времени, и разум людей станет способным к пониманию истины, и это время наступило.

Наши предки знали истину и поведение львов, и мы знаем: молодой, набравший силу царь зверей лев приходит в тейп, изгоняет старого льва, царя в тейпе, и убивает потомство старого льва, приносит в жертву.

От молодого льва в львином тейпе рождается новое молодое потомство. Что происходит при апокалипсисе Земли, наши предки знали – приходит на землю молодой царь Ра, изгоняет старого Ра, убивает множество его детей. Приносится в жертву множество живших под старым Ра людей, животных, растений, и затем вновь возрождает жизнь по собственному подобию.

Подробный перевод смыслового описания материального физического мира в источниках истины – мифологиях, предлагается читателю в дополнении.

Первый сын Илу (Альфа), выход стороннего поля находился на месте Тихого океана, один из трёх царей света был распят на горе Меру (над горой Калиманджаро) и не первый раз, низвергнут к отцу в дискатор предположительно 11,5 тысяч лет назад его братом Балу.

Последствия процесса апокалипсиса и губительные следы разрушения на земной поверхности и под водами океанов (морей) остались по всему пути распада прежнего Ра и воцарения нового Ра (смотри карту индукции магнитного поля Земли).

В результате последнего апокалипсиса обширные островные территории архипелага Му (Мура) на месте современного Тихого океана без силовой вертикальной поддержки выхода стороннего поля и в результате подтаивания Абзу опустились на дно.

Третий выход стороннего поля дискатора планеты называли Атлант (Атланты) (в мифологиях называется и другими именами), выход стороннего поля Атланта находился на западном берегу Африки у экватора (рис. 56), по продолжительности нахождения на Земле уступает Альфы (Илу) и Балу и потому показан меньшей пирамидой на плато Гиза.

Оставлены следы пребывания третьего царя на Земле в исторический период пребывания на суше в очертаниях западного побережья Африки и противоположного Южноамериканского побережья.

В процессе смены спина Атлант третье направление выхода стороннего поля на поверхность земли временно проявляется по

причине единства электрических цепей всех трёх выходов в общей системе звезды дискатора.

Парадокс: апокалипсисы на планете Земля страшны губительными последствиями и одновременно спасают биологическую жизнь от полной гибели, апокалипсисы необходимы для продолжения жизни на Земле. А вот по какой причине?

Звёзды, планеты и спутники планет (планетоподобные по определению Кеплера) обладают жёсткой внутренней скелетной структурой в форме ледяного шара Абзу из пресной воды (Эпос о Гильгамеше, о всё видевшем).

Костную, жёсткую основу планеты Земля образует Абзу (Абсу), пресная вода в виде шара льда.

Там кроме живительной влаги Абзу, ставшей первопричиной жизни, находились могущественные силы Ме (коллапсар-дискатор, откуда название Ме на горе Ра, Мера, Меру) – сущности всех вещей, составивших в своей совокупности всю Вселенную (Эпос о Гильгамеше).

В центре океана пресных вод Абзу, ледяного шара, расположен индуцированный общей зарядовой массой Земли коллапсар-дискатор. Дискатор расположен в шарообразном свободном пространстве в центре ледяного шара, силовой электрический подвес позволяет некоторое относительное смещение (колебания).

Поверхность ледяного шара покрыта холодной, неподвижной (теплоизоляция) и подвижной тёплой земной корой, сушей в частях разрушенной Пангеи, солёными водами в океанах и морях, газами в атмосфере.

Образование планеты Земля происходило в единой системе закономерного рождения Солнечной системы из скоплений элементарных частиц субстанции в элементарных нейтрино, элементарных коллапсарах, атомах, молекулах, коллективах атомов и молекул в веществах и телах.

Общее смысловое описание образования планет, звёзд и звёздных систем возможно на примере формирования планеты Юпитер, его спутников и колец.

Почему на примере планеты Юпитер? Юпитерианская система – полное подобие солнечной системы, существует реальная возможность наблюдения за внешними процессами на планете, спутниками,

кольцами в твердых с помощью приборов, и существует перспектива глубокого изучения непосредственно человеком.

Для понимания сути физических процессов при формировании звёзд, планет, спутников планет – необходимо найти ответы на следующие, возникающие в процессе смыслового описания истины вопросы:

- как возникла необходимая масса для образования звезды – Солнца, планет и спутников в определённом месте Галактики и в определённое историческое время?

- какие силы распределяют и определяют количество строительного материала по определённым местам и в определённое историческое время в Галактике и рукавах Галактики для образования звёзд и звёздных систем?

- по каким физическим законам формируется масса звезды, и почему она не поглощает всю массу в собственной звёздной системе в период зарождения и в настоящее время?

- по каким физическим законам происходит распределение масс в период зарождения планет, на определённом расстоянии от звезды, и какие силы определяют плоскость орбиты, направление орбитального движения, направление и скорость вращения вокруг собственной оси?

- какие периодические факторы определяют смену направления выхода спина – апокалипсисы, на Земле и других планетах. Существует или нет реальная угроза апокалипсиса звёзд и конкретно Солнца.

Масса индуцированного коллапсара-дискатора Солнца (планет) постоянна и не может изменяться, коллапс ограничивает дальнейший рост массы, происходившей в потенциальном подобии коллапсара до начала процесса сжатия.

Только в подобиях коллапсаров, в гравитационных центрах сжатия возможен рост массы будущего коллапсара. Процесс коллапсирования стабилизирует массу, изменение массы в дискаторах не допускают замкнутые электрические цепи коллапсарных сил сжатия и противодействия сжатию.

Индукцированные закрытые коллапсары звёзд (планет) находятся в центрах гравитационных масс, индуцированы внешними (оку-

жающими) гравитационными массами. Индуцированные закрытые коллапсары созданы внешними силами гравитационного сжатия и существуют, пока их индуцируют окружающие массы.

При формировании звёзд, планет из строительной массы веществ в центре облака (скоплении) критическими силами гравитационного сжатия происходит процесс коллапсирования элементарных коллапсаров (коллапс коллапсаров) нейтронов в общем индуцированном зарядовом центре-дискаторе.

В зарядовом центре (центре масс облака) силы гравитационного сжатия достигают состояния критической плотности, происходит нейтрализация ядер атомов, превращение протонов в нейтроны. Скопления нейтронов в бывших ядрах атомов становятся строительным материалом для образования подобия коллапсара в центре гравитационного сжатия.

В состоянии критической плотности нейтроны в зарядовом центре образуют структуру подобия коллапсара, дальнейшее сжатие нуклонов гравитационными внешними силами невозможно, наступает критическое состояние. В критическом состоянии между трубками нейтронов начинают проявляться магнетонные, коллапсарные силы сжатия.

Почему гравитационные силы не обладают коллапсарными силами? В структуре гравитационных твердей силы сжатия спиральные (диагональные), а силы противодействия сжатию прямые.

Спиральные силы гравитационного сжатия в твердых слабее прямых сил сжатия в коллапсаре, и потому наступает момент кризиса массы в зарядовом центре сжатия. Дальнейшее сжатие возможно только внутренними, коллапсарными силами, зарядовый центр переходит в состояние самостоятельного коллапсарного сжатия нейтронов в прямых трубках и магнетонными, коллапсарными, силами сжатия между трубками.

Масса элементарных коллапсаров нейтронов в индуцированном общем гравитационном зарядовом центре пропорциональна массе всего облака, из которого формируется звезда (планета).

Слабое гравитационное сжатие в индуцированном центре, недостаточная плотность атомов запрещает процесс коллапсирования в центрах, они не способны создать магнетонные силы и



структуру коллапсарных сил сжатия. Например, массы в спутниках Марса, Фобос и Деймос не создают критическую плотность в гравитационных центрах (центрах масс) и потому не обладают коллапсарами.

Критическая плотность массы в гравитационном центре облака определяет главное условие для начала образования структуры индуцированного закрытого коллапсара в звёздах (планетах, спутниках). Когда расстояния между ядрами атомов становятся близкими расстояниям между нуклонами в самих ядрах, возникают коллапсарные силы и между ядрами атомов.

Нуклоны (нейтроны) структурными коллапсарными силами распределяются в гравитационные трубки и гравитанты дискатора. Критические расстояния (ядерные расстояния) между нейтронами в зарядовых трубках дискатора и в гравитантах проявляют коллапсарные силы сжатия в магнетонных трубках.

Процесс перехода критической массы гравитационного центра за точку коллапса и сам коллапс (образование структуры сжатия) сопровождается выделением (производством) энергии (генерацией разнополярных частиц субстанции).

Высокая температура (свойство генерирующих частиц) в облаке создаёт силовое изменение (увеличение) расстояний между сферами зарядовых твердей, происходит хаотическое увеличение объёма и температуры в облаке.

Состояние хаоса, когда зарядового гравитационного центра сжатия уже нет, а коллапсара ещё нет, процесс его образования создаёт условия антигравитации, расширение масс на периферии облака. Подобный процесс временного роста сил антигравитации происходит при смене спина Земли, апокалипсисе.

Температура коллапсара после окончания процесса структурного образования приближается к точке абсолютного холода по причине чудовищных сил сжатия между разнополярными частицами, препятствующими колебательным движениям и генерации между частицами.

За сферической волной разряжения, свободным пространством вокруг дискатора в ближайших и последующих волнах сжатия скопления частиц субстанции образуется лед. Молекулы воды в

состоянии льда частично замещают скопления частиц субстанции в сферах волн сжатия.

Пресная вода в состоянии льда выдавливает растворённые химические соединения на поверхность Земли, в структуру земной коры и в рассолы (растворы солей) на поверхности земной коры в первичном океане солёных вод. Тяжёлые и средние атомы обладают приоритетом образования скоплений вокруг образованных индуцированных гравитационных центров у поверхности земной коры, под водой океана, почему?

В общей массе горячих движущихся расплавленных масс земной коры и в течениях солёных вод тяжёлые и средние атомы образуют собственные гравитационные индуцированные центры сжатия. Приоритет (преобладание) гравитационных сил взаимного притяжения между тяжёлыми и средними атомами формирует скопления в аномалийных районах, известные места залежей полезных ископаемых.

Силами стороннего поля возникли течения солёных вод на поверхности земной коры и произошли деформации в структуре земной коры. В месте первого выхода стороннего поля, Альфы, земная кора поднялась (вспучивание) над водами мелководного океана.

Под горой Меру, силами взаимного притяжения к гравитационному скоплению Ра и между собой, оседали химические элементы тяжёлых и средних атомов в аномалиях из текущих солёных вод и формировали отложения масс суши в двух частях будущей Пангеи, рождались первые два сына Адама и Евы.

Адам – это Ра на Пангее (смертный) и мужское начало стороннего электрического поля – фаллос Земли, а Ева – это женское начало (кольцо), рождающая двух сыновей, две части земного Рая (Ра) в Пангее.

Авель расположен к югу от океана Тетис, а Каин расположен к северу от океана Тетис, наклон оси вращения Земли и силы притяжения к опорной волне сжатия смещают массу Пангеи в северное полушарие.

Смещение масс в северное полушарие под воздействием наклона оси вращения Земли и начало образования кольцевого скопления в северном полушарии разрушают южное скопление, убивают

тело Авеля. Часть масс от южной массы Пангеи дрейфует в северное полушарие к Каину. (Подробный перевод физических событий Бытия, описанных в Библии, даётся в дополнении)

Пангея формировалась по образу и подобию горы Меру и скопления Ра. Гора Меру и скопление Ра на её вершине образованы силами стороннего поля из бессмертных частиц субстанции. Скопления атомов и молекул в двух частях первичной Пангеи образовано течениями солёных вод (рассолов) силами стороннего поля. В отличие от бессмертного скопления частиц субстанции на горе Меру и в скоплении Ра (небесный Рай), скопление в земном Рае (Пангее) смертно, почему?

Пангея, это человек состоит из атомов и молекул, а они смертны, и Пангея может делиться на отдельные части, разрушаться! Ра и Пангея – это Богочеловек, а мы, люди, называем себя человечеством, дети Богочеловека.

У Богочеловека смертное тело Пангея и бессмертная душа Ра, у детей Богочеловека – людей, смертное тело и бессмертна Ра, его душа.

Смертное тело людей создано длительным процессом синтеза биологического подобия элементарным ячейкам трёх изотопов свинца и Висмута (праха земного). Распад (прах) семейств тория, актиноурана, урана и четвёртого семейства, нептуния, образовали конечный нерадиоактивный продукт распада, прах земной в трёх изотопах свинца и в висмуте.

Избавление от избыточной, не пропорциональной коллапсару массы, начинается с момента его образования. Коллапсарные силы закрывают массу субстанции в дискаторе – не откроешь, а откроешь – не закроешь!

Существует закон пропорциональности масс в индуцированном дискаторе и в окружающем пространстве системы. До начала коллапсирования масса в гравитационном центре росла с увеличением плотности облака, коллапс останавливает дальнейший рост, масса в дискаторе стабильна и не может изменяться без разрушения коллапсарной системы.

В процессе коллапсирования часть массы гравитационного зарядового центра в нейтронах не попадает в структуру сжатия дис-

катора, и поэтому масса коллапсара всегда меньше расчётного соотношения масс по закону пропорциональности.

Рождённый коллапсар звезды (планеты, спутника) – стабилизирует оптимальную массу во внутренней системе и распределяет избыточную массу за пределами по опорным волнам сжатия в сферических гравитационных твердях. Волны сжатия в гравитационных твердях обладают наибольшими силами притяжения в пространстве, и поэтому гравитационные массы связаны силовым взаимодействием (опираются) непосредственно с ближайшей гравитационной волной сжатия, называемые опорными волнами Боде.

Рождённый коллапсар в центре облака сжатия остановил рост массы Солнца, а избыточные массы в окружающем облаке сжатия силами противодействия сжатию по закону пропорциональности масс распределены по опорным волнам сжатия, в соответствии с арифметической закономерностью Боде.

Причины системного распределения избыточной массы в сферических волнах сжатия зарядовых твердей универсальны и даны в общей концепции образования ядер атомов и системного распределения неподвижных электронов в индуцированных твердях атомов (в разделе «элементарные коллапсары нуклоны»).

Закономерное распределение избыточных масс, оставшихся в облаке после рождения коллапсара по сферическим волнам сжатия в твердях солнечной системы, включает в себя пространственную (геометрическую) закономерность Боде и математическую систему пропорционального орбитального гравитационного распределения масс в системе равенства центростремительных и центробежных сил.

Стороннее электрическое поле коллапсара-дискатора Солнца индуцирует нейтральное скопление частиц субстанции в шаровом скоплении Ра (Солнца) на вершине индуцированной солнечной горы Меру, между планетами Юпитер и Марс в Астероидном поясе солнечной системы.

Нейтральное скопление Ра (Солнца) запрещает строительство планеты на опорной волне Астероидного пояса, почему? Шаровое скопление Ра (Солнца) индуцировано сторонним электрическим полем и противодействует образованию второго, гравитационного центра, в Астероидном поясе.

Одновременно сила притяжения к скоплению Ра (Солнца) придаёт направление орбитального движения массам в облаках формирования планет, будущим планетам. Скопление Ра (Солнца) всегда синхронно сопровождает вращение Солнца и определяет направление движения планет и плоскость движения планет, направление выхода стороннего поля меняется при смене спина (апокалипсисе Солнца).

Направление вращения планет и направление осей вращения, плоскости движения, природа центростремительного ускорения рассматриваются в других разделах смыслового описания истины.

Рождение индуцированных закрытых коллапсаров-дискаторов в зарядовых центрах облаков сжатия ограничивает дальнейший рост массы самой планеты, избыточная масса распределяется в будущие спутники планет по опорным волнам сжатия Солнечной системы.

Температура коллапсара-дискатора Солнца близка к температуре абсолютного холода, относительно холодную поверхность солнечной коры мы не наблюдаем, а наблюдаем ближайšie к Солнцу активные зарядовые генерирующие сферы.

В ближайших к Солнцу гравитационных сферах созданы условия синтеза, вырабатываются элементарные коллапсары, элементарные нейтрино, электроны, нуклоны и атомы из мигрирующих скоплений субстанции через гравитационные тверди солнечной системы.

Миграция разнополярных частиц субстанции в индуцированных скоплениях гравитационных сфер к активной зоне синтеза вызвана гравитационным притяжением к Солнцу и разряжением плотности вещества в генерирующих гравитационных сферах.

Скопления частиц субстанции перерабатываются в активной зоне генерирования гравитационных сфер в элементарные скопления и нейтрино, электроны, нуклоны и ядра атомов и затем выбрасываются за пределы взрывами на Солнце.

Циклы активности и пассивности Солнца связаны со стабильным (без ускорения и замедления процесса) поступлением частиц субстанции в активную зону генерации. Активизация процесса переработки, ускорение процесса синтеза за 11,5-летний пе-

риод приводит к недостатку притока мигрирующих частиц субстанции в скоплениях к активной зоне генерации.

Время цикличности, 11,5 летний период, характеризует способность массы в нашей звезде перерабатывать и освобождаться от наработанного материала и наличие запасов частиц субстанции в окружающем космическом пространстве.

Снижение активности процессов связано с недостатком притока частиц из космоса. Стабильное, ограниченное поступление мигрирующих скоплений частиц спасает наше Солнце от ускоряющей активности, превращения в красную звезду и последующего апокалипсиса.

Гравитационная масса в новых синтезированных коллапсарах из мигрирующих поляризованных скоплений в генерирующих гравитационных сферах Солнца становится избыточной и выбрасывается системой противодействия (действует закон пропорциональности масс) в космическое пространство. Новые синтезированные коллапсары до момента взрывов индуцируют общие временные зарядовые центры – известные как чёрные пятна в активных видимых сферах Солнца.

Процесс переработки космической материи, проявленных частиц субстанции вещества наполняет пространство строительным материалом для новых звёзд и звёздных систем.

Почему Солнце и планеты солнечной системы не увеличили свои массы за исторический период?

Универсальная причина стабильного сохранения постоянной массы для всех звёзд и планет в волновом насыщении системы. Волновое насыщение системы запрещает дальнейший рост массы и отталкивает (избавляется) избыточную массу силами противодействия однополярных зарядов в эффективной сферической волне разряжения на периферии.

Каждая планета имеет собственную систему освобождения от избыточной массы, например, Юпитер и другие большие планеты выстраивают новые системы в спутниках и кольцах.

Собственную систему избавления от избыточной массы имеет планета Земля через периодические апокалипсисы и систематическую миграцию атомов водорода из верхних сфер околоземного воздушного пространства за пределы гравитации планеты.

За эпохальное время, между апокалипсисами, Земля накапливает избыточную массу. Признаки избыточной массы Земли проявляются в активном горообразовании и активном извержении вулканов, в процессе апокалипсиса планета освобождается от избыточной массы.

Единый принцип формирования планет в Солнечной системе универсален и закономерен, нет случайностей, есть закономерная программа распределения масс в гравитационных твердях.

Какое отличие имеют индуцированные коллапсары от элементарных?

Элементарные коллапсары самодостаточны, не требуют внешних сил для сохранения системы сжатия. Для синтеза частиц поляризованной субстанции в элементарных коллапсарах требуются особые условия, подобные генерирующим сферам звёзд.

Синтезирование элементарных коллапсаров также может происходить и в открытых индуцированных гравитационных центрах, образованных Галактиками, скоплениями Галактик в пространствах между ними.

В индуцированных Галактических гравитационных центрах готовых элементарных коллапсаров нет. По этой причине происходит наработка элементарных коллапсаров и атомов из частиц субстанции подобно тому, как это происходит в генерирующих сферах звёзд, а затем происходит коллапс по звёздной программе.

Индуцированные коллапсары, подобные коллапсару Земли, в гравитационных центрах систем сжатия созданы коллективами элементарных коллапсаров в окружающих массах. Индуцированные коллапсары подразделяются на закрытые и открытые.

Закрытые коллапсары невидимы, скрыты в шаровых скоплениях масс и проявляют себя гравитационным полем, сторонним электрическим полем и магнитным полем. Индуцированные закрытые коллапсары существуют, пока их индуцируют окружающие массы, и, наоборот, закрытые коллапсары оберегают и сохраняют от изменения массу в системе. Закрытые индуцированные коллапсары-дискаторы состоят из элементарных коллапсаров.

Открытые индуцированные коллапсары формируются в центре и рукавах Галактик, а также в других крупных формированиях Вселен-

ной. Например, шаровое скопление звёзд в созвездии Плеяды находится в преддверии перехода в состояние открытого коллапсара.

Масса в звёздах шарового скопления Плеяды образует замещённый индуцированный зарядовый центр в рукаве Галактики (один из множества). Звёздное скопление Плеяды однажды начнёт процесс превращения в открытый коллапсар с разрушения и поглощения звёзд в шаровом скоплении. Процесс поглощения звёзд имеет пределы и не может превышать закономерную пропорцию в массах внешнего индуцирования.

После формирования коллапсара из шарового скопления звёзд в созвездии Плеяды образуется избыточная масса в виде астероидов и других фрагментов и будет выброшена в космическое пространство, это основная причина образования астероидов, множества комет и других масс разрушения в космосе.

Реально существует множество структурных открытых коллапсаров в Галактиках, скоплениях Галактик. Открытые индуцированные коллапсары созданы массами звёздных систем в структурах Галактик и управляют силовым движением в единой системе дальнего действия. Скрытая масса существует в открытых и закрытых от наблюдения Галактических коллапсарах и гравитационных центрах (пространствах) сжатия частиц субстанции.

Температура закрытого индуцированного коллапсара Земли, рождённого вместо зарядового центра сжатия, близка к абсолютной точке холода. Инертное сопротивление колебательным процессам (движение частиц) коллапсарными силами и расположение в центре ледяного шара делает систему планеты неприступной крепостью для разрушения.

Бурные процессы генерации, высокая температура на периферии и рост ледяного шара вокруг коллапсара сопровождали начальный период формирования планеты.

Вода в состоянии льда не терпит примесей химических элементов и потому выдавливает на поверхность ледяного шара растворы солей, рассолы. Рассолы содержали химические элементы, наиболее распространённые в современной земной коре. Химический состав атомов земной коры соответствует массе Земли и условиям синтеза за исторический период.



Всё, что создано под горой Меру, части Пангеи и пролив между ними, изначально формировалось под воздействием стороннего электрического поля и непосредственно скоплением Ра.

Силы притяжения, вертикальные к скоплению Ра, подобны лунным притяжениям, но обладают постоянством направления действия сил, скопление на вершине горы Меру связано с вращением Земли.

Вертикальные силы притяжения однажды в истории молодой планеты подняли части Пангеи вместе с базальтами и гранитами, отделили от теплоизола, так выделились из земной коры материки.

Настоящее событие описывается в мифологиях подробно и будет пересказано в дополнительных разделах смыслового описания истины. Наиболее известны рассказы о строительстве Вавилона, Вавилонской башни.

Отрыв (поднятие) суши вместе с тёплыми, подвижными гранитами и базальтами из общей структуры первичной земной коры в направлении самого сына божьего описывается как строительство Вавилона, Вавилонской башни.

Физическая сущность, или причина поднятия суши, – это один из способов освобождения системы от избыточной массы и её смещения в планетарном шаре.

Реальное изменение расположения масс на поверхности, смещение центра тяжести земного шара в направлении Пангеи создаёт условие силового противодействия. Суша, – это не газы и не вода, сохраняется силами притяжения стороннего поля, и поэтому есть два пути нейтрализации деформации в земном шаре.

Первый путь – через увеличение расстояний до массы в Пангее от дискатора Земли (горообразование), и второй путь – разрушить строение. В реальности произошёл подъём (удаление на соответствующее расстояние от дискатора), описано как строительство башни и затем разрушение Вавилона через изменение выхода спина (первый апокалипсис на планете).

Способность равномерного размещения масс относительно дискаторов универсальна для планет (спутников), например, подобным образом происходит распределение избыточных масс на планете Меркурий в необычайно высоких вертикальных образованиях,

таким образом происходит избавление от сил деформации в шаре планеты.

Пространство под поднявшимися материками заполнилось подвижной корой, земная кора под океанами поэтому стала тоньше и приобрела большую подвижность.

Между океаном пресной воды Абзу (так называли знающие истину воду в состоянии льда) и тёплой земной корой существует слой (слои) теплоизоляции, где происходит температурный переход от холода до состояния пластичности оснований подвижной земной коры и материков.

Пластичность подвижной земной коры зависит от тепла. Тепло в подвижной земной коре и в глубинах материков вырабатывают силы движения, исходящие от стороннего поля Земли (главная причина), и гравитационные деформации.

Гравитационные деформации подвижным лунным и солнечным притяжением, вращением Земли не способны создать достаточные условия возникновения и сохранения жизни на земле.

Системное, периодическое изменение направления выхода стороннего поля на поверхность Земли (вечный двигатель) изменяет координатное силовое противодействие и силовое направление движения в частях Пангеи и подвижной земной коре.

Генерация тепла относительным движением зарядовых масс в подвижной земной коре не может быть величиной постоянной.

Замедление движения, а это происходит перед апокалипсисами, вызывает недостаточную генерацию тепла, и потому холод Абзу проникает в подвижную часть земной коры в аномалийных районах. В аномалийных районах (места оледенений на планете), индуцированных зарядовых центрах, температура в недрах земли и на поверхности (среднее значение) ниже по причине зарядового сжатия.

К таким районам относятся Северобайкальский (Якутия) и Североамериканский материковые индуцированные зарядовые центры масс в северном полушарии и Антарктический зарядовый центр масс в южном полушарии.

Движение частей Пангеи и подвижной земной коры создают изменение электрического потенциала в нечётной спиновой трубке коллапсара, пульсирующие электрические изменения потенциала.

Почему изменяют потенциал? Только одно слово в характеристике подвижных масс даёт полный ответ на вопрос, почему изменяется потенциал спиновой трубки коллапсара Земли, и это слово – заряд.

Масса – всегда носитель электричества, независимо от наличия кулоновского заряда. Гравитационный электрический заряд и заряд в стороннем электрическом поле всегда присутствуют в массах.

Движение масс, обладающих гравитационными и сторонними электрическими полями в общем гравитационном и стороннем поле Земли, вызывает электромагнетизм (магнетизм).

Пульсирующие изменения потенциалов разделённых зарядов (спина) вызывает изменение потенциалов поляризаторов магнетонов коллапсара и индуцированных магнетонов в сферах. Изменение потенциалов скоплений поляризаторов в магнетонах образует систему нейтрализации через магнитные силовые линии.

Магнитное поле Земли зависит от гравитационных деформаций в земной коре, скорости движения масс на планете, деятельности современного человечества и от других причин.

Взрывы индуцированных центров (пятен на Солнце) вызывают экстремальное движение зарядовых масс, всплески электромагнетизма, потоки жёсткой радиации (зарядов).

Магнитные бури оказывают непосредственное влияние на магнитное поле (магнетоны), стороннее электрическое поле и на скопление Ра горы Меру.

Магнитные бури на Солнце вызывают изменения потенциала спинового разделённого заряда Земли и пропорциональной ответной реакции противодействием в магнитном поле Земли.

Апокалипсисы страшны поражающими факторами, но совершенно необходимы для поддержания жизни на Земле. Всё тепло, приходящее от Солнца, недостаточно для жизни на Земле.

На планете Марс, например, не происходили апокалипсисы, и потому под горой Меру (марсианской) образовалась могучая вершина вулкана Олимп и марсианская кора замёрзла, соли в рассолах и химические элементы на красной планете (железо) остались на поверхности, а пресная вода в состоянии льда находится в марсианской коре.

Дополнительная информация о звёздах, планетах (спутниках), истинный смысловой перевод описаний в мифологиях и другие дополнительные сведения в приведённых для убедительности примерах необходимы для глубокого осознания важности изучения элементарных коллапсаров и стороннего электрического поля.

Название «элементарные коллапсары» изменило не только название «элементарные частицы», но ещё и определило истинный подход к изучению. Полное отсутствие научной демагогии, описание физического мира на понятных, истинных научных фактах. Дано простое смысловое обоснование элементов истины в рассказах и рисунках, отвергается придуманная, ложная квантовая концепция в современной фундаментальной физике.

Далее в разделе «Элементарные коллапсары нуклоны», читателю предлагается смысловое описание элементарных коллапсаров нуклонов, состоящих из элементарных коллапсаров электронов.

## Элементарные коллапсары нуклоны

Элементарные коллапсары нуклоны образованы из элементарных коллапсаров электронов. В разделе «Элементарные коллапсары нуклоны», дано смысловое описание нейтронов, лёгких нейтронов, протонов и протонов минус (антипротонов).

### Нейтроны и протоны

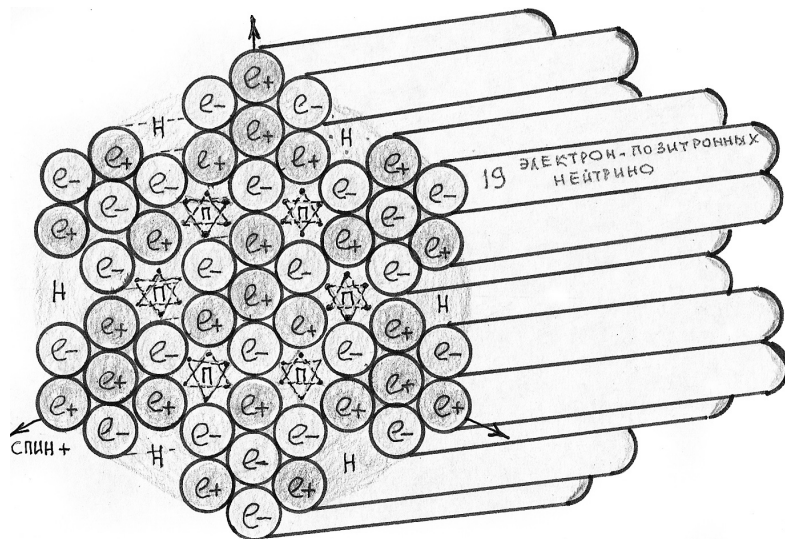


Рис. 61

Показан общий вид нейтрона, состоит из 49 электронных трубок. Электроны и электронные трубки расположены в семёрках, трубках пионов, в каждом пионе по семь электронных трубок, всего в нейтроне семь пионов. В шубе нейтрона расположены шесть пионов и в керне (центр) нейтрона расположен седьмой пион.

На рисунке 61 концевые скопления в сорока девятих трубках электронов и позитронов показывают знак полярности.

В каждой из сорока девяти трубок электронов и позитронов нейтрона находятся по 19 (девятнадцать) электрон-позитронных

нейтрино, всего  $49 \cdot 19 = 931$  или 1862 электрона и позитрона, и это число соответствует экспериментальным данным.

Необходимо ответить на следующий вопрос: почему электронные трубки нейтрона построены не из нейтральных электронов, а из потенциальных электрон-позитронных нейтрино  $2e$ ?

Два нейтральных электрона в трубках нейтрона находятся в непосредственном контакте и образуют совместно потенциальное электрон-позитронное нейтрино.

Потенциальные электрон-позитронные нейтрино в электронных трубках (общее название) обладают свойствами отдельной электрон-позитронной пары. При делении нейтральной электрон-позитронной пары проявляются зарядовые свойства электрона и позитрона, по причине деления концевое гамма-нейтрино в 49 трубке одного из нейтральных электронов (рис. 43).

Деление гамма нейтрино в 49 трубках нейтральных электронов происходит не в момент деления электрон-позитронной пары, а предварительно в единой системе взаимодействия (рис. 43).

Силы притяжения между отрицательным элементарным зарядом в семёрке гамма-нейтрино и зарядом противоположного знака в нейтральном облаке стороннего поля нейтрона смещают и саму семёрку в структуру потенциального электрона (см. рис. 27, 28). Масса потенциального электрона превосходит массу потенциального позитрона на 14 МЭС (рис. 8, страница 30).

Какова причина преобладания смещения отрицательной семёрки гамма-нейтрино в структуру потенциального электрона и почему в физическом мире потенциальные позитроны располагаются в спиновых трубках протонов?

Элементарные однополярные скопления плюс и минус (рис. 1,2,3) в элементарных нейтрино не могут состоять из частиц одного знака. Преобладание, неравенство частиц противоположного знака определяют сущность элементарных скоплений.

Предположительно, элементарные скопления противоположного знака образованы системами двух квадратов (структура свастики, см. стр. 32, 33), в элементарном скоплении минус находится избыточный отрицательный заряд, а в элементарном скоплении плюс недостаёт одного отрицательного заряда. Нечётное количе-

ство разнополярных частиц субстанции определяет элементарный заряд в элементарном скоплении.

Если данное утверждение истинное, тогда необходимо признать равенство кулоновского элементарного заряда в элементарных скоплениях и в однополярных частицах субстанции. Разнополярные частицы субстанции обладают элементарными зарядами!

Образованию электронов из 2401 спиновой трубки нейтрона способствует природа происхождения вещества (массы) и электричества в частицах субстанции и структурное образование элементарных скоплений из частиц субстанции (рис. 3).

В электронных трубках нейтрона возможно только равное число электронов и позитронов, не равное число проявляет кулоновский заряд, подобное происходит в спиновой 2401 трубке протона.

Электрон-позитронные нейтрино и другие парные силовые системы – это волны сжатия, а пространство между ними в структурных трубках электронов – это волны разряжения.

В нейтроне 38 слоёв электронов и позитронов, 19 слоёв электрон-позитронных нейтрино, в каждом слое по 49 электронов и позитронов. Элементарные скопления в элементарных нейтрино входят в структуру гамма-нейтрино (рис. 5). Элементарные скопления плюс и минус в 49 элементарных трубках электронов определяют общее свойство нейтрализации в слоях нейтрона.

Десятый слой электрон-позитронных нейтрино в нейтроне определяет начало системы противоположностей, почему?

Всего в нейтроне 19 слоёв электрон-позитронных нейтрино, плоскость, проходящая между электроном и позитроном десятого электрон-позитронного нейтрино (десятое с любого направления по оси зет), называется плоскостью нейтрализации сил в системе равновесия сил, началом системы противоположностей. Общий центр системы противоположностей расположен на пересечении осей икс, игрек и зет.

Проследим следующую закономерность образования нейтральных парных систем, например, два элементарных скопления противоположного знака образуют элементарное нейтрино.

Деление элементарных нейтрино в структуре гамма-нейтрино, образует две разнополярные структурные семёрки.

Далее, электроны и позитроны в сорока девяти электронных трубках нейтрона образуют структурные электрон-позитронные нейтрино. Слой электрон-позитронных нейтрино в семи трубках пионов ( $7 \cdot 2 = 14$ ) образуют пионитовые структурные нейтрино, всего в пионе 19 пионитов, каждый пионит состоит из 7 электрон-позитронных нейтрино.

Два слоя электронов и позитронов в сорока девяти электронных трубках нейтрона содержат 49 электрон-позитронных нейтрино или семь пионитовых нейтрино, а совместно структурный нейтральный слой нейтрона. Всего в нейтроне 19 нейтральных структурных слоёв электрон-позитронных нейтрино.

Вывод: в нейтроне находятся 1862 электрона и позитрона в 931 (!) электрон-позитронном нейтрино, в 133 (!) пионитовых структурных нейтрино и в 19 нейтральных слоях. Все структурные нейтрино, волны сжатия, обладают самостоятельным спиновым разделённым зарядом в нечётных структурных трубках.

В электронных трубках нейтрона по 49 элементарных трубок, соответственно, в пионе ( $49 \cdot 7 = 343$ ) триста сорок три и в нейтроне ( $49 \cdot 49 = 2401$ ) две тысячи четыреста одна элементарная трубка.

Нечётное количество электрон-позитронных нейтрино, равное 931 (!) и 133 (!) в пионитовых нейтрино, даёт важную подсказку. Это одна из важнейших причин деления концевой электрон-позитронного нейтрино в спиновой сорок девятой электронной трубке нейтрона и образования протонно-электронной пары, атома водорода.

Превосходство массы в электроном на 14 МЭС над массой в позитроне определяет преимущество выходов электронов из 2401 спиновой трубки нейтрона и образование протонов.

На рисунке 61 показаны три направления выхода стороннего поля через звёзды в пионах и нейтроне, существует и четвёртое направление по оси зет. В структуре коллапсаров нуклонов спиновое взаимодействие электронов по оси зет определяет силовую систему сжатия в электронных трубках.

Суммарные потенциалы спиновых зарядов электронов и позитронов в электронных трубках образуют змеевидную систему прямого сжатия в структурах пионов.



Через звёзды пионов образуется система сжатия в змеевидной цепи прямого сжатия в нейтроне, подобная система сжатия рассмотрена подробно в разделе изучения электронов (рис. 44).

Центры звёзд шести пионов в шубе нейтрона находятся в вершинах двух треугольников, системном гравитанте нейтрона (рис. 63). На рисунке 61 показаны места полных и неполных магнетонов нейтрона, показаны (условно) шестиконечными звёздами и буквами (П), а буквами (Н) неполные магнетоны.

Особым свойством в системе прямого сжатия элементарных трубок нейтрона обладает нечётная 2401, спиновая трубка нейтрона. Сорок девятая спиновая электронная трубка коллапсара нейтрона содержит в собственной структуре 2401 спиновую элементарную трубку, спиновые трубки электронов и позитронов выстраивают спиновую элементарную трубку нейтрона.

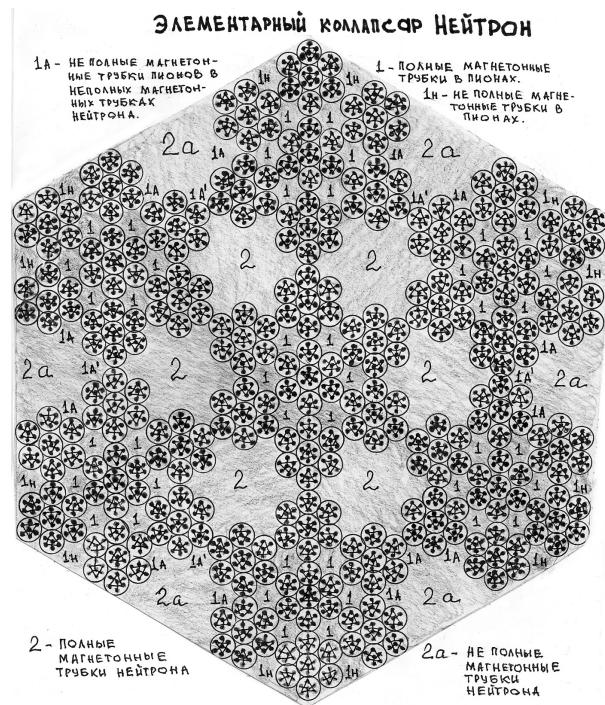


Рис. 62

Показано 2401 (две тысячи четыреста одно) концевое элементарное скопление в элементарных трубках одной полярной стороны нейтрона, в 49 электронных трубках (семи пионных трубках).

На противоположной полярной стороне коллапсара нейтрона знаки зарядов концевых скоплений имеют противоположное значение. Элементарные трубки в электронах показаны точками, соединёнными линиями в звёздах и треугольниках.

Цифрами показаны места полных и неполных магнетонных трубок в пионах и структурные трубки магнетонов в нейтроне. Максимальные силы сжатия, коллапсарные силы проявляются в магнетонных пространствах, названных магнетонными трубками коллапсаров (рис. 18, 19).

Расстояния между элементарными трубками в полных магнетонных пространствах определяют радиус равновесия действия коллапсарных (ядерных) сил сжатия и сил противодействия сжатию. Радиус начала действия коллапсарных (ядерных) сил притяжения проявляется между неполными магнетонами и известен в атомной и ядерной физике.

Структура поляризаторов магнетонов в магнетонных пространствах коллапсаров нейтронов и протонов не зависит от наличия кулоновского заряда, проявляются единые свойства зарядовой независимости (рис. 18, 19).

Нецентральные коллапсарные (ядерные) силы, действующие между двумя нейтронами, между двумя протонами или между нейтроном и протоном, одинаковы. Элементарные однополярные заряды протонов уменьшают энергию связи в ядрах, но не изменяют структуру коллапсарных (ядерных) сил в магнетонах.

Коллапсарные (ядерные) силы не являются центральными силами, нецентральность коллапсарных (ядерных) сил образует структура расположения магнетонных пространств (рис. 18), например в нейтроне (рис. 62) стыковочные узлы неполных магнетонов находятся на периферии и расположены радиально (рис. 62).

Каждый стыковочный узел коллапсара нуклона образует единую силовую связь с подобным узлом другого коллапсара, и поэтому проявляются свойства насыщения, каждый нуклон взаимодей-

ствуется только с ограниченным числом ближайших к нему нуклонов, а не со всеми нуклонами ядра.

Коллапсарные (ядерные) пространства магнетонов в пространствах нуклонов связаны между собой (рис 18) центральными силами (см. рис. 62), едиными электрическими силами сжатия и противодействия сжатию и объединены единым центром, но силы появляются только через стыковочные узлы по причине особого структурного радиального взаимодействия. Неполные магнетоны (узлы) связаны силами взаимодействия с единым магнетонным телом коллапсара нейтрона.

Короткодействующие коллапсарные, ядерные силы (рис. 18), определяет структура сжатия в магнетонных пространствах. Полные магнетоны образуют внутреннюю систему коллапсарного сжатия в пионах и нейтроне, и одновременно в системе двух треугольников индуцируют совместно с гравитантами электрическое гравитационное поле, а совместно со сторонним электрическим полем и электромагнитное (магнитное) поле.

Неполные магнетоны пионов и нейтрона (рис. 62) подобны силовым стыковочным узлам (рис. 18), сближение неполных коллапсарных узлов на расстояние действия коллапсарных сил (радиус начала действия) с аналогичными узлами в других коллапсарах способствует образованию ядер атомов.

Короткодействующие ядерные силы создают поляризаторы магнетонов (см. рис. 19) в магнетонных полных трубках. Неполные поляризаторы магнетонов в неполных магнетонных трубках создают совместно коллапсарные (ядерные) силы.

В коллапсарах нуклонов образована единая система взаимодействия между гравитантами и магнетонами в системах двух треугольников (рис. 14). Спиновые 343 элементарные трубки пионов объединены в системном гравитанте нейтрона (рис. 63).

Единая система гравитантов нейтрона показана на рисунке 63, в электронных трубках по семь гамма-гравитантов, всего в пионе  $7 \cdot 7 = 49$  (сорок девять) гравитантов, в нейтроне  $49 \cdot 7 = 343$  гамма-гравитантов.

Системные гравитанты электронов объединяют шесть гамма-гравитантов в электронах, всего в нейтроне 49 системных гравитантов электронов.

Системные гравитанты пионов объединяют по шесть системных гравитантов электронов в шубе и один гравитант в кjerne нейтрона (всего семь гравитантов), а системный гравитант нейтрона объединяет центры шести пионов.

Все гравитанты нейтрона находятся в едином магнетонном теле коллапсара, коллапсарные силы сжатия в полных и неполных магнетонах образуют разнополярные элементарные скопления, расположенные в прямых трубках гравитантов. Стороны больших треугольников гравитанта нейтрона проходят через центры полных магнетонов нейтрона, а вершины треугольников находятся в центрах гравитантов пионов.

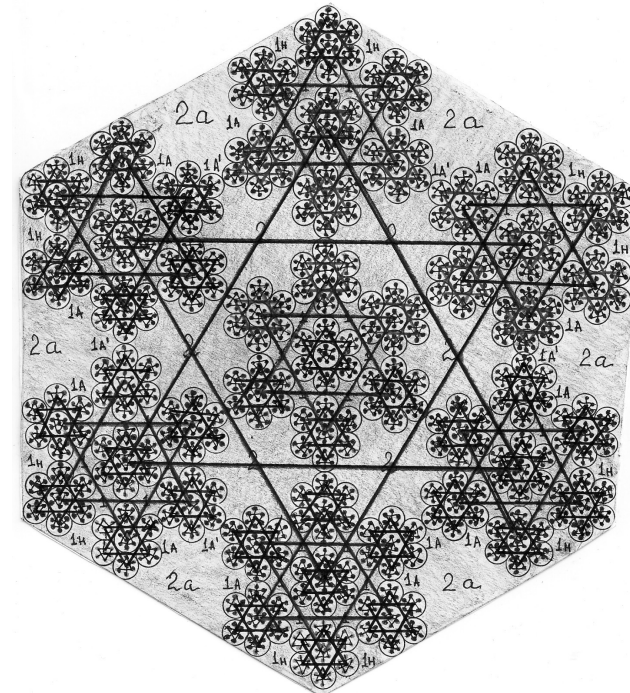


Рис. 63

На рисунке показаны 343 гамма-гравитанта, сорок девять системных гравитантов электронов, семь системных гравитантов пионов и один системный гравитант нейтрона.

Гравитанты нейтронов и индуцируют разнополярные скопления частиц в гравитонах сфер (рис. 14). Силы диагонального притяжения между разнополярными индуцированными скоплениями в сферах образуют волны сжатия сфер, а прямые силы противодействия сжатию образуют сферическое пространство в волне разряжения. Каждая сфера (волна сжатия), кроме первой, индуцирована предыдущей сферой и сама индуцирует последующую.

Что происходит, когда индуцированные гравитационные тверди (поле) и индуцированное стороннее электрическое поле движущихся элементарных коллапсаров, коллективов коллапсаров, взаимодействуют с гравитационными твердями и сторонним индуцированным электрическим полем других систем? Происходит образование дебройлевских волн в гравитационных зарядовых твердях!

Дebroйлевские волны связаны с любым движущимся элементарным коллапсаром, коллективами коллапсаров, вне зависимости от того, являются они электрически заряженными кулоновским электричеством или нейтральны.

В современной атомной и ядерной физике принято считать, дебройлевские волны существенно отличаются от всех известных волн тем, что они не испускаются какими-либо источниками волн. Источники дебройлевских волн существуют, это разнополярные скопления частиц в структурном гравитационном поле (зарядовых сферических твердях) и частицы в структуре индуцированного стороннего поля. Процесс генерации дебройлевских волн происходит в результате трения (условное определение) встречных скоплений частиц в подвижных зарядовых сферах разных систем.

Силы притяжения между разнополярными скоплениями в гравитационных сферах и стороннем электрическом поле и силы противодействия притяжению между однополярными скоплениями определяют саму суть волн де Бройля.

Временное полное или частичное раскрытие стороннего электрического поля усиливает проявление дебройлевских волн.

Неподвижные (относительно неподвижные) электроны в атомах не генерируют дебройлевские волны, линейчатый спектр излучения

атомом водорода подтверждает существование гравитационных сфер в волнах сжатия и разряжения, известны серии (гравитационные волны сжатия) спектральных линий.

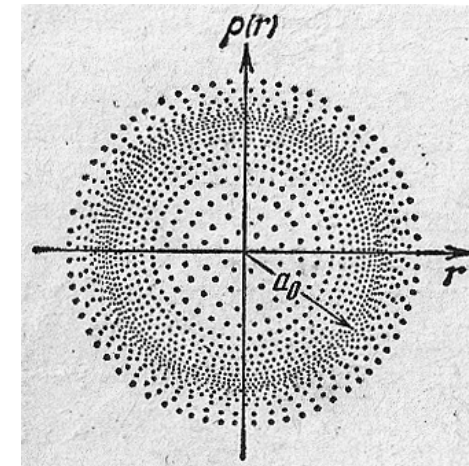


Рис. 64

На рисунке атома водорода показана не наибольшая плотность электронного облака (истина отвергает теорию электронных облаков) на расстоянии  $\alpha_0$ , а гравитационная волна сжатия сфер с наибольшей плотностью. Электрон водорода расположен неподвижно (относительно неподвижно) в волне наибольшего сжатия сфер на расстоянии  $\alpha_0$ .

На рисунке 65 показано расположение электрона в наибольшей волне сжатия на расстоянии  $\alpha_0$  от центра коллапсара протона.

Для дальнейшего смыслового описания структуры нуклонов необходимо знать причины превращения нейтронов в протоны и протонов в нейтроны. Нейтроны в естественных условиях превращаются в протоны, а протоны в нейтроны, в генерирующих сферах звёзд в результате жёсткого взаимодействия с атомами и молекулами в верхних слоях атмосферы Земли, в ядрах атомов, в результате распада свободных нейтронов, превращения протонов в лёгкие нейтроны и в других условиях.



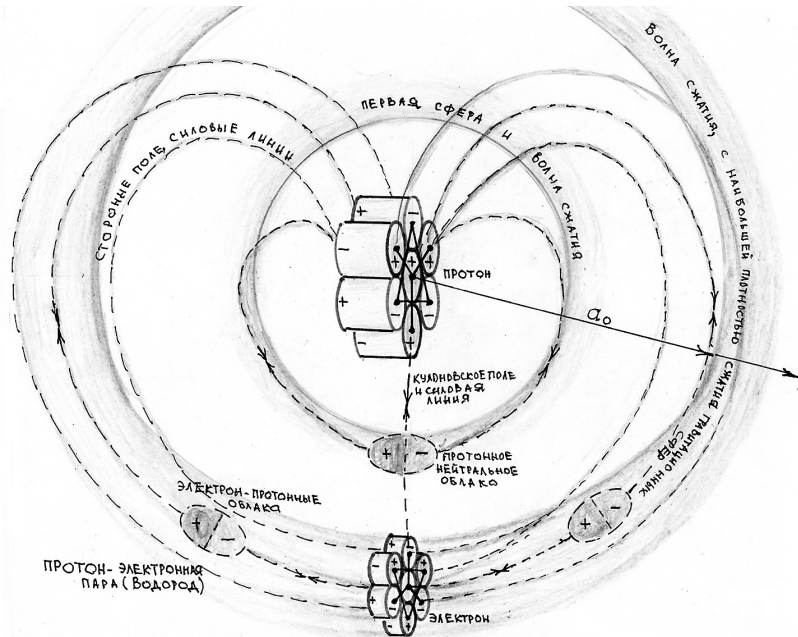


Рис. 65

Показан атом водорода. Коллапсар протон показан семью трубками пионов, в электроме показаны семь гамма-трубок.

Почему происходит превращение нейтрона в протон? Спиновая 2401 трубка коллапсара нейтрона разделена (отделена) геометрическим расположением от общего взаимодействия в змеевидной электрической цепи силового сжатия прямых элементарных трубок.

Элементарные заряды в спиновой трубке нейтрона находятся в двух однополярных блоках (см. рис. 44 и 46) взаимодействия. Блок отрицательных элементарных зарядов 2401 спиновой трубки нейтрона завершается в конечном скоплении, расположенном в электроме выхода.

После выхода электрона в электрическую цепь стороннего поля конечным скоплением в спиновой трубке вместо электрона становится позитрон, 2401 трубка с одной и другой стороны коллапсара нейтрона заканчивается в протоне позитронами!

Спиновая трубка электрона начинается и заканчивается отрицательными элементарными зарядами, а в позитроне положительными элементарными зарядами.

Спиновой отрицательный заряд в 2401 элементарной трубке нейтрона выбрасывает кулоновский элементарный заряд вместе с электроном, почему?

Кулоновский элементарный заряд проявляется между электроном и позитроном, через деление гамма-нейтрино в позитроне и находится между позитроном и электроном. Следовательно, для смещения проявленного кулоновского заряда в электроме необходимо смещать всю 49 элементарную трубку и электрон.

Силы отталкивания между отрицательными зарядами в блоке стороннего электричества (рис. 44 и 46) и проявленным кулоновским зарядом в электроме достаточны для смещения электрона в структуру стороннего поля при сопутствующих внешних условиях.

Вместо убывшего электрона при делении электронного нейтрино в спиновой электронной трубке проявленного протона конечным коллапсаром становится запирающий позитрон, препятствующий дальнейшему выходу электронов из спиновой трубки.

Подобный процесс образования запорных зарядов происходит при образовании электрона и позитрона. Деление гамма-нейтрино в гамма трубке позитрона на две поляризованные семёрки (см. рис. 43) образует запорные элементарные заряды в позитроне и электроме.

В спиновой гамма-трубке нейтрального электрона нет запорных зарядов на концах 49 трубки. Силы отталкивания между одноимёнными зарядами в стороннем поле нейтрального электрона (потенциальном позитроне) и кулоновским зарядом в концевой семёрке спинового гамма нейтрино и одновременно силы притяжения отталкиваемого заряда в семёрке к спиновому заряду противоположного знака в потенциальном электроме создают системы электрона и позитрона. Элементарные заряды плюс и минус в семёрках гамма-нейтрино протона и электрона становятся кулоновскими запорными зарядами.

Скопления в спиновом блоке отрицательных элементарных зарядов в 2401 трубке протона силами притяжения к элементар-



ному заряду плюс в позитроне удерживают стабильно позитрон в трубке и не позволяют (запирают) дальнейший выход электронов с одной стороны коллапсара. Запирающий позитрон на месте вышедшего в структуру стороннего поля электрона раскрывает причины образования (выхода) только одного электрона из нейтрона. Протон может иметь в структуре стороннего поля только один электрон.

Сторонние электрические элементарные заряды ( $q_{ст}$ ) запорного позитрона находятся в едином спиновом заряде спиновой трубки протона, а кулоновский заряд запорного позитрона индуцирует кулоновское электрическое поле и силовые линии поля, совместно с кулоновским зарядом в электроне (рис. 65).

Почему электрон выбрасывается блоком отрицательных элементарных зарядов в стороннее поле нейтрона, а не позитрон блоком положительных элементарных зарядов?

С обратной стороны коллапсара протона, где в спиновой электронной трубке располагается позитрон (не запорный), созданы подобные условия для выхода позитрона.

Силы отталкивания между спиновым зарядом в блоке положительных элементарных скоплений в элементарной 2401 трубке и элементарным кулоновским зарядом в позитроне создают силы отталкивания и могут в особых условиях смещать позитрон за пределы протона, а протон с выходом позитрона превращается в лёгкий нейтрон.

Процесс нейтрализации протонов, превращение протонов в лёгкие нейтроны рассматривается в смысловом описании ядер атомов и структуры атомов.

Электрон на месте вышедшего позитрона становится запорным для дальнейшего выхода позитронов. Силы притяжения между блоком положительных элементарных зарядов в спиновой элементарной трубке и кулоновским отрицательным зарядом в запирающем электроне препятствуют дальнейшему выходу позитронов.

Масса лёгкого нейтрона меньше массы нормального нейтрона ( $1862 - 2 = 1860$ ) на одно электрон-позитронное нейтрино, или на две массы нейтрального электрона.

Свободные позитроны и электроны могут создавать системы электрон-позитронного нейтрино или через процесс аннигиляции превращаются в нейтральные электроны.

Приоритет выхода электрона при распаде нейтронов связан с неравенством масс в электроне и позитроне на 14 МЭС (масс в элементарных скоплениях). Силы притяжения электрона выхода к спиновой электронной трубке в нейтроне меньше сил притяжения между позитроном и спиновой трубкой по причине большей длины волны разряжения.

Коллапсарные силы прямого притяжения и отталкивания в электронных трубках определяют длину волны разряжения. Между спиновой трубкой и электроном выхода длина волны разряжения больше длины волны разряжения, существующей между позитроном и трубкой (пропорционально изменению массы протона на 14 МЭС), соответственно, силы притяжения электрона выхода к спиновой трубке электронов меньше сил притяжения, между позитроном и спиновой трубкой с обратной стороны нейтрона.

Длина волны разряжения между электроном выхода и спиновой трубкой в нейтроне больше длины волны разряжения между позитроном и спиновой трубкой. Неравенство масс в электроне и позитроне определяет приоритет выхода электронов в стороннее поле протонов.

Силы притяжения между элементарными спиновыми зарядами в электроне выхода и сторонним индуцированным зарядом противоположного знака в нейтральном облаке, расположенном в волне сжатия гравитационных сфер, способствуют выходу электрона из спиновой трубки нейтрона в определённое место структуры индуцированного стороннего поля.

Силы притяжения и противодействия притяжению между разнополярными и однополярными зарядами в стороннем электрическом поле электрона и стороннем электрическом поле протона управляют процессом выхода электрона из 2401 трубки нейтрона.

Силы притяжения в силовых линиях кулоновского поля между элементарным зарядом электрона и элементарным зарядом в запорном позитроне протона (рис. 65) противодействуют силам отталкивания между одноимёнными спиновыми зарядами протона и

электрона и стабильно удерживают электрон выхода на некотором расстоянии от протона.

Спиновой заряд протона в 37 раз превосходит спиновой заряд электрона. В спиновой 2401 трубке нейтрона расположены 38 (тридцать восемь) электронов и позитронов в 19 потенциальных электрон-позитронных нейтрино  $2e$ .

Один электрон выходит из 2401 трубки нейтрона в замкнутую цепь стороннего поля протона в атоме водорода (рис. 65), и, соответственно, 37 электронов (позитронов) в последовательной электрической цепи остаются в спиновой трубке протона.

Спиновые 49 (сорок девятые) элементарные трубки в потенциальных электронах и позитронах образуют спиновую элементарную трубку протона, следовательно, спин протона равен сумме 37 спиновым зарядам в электронах и позитронах.

Взаимодействие спинового заряда в электроны выхода с сторонним спиновым зарядом в протоне нейтрализует один из 37 спиновых зарядов протона, следовательно 36 (тридцать шесть) спиновых зарядов электронов и протонов в протоне остаются всегда свободными для взаимодействия с другими свободными спиновыми зарядами в других системах.

Разрыв спиновой связи с электроном, ионизация протона (атома водорода), оставляет 37 спиновых зарядов электронов и позитронов свободными, электрон выхода не нейтрализует 37 (тридцать седьмой заряд). От силового взаимодействия свободных спиновых зарядов иона водорода с атомом водорода остаётся  $(37 - 36 = 1)$  один спиновой заряд электрона и используется ионами атомов в слабых молекулярных силовых связях.

Один свободный спиновой заряд атома (протона) водорода, равный 36 спиновым зарядам нейтральных электронов в спиновой электронной трубке протона, определяет настоящий смысл валентности атома водорода. Истина отвергает электронную теорию строения атомов и, соответственно, теорию ковалентности и электровалентности в двух видах химической связи между атомами в молекулах – атомной и ионной. Учёные не знали о свободных спиновых зарядах протонов в атомах, видели закономерные проявления электронов в атомах, и поэтому была придумана при-

митивная электронная теория химической связи между атомами.

Один свободный спиновой заряд в атоме водорода равен 36 спиновым зарядам нейтральных электронов или 18 спиновым зарядам потенциальных электрон-позитронных нейтрино в электронной трубке протона. Статусом электронов ( $e^-$ ) и позитронов ( $e^+$ ) наделяются только концевые электроны и позитроны в спиновых трубках протонов (нейтронов), потенциальные электрон-позитронные нейтрино обладают предполагаемым статусом. Электроны и позитроны в потенциальных электрон-позитронных нейтрино реально проявляют структурные свойства нейтральных электронов.

Разнополярные элементарные заряды в элементарных скоплениях нейтрино (см. рис. 1,2,3) создают один электрический элементарный заряд стороннего электрического поля,  $0,5q_{\text{кул}}^- + 0,5q_{\text{кул}}^+ = 1q_{\text{стр}}^{(-+)}$  количество элементарных нейтрино в разделённой 2401 трубке определяет потенциал спинового заряда нейтрона.

Элементарные кулоновские заряды равны половине элементарного разнополярного стороннего заряда. Деление стороннего разнополярного элементарного заряда проявляет свойства кулоновского однополярного электричества и потенциалы элементарных однополярных зарядов.

Каждый спиновой заряд электрона равен сумме сторонних элементарных зарядов в 49 элементарной трубке. Спиновой заряд 49 элементарной трубки электрона содержит один избыточный отрицательный элементарный заряд кулоновского электричества.

В позитроне спиновой заряд в 49 трубке меньше на один элементарный спиновой заряд. Отрицательный элементарный кулоновский заряд разделённого элементарного нейтрино находится в электроны выхода, а положительный кулоновский заряд разделённого элементарного нейтрино находится в запорном позитроне протона.

Масса частиц в индуцированных нейтральных облаках стороннего поля нейтрона уменьшается (рис. 65) пропорционально изменению соотношения масс в проявленном протоне и расположенном в цепи стороннего поля массе электрона.

Проявляется индуцированное кулоновское поле, происходит деформация в стороннем и гравитационном поле атома водорода, изменяется суммарная индуцированная масса в твердых.

Электрон замещает часть массы в нейтральных индуцированных облаках (рис. 65), масса протона становится меньше массы нейтрона, и масса в индуцированных нейтральных скоплениях (в нейтральном облаке) становится меньше, замещает масса электрона.

Электрон не может упасть на протон! Преобладание сил отталкивания между однополярными спиновыми зарядами в протоне и электроне над силами притяжения между разнополярными кулоновскими электрическими зарядами не позволяют бесконечное сближение электрона с протоном.

На некотором расстоянии силы притяжения между кулоновскими зарядами в электроне и в заперном позитроне протона равны силам отталкивания (рис. 65) между однополярными сторонними зарядами электрона и протона.

Разнополярные и однополярные спиновые заряды протона и электрона создают силы притяжения и силы отталкивания через индуцированные скопления в гравитационных сферах, но силы противодействия притяжению между однополярными зарядами в индуцированных скоплениях гравитонов прямые и превосходят диагональные (спиральные) силы притяжения между разнополярными скоплениями в гравитонах (см. рис. 29 и 30).

Только силы притяжения между кулоновским элементарным зарядом электрона и кулоновским зарядом в заперном позитроне, спиновой электронной трубки протона удерживают электрон в структуре атомов, в отдельных атомах водорода и гелия электроны расположены на оптимальных, ближайших к ядру расстояниях.

Нейтроны обладают сторонним электрическим полем, но отсутствует кулоновский элементарный заряд, и поэтому они не могут удерживать электроны в собственном стороннем электрическом поле, силы отталкивания между одноимёнными сторонними зарядами электронов в сферах атомов смещают свободные электроны на периферию, препятствуют сближению.

Электроны обладают собственным гравитационным полем в индуцированных сферах. Гравитоны сфер нейтрона и гравитоны сфер электронов противодействуют однополярными зарядами в индуцированных скоплениях прямыми силами, а притяжение между разно-

полярными скоплениями в гравитонах направлено по диагоналям квадратов (рис. 29 и 30).

Избыточные электроны на изолированных проводниках, называются свободными, элементарные заряды свободных электронов индуцируют кулоновское поле. Свободные (независимые) электроны не связаны силами притяжения с положительными элементарными зарядами в заперных позитронах протонов по причине отсутствия свободных протонов для установления силовой связи, и поэтому силы отталкивания между зарядами в неподвижных электронах атомов смещают свободные электроны, без якоря (условное сравнение), на поверхность тела. Свободные электроны связаны собственным спиновым зарядом с спиновыми зарядами элементарных ячеек и спиновыми зарядами атомов у поверхности проводника и поэтому зависимы в структуре стороннего поля и независимы в структуре кулоновского поля.

Поверхности нейтральных, так и заряженных проводников являются эквипотенциальными поверхностями, и внутри проводника напряжённость кулоновского поля равна нулю. То же относится и к полому проводнику: поверхность его есть поверхность эквипотенциальная, и кулоновское поле внутри полости равно нулю, как бы сильно ни был заряжен проводник. Этот вывод наглядно продемонстрирован Фарадеем в опыте с клеткой. Почему электрическое кулоновское поле внутри проводников равно нулю и какие силы смещают кулоновские заряды на поверхность проводника?

Внутри проводника индуцировано коллективное нейтральное стороннее поле и коллективное нейтральное кулоновское поле. Два разнополярных блока зарядов индуцированных частиц субстанции в нейтральном кулоновском поле проводника создают систему равновесия сил притяжения и отталкивания между частицами.

Подобно индуцированному гравитационному полю потенциалами нейтральных зарядов в системе двух треугольников, нейтральные заряды кулоновского поля индуцируют нейтральную, стационарную, коллективную систему кулоновского поля в проводнике. Стационарное кулоновское поле противодействует изменению нейтрального состояния.

Каждый неподвижный электрон в атоме связан с ядром (запорным позитроном в протоне) силами стороннего поля и силами кулоновского поля (рис. 65).

Равенство кулоновских зарядов противоположного знака определяет общее нейтральное состояние кулоновских полей между электронами и протонами в атоме.

Кулоновские нейтральные поля в атомах кристаллической решётки проводника индуцируют совместно нейтральное кулоновское поле. Индуцированные кулоновскими нейтральными полями в атомах разнополярные частицы субстанции в пространстве кристаллической решётки проводника образуют собственные центры сжатия частиц в стационарном поле.

Кулоновские нейтральные поля в атомах индуцируют межатомное пространство в элементарных ячейках кристаллической решётки проводника. Структурные, нейтральные кулоновские поля в элементарных ячейках, индуцируют пространство кристаллической решётки проводника.

Известно, силовые линии не проходят через проводник, нейтральное кулоновское внутреннее поле сохраняет состояние равновесия сил между разнополярными и однополярными индуцированными частицами. Структурное нейтральное поле противодействует индуцированным силовым линиям в окружающих кулоновских полях смещением электронов проводимости к поверхности или от поверхности тела проводника.

Общая структура индуцированного нейтрального внутреннего кулоновского поля подобна объёмной геометрической форме проводника и обладает центральными силами. Например, в центре полого шара проводника индуцирован максимальный коллективный электрический заряд нейтрального кулоновского поля потенциалами в локальных нейтральных электрических полях атомов и в элементарных ячейках.

Вывод: нейтральное стационарное кулоновское электрическое поле существует в любом атоме, коллективах атомов, в проводниках и любых телах. Нейтральное стационарное кулоновское поле создаёт систему равновесия сил притяжения и отталкивания и противодействует изменению стационарного состояния.

Избыточные, свободные, положительные и отрицательные кулоновские заряды могут располагаться в протонах и электронах только на поверхности проводников.

Избыточные, и потому называются свободные электроны, не связаны силовой электрической цепью с положительными элементарными зарядами в заборных электронах протонов, находятся у поверхности тела (над поверхностью тела), связаны силами притяжения собственных спиновых зарядов с спиновыми зарядами атомов в элементарных ячейках.

Кулоновские заряды в свободных электронах, смещённые на поверхность тела, индуцируют окружающее пространство кулоновским электрическим полем.

Элементарные кулоновские заряды свободных электронов (избыток свободных электронов) и элементарные кулоновские заряды в заборных свободных позитронах протонов (недостаток зависимых электронов) проявляются как кулоновские заряды противоположного знака на поверхности тел проводников.

Свободные электроны связаны собственным сторонним электрическим полем с сторонними электрическими полями атомов, расположенными у поверхности элементарных ячеек кристаллической решётки.

Заборные позитроны в протонах ядер проводников не могут смещаться, и поэтому смещение зависимых (связанных силовыми линиями с положительными кулоновскими зарядами в заборных позитронах протонов) электронов проводимости на другие тела проводников определяет избыточный положительный заряд кулоновского поля.

Для выхода свободных электронов за пределы проводников необходимо разорвать силовую связь спинового заряда свободного электрона с спиновыми зарядами атомов у поверхности кристаллической решётки.

Электроны тока в проводниках не обладают свойствами свободных электронов, всегда связаны собственным отрицательным кулоновским зарядом с положительным кулоновским зарядом в протонах атомов.

Электроны тока (электроны проводимости) в проводниках расположены на максимальном удалении от ядра атомов, и поэтому слабые силы притяжения к положительному заряду в протоне по-



зволяют электронам смещаться под воздействием ЭДС в замкнутой электрической цепи стороннего поля.

Разность потенциалов, электродвижущие силы (эдс) стороннего электрического поля источника тока в электрической замкнутой цепи проводника индуцируют волны сжатия и разряжения в гравитационных твёрдых кристаллической решётки и в окружающем пространстве проводника.

Стороннее электрическое поле электронов проводимости (отдалённые от ядра электроны) раскрывается и вступает временно на один проскок электрона между волнами сжатия, в силовую связь с индуцированным сторонним полем источника тока, через последовательную электрическую цепь раскрытых спинов электронов, расположенных между зарядовыми волнами сжатия.

Силы притяжения между разнополярными слоями индуцированных частиц субстанции в скоплениях образуют волны сжатия, а силы противодействия сжатию между однополярными скоплениями образуют волну разряжения между волнами сжатия. Последовательное чередование разнополярных индуцированных слоёв в замкнутом проводнике образует последовательную цепь расположения электрических зарядов.

В момент одновременного проскока электронов на длину волны индуцирования (расстояние между гребнями волн сжатия) суммарным зарядом стороннего поля в источнике тока, электроны и протоны в ядрах атомов обладают свойствами свободных электронов и протонов.

Электрон временно не имеет кулоновской связи с протоном, становится свободным, и положительный заряд в протоне становится свободным, а атом в это время превращается в ион.

От своего протона в ядре атома кулоновский заряд электрона отрывается, но ещё не установил кулоновскую силовую связь с свободным протоном в другом ядре, в направлении движения электронов.

Кулоновские силовые линии будто шагают от одного ядра атома к другому ядру атома, изменяются потенциалы (сжатие частиц) сторонних и кулоновских полей движущихся электронов.

Стороннее электрическое поле в электронах проводимости временно раскрывается в атомах и образует замкнутую спиновую

связь между спиновыми разнополярными зарядами источника тока в последовательной замкнутой цепи проводника.

Силы отталкивания между отрицательным зарядом стороннего поля и кулоновскими зарядами в электронах и одновременно силы притяжения кулоновских зарядов электронов к положительному стороннему заряду источника тока перемещают электроны между волнами сжатия.

Пространство между волнами сжатия в проводнике подобно пространству между зарядом катода и зарядом анода в электронной лампе диода.

Пульсация стороннего поля электронов, изменение электрических потенциалов в спиновых трубках электронов и спиновых трубках протонов вызывает генерацию (изменение потенциалов) в трубках гравитантов и магнетонов в электронах и протонах.

Генерирующие поляризаторы гравитонов и магнетонов в сферах проявляются как замкнутые кольцевые магнитные силовые линии вокруг проводника, в пространстве между индуцированными волнами сжатия в проводнике.

Проводник в цепи электрического тока, расположенный витками в форме соленоида, раскрывает замкнутые силовые линии вокруг проводника, создаёт единую систему сжатия магнитных силовых линий в осевом центре соленоида и замкнутую систему магнитных силовых линий в окружающем соленоид пространстве.

Длина проскока электронов равна длине волны между волнами сжатия, изменение, например, увеличение напряжения в источнике тока в два раза изменяет, уменьшает длину волны в два раза.

На рисунке 65 показано протонное нейтральное облако и два электрон-протонных нейтральных облака. Разнополярные заряды стороннего электрического поля смещают (отталкивают) однополярные частицы субстанции и притягивают частицы противоположного знака (см. рис. 49, 51 и 52).

Два разнополярных облака отталкиваемых частиц силами притяжения между собой образуют одно нейтральное облако сжатия, шаровое скопление. Шаровые скопления образуют подобие коллапсаров электрическим структурным взаимодействием, но не сжатием частиц.

В каждой волне сжатия гравитационных сфер образуются индуцированные нейтральные облака из индуцированных частиц (рис. 65). Между электроном и протоном образуются пропорциональные массы в индуцированных нейтральных скоплениях.

Направление знаков полярности в разделённой спиновой 2401 трубке протона и разделённой 49 трубке электрона, в атоме водорода, определяет последовательную (параллельную) или встречную (антипараллельную) ориентацию спинов. На рисунке 65 показано антипараллельное построение электрических спиновых зарядов протона и электрона в атоме водорода.

Электрические заряды спина протона и электрона расположены реально в последовательной электрической цепи, но направления знаков полярности в пространстве проявляются в опытах как антипараллельное.

Свободные спиновые заряды протонов образуют совместные системы нейтрализации зарядов в ядрах атомов, в структуре простых и сложных молекул.

Стремление свободных спиновых зарядов в протонах водорода к совместной нейтрализации образует молекулу  $H_2$ , простую молекулу пароводорода.

Пароводородом называется молекула  $H_2$  у которой спины обоих протонов в ядрах антипараллельны.

Свободные спиновые заряды протонов в молекуле пароводорода образуют одну, последовательную цепь нейтрализации, но проявляются в опытах как антипараллельные.

Силы притяжения между кулоновскими элементарными зарядами в заборных позитронах протонов и элементарными зарядами в электронах смещают электроны в молекуле пароводорода ближе к протонам, на рисунке 66 показано углом смещения в электрической силовой цепи равновесия.

Между электронами и протонами образуются индуцированные нейтральные облака сжатия разнополярных частиц субстанции. Деформация структуры молекулы пароводорода притяжением электронов к протонам и образование некоторого угла смещения, показанного на рисунке 66, устраняется противодействием масс индуцированных частиц в нейтральных шаровых скоплениях.

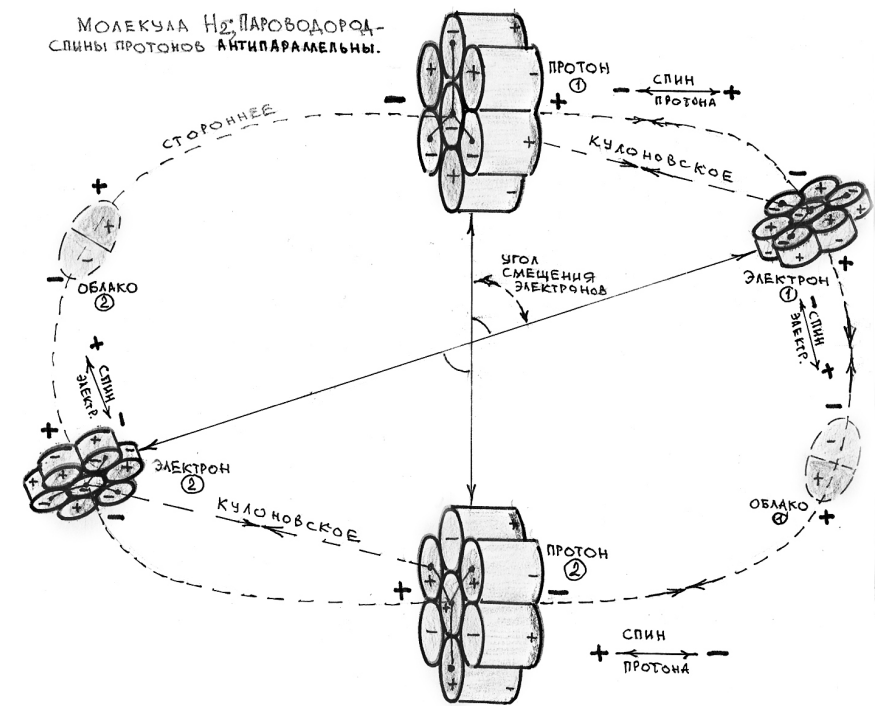


Рис. 66

Структура индуцированного стороннего поля свободными зарядами протонов и силы отталкивания одноимённых кулоновских зарядов в электронах образует единую плоскость взаимодействия молекулы пароводорода (рис. 66).

Структура индуцированных сфер гравитационного поля молекулы пароводорода подобна деформированному шару, а структуры стороннего поля и кулоновского поля образуют условную плоскость взаимодействия.

В смысловом описании молекулы пароводорода не рассматривается структура совмещённого гравитационного поля атомов водорода, гравитационные взаимодействия между протонами, между протонами и электронами, не рассматривается ориентация, векторное направление однополярных зарядов, расположенных в звёздах и треугольниках концевых скоплений протонов и электронов.

На рисунке 67 показаны свободные спиновые заряды протонов и электронов в молекуле ортоводорода, образующие последовательную и параллельную электрическую цепи нейтрализации.

Свободные заряды протонов расположены последовательно в индуцированной цепи стороннего поля, векторные направления знаков полярности спинов протонов параллельны. Параллельно к электрической цепи спинов протонов расположены две ветви нейтрализации спиновых зарядов электронов, векторные направления знаков полярности спинов электронов параллельны.

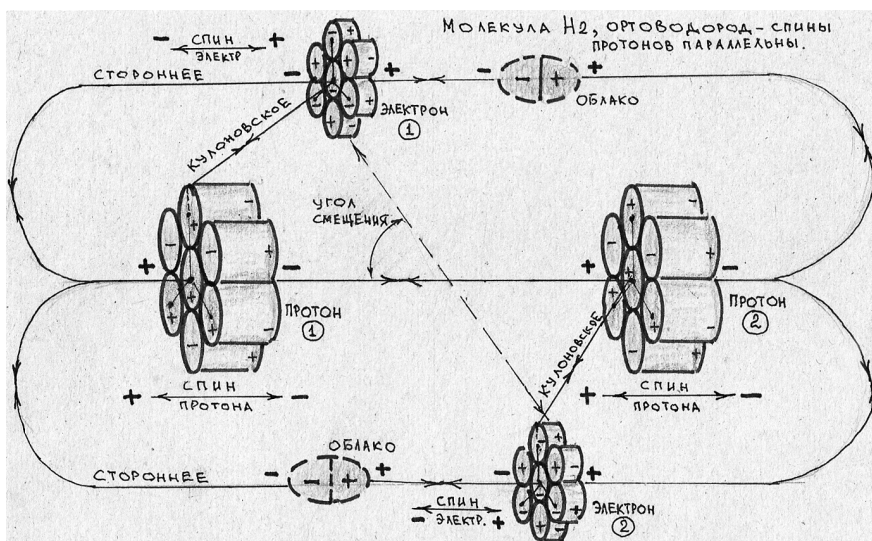


Рис. 67

Ортоводородом называется молекула  $H_2$ , у которой спины обоих протонов параллельны.

Кулоновское электрическое поле, электрические силы между разнополярными зарядами смещают электроны ближе к протонам.

Кулоновские элементарные заряды в электронах и в запертых позитронах протонов индуцируют нейтральное кулоновское электрическое поле молекулы ортоводорода.

Нейтральное кулоновское поле в молекулах пароводорода и ортоводорода образовано равенством сил притяжения и отталки-

вания между кулоновскими зарядами в электронах и запертых позитронах.

Нейтральное кулоновское электрическое поле и нейтральное стороннее электрическое поле в молекулах пароводорода и ортоводорода необходимо рассматривать в общей системе гравитационного взаимодействия.

## Строение атомов и атомных ядер

Ядро атома водорода состоит из одного коллапсара, протона. Смысловое описание структуры атома водорода и его ядра протона предварительно дано в главе изучения нуклонов. В настоящей главе даётся смысловое описание структуры лёгких и средних атомов, строение и основные свойства ядер атомов. Предлагается новый, дополненный вариант короткой формы периодического закона Д.И. Менделеева (см. рис. 282).

В условиях естественной радиоактивности самопроизвольное превращение ядер неустойчивых изотопов одного химического элемента в ядра изотопов других химических элементов сопровождается радиоактивными излучениями.

Состав радиоактивных излучений альфа-лучей и бета-лучей установлен в известных опытах по их отклонениям в магнитном поле, это ядра гелия и электроны.

Частоты излучений генерирующих спиновых зарядов в подвижных гамма-нейтрино превышает частоты излучений самых жёстких рентгеновских лучей, и поэтому процесс выхода гамма-нейтрино ошибочно объясняется учёными как проявление жёсткой электромагнитной радиации, гамма-излучением.

Гамма-нейтрино (см. рис. 5) не обладают открытым кулоновским электричеством, спиновой заряд седьмого элементарного нейтрино нейтрализован в собственном индуцированном стороннем поле. Электрическая нейтральность и малый радиус эффективного действия на окружающие тела позволяет гамма-нейтрино проникать в структуры атомов, молекул в веществах и взаимодействовать в структурах сторонних полей.



Раскрытые спины гамма-нейтрино входят в силовое взаимодействие в структуре сторонних полей в окружающих телах. Гамма-нейтрино насыщают структуры стороннего поля в телах, превращают их в радиоактивные вещества, например, разрушение блока на Чернобыльской АЭС и выброс в атмосферу большого количества продуктов распада привело к избыточному насыщению веществ на местности радиоактивными гамма-нейтрино.

Гамма-нейтрино, входящие в структуру коллапсаров, не являются радиоактивными, только распад (частичный распад) ядер атомов и элементарных коллапсаров приводит к образованию избыточных, радиоактивных гамма-нейтрино.

Бета-излучение – это электроны альфы. Ядро гелия, альфа-система, имеет в собственной структуре два протона и соответственно два электрона, связанные с зарядами запорных позитронов в протонах. Силами притяжения к положительным зарядам в протонах альфы и силами отталкивания между однополярными зарядами в электронах атома вновь образованные избыточные свободные электроны выбрасываются из атома нейтральной системой кулоновского поля.

Скорость выхода альфа-систем при распаде ядра неустойчивого изотопа временно разрушает силовые связи электронов с протонами альфы, поэтому в магнитном поле, направленном перпендикулярно к плоскости выхода, ядра гелия и электроны проявляются как отдельные носители положительных и отрицательных элементарных зарядов.

Гамма-нейтрино накапливаются в структурах сторонних полей атомов и молекул в веществах. Тяжёлые ядра и атомы в структурах веществ не только препятствуют прохождению гамма-нейтрино, но и подобно конденсатору способны удерживать в структурах стороннего поля свободные и радиоактивные гамма-нейтрино.

Структура стороннего поля кристаллической решётки атомов, например, свинца, препятствует прохождению гамма-нейтрино и накапливает элементарные коллапсары подобно конденсатору. Насыщенный свободными гамма-нейтрино свинец становится радиоактивным.

Гамма-нейтрино не исчезают бесследно, избыточное количество свободных гамма-нейтрино в окружающей среде активизиру-

ет процесс синтезирования химических соединений в веществах и становится строительным материалом в новых соединениях атомов и молекул.

Особыми физическими свойствами обладает альфа-коллапсар, универсальная система, ядро атома гелия. На рисунке 68 показана принципиальная структура ядра атома гелия, альфа-коллапсар.

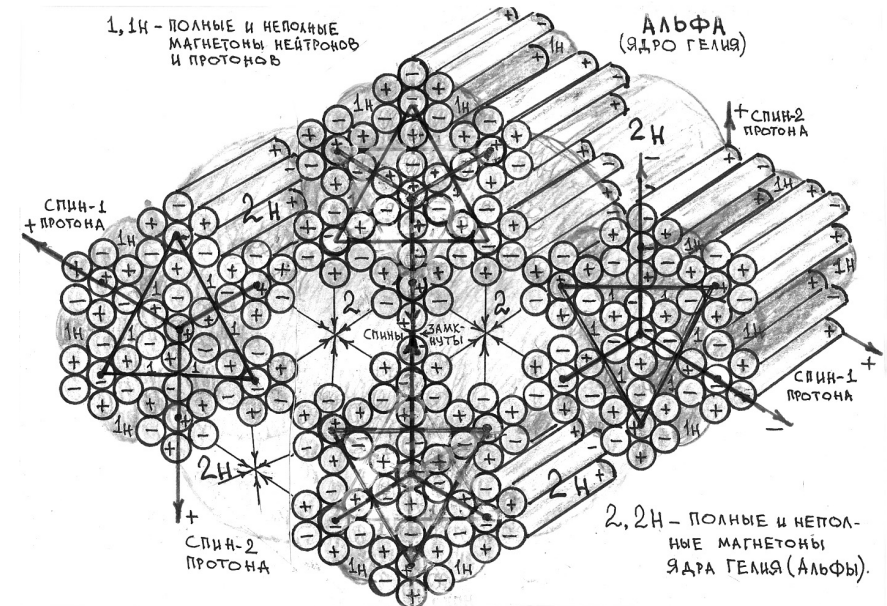


Рис. 68

Универсальная система альфа-коллапсар, ядро атома гелия. Показаны структуры двух нейтронов и структуры двух протонов в единой системе альфы.

В каждом нуклоне показано по 49 электронных трубок в семи пионных трубках. Знаками полярности показаны спины концевых электронов в нуклонах, с обратной стороны коллапсара концевые заряды в спиновых электронных трубках имеют обратное значение. Показаны полные и неполные магнетоны альфа-коллапсара, ядра атома гелия, полные и неполные магнетоны нуклонов. Показаны блоки однополярных скоплений, расположенные в звёздах и



треугольниках пионов и возможные направления выходов спинов в протонах для индуцирования совместного стороннего поля, заряды спинов нейтронов замкнуты в центре ядра (рис. 68) и не проявляются в окружающем пространстве.

Два нейтрона в альфе-системе находятся в непосредственном контакте, соприкасаются спинами в центре ядра (рис. 68). Спиновые заряды в 2401 трубках нейтронов полностью нейтрализованы в структуре ядра гелия и не проявляются в окружающем пространстве. Электрическая цепь нейтрализации спиновых зарядов через одно из трёх направлений в звёздах, одновременно создаёт силы притяжения между нейтронами.

Протоны удалены от центра ядра, находятся на расстоянии равном диаметру трубки полного магнетона, диаметры каждого из двух полных магнетонов альфы между нейтронами и протонами равны диаметру пиона нуклона. Две полные магнетонные трубки ядра гелия, альфа-коллапсара, создают короткодействующие коллапсарные силы сжатия между нуклонами.

Спиновые заряды двух протонов ядра гелия разделены пространством, не имеют непосредственного контакта во внутренней системе ядра и поэтому выстраивают систему нейтрализации собственных зарядов через индуцирование частиц субстанции в стороннем совместном электрическом поле.

Спиновые заряды протонов индуцируют окружающее гравитационное пространство ядра гелия и совместно с зарядами спинов собственных электронов выхода выстраивают замкнутую систему совместного стороннего поля. Спиновые заряды протонов, равные сумме 37 спиновым зарядам электронов, нейтрализованы в последовательной индуцированной электрической цепи совместного стороннего поля.

По одному спиновому заряду из тридцати семи в каждом протоне нейтрализованы, через спиновые заряды электронов и по 36 свободных спиновых зарядов электронов в протонах нейтрализованы через структуру индуцированного совместного стороннего поля (см. рис. 74).

Неполные трубки магнетонов четырёх нуклонов образовали совместно две полные трубки магнетонов, структура векторных сил

притяжения между разнополярными противоположными элементарными зарядами в трубках создаёт короткодействующие коллапсарные силы между нуклонами.

Протоны в ядре альфы взаимодействуют между собой через структуры нейтронов и через коллапсарные короткодействующие силы в полных магнетонах (помечены цифрами 2). Магнетоны образуют единое магнетонное тело в коллапсарах нуклонов и в универсальной системе альфы-коллапсара, а проявляются коллапсарные силы через узлы притяжения в полных и неполных магнетонных трубках.

Название ядра гелия, альфа-коллапсар, в настоящем смысловом описании основ истины имеет универсальное значение. Система силового объединения четырёх элементарных коллапсаров нуклонов в общей структуре силового взаимодействия названа системой альфа-коллапсара. На рисунке 69 показаны истоки происхождения альфа-систем и альфа-коллапсаров, слева показана структура коллапсара (трубки коллапсара).

Справа на рисунке 69 показана принципиальная структура ядра гелия, система альфа-коллапсара.

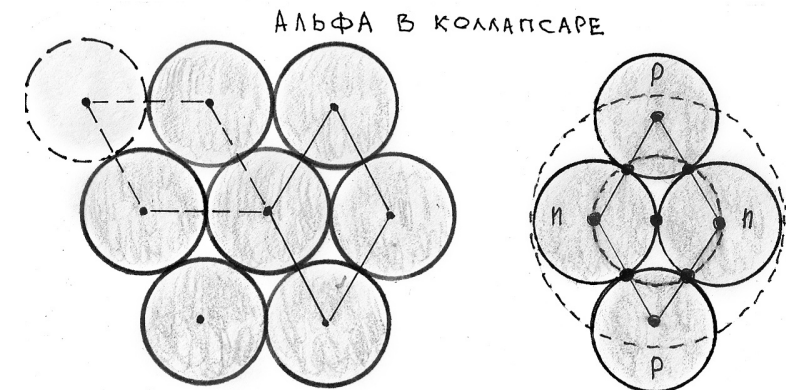


Рис. 69

Альфа, это универсальная силовая система в коллапсарах и ядрах атомов. Нет принципиального отличия структуры альфа-систем в элементарных коллапсарах и в ядрах атомов. Семёрка условного коллапсара (рис. 69, слева) состоит из альфа-систем, во-

круг центра можно расположить шесть геометрических альф (показана одна, ромбом).

Через стыковочные узлы в неполных магнетонах семёрка может создавать силовую связь, например, с протоном в ядре атома (рис. 69, слева), образуется новая структурная система, альфа (показана пунктиром). Нейтроны расположены ближе к центру ядра альфы, окружностями показано расстояние до центров нейтронов и пунктиром в большой окружности нейтронное пространство.

Нейтронное пространство обладает силами нейтронизации (от слова нейтрон) протонов, всякий протон, попавший в нейтронную зону (нейтронную трубку), становится нейтроном. Всякий нейтрон, покинувший нейтронную зону (трубку), становится протоном в ядре атома. Свободные нейтроны могут сохранять нейтральные свойства за пределами атомов (ядер).

Универсальное значение структурной системы альфы показано на принципиальном рисунке 70.

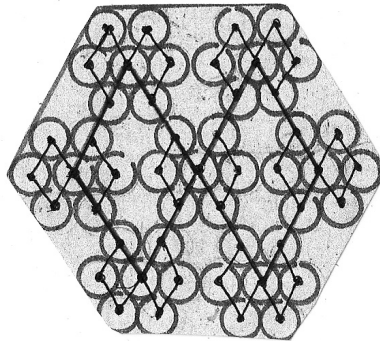


Рис. 70

Малые альфы образуют структуру больших альф, универсальная система нуклонов в структуре полных и неполных альф формирует ядра атомов.

Элементарные коллапсары нуклоны создают структуры взаимодействия в неполных альфа-системах. Ядра дейтерия, трития и лёгкого гелия образуют структуры неполных альфа-коллапсаров.

На рисунке 71 показана принципиальная структура двух нуклонов в ядре дейтерия. Протон и нейтрон в ядре дейтерия связаны си-

лами притяжения в деформированном магнетоне, между пионами в нуклонах.

Четыре пионные трубки в нуклонах образуют короткодействующие коллапсарные силы в деформированном полном магнетоне дейтерия. Сравним в альфа-коллапсаре, ядре гелия, нормальные магнетоны образованы между шестью пионами нуклонов.

Почему полная магнетонная трубка в ядре коллапсара дейтерия (показана цифрой 2) названа деформированной?

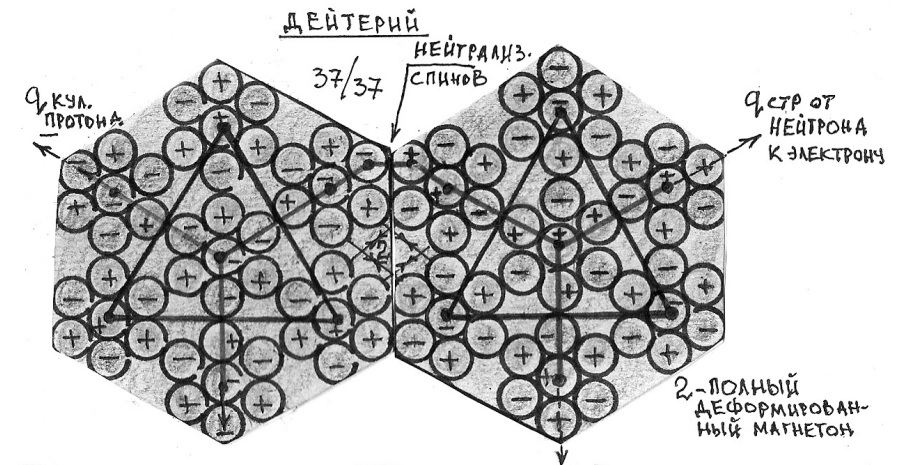


Рис. 71. Принципиальная структура ядра дейтерия.

Расстояния между противоположными зарядами противоположного знака в деформированном магнетоне разные, сечение магнетонной трубки в ядре дейтерия образует овал, а не окружность, как у нормальной магнетонной трубки.

Векторные силы притяжения в структуре овала (магнетона) неравномерно производят коллапсарное сжатие и меньшее количество элементарных зарядов в элементарных трубках четырёх пионов, характеризуют слабое состояние коллапсарных сил в деформированной магнетонной трубке.

Вывод: коллапсарные силы в магнетонной деформированной трубке ядра дейтерия слабее нормальных короткодействующих коллапсарных сил в полной магнетонной трубке.

Спины протона и нейтрона замкнуты в системе внутренней цепи нейтрализации спиновых зарядов, на рисунке 71 показана замкнутая электрическая цепь. Через одно из трёх направлений выхода спина в структуре звёзд протонов и нейтронов осуществляется нейтрализация разделённых зарядов.

В ядре дейтерия проявляются универсальные свойства электрических зарядов стороннего поля, происходит перераспределение свободных спиновых зарядов между протонами и нейтронами для взаимодействия с спинами электронов. В замкнутой цепи нейтрализации спина протона и спина нейтрона использованы по 37 электронных спиновых зарядов, почему?

В 2401 трубке нейтрона находится 38 спиновых зарядов электронов, а в спиновой трубке протона осталось 37 (один находится у электрона выхода), на один сторонний заряд электрона меньше.

В результате нейтрализации спинов нейтрона и протона в замкнутой электрической цепи ( $38 - 37 = 1$ ) остаётся свободным в нейтроне один сторонний заряд электрона и вступает в силовую связь с спиновым зарядом в 49 трубке стороннего поля электрона выхода. Нейтроны в ядрах взаимодействуют с электронами!

Кулоновские силы притяжения в структуре коллапсара дейтерия образуются между элементарным кулоновским зарядом электрона и элементарным зарядом в запирающем позитроне протона.

Электрон в структуре системы дейтерия спиновым свободным зарядом взаимодействует с свободным зарядом в нейтроне, а кулоновским элементарным зарядом с элементарным зарядом в протоне!

Универсальные свойства перераспределения спиновых зарядов между нуклонами в ядрах и между электронами в атомах рассматриваются дополнительно в структуре других ядер атомов.

На рисунке 71 нет определяющего нейтронного пространства, центр ядра расположен между нуклонами, и нет видимого приоритета для закономерного, свободного выхода электрона для любого из нуклонов дейтерия. Почему протон и нейтрон уживаются в единой силовой связке ядра дейтерия?

Спиновые заряды нейтронов могут создавать совместные ядра, но образование ядра всегда будет сопровождаться процессом выхода электрона у одного из нейтронов, два нейтрона образуют ядро дейтерия в единой системе неполного альфа-коллапсара.

Свободный спиновой заряд нейтрона и сторонний заряд электрона выхода создают дополнительную силовую структуру сохранения целостности ядра дейтерия через универсальную систему силовой нейтрализации стороннего заряда электрона с свободным сторонним зарядом нейтрона и силовой нейтрализации кулоновского заряда электрона с зарядом противоположного знака в протоне.

На рисунке 71 в ядре дейтерия векторами показаны места выхода стороннего свободного заряда нейтрона и направление силовых линий кулоновского поля от протона к электрону, структура взаимодействия с электроном подобна структуре атома водорода и показана на рисунке 65.

Ядро трития (рис. 72), состоящее из трёх нуклонов, образует силовую структуру, подобие ядра полной альфы. Два нейтрона смещены, (слева) расположены в смещённом нейтронном пространстве ядра, протон коллапсара трития расположен подобно протону в ядре коллапсара гелия.

Строение ядра подобно части структуры ядра гелия (см. рис. 68), три нуклона образует неполную структуру альфа-коллапсара, стороннее поле нейтрализации свободного спинового заряда протона в ядре трития слабое, рыхлое, и поэтому дейтерий проявляет электрическую активность в окружающем пространстве.

Отсутствие второго протона в ядре трития не позволяет создать замкнутую сильную систему нейтрализации свободного спинового заряда протона в собственной системе. Слабое и потому активное (раскрытое) стороннее поле не позволяет атому трития находиться длительное время в естественном состоянии.

Спины нейтронов замкнуты во внутренней электрической цепи нейтрализации, протон связан с нейтронами в ядре трития через силы притяжения в индуцированной полной трубке магнетонов, образованной неполными магнетонами двух нейтронов и протона.



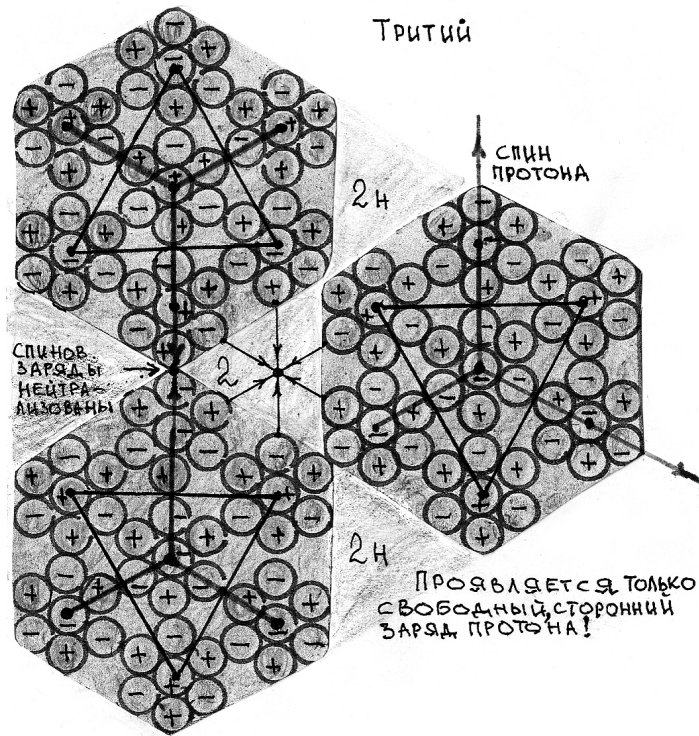


Рис. 72. Ядро трития.

Спин протона трития активно проявляется в окружающем пространстве. В электрической слабой структуре стороннего поля протона находится электрон (на рисунке не показан).

Происходит нейтрализация спинового заряда электрона ( $37 - 1 = 36$ ) и тридцать шесть спиновых зарядов электронов в протоне остаются свободными. Сравним, свободные заряды протонов в ядрах (протонах) коллапсара водорода проявляют повышенную активность силового взаимодействия и создают систему нейтрализации свободных спиновых зарядов в молекулах пароводорода и ортоводорода.

Система нейтрализации свободных спиновых зарядов в протонах водорода может проходить и без образования простой молекулы  $H_2$ , а непосредственно в структурах сложных молекул, например, в молекуле газа метана  $CH_4$  и других молекулах.

На рисунке 73 показано ядро лёгкого гелия, между двумя протонами расположен нейтрон ядра.

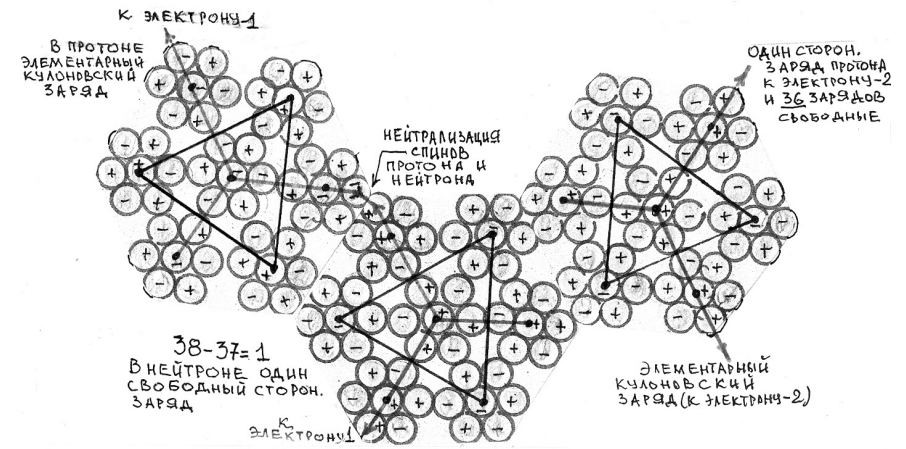


Рис. 73. Ядро неполного коллапсара лёгкого гелия

На рисунке 73 протон (слева) и нейтрон (в центре) ядра лёгкого гелия образуют подобие неполного ядра коллапсара дейтерия (см. рис. 71).

Между протонами и нейтроном (в центре) образованы деформированные магнетонные трубки (см. рис. 71).

Заряды спинов протона (слева) и нейтрона нейтрализованы через одно из трёх направлений выхода звезд, место контакта спиновых зарядов показано на рисунке 73, с противоположной стороны коллапсара знаки полярности концевых зарядов спинов имеют противоположное значение и также замкнуты.

Спиновой свободный заряд нейтрона ( $38 - 37 = 1$ ), равный спиновому заряду одного электрона, индуцирует стороннее поле в окружающем пространстве и нейтрализуется с спиновым зарядом электрона в последовательной цепи совместного стороннего поля. Элементарный кулоновский заряд в протоне удерживает электрон выхода на ближайшем расстоянии.

Спиновой заряд протона (справа в ядре лёгкого гелия), равный суммарно тридцати семи спиновым зарядам в электронах, инду-



цирует стороннее поле в окружающем пространстве. Один спиновой заряд протона нейтрализуется совместно с спиновым зарядом электрона, и 36 спиновых зарядов в протоне остаются свободными в индуцированном стороннем поле.

Силы притяжения между элементарными кулоновскими зарядами в двух электронах и в двух запертых позитронах протонов удерживают электроны на минимальном расстоянии, как и в ядре нормального коллапсара гелия (рис. 74).

Преобразование ядер коллапсара лёгкого гелия и коллапсара трития в ядра нормального гелия из четырёх нуклонов и в другие структуры атомов и молекул связано с активностью свободных спиновых зарядов в протонах ядра.

В альфа-коллапсарах, ядрах гелия активность свободных спиновых зарядов в двух протонах и в двух электронах нейтрализована в единой завершённой плоскости нейтрализации спиновых и кулоновских зарядов (рис. 74).

Отдельные электроны и позитроны обладают свободными сторонними зарядами. В электрон-позитронных нейтрино (рис. 46,47) происходит нейтрализация потенциалов в разделённых 49 (сорок девятых) трубках, деление одного спинового элементарного заряда в гамма-нейтрино позитрона образует два элементарных кулоновских заряда противоположного знака.

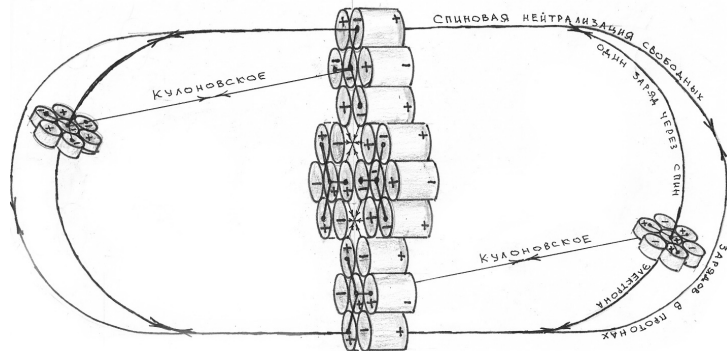


Рис. 74. Принципиальная схема завершённой плоскости нейтрализации спиновых и кулоновских зарядов протонов и электронов в коллапсаре гелия, гелиевая плоскость.

На рисунке 74 показана принципиальная электрическая схема нейтрализации спиновых зарядов протонов в замкнутом индуцированном стороннем поле атома гелия.

Векторами показано направление силового взаимодействия в электрических кулоновских полях между элементарными зарядами в протонах и электронах выхода.

На рисунке атома гелия (рис. 74) показана завершённая система нейтрализации свободных спиновых зарядов в протонах и электронах, нейтрализация элементарных кулоновских зарядов в электронах и запертых позитронах протонов.

Название «завершённая плоскость нейтрализации» идентично известной характеристике электронных слоёв в атоме. В атомной, ядерной физике считают, если внешний электронный слой атома содержит наибольшее число электронов, какое он может вместить, такой слой называют завершённым.

Добавим к формулировке завершённого слоя новые, истинные подробности:

- электроны в атомах неподвижны и существуют только в одном слое, поверхностном слое атома, и не могут превышать число восемь;
- свободные спиновые заряды протонов разделены нейтронами в структуре альфы и поэтому выстраивают структуру нейтрализации свободных зарядов в плоскости выхода спина за пределами ядра;
- свободные спиновые заряды протонов расположены в концевых альфах, на поверхности тела ядра, протоны в альфах, расположенные во внутренней структуре тела ядра, превращены в лёгкие нейтроны и нейтроны;
- один свободный спиновой заряд протона в атоме водорода равен 36 (тридцати шести) спиновым зарядам электронов и 37 (тридцати семи) спиновым зарядам электронов в ионе водорода;
- свободный спиновой заряд нейтрона в ядре дейтерия и лёгкого гелия равен остатку заряда от процесса нейтрализации с спиновым зарядом протона и составляет  $(38 - 37 = 1)$  один спиновой заряд электрона.

Напомним, в электроны один спиновой заряд в 49 (сорок девятой) элементарной разделённой трубке равен сумме спиновых элементарных зарядов, элементарные спиновые заряды – это седьмые

трубки гамма-нейтрино и состоят из двух кулоновских элементарных зарядов.

Нуклоны – это элементарные коллапсары, и поэтому ядро атома водорода необходимо называть коллапсарным ядром, например, коллапсар атома водорода, протон.

Между химическим элементом водородом и химическим элементом гелием существуют химические элементы!

В современной физике считают, порядковый номер в периодическом законе определяет кулоновский заряд ядра и химические свойства элемента. Следовательно, по данному определению между атомом водорода и атомом гелия не существует химических элементов.

Не кулоновские заряды в ядрах и электронах определяют химические свойства элементов, а свободные спиновые заряды в ядрах и структуры взаимной нейтрализации в индуцированных сторонних полях. Дейтерий и тритий – это не изотопы водорода, а лёгкий гелий – это не изотоп гелия, почему?

Суммарные спиновые заряды в ядрах дейтерия и трития не равны спиновому заряду ядра водорода, структуры гравитационных полей и структуры встроенных в гравитационные поля сторонних полей разные и, соответственно, химические свойства коллапсарных атомов разные.

Суммарный свободный спиновой заряд ядра лёгкого гелия меньше суммарного свободного спинового заряда в ядре нормального гелия, и поэтому химические свойства атома гелия и атома лёгкого гелия разные.

Свободный спиновой заряд (остаток от процесса нейтрализации с электроном выхода) протона в атоме водорода равен 36 спиновым зарядам электронов, в ядре гелия два свободных спиновых заряда, в каждом также по 36 сторонних зарядов электронов.

В ядре дейтерия (рис. 71) остаток свободного спинового заряда в нейтроне равен 1 (одному) спиновому заряду электрона. Свободный спиновой заряд электрона взаимодействует с свободным спиновым зарядом нейтрона, а кулоновское взаимодействие происходит с кулоновским зарядом в протоне.

Сторонние электрические заряды электрона и нейтрона в ядре дейтерия образуют последовательную электрическую цепь, и по-

этому потенциал стороннего поля равен двум сторонним зарядам электронов.

Сравним: в атоме водорода стороннее поле строят 36 свободных спиновых зарядов электронов, а в ядре дейтерия всего 2 сторонних заряда электрона. Совершенно разные структуры стороннего поля в атоме водорода и в атоме дейтерия. Дейтерий и тритий – это не изотопы водорода. Дейтерий и тритий – это химические элементы не полных альфа-коллапсаров.

Гравитационная масса в ядре дейтерия в два раза превышает массу ядра водорода, а ядро трития в три раза больше массы ядра водорода! Индуцированные гравитационные поля водорода, дейтерия и трития имеют существенные отличия, и поэтому структуры стороннего поля в атомах разные.

Ядро атома лёгкого гелия обладает спиновым свободным зарядом протона (36) и одним сторонним зарядом электрона в нейтроне, а в ядре гелия два свободных спиновых заряда в протонах, в каждом по 36 сторонних зарядов электронов. Лёгкий гелий не изотоп гелия, это химический элемент в неполном альфа-коллапсаре.

Водород, дейтерий, тритий, лёгкий гелий и гелий – это химические элементы коллапсаров протонов в атомах водорода, химические элементы в неполных и полных альфах (дейтерий, тритий, лёгкий гелий и гелий).

Коллапсарные химические элементы и альфа-коллапсар (рис. 68), ядро атома гелия созданы коллапсарными силами! Все другие ядра атомов химических элементов периодического закона состоят из полных и неполных коллапсарных химических элементов в структуре ядерных трубок атомов, но силы притяжения между рядами альфа-ядерные.

С ростом массы ядер атомов сторонние поля скрытых коконов в нейтральной плоскости ядерной трубки атомов (центр масс) проявляют спиновую электрическую активность, захватывают пропорциональное количество свободных нейтронов для насыщения центра масс ядра (см. рис).

Превосходство коллапсарных сил между нуклонами в альфе (см. рис 68) над ядерными силами между альфами в трубке ядра атома объясняет причины сохранения структуры альфы в экстремальных

условиях естественной радиоактивности. Превращение ядер неустойчивых изотопов одного химического элемента в ядра изотопов других химических элементов сопровождается испусканием альфа-систем, наблюдается частичное разрушение ядра, но сохраняется целостность альфа-коллапсаров.

Ядерные силы сжатия между альфами в ядрах атомов значительно слабее коллапсарных сил сжатия между нуклонами в альфе. Принципиальные отличия между коллапсарными и ядерными силами показаны на рисунке ядра атома углерода (рис. 75), проекция ядерных сил в ядре углерода показано на рисунке 76.

Каковы принципиальные отличия между коллапсарными силами сжатия и ядерными силами сжатия? Каковы причины периодического изменения свойств химических элементов в периодическом законе Д. И. Менделеева и почему необходимо вносить существенные изменения в смысловое описание периодического закона (см. стр. 282)?

Периодом в периодическом законе называют ряд химических элементов, расположенных в порядке возрастания атомных весов, начинающийся щелочным металлом (в первом периоде водородом) и оканчивающийся инертным газом.

Почему периоды содержат неодинаковое число химических элементов? Первый период включает 10, второй 8 химических элементов, третий и четвёртый периоды содержат по 18 химических элементов, пятый период – 34 элемента.

Ядра, ядерные трубки атомов построены из полных и неполных альф и свободных нейтронов насыщения центра масс. Нуклоны, входящие в структуру альф, создают подобие трубки в ядрах атомов, силы притяжения между альфами не коллапсарные, а ядерные, и потому сама трубка названа ядерной.

Нейтроны, насыщающие гравитационный центр масс, расположены на внешней стороне, в неоновом и аргоновом ядрах ядерных трубок средних и тяжёлых атомов.

В первом периоде короткой формы нового варианта периодического закона (см. стр. 282), из полных альф построены ядра гелия, бериллия (из двух альф), углерода (из трёх альф), кислорода (из четырёх альф) и неона (из пяти альф). Принципиальное постро-

ение полных альф подобно структуре ядра углерода, показано на рисунке 75.

На рисунке 75 показаны три альфы в ядре углерода. В верхней части рисунка показана развёртка ядра из трёх слоёв альф. Альфа, показанная на рисунке (б), называется гелиевой альфой и находится в среднем слое ядра углерода; альфа, показанная на рисунке (а) развёрнута относительно гелиевой оси ( $x_1$ ) на  $60^\circ$  вправо, расположена в первом, ближнем слое ядра углерода.

Альфа, показанная на рисунке (в), развёрнута относительно гелиевой оси ( $x^1$ ) на  $60^\circ$  влево, расположена в дальнем слое ядра углерода, общий вид ядра углерода показан на рисунке (г) и (д).

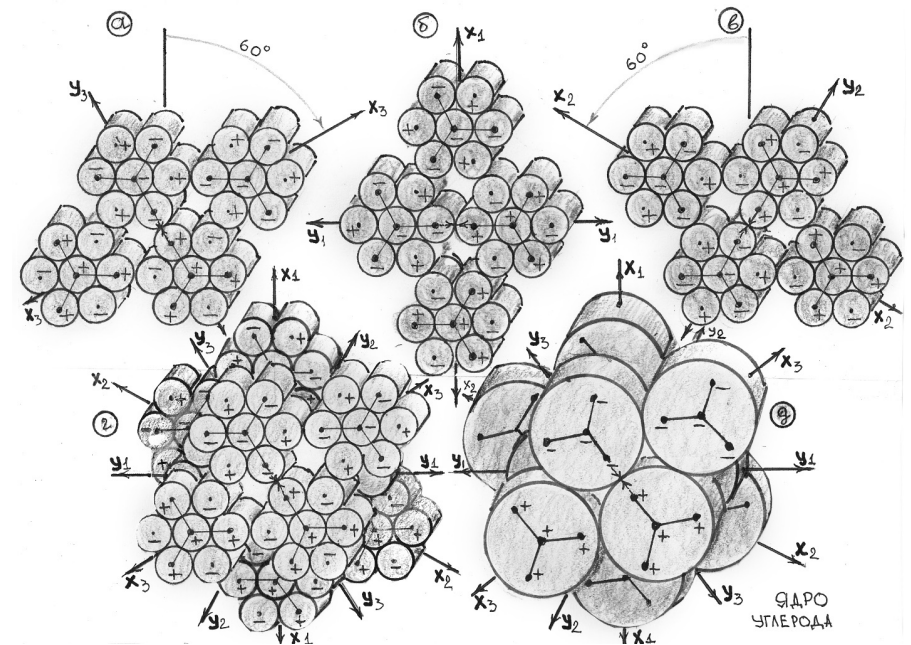


Рис. 75. Ядро углерода  $12^{(12}\text{C})$ .

Показаны три структурные альфы ядра углерода на рисунках (а,б,в), нуклоны показаны семью трубками пионов, на рисунке (г) показан общий вид ядра углерода, нуклоны показаны семью

трубками пионов и на рисунке (д) показан общий вид трубок нейтронов и протонов в альфах и в ядре углерода. Почему средняя альфа в ядре углерода, показанная на рисунке (б), называется гелиевой?

Все альфы имеют по два свободных спиновых заряда в протонах, но только одна из них обладает статусом поистине первой альфы. Гелиевая альфа первая становится внутренней частью тела ядра атома, нейтральным керном.

Ядра химических элементов с большей массой не рождаются из отдельных ядер с меньшей массой, новые альфы (кроме первой, гелиевой) не приходят готовыми в ядра, а рождаются в ядрах атомов из отдельных нуклонов постепенно и в закономерной последовательности.

Альфы имеют по две полные магнетонные трубки (рис. 68), но в ядре углерода и других атомах разворот альф на  $60^\circ$  смещает и трубки магнетонов. Магнетоны в ядре углерода частично перекрываются, поэтому образуют ступенчатую общую магнетонную трубку, ядерную магнетонную трубку. Почему альфы в ядрах атомов развёрнуты на  $60^\circ$ , образуют подобие семёрки, не выстраивают прямых образований из альф и прямых магнетонных трубок?

Альфы выстраивают подобие трубки семёрки. Силы внутренней замкнутой системы нейтрализации спиновых зарядов нейтронов и силы внешней системы нейтрализации свободных спиновых зарядов протонов в окружающем пространстве создают системное периодическое угловое смещение альф в трубках атомов.

Концевые поляризаторы магнетонов (рис. 19) в альфах, перекрываются частично (рис. 76) в общей трубке ядра углерода.

На рисунке 76 показана принципиальная основа структуры магнетонных ядерных сил, между слоями трёх альф в ядре углерода (альфы образованы коллапсарными силами). В центре (закрашено) трубки ядра углерода спины шести нейтронов (показаны звёзды нейтронов) образуют замкнутую систему нейтрализации и в окружающем пространстве, сторонние заряды нейтронов не проявляются.

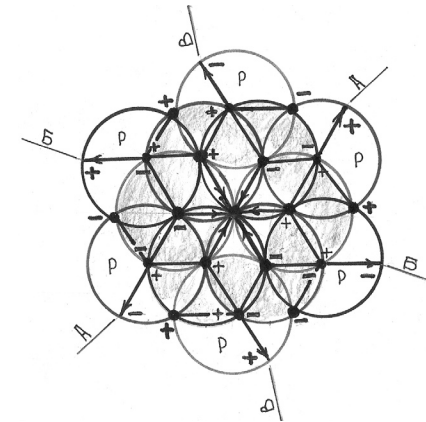


Рис. 76

Показаны ядерные силы в трубке ядра углерода и проекция магнетонов альф в общей магнетонной ядерной трубке.

Показана система нейтрализации свободных спиновых зарядов протонов через выходы в звёздах протонов. Противоположные выходы свободных спиновых зарядов протонов в трёх альфах образуют три плоскости нейтрализации (А-А, Б-Б, В-В), плоскости нетрализации смещены на  $60^\circ$ .

Структура плоскостей нейтрализации каждой альфы показана на принципиальном рисунке (рис. 74). Одна из трёх плоскостей нейтрализации свободных зарядов в ядре углерода, гелиевая, обладает свойствами завершённой плоскости нейтрализации и образует первичный нейтральный керн (кокон) в ядрах атомов. Почему?

Произошла нейтронизация (от слова нейтрон) протонов, стороннее поле свободных спиновых зарядов протонов гелиевой альфы оказалось сжатым сторонними полями концевых альф, и поэтому протоны гелиевой альфы оказались во внутренней структуре тела ядра атома и превратились в лёгкие нейтроны.

На рисунке 77 показан принцип образования из протонов гелиевой альфы лёгких нейтронов. На стороннее поле нейтрализации свободных спиновых зарядов протонов гелиевой альфы действуют силы сжатия сторонних полей концевых альф, и поэтому электроны гелиевой альфы сближаются с позитронами в протонах.



Стороннее поле нейтрализации свободных зарядов протонов и кулоновское поле гелиевой альфы оказалось под шубой индуцированных сторонних и кулоновских полей концевых альф в атоме углерода.

Не более двух концевых альф с каждой стороны трубки ядра атома, всего четыре альфы, расположенные в двух плоскостях нейтрализации свободных спиновых зарядов могут находиться на поверхности тела ядра одновременно. Другие альфы расположены во внутренней структуре тела ядра, протоны внутренних альф нейтронизованы, превратились в лёгкие нейтроны.

Гелиевая альфа в ядре углерода образует первичный нейтральный кокон (кокон). Спиновые заряды лёгких нейтронов существуют, образовали внутреннее замкнутое сжатое сферическое нейтральное стороннее поле, нейтральный кокон гелиевой альфы.

В ядре углерода расположены по одной концевой альфе в двух плоскостях нейтрализации спиновых свободных зарядов протонов, и поэтому альфы не могут создать единую, завершённую плоскость нейтрализации. Завершённые полные плоскости нейтрализации свободных спиновых зарядов протонов образуются в конце каждого периода периодического закона (см. стр. 282).

Атомы в завершённых рядах периодов периодического закона образуют новую поверхность ядра (коконе) для образования атомов следующего ряда периодического закона.

Каждая новая полная завершённая система нейтрализации атома в конце ряда периодического закона нейтрализует предыдущую систему, превращает в очередную структуру сильного или слабого коконе и сама становится поверхностью тела ядра для наслаивания новой системы нейтрализации.

Структура сильного завершённого стороннего поля образуется в завершающих атомах периодов. В атомах неона, аргона ( $Ar_{36}$ ), криптона, ксенона и радона образуются сильные структуры полного завершённого стороннего поля. Завершённые плоскости нейтрализации свободных спиновых зарядов протонов в атомах других рядов периодов не обладают сильным сторонним полем.

Каким образом происходит нейтронизация протонов в ядре атомов и образование нейтральных слоёв сфер ядра (коконе)?

Силовое противодействие сближению между одноимёнными сторонними зарядами в протоне и электроны не позволяет силам притяжения между разноимёнными кулоновскими зарядами втянуть электроны в спиновые трубки протонов, силы стороннего поля превосходят силы кулоновского поля. Поэтому происходит выход позитронов из спиновых трубок протонов и воссоединение с электронами в электрон-позитронных нейтрино. Сторонние заряды электрона, позитрона и кулоновские элементарные заряды нейтрализуются в единой системе электрон-позитронного нейтрино, не имеют силовой связи с структурами ядра и атома, выходят за пределы атома.

Выход позитрона из нейтрона в физике называется процессом образования антипротона, но в гелиевой альфе позитроны совершают выход из протонов. Парадокс, но протоны и антипротоны реально существуют в единой структуре лёгкого нейтрона!

В нуклоне, лёгком нейтроне, электрический спиновой заряд равен 36 спиновым зарядам электронов, в нормальном нейтроне находится 38 спиновых зарядов электронов.

Альфы ядра в процессе нейтронизации собственных протонов не меняют структурных свойств, продолжают существовать и свободные спиновые заряды в лёгких нейтронах. В нейтронизованных альфах отсутствуют кулоновские элементарные заряды, во внутренней структуре тела ядра атома нет кулоновского поля (см. опыт Фарадея).

В гелиевой альфе (рис. 77) произошла нейтрализация протонов – антипротонами в едином нуклоне, лёгком нейтроне, и поэтому не стало кулоновского поля, подобный процесс нейтронизации протонов происходит во всех скрытых внутренних альфах атомов.

Протонами располагают только концевые альфы ядра (не более двух концевых альф с каждой стороны трубки), и, соответственно, количество протонов и электронов в атомах не может превышать восьми протонов в четырёх концевых альфах ядра и восьми электронов в атоме, расположенных в двух плоскостях нейтрализации.

Количество электронов не зависит от порядкового номера в периодическом законе, например, в атоме неона и в атоме радона, как

и в других атомах, завершающих ряд любого периода, находится по 8 электронов.

Порядковый номер в периодической таблице (см. стр. 282) не определяет общее количество свободных спиновых зарядов в протонах и лёгких нейтронах ядер атомов, а только конкретное название атома.

Структуру стороннего поля свободных спиновых зарядов протонов на поверхности тела ядра атомов, структуру кулоновского поля и количество электронов определяют названия плоскостей нейтрализации и номера групп элементов в периодическом законе.

Структуру образования плоскостей нейтрализации и структуру образования незавершённых и завершённых плоскостей нейтрализации атомов на поверхности тела каждого атома определяют номера рядов периодов и дополнение к периодическому закону.

Структуру завершённых и незавершённых нейтральных конов в ядрах атомов определяют порядковые номера атомов в конце каждого ряда и дополнение к системе полной нейтронизации альф. Порядковые номера атомов в конце каждого периода определяют структуру полных завершённых нейтральных ядер (см. стр. 282).

Основные химические свойства элементов периодического закона определяет структура сторонних и кулоновских полей в плоскостях нейтрализации на поверхности тела ядра, нейтронизация альф и проявление рыхлости в структурах завершённых плоскостей нейтрализации сторонних полей в нейтральных коконах.

Периодические повторяющиеся свойства атомов в каждом последующем, завершающем ряду периода формируют только протонные, повторяющиеся структурно системы нейтрализации спиновых зарядов, расположенные на поверхности тела ядра. Смещение альф на  $60^\circ$  вправо и влево (рис. 75) относительно гелиевой альфы в ядре атома углерода формирует подобие трубки семёрки (рис. 76). На проекции структуры ядра углерода, в центре трубки ядра углерода, между протонами находится ядро ядерного магнетона, подобно шести лепесткам цветка на рисунке (рис. 76, в центре) проявляется ядерная магнетонная трубка.

Стороннее поле нейтрализации свободных зарядов лёгких нейтронов в ядре гелиевой альфы препятствует образованию других сторонних полей в собственной плоскости нейтрализации и противодействует образованию сильного стороннего поля в двух других плоскостях нейтрализации. На рисунке 76 плоскость (А-А) – это плоскость  $x_1$  и, соответственно, плоскости (Б-Б) и (В-В) – это плоскости  $x_2, x_3$ .

В ядре атома углерода (рис. 77) свободным зарядам протонов концевых альф нет противодействия образованию структуры сильного стороннего поля с одной стороны и существует противодействие образованию сильного стороннего поля с обратной стороны ядра, там преобладают силы стороннего поля второй концевой альфы, расположенной в другой плоскости нейтрализации.

На рисунке 77 ближняя альфа в ядре углерода силами притяжения разнополярных спиновых зарядов на малых расстояниях и силовыми линиями прямого кулоновского поля создаёт устойчивое, сильное стороннее поле с ближайшей стороны ядра углерода и противодействует (делает рыхлой) образованию сильного стороннего поля в плоскости дальней альфы.

С противоположной стороны (за ядром гелиевой альфы) стороннее поле ближней альфы неустойчивое, рыхлое, распространяется на большое расстояние от ядра и поэтому активно вступает в электрическую связь с спиновыми свободными зарядами других атомов, например, с протонами атомов водорода в молекуле метана  $\text{CH}_4$ . На рисунке 77 дальняя альфа в ядре углерода создаёт устойчивую замкнутую цепь нейтрализации свободных спиновых зарядов протонов в ближайшем пространстве и рыхлое стороннее поле за ядром (на рисунке перед ближней альфой).

Вывод: только четыре спиновых заряда в одной плоскости нейтрализации свободных спиновых зарядов протонов, расположенных с противоположных сторон гелиевой альфы, могут создавать завершённую сильную электрическую цепь коллективного стороннего поля.

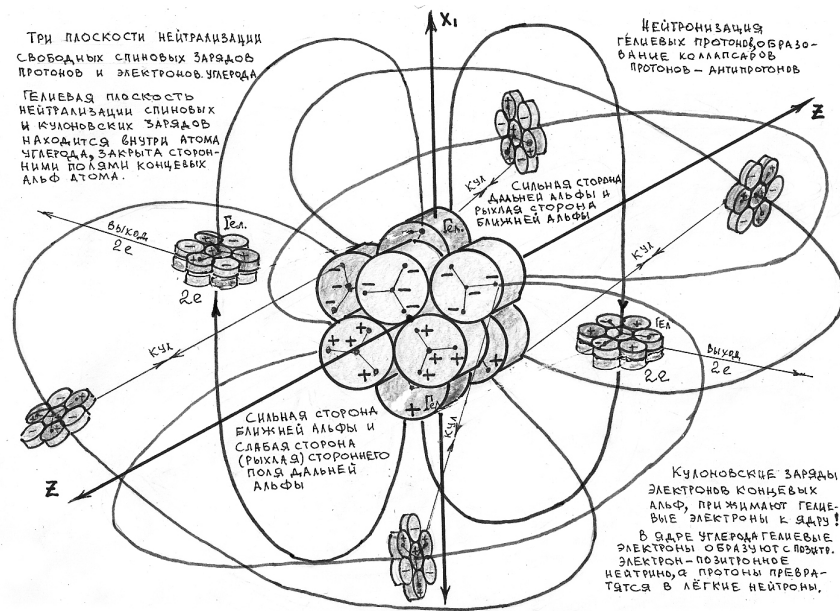


Рис. 77. Атом углерода  $^{12}\text{C}$ , показаны незавершённые плоскости нейтрализации спиновых зарядов, процесс нейтронизации протонов и образование двух электрон-позитронных нейтрино.

Плоскость нейтрализации свободных спиновых зарядов лёгких нейтронов гелиевой альфы скрыта под шубой сторонних полей сторонних зарядов протонов ближней и дальней альф атома углерода и образует нейтральный кокон в центре ядра атома углерода.

В двух открытых, незавершённых плоскостях нейтрализации свободных спиновых зарядов протонов ядра углерода не хватает по два свободных спиновых заряда протонов с противоположной стороны, в рыхлой части стороннего поля.

Гелиевая плоскость нейтрализации скрыта под силовыми линиями сторонних полей концевых альф и поэтому образует замкнутую структуру стороннего поля спиновых зарядов лёгких нейтронов в нейтральном коконе, обладает свойствами завершённого, полного стороннего поля.

Процесс превращения протонов гелиевой альфы в лёгкие нейтроны начинается и происходит реально в ядрах атомов лития, бериллия и бора, в ядре углерода показан завершающий этап нейтронизации протонов.

В ядре углерода завершается процесс образования двух незавершённых плоскостей нейтрализации свободных спиновых и кулоновских зарядов четырёх протонов и четырёх электронов, а также процесс нейтронизации гелиевых протонов (см. стр. 282).

Далее, в ядрах четырёх атомов, расположенных за углеродом в ряду периода периодического закона, происходит процесс образования двух завершённых плоскостей нейтрализации и открытого нейтрального кокона в ядре атома гелия.

Открытый завершённый нейтральный кокон в атоме гелия становится телом (поверхностью) для образования новой структуры образования и завершения плоскостей нейтрализации в атомах следующего ряда периодического закона (см. стр. 282).

В ядрах лития, бериллия, бора и углерода образовалось четыре свободных заряда протонов в двух незавершённых плоскостях нейтрализации (рис. 77), нейтронизованы гелиевые протоны и образован гелиевый нейтральный кокон.

Подобный процесс нейтронизации свободных спиновых зарядов в гелиевой плоскости происходит в третьем, четвёртом и пятом периодах периодического закона (см. вариант периодического закона, стр. 282).

В следующих за атомом углерода атомах, расположенных в периодическом законе в атомах азота, кислорода, фтора и неона, происходит образование параллельных альф в двух плоскостях нейтрализации (см. рис. 282).

Происходит завершающий этап нейтрализации свободных зарядов спинов протонов, образованных в первых четырёх атомах второго периода. В ядре атома кислорода образуется кислородная альфа (усл.) в параллельной плоскости нейтрализации бериллиевой альфы (рис. 78).

Альфы в ядре кислорода образовались в ядрах собственных химических элементов, названия соответствуют месту рождения.

Протоны и нейтроны имеют собственное название и в неполных альфах атомов, например, между углеродом и кислородом расположен протон и нейтрон в неполной альфе азота (см. стр. 282).

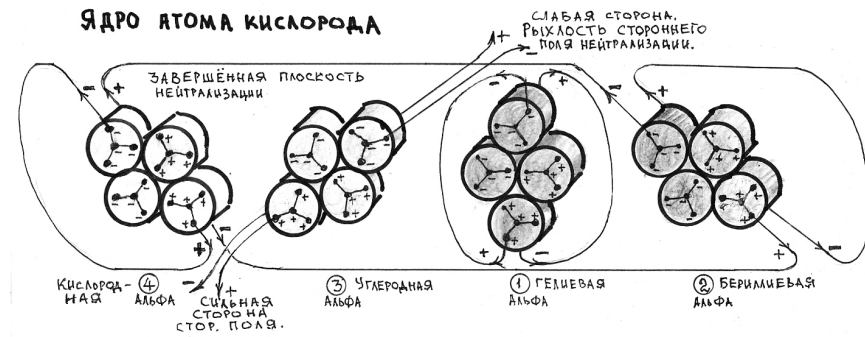


Рис. 78. Кислород 16 ( $^{16}\text{O}$ ).

Показана завершённая плоскость нейтрализации свободных спиновых зарядов протонов бериллиевой и кислородной альф. Стороннее поле углеродной альфы раскрыто (рыхлое), и поэтому суммарный спиновый заряд двух протонов проявляет агрессивную электрическую активность.

Нейтронизованная гелиевая альфа, кокон в ядре кислорода, не находится в геометрическом центре масс трубки ядра, смещена, и, соответственно, смещён центр начала системы противоположностей. Началом системы противоположностей в ядрах атомов называется геометрический центр первой, гелиевой альфы, где координатные оси общей системы ядра атома ( $x$ ,  $y$ ,  $z$ ) пересекаются.

Места расположения шести электронов и взаимодействие в общей системе нейтрализации спиновых и кулоновских зарядов на поверхности ядра и в атоме кислорода не показаны, принципиальное расположение электронов в атомах и взаимодействие с протонами показано на рисунке 77.

Альфы в структуре ядра кислорода помечены цифрами и названиями по месту полного рождения альф в атомах. Направления выхода свободных спиновых зарядов протонов в альфе кислорода (четвёртая альфа) параллельны направлениям выхода спиновых зарядов

бериллиевой альфы (вторая альфа) и образуют единую завершённую плоскость нейтрализации.

На рисунке 78 показан нейтральный кокон гелиевой альфы, стороннее поле лёгких нейтронов гелиевой альфы препятствует образованию других альф в гелиевой плоскости нейтрализации (ось  $x_1$ , плоскость А-А). По причине противодействия стороннего поля в плоскости нейтрализации гелиевой альфы образование новых альф в ядрах второго и третьего периода происходит только в двух свободных плоскостях нейтрализации (оси  $x_2, x_3$ , плоскости Б-Б, В-В).

Завершённая плоскость нейтрализации в атоме кислорода (рис. 78) между спиновыми зарядами протонов бериллиевой и кислородной альф показана на рисунке тремя частями, но реально составляет единое целое (см. рис. 74).

Последовательная замкнутая электрическая цепь в плоскости нейтрализации стороннего поля создаёт суммарный потенциал электродвижущих сил (ЭДС) в цепи свободных спиновых зарядов протонов. Сокращённое определение, ЭДС (заглавными буквами и без точек) – это электродвижущая сила сторонних зарядов, например, свободных зарядов протонов, в отличие от принятого сокращённого э.д.с. источников тока.

Стороннее электрическое поле существует в различных источниках тока, например, в химических генераторах тока – гальванических элементах. Соединение элементов, при котором положительный полюс каждого предыдущего элемента соединяется с отрицательным полюсом последующего, называется последовательным, а группа соединённых элементов называется батареей элементов.

Таким образом, при последовательном соединении э.д.с. зарядов батареи равна сумме э.д.с. зарядов отдельных источников, составляющих батарею. Природа существующего стороннего поля разделённых зарядов в источниках тока и природа сторонних зарядов в спиновых трубках протонов альф одина, замкнутые электрические цепи образуют силовые индуцированные линии в микропространствах атомов и микропространствах между атомами в кристаллических решётках проводников.

В завершённой плоскости нейтрализации свободных спиновых зарядов в атоме кислорода последовательно расположены свобод-



ные заряды четырёх протонов, соединены электрическими силовыми линиями индуцированного стороннего поля в единой плоскости нейтрализации. Спиновые заряды электронов, ЭДС свободных сторонних зарядов электронов, расположены в параллельных цепях нейтрализации спиновых зарядов протонов (см. рис. 74).

Батарея ЭДС стороннего поля в завершённой плоскости нейтрализации кислорода равна сумме ЭДС четырёх спиновых зарядов протонов. Как проявляется электродвижущая сила (ЭДС) в замкнутой завершённой плоскости нейтрализации и в незавершённой плоскости нейтрализации?

Силы притяжения между разнополярными спиновыми зарядами в замкнутой последовательной цепи стороннего поля в завершённой плоскости нейтрализации атома кислорода образуют закрытую систему стороннего поля.

Третья, углеродная альфа в ядре атома кислорода, не имеет полной завершённой структуры нейтрализации стороннего поля, и поэтому два спиновых свободных заряда в углеродной альфе проявляют электрическую активность в направлении рыхлой, раскрытой стороны стороннего поля. На рисунке 78 показана сильная сторона и раскрытая (рыхлая) сторона стороннего поля третьей, углеродной альфы.

Потенциал, ЭДС стороннего поля углеродной альфы в ядре кислорода, равен сумме потенциалов свободных зарядов двух протонов, и поэтому атомы кислорода обладают повышенной электрической агрессивностью.

Агрессивность химических элементов зависит не только от суммарного заряда в последовательной цепи нейтрализации, но и от степени раскрытости (рыхлости) незавершённого стороннего поля.

Сравним, в атоме углерода ЭДС сторонних зарядов концевых альф равна также сумме свободных зарядов двух протонов, но степень раскрытости (рыхлости) стороннего поля меньше, чем у атома кислорода, почему?

В атоме кислорода образуется первая завершённая, сильная плоскость нейтрализации спиновых свободных зарядов в протонах бериллиевой и кислородной альф, силы противодействия сильного стороннего поля смещают слабое, рыхлое поле свободных зарядов протонов углеродной альфы на большее расстояние от ядра, про-

исходит агрессивное раскрытие спина в незавершённой плоскости нейтрализации.

Полная, завершённая нейтрализация свободных спиновых зарядов протонов в углеродной альфе ядра кислорода происходит в ядре атома неона (рис 81). Завершённые плоскости нейтрализации свободных спиновых зарядов образуются не только в атомах, но и в ядрах простых и сложных молекул.

На принципиальном рисунке 79 два атома кислорода образуют завершённую плоскость нейтрализации в ядре и молекуле кислорода  $O_2$ . Рыхлые части стороннего поля атомов кислорода образуют коллективную замкнутую сильную структуру стороннего поля в молекуле кислорода.

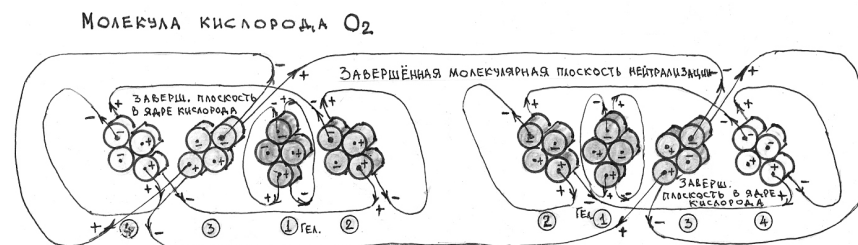


Рис. 79. Завершённая плоскость нейтрализации в молекуле кислорода.

Направление выходов свободных спиновых зарядов протонов в углеродных альфах атомов кислорода образуют единую плоскость нейтрализации, заряды протонов расположены в последовательной, замкнутой электрической цепи стороннего поля молекулы кислорода.

Свободные спиновые заряды протонов, расположенные в кислородных альфах ядер атомов, образуют совместную плоскость нейтрализации в молекуле кислорода.

Заряды протонов углеродных альф в ядрах атомов кислорода образуют замкнутую последовательную электрическую цепь нейтрализации в молекуле. Расстояния между ядрами атомов кислорода большие, молекулярные, и по этой причине стороннее поле в плоскости нейтрализации между ядрами атомов кислорода не обладает силовыми свойствами сторонних полей в атомах.

Два атома кислорода рыхлыми сторонами стороннего поля углеродных альф образуют завершённую молекулярную плоскость нейтрализации свободных спиновых зарядов.

Суммарный заряд молекулярного стороннего поля в плоскости нейтрализации углеродных альф в ядрах атомов кислорода равен сумме свободных спиновых зарядов четырёх протонов.

Большие (молекулярные) расстояния между зарядами, в плоскости молекулярной нейтрализации спиновых свободных зарядов протонов определяют силы притяжения между атомами кислорода.

В особых условиях синтезирования три атома кислорода образуют завершённую плоскость нейтрализации в молекуле озона  $O_3$ . На рисунке 80 показана принципиальная электрическая схема образования молекулы озона.

В электрической цепи молекулярной нейтрализации свободных спиновых зарядов протонов последовательно взаимодействуют 6 (шесть) зарядов протонов, и поэтому потенциал стороннего поля в завершённой плоскости молекулы озона равен сумме шести свободных зарядов протонов.

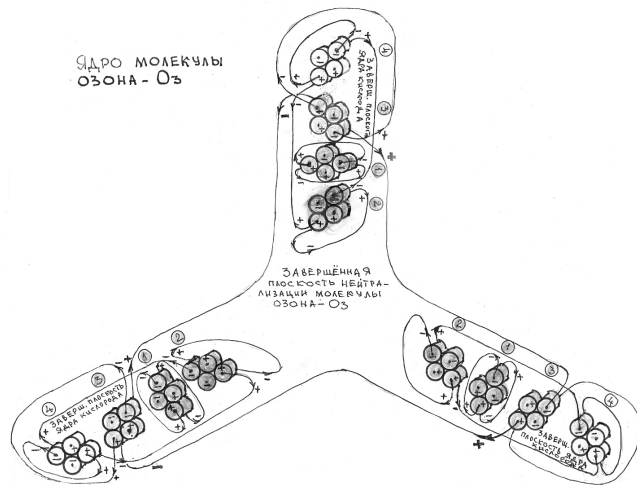


Рис. 80. Завершённая плоскость нейтрализации в молекуле озона. Рыхлые стороны сторонних полей трёх атомов кислорода образовали сильную молекулярную плоскость нейтрализации в коллективном стороннем поле.

Силы притяжения между тремя ядрами атомов кислорода в ядре молекулы озона  $O_3$  превосходят силы притяжения между двумя ядрами кислорода в ядре молекулы кислорода  $O_2$ . Для синтезирования молекул озона  $O_3$  из трёх атомов кислорода необходимо преодолеть силы отталкивания между сторонними полями атомов в завершённых плоскостях нейтрализации и силы отталкивания между гравитационными сферами в волнах сжатия и разряжения.

В сильном электрическом (электромагнитном) поле происходит силовое сближение трёх атомов кислорода рыхлыми (открытыми) частями стороннего поля, ориентирование плоскостей в единой молекулярной плоскости нейтрализации и удержание атомов на малых расстояниях до момента стабилизации сил в завершённом стороннем поле озона.

Структура молекулы озона неустойчива и может длительно сохраняться только в разряженных пространствах озонового слоя атмосферы Земли. В обычных условиях озон проявляет свойства более сильного окислителя, чем кислород, и разрушается на молекулы обычного кислорода.

Стороннее электрическое поле в завершённой молекулярной плоскости нейтрализации молекулы озона обладает большим суммарным потенциалом, равным сумме 6 (шести) свободных зарядов протонов и при раскрытии спина в плоскости молекулярной нейтрализации ЭДС суммарного заряда производит разрушающее действие на структуру сторонних полей других молекул в окружающем пространстве.

Сильное стороннее поле в плоскости молекулярной нейтрализации, плотность индуцированных частиц и особая структура взаимодействия трёх атомов в молекуле озона (рис. 80) противодействуют проникновению ультрафиолетового излучения солнца. Завершённая плоскость молекулярной нейтрализации спиновых свободных зарядов в молекуле озона показана на рисунке 80 и состоит из четырёх частей, но реально это единая плоскость нейтрализации.

Полными, завершёнными плоскостями нейтрализации свободных спиновых зарядов протонов обладает атом неона. Атом неона завершает 1 (первый) ряд из десяти атомов первого периода периодического закона, подобное образование альф в двух плоскостях

нейтрализации свободных спиновых зарядов протонов происходит и в следующем ряду второго периода (стр. 282).

На принципиальном рисунке 81 показано угловое смещение альф и плоскостей нейтрализации в ядре атома неона относительно гелиевой альфы на  $60^\circ$ .

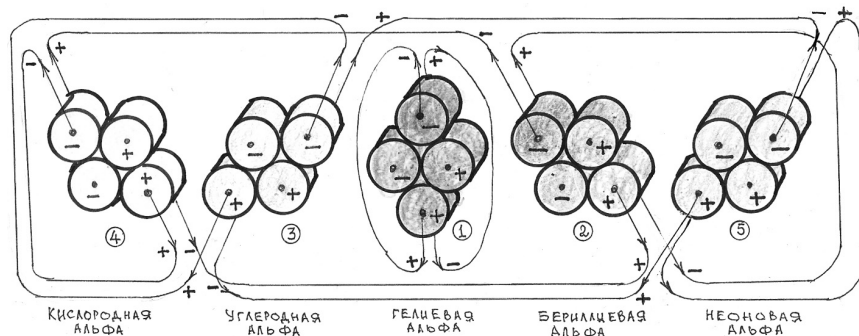


Рис. 81

Кислородная (4) и углеродная (3) альфы, расположены перед гелиевой альфой, а бериллиевая (2) и неоновая (5) альфы расположены за гелиевой альфой ядра неона (см. стр. 282).

Бериллиевая и кислородная альфы в ядре неона находятся в одной плоскости нейтрализации, а углеродная и неоновая альфы расположены в другой плоскости нейтрализации, смещённые относительно гелиевой плоскости на  $60^\circ$ .

Свободные спиновые заряды протонов в неоновой альфе ядра атома неона образуют завершённую плоскость нейтрализации совместно с свободными спиновыми зарядами протонов углеродной альфы.

Завершённые две плоскости нейтрализации свободных спиновых зарядов протонов образуют сильную структуру нейтрального стороннего поля в неоновом нейтральном коконе, на который наслаиваются индуцированные сторонние поля атомов второго периода периодического закона.

Между атомом кислорода и атомом неона в таблице периодического закона (см. рис. 282) расположен активный атом фтора, каковы причины электрической агрессивности атомов фтора?

В атоме фтора три свободных спиновых заряда протонов расположены в незавершённой плоскости нейтрализации, суммарная ЭДС трёх спиновых зарядов протонов создаёт раскрытое, рыхлое стороннее поле.

Сравним, в атоме кислорода только два спиновых свободных заряда углеродной альфы в последовательной цепи нейтрализации проявляют электрическую активность в рыхлой части стороннего поля. Три свободных спиновых заряда в последовательной электрической цепи нейтрализации в атоме фтора проявляют большую электрическую активность в рыхлой части стороннего поля плоскости нейтрализации, чем два свободных спиновых заряда в атоме кислорода.

Образование альф в атомах второго периода (см. на стр. 282) происходит в двух плоскостях нейтрализации, бериллиевой и углеродной, стороннее поле в ядре гелиевой альфы препятствует образованию альф в гелиевой плоскости нейтрализации.

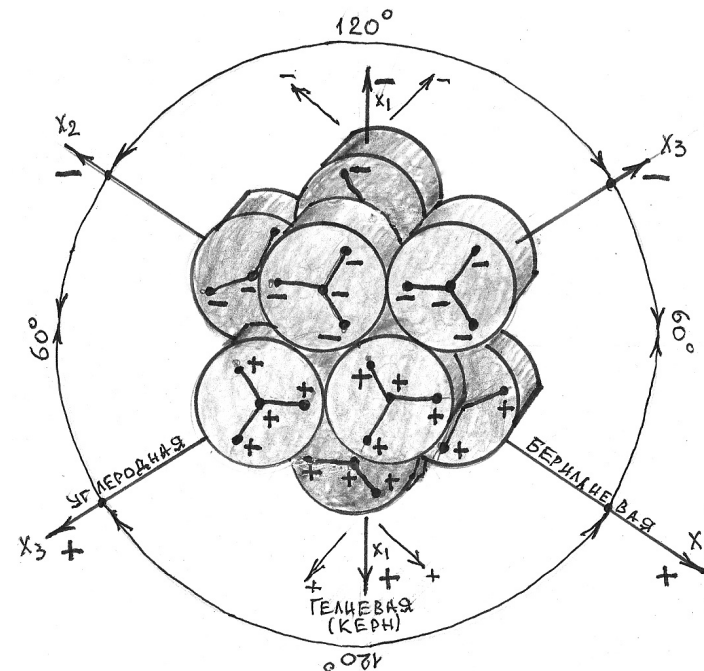


Рис. 82

Силы противодействия между однополярными свободными спиновыми зарядами в индуцированных полях трёх плоскостей нейтрализации показаны на рисунке 82.

На рисунке 82 показано силовое влияние спиновых зарядов лёгких нейтронов гелиевой альфы в коконе ядра углерода, стороннее поле препятствует образованию других альф в собственной плоскости нейтрализации.

Простая схема построения альф в ядре углерода удобна для смыслового описания причин, препятствующих образованию других альф в гелиевой плоскости нейтрализации.

На рисунке 82 однополярные свободные спиновые заряды трёх альф в ядре углерода образуют две однополярные индуцированные зоны (вверху и внизу на рисунке), блоки однополярных зарядов.

Почему направления выходов спинов протонов концевых альф в ядре углерода и заряды спинов лёгких нейтронов гелиевой альфы образуют однополярные зоны противодействия в плоскостях нейтрализации, не логическую форму зарядового построения?

Если развернуть гелиевую альфу на  $180^\circ$ , показанную на рисунке 82, заряды спинов противоположного знака будут чередоваться и не будут создавать однополярных зон противодействия в стороннем поле.

Однополярные заряды выходов спинов протонов концевых альф и лёгких нейтронов гелиевой альфы создают силы противодействия смещению альф на  $60^\circ$  относительно гелиевой альфы, следовательно, существуют преобладающие электрические силы углового смещения альф во внутренней структуре ядра углерода между спиновыми зарядами нейтронов.

Спиновые заряды нейтронов создают собственную систему нейтрализации через непосредственный контакт, а спиновые заряды протонов взаимодействуют через индуцированные сторонние поля на расстоянии. Силовая электрическая замкнутая цепь нейтрализации свободных зарядов нейтронов создаёт идеальную закрытую систему нейтрализации.

Силы притяжения между разнополярными спиновыми зарядами, расположенными в звёздах нейтронов (блоки однополярных

зарядов), превосходят силы притяжения между разнополярными свободными зарядами протонов на поверхности ядра.

Силовая структура нейтрализации спиновых зарядов нейтронов определяет структуру деформированного стороннего поля на поверхности ядра между спиновыми зарядами протонов.

Заряды в однополярных блоках звёзд нейтронов создают силы смещения альф на  $60^\circ$  в ядерной трубке атома, заряды в однополярных блоках звёзд протонов создают противодействие смещению.

В ядрах атомов образуется деформированная система сил противодействия между однополярными спиновыми зарядами протонов (лёгких нейтронов) альф на поверхности трубки ядра и идеальная система нейтрализации спиновых зарядов нейтронов, подробное описание дано в дополнении.

Для наглядного изучения системы нейтрализации спиновых зарядов нейтронов и структуры сил противодействия на поверхности ядра между спиновыми свободными зарядами протонов (лёгких нейтронов) удобно использовать модель ядра. Модели альф, образующих трубки ядер атомов, легко изготовить, например, из картона, нанести графически звёзды, знаки полярности спиновых зарядов и использовать как наглядное пособие при изучении электрических цепей взаимодействия.

Структура стороннего поля гелиевой альфы, нейтральный кокон, обладает максимальной плотностью индуцированных частиц субстанции и силовыми свойствами в ядре углерода, почему?

Индуцированное стороннее поле гелиевой альфы расположено между двумя концевыми альфами в ядре углерода, а это кратчайший путь огибания силовых линий в замкнутом стороннем поле. Сравним. Например, в ядре атома неона стороннему полю гелиевой альфы необходимо огибать по две альфы с каждой стороны трубки, а в атоме аргона  $^{36}\text{Ar}$  необходимо огибать силовыми линиями стороннего поля по четыре альфы с каждой стороны.

Растёт длина ядерной трубки в атомах, следовательно, слабеют силы притяжения в замкнутом нейтральном стороннем поле гелиевой альфы, и в ядре атома железа происходит полный разрыв силовой структуры замкнутого стороннего поля гелиевой альфы.



Заряды спинов лёгких нейтронов гелиевой альфы становятся открытыми и проявляют электрическую агрессивность в поперечной плоскости ядра!

В ядрах, предшествующих ядру атома железа, наблюдается процесс раскрытия, проявления свободных спиновых зарядов лёгких нейтронов гелиевой альфы. В ядрах атомов ванадия, хрома и марганца наблюдаются отклонения от периодически повторяющихся свойств, например, атом марганца обладает свойствами чуждыми галогенам, расположенным в шестой группе элементов периодического закона.

В трубках ядер атомов раскрытые, рыхлые сторонние поля свободных зарядов протонов и лёгких нейтронов вступают в силовое взаимодействие с свободными спиновыми зарядами в параллельных альфах, расположенных с противоположной стороны трубки ядра. Например, в ядре атома неона (рис. 81), кислородная альфа и бериллиевая альфа параллельны в одной плоскости нейтрализации, а углеродная и неоновая альфы параллельны в другой плоскости нейтрализации.

Раскрытые спиновые заряды лёгких нейтронов гелиевой альфы разделены, не имеют непосредственного контакта в структуре альфы и поэтому притягивают нуклоны из окружающего пространства для совместной нейтрализации (см. рис. 83).

В ядре какого атома возможен процесс завершения нейтрализации свободных спиновых зарядов лёгких нейтронов в гелиевой альфе через захват нейтронов (нуклонов) из окружающего пространства?

В атомах кобальта и никеля образуется новая альфа в гелиевой плоскости нейтрализации, следовательно, стороннее поле гелиевой альфы уже не препятствует, нейтрализовано нейтронами из окружающего пространства (см. стр. 282).

Предположительно, в атоме железа произошла полная нейтрализация свободных спиновых зарядов лёгких нейтронов, спиновыми зарядами нейтронов из окружающего пространства, и поэтому в гелиевой плоскости нейтрализации не стало препятствия для образования новой альфы в атомах кобальта и никеля.

Существенные изменения во внутренней структуре ядра атома железа повлияли на химические свойства элемента, вместо атома благородного газа в конце ряда, подобного атомам неона и аргона, образовался атом металла железа, обладающий выраженными ферромагнитными свойствами, почему?

Большие расстояния до концов трубки в ядре атома железа не позволяют активно проявляться зарядам гелиевой альфы на концах ядерной трубки, и поэтому спиновые заряды лёгких нейтронов проявляют электрическую агрессивность в ближайшем пространстве, а это поперечная плоскость в центре трубки.

В трубке ядра атома железа находятся 13 полных альф, гелиевая альфа расположена в центре, следовательно, стороннее поле лёгких нейтронов гелиевой альфы не может огибать по шесть альф с каждой стороны и раскрывается в поперечном направлении.

Разрушается скрытый гелиевый нейтральный кокон, спиновые заряды лёгких нейтронов в гелиевой альфе проявляют электрическую агрессивность в поперечной плоскости и притягивают свободные нейтроны из окружающего пространства.

Нейтрализация открывшихся свободных спиновых зарядов лёгких нейтронов возможна через захват нейтронов (протонов) из окружающего пространства и изменение внутренней и внешней структуры в гелиевом керне ядра и атоме железа. Окружающее пространство геометрического центра ядра атома железа – это индуцированное нейтронное пространство.

Протоны неоновой кокона и протоны аргоновой кокона превращены в лёгкие нейтроны, отсутствуют кулоновские поля в нейтрализованных коконах, но продолжают существовать свободные спиновые заряды в лёгких нейтронах и закрытые системы нейтрализации в плоскостях нейтрализации. В керне гелиевой альфы происходит неполная нейтрализация свободных спиновых зарядов лёгких нейтронов спиновыми зарядами нейтронов из окружающего пространства, почему?

Плотность индуцированных частиц субстанции в структуре индуцированных сфер гравитационного поля в центре масс ядерной трубки атома железа определяет свойства нейтронного простран-

ства. В ядре атома железа существует нейтронное пространство, образованное гелиевым керном, неоновым нейтральным коконом и аргоновым нейтральным коконом.

Под шубой нейтральных аргонного и неоновых коконов активно проявились свободные спиновые заряды лёгких нейтронов гелиевой альфы, следовательно, для нейтрализации спиновых гелиевых зарядов под нейтральную шубу могут проникать только нейтроны (лёгкие нейтроны).

Конечный процесс нейтрализации гелиевых свободных спиновых зарядов в альфе захватом нейтронов из окружающего пространства показан на рисунке 83. Силы притяжения между разнополярными спиновыми зарядами в лёгких нейтронах и нейтронах в окружающем пространстве втягивают под нейтральную шубу ядра атома железа полные нейтроны.

Лёгкие нейтроны расположены ближе к индуцированному центру масс, и поэтому нейтроны, захваченные силами взаимного притяжения из окружающего пространства, передают из собственных спиновых трубок по одному электрону и позитрону в спиновые трубки лёгких нейтронов. Лёгкие нейтроны становятся полными, нормальными нейтронами, а нейтроны, захваченные из окружающего пространства, становятся лёгкими нейтронами (рис. 83). Возможен захват из окружающего пространства протонов, в начале нейтрализуется собственный кулоновский заряд протона втягиванием электрона в спиновую трубку, протон превращается в нейтрон.

Возможен вариант, существует малая вероятность захвата лёгкого нейтрона в естественных условиях, когда протон лишается позитрона и становится лёгким нейтроном. Нейтрализация свободных спиновых зарядов лёгких нейтронов в гелиевой альфе спиновыми зарядами лёгких нейтронов, захваченных из окружающего пространства, может происходить в искусственных условиях. Например, известная чудесная железная храмовая колонна в Индии не ржавеет и не окисляется, изготовлена искусственным путём через полную нейтрализацию свободных спиновых зарядов в усиленной гелиевой альфе.

В естественных условиях не происходит полной нейтрализации свободных спиновых зарядов гелиевой альфы, остаются два электрон-позитронных спиновых заряда (четыре спиновых заряда нейтральных электронов) свободными, проявляют активную электрическую агрессивность.

Современное производство стали и чугуна основано на использовании естественных атомов железа, обладающих свободными спиновыми зарядами в усиленной гелиевой альфе.

Для производства нейтрализованного железа с уникальными свойствами нейтральных атомов, подобных атомам благородных газов, необходимо вернуть процесс синтеза атомов железа в исходное состояние. Необходимо освободить гелиевый керн атома железа от полных нейтронов, для этого необходимо вернуть гелиевую альфу в исходное состояние и затем произвести полную нейтрализацию свободных зарядов в гелиевой альфе свободными спиновыми зарядами лёгких нейтронов (протонов), захваченных из окружающего пространства.

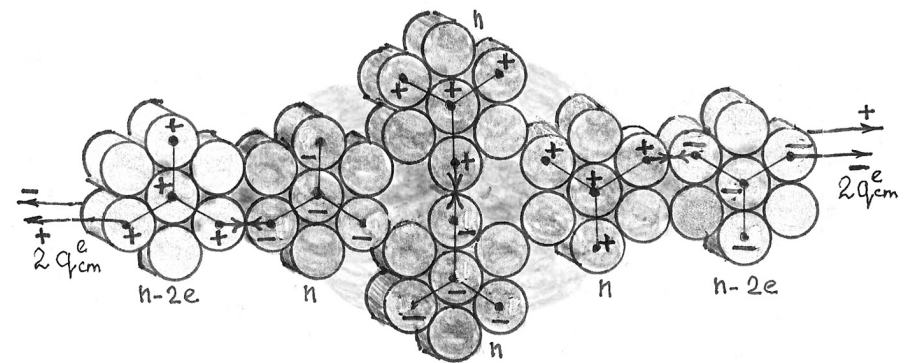


Рис. 83

На рисунке показана принципиальная схема нейтрализации свободных спиновых зарядов лёгких нейтронов гелиевой альфы в ядре атома железа.

Нейтроны, захваченные из окружающего пространства вступили в непосредственный спиновой контакт с лёгкими нейтро-

нами гелиевой альфы и превратились сами в лёгкие нейтроны.

Образовались новые свободные сторонние заряды с каждой стороны усиленной нейтронной гелиевой альфы, равные двум сторонним зарядам нейтральных электронов или одному спиновому заряду электрон-позитронного нейтрино, всего четыре спиновых заряда нейтральных электронов.

В нейтроне, захваченном из окружающего пространства, спиновой заряд равен 38 спиновым зарядам нейтральных электронов, а в лёгком нейтроне имеется 36 спиновых зарядов нейтральных электронов, следовательно  $(38 - 36 = 2)$ , два спиновых заряда электронов с каждой стороны нейтронной усиленной гелиевой альфы исходят от нейтронов захвата. Избыточные, свободные спиновые заряды полных нейтронов гелиевой альфы распространяются в пространство через превращённые, лёгкие нейтроны (рис. 83).

Образовались новые свободные спиновые заряды в усиленной нейтронной гелиевой альфе. Свободные спиновые заряды нейтронной гелиевой альфы образуют системы нейтрализации через взаимодействие с свободными спиновыми раскрытыми (рыхлыми) зарядами в других атомах и структурах молекул.

Как взаимодействуют новые свободные сторонние заряды нейтронной усиленной гелиевой альфы с спиновыми зарядами протонов в концевых альфах ядра?

Атом железа расположен в конце ряда периодического закона и поэтому должен обладать двумя завершёнными плоскостями нейтрализации спиновых зарядов протонов, подобно атомам благородных газов, но процессу полной нейтрализации кокона железа препятствуют раскрытые спиновые заряды в нейтронизованном ядре усиленной гелиевой альфы.

Свободные заряды нейтронных гелиевых альф нейтрализуются в двух замкнутых соленоидных плоскостях нейтрализации между ближайшими атомами железа.

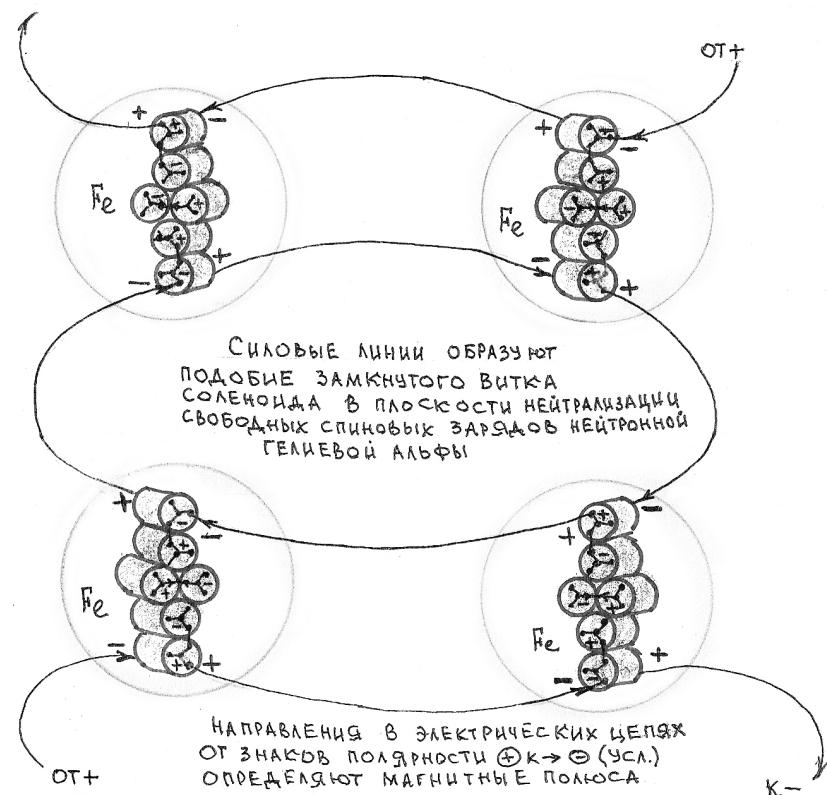


Рис. 84

Показана принципиальная возможная схема нейтрализации спиновых свободных зарядов гелиевых нейтронных альф в четырёх атомах железа.

На рисунке показаны только нейтронные альфы в атомах железа, силовые линии стороннего поля образуют соленоидную окружность, подобие витка соленоида на площади электрического замкнутого контура нейтрализации.

Спиновые свободные заряды нейтронных гелиевых альф образуют соленоидные системы нейтрализации между ближайшими атомами железа, первичные магнитные домены в пространстве между атомами.

Свободные спиновые заряды протонов в двух концевых альфах с каждой стороны трубки ядра атома железа стремятся создать две завершённые плоскости нейтрализации, подобные индуцированным плоскостям нейтрализации в атомах благородных газов (рис. 85). Активная электрическая агрессивность свободных спиновых зарядов в нейтронной усиленной гелиевой альфе, в центре трубки ядра атома железа противодействует образованию сильной структуры в завершённых плоскостях нейтрализации на поверхности ядра отдельного атома железа, поэтому спиновые заряды протонов образуют совместные соленоидные системы нейтрализации между ближайшими атомами в кристаллическом теле ферромагнетиков.

Остаток свободных спиновых зарядов от нейтрализации спиновых зарядов лёгких нейтронов спиновыми зарядами нейтронов, захваченных из окружающего пространства, равен четырём сторонним зарядам нейтральных электронов.

Спиновой свободный заряд ядра атома железа равен 24 сторонним зарядам протонов (лёгких нейтронов) и двум сторонним зарядам электрон-позитронного нейтрино или 4 спиновым зарядам нейтральных электронов в нейтронной усиленной гелиевой альфе.

Спиновые заряды лёгких нейтронов неоновой и аргоновой коконов в ядре атома железа содержат 16 свободных спиновых зарядов, по 36 спиновых зарядов электронов в каждом лёгком нейтроне, всего  $(16 \times 36 = 576)$  спиновых зарядов электронов.

Спиновые заряды протонов концевых альфа ядра атома железа содержат 8 свободных спиновых зарядов, по 37 спиновых зарядов электронов в каждом, всего  $(8 \times 37 = 296)$  и 8 спиновых зарядов находятся в восьми электронах электронной оболочки.

Спиновые заряды нейтронной усиленной гелиевой альфы заряда электрона содержат два спиновых заряда, в каждом по два сторонних заряда электрона всего  $(2 \times 2 = 4)$  сторонних зарядов электронов.

Итого, свободный заряд атома железа равен  $(576 + 296 + 8 + 4 = 884)$  спиновым зарядам электронов. Возникает вопрос, как отражать общий свободный спиновой заряд атома в таблице периодического закона (см. стр 282)?

На поверхности ядра атома железа находятся всего восемь протонов, в концевых альфах, расположенных в двух завершённых плоскостях нейтрализации и, соответственно, в двух плоскостях нейтрализации, расположены восемь электронов, по четыре электрона в каждой плоскости.

Кулоновские электрические поля между положительными элементарными кулоновскими зарядами в заборных позитронах протонов и отрицательными элементарными кулоновскими зарядами в электронах расположены в структурах сторонних полей двух плоскостей нейтрализации.

Между кулоновскими однополярными элементарными зарядами электронов образуется противодействие в пространстве каждой плоскости нейтрализации и между электронами в двух плоскостях нейтрализации. Взаимное противодействие однополярных элементарных кулоновских зарядов электронов в атоме железа образует форму куба. В вершинах электронного куба расположены неподвижные электроны атома железа.

Порядковые номера периодического закона не отражают количество кулоновских зарядов в ядрах атомов, например у атома железа 26 номер в периодическом законе, но протонов всего восемь и электронов восемь, а 27 номер периодического закона принадлежит атому кобальта, но у него имеется всего один протон и соответственно один электрон.

В периодическом законе происходят существенные изменения и в количестве свободных спиновых зарядов в атомах, рост массы ядер атомов сопровождается переходом сторонних свободных зарядов в структуру зависимых сторонних зарядов.

Общее количество спиновых зарядов в нуклонах ядер атомов изменяется незначительно, процесс нейтрализации кулоновских зарядов протонов в завершённых коконах сопровождается выходом электрон-позитронных нейтрино (электронов и позитронов) за пределы атомов.

Значительно изменяется количество свободных спиновых зарядов и количество зависимых спиновых зарядов в ядрах средних и тяжёлых атомов в результате процесса нейтрализации спиновых свободных зарядов в лёгких нейтронах.





ное скопление, состоящее из двух индуцированных разнополярных скоплений частиц субстанции.

Опыты с железными опилками на плоскости (рис. 8б а,б) показывают раскрытие кольцевых замкнутых магнитных силовых линий вокруг витка соленоида и образование коллективных замкнутых магнитных силовых линий. Силовое влияние индуцированных магнитных нейтрино в замкнутых силовых линиях вокруг проводников с током на малые магнитные стрелки показано на рисунке (рис. 8б г).

Магнитные нейтрино, индуцированные вокруг замкнутых соленоидных силовых линий, раскрываются в плоскостях магнитных доменов и образуют замкнутые силовые линии в структуре каждой магнитной стрелки.

Магнитные нейтрино в магнитных силовых линиях вокруг проводника и магнитные нейтрино в силовых магнитных линиях магнитных стрелок образуют общую последовательную электрическую цепь нейтрализации спиновых зарядов в каждом магнитном нейтрино.

Силы притяжения между разнополярными спиновыми зарядами в каждом магнитном нейтрино и силы противодействия притяжению между однополярными зарядами определяют направления ориентирования магнитных полюсов стрелок в замкнутых силовых линиях вокруг проводника.

Силы притяжения между разнополярными зарядами в магнитных нейтрино и силы противодействия притяжению между однополярными зарядами во внешнем и внутреннем поле кристаллов изменяют электрическое сопротивление в структурах проводников, например, в висмутовой спирали для измерения напряжённости магнитного поля.

Нейтральные скопления, состоящие из двух разнополярных индуцированных скоплений частиц субстанции, расположенных вокруг замкнутых соленоидных силовых линий стороннего поля и вокруг проводников с током, названы магнитными электрическими нейтрино.

Индуцированные сторонними зарядами в замкнутых силовых линиях стороннего поля, магнитные нейтрино индуцируют собственное подобие в замкнутых силовых линиях магнитного поля. Срав-

ним. Спиновые свободные разнополярные заряды коллапсаров индуцируют разнополярные скопления частиц субстанции в стороннем электрическом поле. Замкнутые силовые линии стороннего поля начинаются и заканчиваются на выходах трубки разделённых, спиновых зарядов.

Главным отличием магнитных нейтрино, нейтральных индуцированных скоплений частиц субстанции магнитного поля от индуцированных скоплений частиц субстанции в сторонних и кулоновских полях является отсутствие начала и конца в силовых линиях магнитного поля.

Электрические линии магнитного поля не начинаются и не заканчиваются на источниках электричества, возникают вокруг замкнутых силовых линий в сторонних полях и вокруг спиновых силовых линий в проводниках с током, при размыкании электрической цепи стороннего поля разрушаются, превращаются в субстанцию вещества.

Магнитные силовые линии всегда замкнуты, не имеют начала и конца. Магнитные силовые линии производят обратное действие на сторонние поля в окружающем пространстве, например, индуцируют вихревые сторонние поля в сплошных проводниках. Индуцированные замкнутые токи электронов в сплошных проводниках называются вихревыми токами, или токами Фуко, создаются переменным вихревым магнитным полем.

Переменное вихревое магнитное поле раскрывает замкнутые сторонние электрические поля в толще проводников и создаёт общее переменное электрическое стороннее вихревое поле. В толщах сплошных проводников возникает множество замкнутых линий токов и выделяется большое количество тепла.

Индуцированные спиновыми зарядами протонов разнополярные скопления частиц субстанции в стороннем поле образуют силами взаимного притяжения замкнутые соленоидные силовые линии, например, между атомами железа. Только замкнутые силовые линии стороннего поля индуцируют разнополярные скопления частиц в магнитном нейтрино, почему?

В разомкнутой электрической цепи стороннего поля в поперечной плоскости индуцированы однополярные скопления, а в замкну-

той электрической цепи стороннего поля разнополярные скопления частиц субстанции образуют замкнутые силовые линии, имеют равный электрический потенциал и индуцируют разнополярные скопления в магнитном нейтрине. Между волнами сжатия образуются волны разрядки силами противодействия между однополярным зарядом в силовой линии.

Магнитные нейтрини имеют спиновые разделённые заряды противоположного знака. Разделённые разнополярные заряды в магнитных нейтрини силами взаимного притяжения образуют замкнутые силовые магнитные линии вокруг соленоидной силовой замкнутой линии стороннего поля.

Индукцированные, созданные разнополярные скопления в силовой замкнутой линии соленоидного контура самостоятельно индуцируют скопления, подобные собственным, но в поперечной плоскости.

Индукцированные разнополярными зарядами вторичные разнополярные скопления частиц субстанции в поперечной плоскости имеют равную массу и, соответственно, равное количество электричества противоположного знака.

Два вторичных индуцированных скопления противоположного знака силами взаимного притяжения образуют магнитное нейтрини! Электрические заряды противоположного знака в магнитном нейтрине взаимно нейтрализованы и не проявляются в окружающем пространстве, но продолжают существовать силы взаимного притяжения между спиновыми разделёнными зарядами нейтрини.

В соленоидных магнитных плоскостях нейтрализации замкнутые магнитные линии раскрываются, магнитные нейтрини на концах раскрытой магнитной силовой линии индуцируют собственное подобие в замкнутой силовой линии. Скопления разнополярных частиц субстанции в магнитных нейтрини известны как вещество электромагнитного поля.

Кулоновские сторонние поля между элементарными положительными зарядами в восьми протонах концевых альфа и элементарными отрицательными зарядами в восьми электронах атома железа взаимно нейтрализованы, ионов атомов железа во внутренней структуре кристаллических тел не существует, ионизация атомов

железа возможна только у отдельных атомов, на поверхности кристаллов и в химических соединениях.

В центре трубки ядра атома железа (рис. 85) показана нейтронная усиленная гелиевая альфа, нейтроны захваченные из окружающего пространства, нейтрализовали спиновые заряды лёгких нейтронов альфы, сами превратились в лёгкие нейтроны ( $n - 2e$ ).

От процесса нейтронизации и нейтрализации свободных спиновых зарядов осталось по два свободных спиновых заряда нейтральных электронов с каждой стороны выходов в звёздах лёгких нейтронов гелиевой альфы.

Раскрытые заряды в сторонних полях гелиевых нейтронных альфа в ядрах атомов железа, расположенных на поверхности кристаллов, активно проявляются и образуют совместные системы нейтрализации с раскрытыми спиновыми зарядами в других атомах, например, с кислородом, растворённым в воде.

Спиновые свободные заряды нейтронных гелиевых альфа в структурах кристаллов железа образуют замкнутые соленоидные системы нейтрализации (рис. 84) совместно с спиновыми свободными зарядами нейтронных гелиевых альфа других атомов.

Название «соленоидные системы нейтрализации спиновых систем нейтрализации» дано первичным магнитным доменам в углеродистых и других материалах из железа с примесями, электрические цепи нейтрализации свободных спиновых зарядов между атомами подобны виткам соленоида.

Параллельное и последовательное взаимодействие соленоидных плоскостей образует центры магнетизма в структурах твёрдых кристаллических ферромагнитных веществах, домены.

Какие силы между атомами железа и атомами в сплавах образуют структуру коллективного тела, кристаллической решётки металла, обладающей уникальными физическими свойствами?

На рисунке 85 скобками показаны неоновый и аргоновый коконы, сторонние поля свободных спиновых зарядов лёгких нейтронов альфа нейтрализованы в двух индуцированных плоскостях нейтрализации.

Спины свободных зарядов гелиевых нейтронных альфа в ядрах атомов железа антипараллельны, в магнитном поле векторные на-

правления в электрических замкнутых цепях нейтрализации спиновых зарядов могут принимать два противоположных значения.

Магнитное поле в ферромагнетиках может быть создано как проводниками с током, так и постоянными магнитами (внешними полями), а также магнитными полями в соленоидных магнитных доменах (внутреннее магнитное поле). Векторные направления в электрических цепях нейтрализации определяют полюса полярности в доменах.

Сильные сторонние поля в плоскостях нейтрализации ядра атома железа образуют нейтральные неоновый и аргоновый коконы, между плоскостями нейтрализации коконов проявляются свободные спиновые заряды нейтронной гелиевой альфы (рис. 85).

Свободные спиновые заряды протонов в концевых альфах железа создают металлическую структуру кристаллов, мощные свободные спиновые заряды протонов концевых альф создают взаимную соленоидную систему притяжения между атомами.

Атомы железа, если взять их, например, в парообразном состоянии, сами по себе диамагнитны или лишь слабо парамагнитны.

Ферромагнетизм есть свойство железа в твёрдом кристаллическом состоянии, в пространстве между атомами железа образуются соленоидные замкнутые системы нейтрализации свободных спиновых зарядов протонов в концевых альфах ядер атомов железа и соленоидные системы нейтрализации свободных спиновых зарядов нейтронных гелиевых альф.

Из парамагнитных и диамагнитных металлов можно изготовить сплавы, обладающие высокими ферромагнитными свойствами, например, сплав Гойслера, почти не уступающий по своим магнитным свойствам железу, состоит из таких слабо магнитных металлов, как медь, марганец и алюминий.

Самым веским подтверждением природы ферромагнетизма в кристаллах является то, что при достижении определённой температуры (точка Кюри) все ферромагнитные вещества теряют ферромагнитные свойства.

Всего в ядрах атома железа четыре концевые альфы (рис. 84), слева под номерами 11 и 12 альфы, образовавшиеся в атомах титана (Ti) и хрома (Cr), справа на рисунке под номерами 10 и 13 аль-

фы, образовавшиеся в ядрах атомов кальция (Ca) и железа (Fe).

В каждой альфе по два протона и соответственно ( $4 \times 2 = 8$ ) восемь спиновых зарядов, в каждом спиновом заряде протона по 37 спиновых зарядов нейтральных электронов. Кулоновские заряды протонов и кулоновские заряды неподвижных электронов в гравитационных твёрдых атома железа взаимно нейтрализованы.

В металлической структуре кристаллов между спиновыми зарядами протонов в ближайших атомах железа образуются три плоскости нейтрализации, по шесть спиновых зарядов в ближайших атомах железа образуют замкнутые соленоидные системы взаимной нейтрализации.

Два из восьми свободных спиновых заряда протонов концевых альф в ядрах атомов железа образуют силовую систему нейтрализации, например, с свободными спиновыми зарядами протонов в ядрах атомов углерода.

Мощные свободные спиновые заряды протонов в концевых альфах ядра образуют плоскости нейтрализации не в атомах железа, а между ближайшими атомами, спиновые заряды протонов в двух ближайших атомах образуют завершённую плоскость нейтрализации. Атомы железа делегируют спиновые заряды протонов концевых альф для образования общей структуры совместной нейтрализации в кристаллах, почему?

Образованию сильной структуры стороннего поля в завершённых плоскостях нейтрализации ядра атома железа препятствуют свободные спиновые заряды нейтронной гелиевой альфы, а для нейтрализации спиновых зарядов протонов между атомами железа препятствий нет.

Спиновые заряды концевых протонов раскрываются и образуют силовую систему нейтрализации между соседними атомами и сохраняют структуры спиновой нейтрализации в неоновом и аргоновом коконах. Ядро атома железа, системы нейтрализации в аргоновом и неоновом коконах защищены от внешнего силового воздействия спиновыми зарядами протонов концевых альф.

По шесть спиновых зарядов протонов концевых альф в ядрах каждого атома железа образуют парные силовые связи с шестью ближайшими атомами в осевых направлениях (x,y,z).



Шесть свободных спиновых зарядов протонов из восьми в каждом ядре атома железа образуют структуру кристаллов между атомами железа, а оставшиеся два свободных заряда протонов образуют силовую связь с атомами в параллельной структуре других атомов кристалла, например, с атомами в жёстких магнитных материалах (углеродистые, вольфрамовые, хромовые, алюминиево-никелевые и другие стали).

Силовое взаимодействие атомов железа с атомами углерода осуществляется через свободные спиновые заряды двух протонов, один атом углерода взаимодействует с двумя атомами железа и совместно образует две магнитные антипараллельные соленоидные плоскости нейтрализации.

Выходы спиновых зарядов протонов в альфах всегда имеют противоположные полярные значения, и поэтому направления магнитных полюсов в магнитных соленоидных плоскостях нейтрализации спиновых зарядов антипараллельны, расположены в противоположные стороны.

У атома углерода четыре спиновых заряда протонов, два спиновых свободных заряда протонов образуют дополнительную силовую связь между атомами железа (усилители) и два спиновых заряда образуют силовую связь с двумя соседними атомами углерода в кристаллической структуре углеродистой стали.

Атомы углерода спиновыми зарядами двух протонов образуют собственную углеродную структуру между атомами железа и двумя спиновыми зарядами протонов связаны с спиновыми зарядами двух протонов в кристаллической структуре железа.

Напомним, всего в ядре атома железа 8 (восемь) спиновых зарядов протонов, шесть спиновых зарядов протонов образуют кристаллическую структуру между атомами железа, и два оставшихся спиновых заряда протонов образуют силовую связь с протонами в ядрах углерода и других атомов.

В мягком железе оставшиеся два спиновых заряда протонов в ядрах атомов железа образуют взаимную соленоидную силовую связь между двумя атомами, в магнитном поле соленоидные плоскости, расположенные антипараллельно, разрушаются и затем образуют параллельные магнитные соленоидные плоскости.

Способность свободных соленоидных плоскостей нейтрализации при отсутствии достаточного количества атомов углерода в кристаллической структуре мягкого железа разрушаться под воздействием внешнего магнитного поля и вновь образовываться в параллельных магнитных плоскостях, объясняет причины образования сильного временного намагничивания.

Параллельная структура соленоидных магнитных плоскостей нейтрализации в мягком железе существует, пока существует внешнее магнитное индуцирование, при отсутствии силового внешнего магнитного влияния на кристаллическую структуру мягкого железа магнитные плоскости вновь взаимно нейтрализуются.

Слабый остаточный магнетизм в мягком железе, образование петли гистерезиса на графике, показывает присутствие примесей в структуре кристаллического тела или влияние других магнитных полей, например, магнитного поля Земли.

Величина напряжённости размагничивающего магнитного поля, мера прочности состояния остаточного магнетизма, коэрцитивная сила определяют свойства материалов для постоянных магнитов. Так для изготовления постоянных магнитов используют кобальтовые стали, обладающие большой коэрцитивной силой. Почему атомы кобальта между атомами железа в постоянных магнитах образуют остаточный магнетизм, создают большую коэрцитивную силу, рассмотрим предварительно на примере углеродистой стали.

Каждый атом железа связан с шестью соседними атомами железа, сам в центре из семи, расположенных по осям ( $x, y, z$ ), оставшиеся два свободных спиновых заряда образуют системы нейтрализации через промежуточное звено, например, через атомы углерода.

В атомах углерода только два спиновых заряда протонов из четырёх могут образовывать магнитные соленоидные плоскости нейтрализации между атомами железа, оставшиеся два спиновых заряда в ядре атома углерода задействованы, образуют силовую связь между атомами углерода в стали.

Сравним. Кристаллическую решётку атомов железа создают шесть свободных спиновых зарядов протонов концевых альф в ядре атома железа, а встроенную кристаллическую решётку атомов углерода в стали создают всего два спиновых заряда в ядрах ато-

мов углерода. Следовательно, встроенная кристаллическая решётка атомов углерода может перестраиваться под воздействием сил внешнего (внутреннего) поля.

Перестраиваются направления соленоидных магнитных плоскостей нейтрализации между атомами железа и между атомами углерода, происходит смещение атомов углерода под воздействием внешних и внутренних сил магнитного поля.

Не изменяется расположение атомов железа в кристаллической решётке, перемещаются только атомы углерода между атомами железа, и поэтому соленоидные магнитные плоскости занимают выгодное положение в силовом магнитном поле.

Всякого рода удары и встряхивания во время намагничивания искусственного магнита, притирание полос железа в одном направлении способствуют смещению атомов углерода в параллельные магнитные плоскости нейтрализации и получению более сильного постоянного магнита. Напротив, сотрясения готового магнита, а также резкое изменение его температуры способствуют размагничиванию постоянных магнитов, происходит обратное смещение атомов углерода в исходное состояние, и магнитные соленоидные плоскости в доменах кристаллов взаимно нейтрализуются.

В процессе изготовления постоянных магнитов происходит частичное перемещение атомов углерода в выгодное магнитное координатное место между атомами железа, образуется преобладание параллельных магнитных плоскостей в доменах над хаотическими и встречными, антипараллельными магнитными доменами.

Остаточное намагничивание, коэрцитивная сила в ориентированных параллельных магнитных плоскостях доменов определяет качество и силу постоянных искусственных магнитов, остаточное намагничивание всегда меньше временного намагничивания.

Атомы углерода в углеродистых сталях расположены между двумя атомами железа, и поэтому возрастают силы взаимного притяжения между атомами. Известно, временное намагничивание мягкого, отожжённого железа значительно сильнее временного намагничивания в углеродистой стали, напротив, остаточное намагничивание в углеродистой стали значительно больше остаточного намагничивания в мягком железе, почему?

В мягком отожжённом железе между атомами железа находится небольшое количество атомов углерода по сравнению с углеродистой сталью, силы притяжения между атомами в мягком железе слабее, поэтому мягкое железо хороший проводник магнитных полей.

По окончании действия внешнего магнитного поля внутреннее магнитное поле в кристалле мягкого железа вновь нейтрализуется по причине отсутствия достаточного количества атомов углерода между атомами железа.

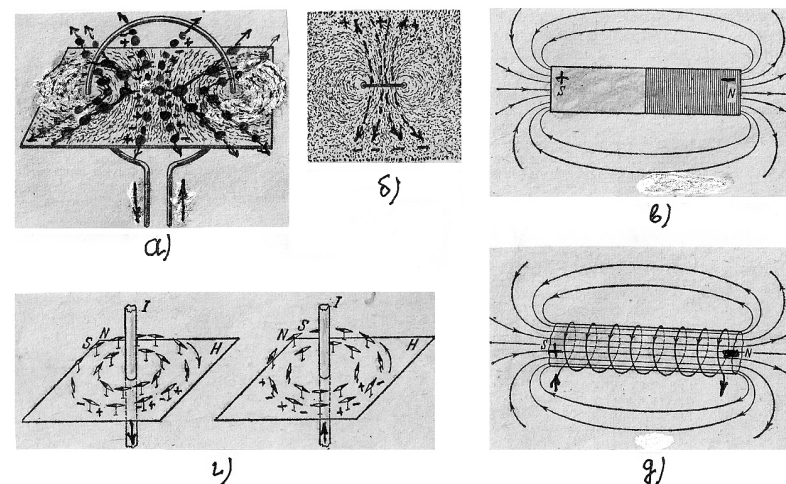


Рис. 86

Магнитные силовые линии – это нейтральные электрические силовые линии, построенные из разнополярных скоплений частиц субстанции в магнитных нейтрино. Электрическое магнитное поле – это непотенциальное вихревое электрическое поле. Электрические цепи нейтрализации зарядов противоположного знака в магнитных силовых линиях замкнуты, не имеют начала и конца.

На рисунке показана полярность концевых зарядов скоплений частиц субстанции в магнитных нейтрино, направления знаков полярности в магнитных силовых линиях.

В проводниках с током (рис. 86 г) индуцированы волны сжатия и разряжения, разнополярными потенциалами стороннего поля в ис-

точнике тока. Сторонние электродвижущие силы в источнике тока – это раскрытые сторонние поля спиновых свободных зарядов.

Спиновые заряды источника тока образуют индуцированные волны сжатия и разряжения в замкнутой электрической цепи проводника. Силы притяжения между индуцированными разнополярными скоплениями частиц в сторонних полях замкнутых плоскостей нейтрализации между атомами проводника раскрывают замкнутые силовые линии стороннего поля между атомами и выстраивают общую силовую замкнутую линию стороннего поля в проводнике с током.

Вокруг замкнутых силовых линий проводника в поперечной плоскости образуются индуцированные скопления частиц субстанции в магнитных нейтрино.

Магнитные нейтрино образуют замкнутые кольцевые магнитные силовые линии на ближайшем к проводнику расстоянии и индуцируют скопления частиц в магнитных нейтрино в следующем кольце силовой магнитной линии.

Силы притяжения между положительными кулоновскими зарядами в протонах (временных ионах атомов в проводнике) и отрицательными кулоновскими зарядами в электронах проводимости создают движение электронов между временными ионами атомов. Одновременный проскок свободных электронов по всей замкнутой цепи проводника начинается ионизацией атомов и завершается нейтрализацией ионов атомов на короткое время.

Сторонние и кулоновские заряды электронов раскрываются в проводнике с током, индуцируют скопления частиц и вновь нейтрализуются.

Из восьми свободных спиновых зарядов протонов два свободных спиновых заряда протонов концевых альф в атомах железа препятствуют созданию материалов из чистого железа.

В мягком железе два спиновых заряда протонов взаимно образуют две замкнутые соленоидные плоскости нейтрализации и совместно с соленоидными плоскостями нейтрализации спиновых зарядов нейтронов гелиевой альфы создают ферромагнитные свойства.

За пределами атома железа находятся ( $18 \times 2 = 36$ ) гравитационных масс электронов и позитронов, или 36 гравитационных масс

нейтральных электронов, и, соответственно, спиновой заряд нуклонов ядра железа уменьшился на 36 спиновых зарядов нейтральных электронов.

Изменилось и соотношение спиновых зарядов в зависимом и свободном состоянии, зависимые спиновые заряды образуют внутреннюю замкнутую электрическую цепь нейтрализации и проявляются через изменение электрического потенциала в гравитационных индуцированных сферах гравитационного поля атома железа.

Свободные спиновые заряды проявляются в индуцированных сторонних полях и затем в структуре гравитационного поля, сторонние и кулоновские электрические поля неотделимы от структуры гравитационного электрического поля.

В 13 полных альфах ядра атома железа расположены 26 полных нейтронов, и 2 полных нейтрона расположены на конце трубки, всего 28 полных нейтронов, или ( $28 \times 38 = 1064$ ) спиновых зарядов электронов.

Лёгкие нейтроны гелиевой альфы превратились в полные нейтроны, но нейтрализовано совместно с захваченными нейтронами из окружающего пространства по 36 спиновых зарядов электронов, всего ( $4 \times 36 = 144$ ) спиновых зарядов электронов. Общий суммарный спиновой заряд, нейтрализованный во внутренней структуре ядра атома железа, равен ( $1064 + 144 = 1208$ ) спиновым зарядам нейтральных электронов.

В свободных спиновых зарядах лёгких нейтронов в неоновом и аргоновом коконах ядра атома железа находятся ( $16 \times 36 = 576$ ) спиновых зарядов электронов. В свободных спиновых зарядах протонов концевых альф находятся ( $8 \times 37 = 296$ ) спиновых зарядов электронов.

В свободных спиновых зарядах гелиевой усиленной альфы находятся ( $2 \times 2 = 4$ ) спиновых заряда электронов, и ещё 8 спиновых зарядов находятся в электронах электронного слоя атома железа. Всего ( $576 + 296 + 4 + 8 = 884$ ) спиновых свободных зарядов электронов нейтрализованы через индуцирование сторонних полей в окружающем пространстве.

Ядро атома железа построено из 56 нуклонов, суммарный потенциальный спиновой заряд всех нуклонов равен 2128 спиновым

зарядам нейтральных электронов, из них 1208 сторонних зарядов нейтрализованы в скрытой внутренней структуре ядра, 884 свободных сторонних зарядов нейтрализованы через индуцирование сторонних полей в атоме, и 36 спиновых зарядов смещены за пределы атома.

Подобной собственной спиновой характеристикой обладают все атомы, изотопы атомов, поэтому в каждой клетке таблицы периодического закона и в специальном дополнении к таблице периодического закона необходимо вместе с указанием атомного веса атома и каждого изотопа атома писать суммарный спиновой заряд всех нуклонов и электронов и суммарный свободный спиновой заряд атома.

Порядковые номера в периодическом законе не определяют заряд ядра, определяют только название и характеристику атомов. Нейтронизация протонов лёгкими нейтронами в завершённых коконах (нейтрализация кулоновских зарядов) и затем постепенная полная нейтрализация свободных спиновых зарядов лёгких нейтронов спиновыми зарядами нейтронов (полная нейтронизация), захваченных из окружающего пространства гелиевым, неоновым, аргоновым, криптоновым и ксеноновым коконами, изменяют общее количество свободных спиновых зарядов в структурах ядер атомов.

Свободные заряды бывших протонов и лёгких нейтронов постепенно в новых ядрах атомов становятся несвободными, нейтрализуются во внутренней змеевидной замкнутой системе нейтрализации ядра совместно с нейтронами, захваченными из окружающего пространства и в индуцированном пространстве стороннего поля окружающего пространства не проявляются.

Свободные, раскрытые спиновые заряды нейтронной гелиевой альфы в ядре атома железа противодействуют образованию сильной структуры стороннего поля в завершённых плоскостях нейтрализации (рис. 84).

Раскрытые сторонние поля нейтронной гелиевой альфы в атоме железа и два свободных спиновых заряда протонов концевых альф образуют два ряда соединений с раскрытыми (рыхлыми) зарядами атомов кислорода, хлора и других атомов.

Два спиновых свободных заряда, оставшиеся от процесса нейтрализации свободных зарядов лёгких нейтронов в гелиевой усиленной альфе ядра атома железа, каждый равен спиновому заряду электрон-позитронного нейтрино, индуцируют слабые раскрытые сторонние поля в гелиевой плоскости нейтрализации.

Сравним, в протонах концевых альф ядра атома железа свободные спиновые заряды равны 37 спиновым зарядам нейтральных электронов, в лёгких нейтронах свободные спиновые заряды равны 36 спиновым зарядам электронов, а в раскрытых сторонних зарядах усиленной гелиевой альфы всего по два сторонних заряда нейтральных электронов.

Свободные спиновые заряды гелиевой нейтронной альфы в ядре индуцируют и образуют магнитные соленидные плоскости нейтрализации совместно с свободными спиновыми зарядами в других ядрах атомов железа.

Свободные раскрытые заряды гелиевой нейтронной альфы в атомах железа способствуют образованию свободных спиновых зарядов протонов в концевой альфе ядер кобальта и никеля.

В отдельных (раскрытых) атомах железа сторонние поля остаточных спиновых зарядов в гелиевой плоскости нейтрализации создают силы притяжения, поэтому в ядрах атомов кобальта и никеля образуется альфа в гелиевой плоскости нейтрализации. Атомы кобальта и никеля расположены в отдельной, гелиевой группе химических элементов периодического закона (см. стр. 282).

Для нейтрализации остатка свободных спиновых раскрытых зарядов в гелиевой плоскости нейтрализации в ядре атома кобальта образуется неполная концевая альфа (протон), векторное направление выхода спинового свободного заряда протона в атоме кобальта параллельно гелиевой плоскости нейтрализации.

Свободный спиновой заряд протона в неполной концевой альфе ядра атома кобальта расположен в гелиевой плоскости нейтрализации (рис. 85) и нейтрализует остаточные спиновые заряды нейтронной гелиевой альфы ( $37 - 4 = 33$ ).

В гелиевой плоскости нейтрализации расположен электрон кобальтового протона, остаток свободного заряда протона, равный 33 спиновым зарядам нейтрального электрона, раскрыт в стороннем



электрическом поле и проявляется в особых химических свойствах атомов кобальта.

В атоме железа построена полная завершённая система нейтрализации спиновых свободных зарядов протонов в концевых альфах, следовательно, в отдельном атоме железа должен образоваться закрытый нейтральный кокон на поверхности ядра, подобный кокону ядра неона и кокону ядра аргона.

Остаточные спиновые заряды в гелиевой нейтронной альфе не позволяют спиновым зарядам концевых альф в отдельном атоме железа создавать две сильные плоскости нейтрализации, поэтому только в коллективных системах взаимодействия кристаллических тел образуется сильная система нейтрализации между зарядами протонов в ближайших ядрах атомов.

Рыхлость свободных спиновых зарядов лёгких нейтронов в нейтронной гелиевой альфе проявляется ещё в ядре атома аргона, изотопы атома аргона  $^{36}\text{Ar}$ ,  $^{38}\text{Ar}$ ,  $^{40}\text{Ar}$  отражаются в структуре стороннего поля атомов калия и кальция. Почему из трёх изотопов аргона, существующих в природе, изотоп  $^{40}\text{Ar}$  составляет 99%?

Изотопам атома аргона предшествуют агрессивные изотопы  $^{35}\text{Cl}$ ,  $^{37}\text{Cl}$  атома хлора. В незавершённой неоновой плоскости нейтрализации три свободных спиновых заряда протонов хлора в последовательной электрической цепи нейтрализации обладают суммарным спиновым зарядом равным ( $36 \times 3 = 108$ ) ста восьми спиновым зарядам нейтральных электронов.

В отдельных атомах хлора рыхлое раскрытое стороннее поле в незавершённой неоновой плоскости нейтрализации спиновых зарядов притягивает свободные раскрытые (рыхлые) сторонние заряды не только в атомах (молекулах), но и свободные сторонние заряды в отдельных протонах (нейтронах).

В естественных условиях синтезирования формировались химические элементы на планете и изотопы атомов хлора в особых внешних условиях синтезирования превращались (превращаются) в изотопы атома аргона. Захват раскрытым сторонним полем в незавершённой плоскости нейтрализации свободных спиновых зарядов одного протона (нейтрона) из окружающего пространства изотопом  $^{35}\text{Cl}$  хлора создавал изотоп  $^{36}\text{Ar}$ , а захват изотопом  $^{37}\text{Cl}$  хлора

одного протона создавал изотоп  $^{38}\text{Ar}$  аргона. Изотоп  $^{36}\text{Ar}$  аргона может захватывать два нейтрона из окружающего пространства и превращаться в изотоп  $^{38}\text{Ar}$  аргона. Изотоп атома аргона  $^{36}\text{Ar}$  состоит из 9 (девяти) полных альф, изотоп аргона  $^{38}\text{Ar}$  имеет дополнительно два концевых нейтрона с одной стороны ядерной трубки, а изотоп  $^{40}\text{Ar}$  имеет дополнительно по два концевых нейтрона на концах ядерной трубки.

Ядро изотопа  $^{40}\text{Ar}$  защищено и усилено концевыми нейтронами, проявляет свойства, подобные благородному атому неона, и поэтому в естественных условиях встречается в 99 случаях из 100. Подобным образом происходило образование изотопов  $^{39}\text{K}$ ,  $^{40}\text{K}$ ,  $^{41}\text{K}$  атома калия, изотоп атома  $^{39}\text{K}$  калия распространён в природе и составляет 93% в общей массе калия. Изотоп аргона  $^{36}\text{Ar}$  в свободном состоянии и в особых внешних условиях, захватывает нейтроны из окружающего пространства, становится изотопом  $^{38}\text{Ar}$  аргона и затем захватывает один протон из окружающего пространства и превращается в изотоп атома  $^{39}\text{K}$  калия. Изотопы  $^{36}\text{Ar}$ ,  $^{38}\text{Ar}$  аргона – это основной строительный материал для образования изотопа  $^{39}\text{K}$  калия и поэтому редко встречаются в природе.

В результате процесса нейтрализации свободных спиновых зарядов лёгких нейтронов гелиевой альфы в ядре атома железа осталось по два свободных спиновых заряда электрона с противоположных сторон гелиевой усиленной нейтронной альфы.

В ядре атома кобальта силами притяжения остатка свободных спиновых зарядов в нейтронной гелиевой альфе образовался концевой протон, расположенный в гелиевой плоскости нейтрализации. Какое влияние протон в ядре атома кобальта оказывает на структуру ядра атома железа?

Девять протонов на поверхности ядра атома кобальта существовать не могут, завершённая структура на поверхности атома железа превращается в нейтральный кокон, электроны и позитроны протонов выходят за пределы атома, протоны превращаются в лёгкие нейтроны, в каждом остаётся по 36 свободных спиновых зарядов нейтральных электронов.

Спиновые свободные заряды восьми лёгких нейтронов кокона железа образуют взаимные замкнутые системы взаимо-

действия в двух плоскостях нейтрализации, на нейтральной структуре кокона железа строится кобальт-никелевая система нейтрализации спиновых зарядов протонов в гелиевой плоскости нейтрализации.

Переходная группа атомов железа, кобальта и никеля завершается образованием атома меди в первой группе элементов периодического закона, в бериллиевой плоскости нейтрализации спиновых зарядов (см. таблицу стр. 282). Образование протонов в гелиевой плоскости нейтрализации в ядрах кобальта и никеля даёт ответ на вопрос, почему в первой группе бериллиевой плоскости нейтрализации спиновых зарядов расположены чуждые по своей химической природе щелочные металлы и подгруппа меди.

В ядрах атомов кобальта и никеля образуется альфа, протоны альфы расположены в гелиевой плоскости нейтрализации, по этой причине изменяются химические свойства и атомов меди в первой группе химических элементов бериллиевой плоскости нейтрализации свободных спиновых зарядов (стр. 282). В ядре атома меди образуется протон с противоположной стороны от кобальт-никелевой альфы в бериллиевой плоскости нейтрализации свободных спиновых зарядов.

Образованию сильной связи протона с ядром в атоме кобальта препятствуют завершённые индуцированные плоскости нейтрализации спиновых зарядов в нейтральном коконе железа и слабая силовая структурная связь трёх нуклонов в концевой неполной кобальтовой альфе.

Протоны и электроны в ядрах атома кобальта могут смещаться за пределы атома под воздействием внешних и внутренних разрушительных сил. Например, под воздействием разрушительных сил детонации обычного взрывчатого вещества протоны и электроны концевых неполных альф в ядрах кобальта выходят за пределы атома и становятся атомами водорода в химическом составе взрывчатого вещества.

На поверхности ядра атома кобальта находится один протон в гелиевой плоскости нейтрализации, и, следовательно, в атоме находится один электрон. Выход протона и электрона из ядра атома кобальта образует нейтральный голый атом железа, спиновые заря-

ды в восьми лёгких нейтронах кокона железа существуют, но отсутствуют кулоновские заряды в ядре и атоме.

В процессе детонации взрывчатых веществ лёгкие нейтроны в голом атоме железа захватывают позитроны из смеси взрывчатых веществ и превращаются в протоны, элементарные положительные кулоновские заряды протонов силами взаимного притяжения с отрицательными кулоновскими зарядами электронов в окружающем пространстве создают вновь электронный слой из восьми электронов.

Результаты процесса освобождения ядер атомов кобальта от протонов и обратное движение позитронов и электронов в процессе образования ядер и атомов железа не наблюдаются приборами радиоактивного наблюдения.

Энергия атомов водорода, электронов и позитронов атомов кобальта в смеси взрывчатых веществ производит усиление мощности сил детонации, в остатках распада взрывчатых веществ обнаруживаются атомы железа, превращённые из атомов кобальта.

Превращение голых атомов железа в исходное нормальное состояние сопровождается ионизацией атомов и молекул в продуктах детонации взрывчатых веществ, образуются токи смещения и вихревые электромагнитные поля. Превращение атомов кобальта в атомы железа не сопровождается опасным радиоактивным излучением.

Свободные заряды протонов в гелиевой плоскости нейтрализации, образованные в альфе ядер кобальта и никеля, существуют в 1,2 и 3 группах химических элементов периодического закона.

Начало двух плоскостей нейтрализации свободных спиновых зарядов протонов в ядрах атомов каждого ряда в периодах образуются в первых четырёх группах периодического закона, в бериллиевой и углеродной плоскостях нейтрализации.

Незавершённые и завершённые плоскости нейтрализации свободных спиновых зарядов протонов образуются в кислородной и неоновой плоскостях нейтрализации каждого ряда периодического закона.

Протоны кобальт-никелевой альфы в гелиевой плоскости нейтрализации продолжают существовать в атомах меди, цинка и галлия, и только в ядре германия происходит нейтронизация протонов

гелиевой плоскости нейтрализации лёгкими нейтронами, почему? Сравним, свободные спиновые заряды протонов и электроны гелиевой альфы в начале периодического закона (см. стр. 282) могут существовать только в первых трёх группах химических элементов, до образования ядра атома углерода. Затем происходит нейтронизация протонов гелиевой альфы лёгкими нейтронами, нейтрализуются элементарные кулоновские заряды в альфе, но остаются по 36 спиновых зарядов электронов в лёгких нейтронах.

Свободные заряды лёгких нейтронов образуют замкнутую плоскость нейтрализации в гелиевой плоскости. С ростом длины трубки ядер атомов силы притяжения в стороннем поле лёгких нейтронов уменьшаются, и в ядре атома железа происходит окончательный разрыв между индуцированными разнополярными скоплениями частиц субстанции в силовых линиях (крыльях) стороннего поля.

Раскрытые крылья стороннего поля в гелиевой альфе притягивают нейтроны из окружающего пространства, и происходит полная нейтронизация, но не полная нейтрализация спиновых зарядов, остаётся (остаток) по два свободных спиновых заряда нейтральных электронов с каждой стороны усиленной нейтронной гелиевой альфы. А что происходит в ядре атома кобальта?

Атомы кобальта строятся на нейтральных ядрах атомов железа. В кристаллической решётке железа спиновые заряды протонов образуют замкнутые соленоидные магнитные плоскости взаимной нейтрализации между атомами.

В отдельных атомах железа нет спинового взаимодействия зарядов протонов между ближайшими атомами, и поэтому восемь спиновых зарядов протонов образуют собственную замкнутую систему нейтрализации сторонних и кулоновских зарядов в коконе ядра и атоме.

Вместе с образованием протона в ядре атома кобальта происходит нейтронизация протонов атома железа и полная нейтрализация кулоновских зарядов, но в восьми лёгких нейтронах альф остаются по 36 свободных спиновых зарядов нейтральных электронов. Потенциально в кристаллических решётках между атомами кобальта и между атомами в сплавах кобальта могут взаимодействовать восемь спиновых зарядов лёгких нейтронов, один спиновой заряд протона

кобальта и по два заряда электронов в спиновом зарядовом остатке нейтрализации усиленной нейтронной гелиевой альфы.

В ядре атома никеля завершается образование полной кобальт-никелиевой альфы, на поверхности нейтрального кокона железа образуется стороннее поле в гелиевой плоскости нейтрализации. Остаток спиновых свободных зарядов в нейтронной усиленной гелиевой альфе нейтрализован в гелиевой плоскости спиновыми зарядами протонов.

По 33 сторонних заряда электронов в каждом протоне никеля остаются свободными, суммарный потенциал спиновых свободных зарядов протонов никеля равен 66 спиновым зарядам электронов.

На странице 282 показан новый, дополненный вариант периодического закона химических элементов Д.И. Менделеева.

Слева в отдельную гелиевую подгруппу элементов помещены восемь атомов, атомы водорода, гелия, кобальта, никеля, родия, палладия, иридия и платины. Объединительным единым признаком гелиевой подгруппы восьми химических элементов является ориентация свободных спиновых зарядов протонов альф в гелиевой плоскости нейтрализации.

Гелиевую плоскость нейтрализации свободных спиновых зарядов протонов (лёгких нейтронов) определяет альфа ядра атома гелия. Ядро атома гелия даёт название гелиевой плоскости нейтрализации свободных спиновых зарядов протонов (лёгких нейтронов) альф в ядрах других атомов. Гелиевые атомы находятся в двух отдельных группах химических элементов гелиевой плоскости нейтрализации и образуют начало четырёх длинных рядов из десяти химических элементов в периодическом законе.

Направления выходов свободных спиновых зарядов протонов в других альфах ядер атомов, параллельные выходам протонов в бериллиевой и углеродной альфе, определяют название начала плоскостей нейтрализации в первых четырёх группах химических элементов периодического закона. В пятом, шестом, седьмом и восьмом завершающих периодах периодического закона образуются протоны кислородной и неоновой альф, направления выходов протонов параллельно бериллиевой и углеродной плоскости нейтрализации.



ПЕРИОДИЧЕСКАЯ СИСТЕМА ХИМИЧЕСКИХ ЭЛЕМЕНТОВ Д. И. МЕНДЕЛЕЕВА.

ПЕРИОДЫ	РЯДЫ	ГРУППЫ ЭЛЕМЕНТОВ, ПЛОСКОСТИ НЕЙТРАЛИЗАЦИИ СПИНОВЫХ ЗАРЯДОВ									
		ГЕЛИЕВАЯ		БЕРИЛЛИЕВАЯ		УГЛЕРОДНАЯ		КИСЛОРОДНАЯ		НЕОНОВАЯ	
		I He	II He	I Be	II Be	III C	IV C	V O	VI O	VII Ne	VIII Ne
I	1	① H ВОДОРОД	② He Гелий	③ Li ЛИТИЙ	④ Be БЕРИЛЛИЙ	⑤ B БОР	⑥ C УГЛЕРОД	⑦ N АЗОТ	⑧ O КИСЛОРОД	⑨ F ФТОР	⑩ Ne НЕОН
	II			⑪ Na НАТРИЙ	⑫ Mg МАГНИЙ	⑬ Al АЛЮМИНИЙ	⑭ Si КРЕМНИЙ	⑮ P ФOSФОР	⑯ S СЕРА	⑰ Cl ХЛОР	⑱ Ar АРГОН
III	1			⑲ K КАЛИЙ	⑳ Ca КАЛЬЦИЙ	㉑ Sc СКАНДИЙ	㉒ Ti ТИТАН	㉓ V ВАНАДИЙ	㉔ Cr КРОМ	㉕ Mn МАРГАН	㉖ Fe ЖЕЛЕЗО
	2	㉗ Co КОБАЛЬТ	㉘ Ni НИКЕЛЬ	㉙ Cu МЕДЬ	㉚ Zn ЦИНК	㉛ Ga ГАЛИЙ	㉜ Ge ГЕРМАНИЙ	㉝ As МОШЬЯК	㉞ Se СЕЛЕН	㉟ Br БРОМ	㊱ Kr КРИПТОН
IV	1			㉟ Rb РУБИДИЙ	㊱ Sr СТРОНЦИЙ	㊲ Y ИТРИЙ	㊳ Zr ЦИРКОНИЙ	㊴ Nb НИОБИЙ	㊵ Mo МОЛИБДАЙ	㊶ Tc ТЕХНЕЦИЙ	㊷ Ru РУТЕНИЙ
	2	㊸ Rh РОДИЙ	㊹ Pd ПАЛЛАДИЙ	㊺ Ag СЕРЕБРО	㊻ Cd КАДМИЙ	㊼ In ИНДИЙ	㊽ Sn ОЛОВО	㊾ Sb СВЯТОСЛАВ	㊿ Te ТЕЛЛУР	101 I ИОД	102 Xe КСЕНОН
V	1			103 Cs ЦЕЗИЙ	104 Ba БАРИЙ	105 La ЛАНТАН	106 Ce ЦЕРИЙ	107 Pr ПРАЗЕОД	108 Nd НЕОДИМ	109 Pm ПРМЕНИЙ	110 ? ?
	2			106 Sm САМАРИЙ	107 Eu ЕВРОПИЙ	108 ? ?	109 Gd ГАДОЛИНИЙ	110 Tb ТЕРБИЙ	111 Dy ДИСПРОЗИЙ	112 Ho ГОЛЬМИЙ	113 Er ЭРБИЙ
	3			109 Tm ТУЛЬМИЙ	110 Yb ИТТЕРБИЙ	111 Lu ЛУТЕЦИЙ	112 Hf ГАФНИЙ	113 Ta ТАНТАЛ	114 W ВОЛФРАМ	115 Re РЕНИЙ	116 Os ОСМИЙ
	4	117 Ir ИРИДИЙ	118 Pt ПЛАТИНА	119 Au ЗОЛОТО	120 Hg РУТУТЬ	121 Tl ТАЛЛИЙ	122 Pb СВИНЕЦ	123 Bi ВИСМУТ	124 Po ПОЛОНИЙ	125 At АСТАТ	126 Rn РАДОН
VI	1			121 Fr ФРАНЦИЙ	122 Ra РАДИЙ	123 Ac АКТИНИЙ	124 Th ТОРИЙ	125 Pa ПРОТОАКТИН	126 U УРАН	127 Np НЕПТУНИЙ	128 Pu ПУЛТОНИЙ
	2			125 Am АМЕРИЦИЙ	126 Cm КЮРИЙ	127 Bk БЕРКЛИЙ	128 Cf КАЛИФОРНИЙ	129 Es ЭЙНШТЕЙН	130 Fm ФЕРМИЙ	131 Md МЕНДЕЛЕВИЙ	132 No НОБЕЛИЙ

В ядре атома бериллия образовалась бериллиевая плоскость нейтрализации свободных спиновых зарядов протонов, альфа ядра бериллия смещена на 60° вправо (см. рис. 75) относительно гелиевой альфы, а в ядре углерода образовалась углеродная плоскость нейтрализации свободных спиновых зарядов протонов, альфа ядра атома углерода смещена на 60° влево относительно гелиевой альфы. В атомах кислорода (рис. 78) и неона (рис. 81) образовались соответственно кислородная и неоновая плоскости нейтрализации свободных спиновых зарядов протонов, параллельные бериллиевой и неоновой плоскостям нейтрализации. В ядрах бериллия и углерода образуются начала двух плоскостей нейтрализации (рис. 81) свободных спиновых зарядов протонов, а в ядрах кислорода и неона образуется полное завершение плоскостей нейтрализации.

По условному названию ориентации плоскостей нейтрализации свободных спиновых зарядов протонов в атомах первого периода дано название альфам в ядрах любого атома периодического закона. Например, незавершённые альфы в ядрах атомов меди, серебра и золота расположены в первой группе химических элементов, в бериллиевой плоскости нейтрализации, а завершённые альфы атомов цинка, кадмия и ртути расположены во второй группе химических элементов бериллиевой плоскости нейтрализации.

Перед атомами меди, серебра и золота в периодическом законе показаны атомы кобальта и никеля, родия и палладия, иридия и платины, расположенные в первой и второй группе гелиевых (усл.) химических элементов, гелиевой плоскости нейтрализации. В ядрах атомов меди, серебра и золота образуются протоны первой группы элементов в бериллиевой плоскости нейтрализации, всего в каждом ядре атомов по три протона, расположенных на концах ядерных трубок в двух плоскостях нейтрализации.

Два протона в гелиевой плоскости нейтрализации и один протон в бериллиевой плоскости нейтрализации в атомах меди, серебра и золота, образовавшиеся на нейтральных коконах железа, рутения и осмия, всего по три свободных спиновых заряда протонов и, соответственно, по три электрона в атомах, определяют уникальные физические свойства металлов. Сравним в ядрах атомов первой группы бериллиевой плоскости нейтрализации, но в коротких



рядах периодов, в атомах натрия, калия, рубидия, цезия и в других атомах группы элементов имеется всего по одному протону, расположенные в бериллиевой плоскости нейтрализации и по одному электрону в атомах. Уникальные физические свойства атомов меди, серебра и золота определяют свободные спиновые заряды протонов в гелиевой плоскости нейтрализации!

Атомы меди, серебра и золота – хорошие проводники токов электронов в проводниках. Не количество электронов в атомах определяет электропроводность металлов, сравним: в проводнике из железа в каждом атоме по восемь электронов, а в проводниках из меди, серебра и золота всего по три электрона, в атомах никеля палладия и платины всего по два электрона.

Нет свободных электронов и электронных газов в кристаллических телах проводников, есть электроны, расположенные в рыхлых полях силовых линий сторонних полей нейтрализации свободных спиновых зарядов протонов. Например, в атомах меди, серебра и золота в рыхлых крыльях силовых линий сторонних полей в гелиевой плоскости нейтрализации расположены два электрона. Раскрытие стороннего поля спиновых зарядов протонов гелиевой альфы в атомах меди, серебра и золота потенциалами ЭДС раскрытого стороннего поля источника тока в замкнутых цепях проводников смещает электроны на периферию гравитационных индуцированных сфер в атомах. Слабая силовая связь между спиновыми зарядами электронов и спиновыми зарядами протонов в гелиевых альфах атомов меди, серебра и золота в момент раскрытия стороннего поля в проводнике способствует смещению электронов от атома к атому. ЭДС раскрытого стороннего поля источника тока в замкнутом проводнике и силы противодействия между элементарными однополярными кулоновскими зарядами электронов, расположенных в раскрытых крыльях силовых линий стороннего поля протонов гелиевых альф атомов, создают поступательное движение электронов в цепи, токи электронов.

В первом длинном периоде размещены 10 химических элементов в одном ряду, во втором коротком периоде размещены 8 химических элементов в одном ряду. В третьем периоде, в первом корот-

ком ряду размещены 8 химических элементов, во втором длинном ряду 10 химических элементов, подобное размещение существует и в четвёртом периоде химических элементов.

Существенные изменения наблюдаются в пятом периоде периодического закона, в периоде три коротких ряда химических элементов и один четвёртый ряд длинный, завершающий ряд пятого периода. В четвёртом ряду пятого периода перед атомом золота расположены атомы иридия и платины, в первой и второй группе элементов гелиевой плоскости нейтрализации. Следовательно, между 54 номером, атомом ксенона, завершающего атома четвёртого периода и 81 номером, атомом золота, должно располагаться не 24, а 26 химических элементов. Следовательно, два пропущенных химических неизвестных элемента необходимо найти и поместить в пятом периоде периодического закона.

Предполагаемые места размещения неизвестных атомов показаны под номерами 62 и 65, необходимы дополнительные исследования и анализ химических свойств двух неизвестных редкоземельных химических элементов в пятом периоде периодического закона. Порядковые номера не определяют количество свободных спиновых зарядов протонов (лёгких нейтронов) в ядрах атомов и количество электронов в атомах, порядковые номера определяют место и название атома в периодическом законе. Почему пропущенные неизвестные атомы могут располагаться в 62 и 65 клетках периодического закона?

Неустойчивый изотоп атома под номером 61 (Прометий) расположен в одной, седьмой группе химических элементов с неустойчивым изотопом атома под номером 43 (Технецием), следовательно, до атома прометия вклинивание неизвестных химических элементов маловероятно. Между атомом под номером 60 (Неодим) и атомом под номером 66 (Гадолиний) возможно размещение двух неизвестных химических элементов, почему?

Естественная радиоактивность лёгких и средних ядер атомов – редкое явление в природе. Естественная радиоактивность ядер  $^{144}\text{Nd}$ ,  $^{147}\text{Sm}$ ,  $^{148}\text{Sm}$ ,  $^{152}\text{Gd}$ , расположенных перед ядром атома прометия и за ядром атома прометия в периодическом законе и компактно расположенных в периодическом законе, позволяют предпола-

гать о существовании между радиоактивными атомами неизвестных двух ядер редкоземельных атомов.

Между радиоактивными изотопами атомов находится только один устойчивый изотоп атома под номером 64 (Европий), следовательно, перед атомом и за атомом европием в периодическом законе возможно расположение двух неизвестных редкоземельных элементов. Предположительно под номером 62 может располагаться атом редкоземельного элемента с атомным весом, равным приблизительно 148,5; атом под номером 65 может иметь атомный вес, равный приблизительно 154,5. Пятый период дополненного нового варианта периодического закона завершается атомом газа радона, в шестом периоде показаны только два коротких ряда тяжёлых атомов.

## Эфир, гравитационная и инертная масса

Первичная космическая материя, зарядовая субстанция вещества находится в неподвижном, скрытом состоянии и в подвижном проявленном состоянии. В подвижном состоянии разнополярные частицы субстанции в скоплениях частиц находятся или в структурах коллапсаров (подобиях коллапсаров) или в структурах эфирных полей.

Разнополярные скопления частиц субстанции в структурах элементарных, индуцированных коллапсаров и в подобиях коллапсаров образуют плотные зарядовые массы вещества, суммарные гравитационные, спиновые и элементарные заряды разнополярных скоплений частиц субстанции в коллапсарах, коллективах коллапсаров индуцируют разнополярные скопления частиц субстанции в эфирном сферическом теле окружающего пространства.

Эфирные тела коллапсарных систем – это общие структурные гравитационные зарядовые тверди коллапсаров, коллективов коллапсаров. В общих структурных гравитационных зарядовых твердях индуцированы скопления частиц субстанции в сторонних, кулоновских и электромагнитных (магнитных) полях.

Индуцированные скопления частиц субстанции в сторонних, кулоновских, электромагнитных (магнитных) полях в общем струк-

турном гравитационном поле называются эфиром, эфирным телом коллапсаров, коллективов коллапсаров. Эфирное тело – это не только индуцированные разнополярные скопления частиц субстанции, расположенные на некотором расстоянии от коллапсара, но и структура взаимодействия коллапсаров и индуцированных скоплений частиц в гравитационных сферах.

Структура эфирных тел атомов, молекул и кристаллов известна в физике. Электроны в атомах неподвижны, следовательно, нет и электронных облаков, вымышленных ложными теориями о строении атомов. Спектры атомов, молекул, кристаллов показывают структуру общих гравитационных зарядовых твердей в эфирных телах. Пустоты в космическом проявленном пространстве нет, пространство заполнено индуцированным эфиром множества подвижных гравитационных систем!

Абсолютных эфирных тел, состоящих только из индуцированных скоплений частиц субстанции, не существует и вот почему? В эфирном комбинированном теле атома водорода расположен коллапсар электрон, в ионе атома водорода нет электрона но существуют нейтральные шаровые скопления частиц. Индуцированные гравитационные зарядовые тверди любого атома – это комбинированное эфирное тело. В комбинированных эфирных телах атомов размещаются эфирные тела коллапсаров электронов, нейтральных скоплений частиц в шаровых скоплениях. В комбинированных эфирных телах атомов индуцированы сторонние и кулоновские поля, образуются и распространяются силовые линии электромагнитного поля.

Где начинается эфирное тело планеты Земля? Начало эфирного тела определяют индуцированные скопления частиц субстанции на ближайшем расстоянии вокруг коллапсаров. В центре планеты индуцирован планетарный коллапсар-дискатор, следовательно, вокруг планетарного коллапсара на ближайшем возможном расстоянии начинается эфирное тело Земли.

Вокруг закрытых индуцированных коллапсаров планет, звёзд начинается твёрдое эфирное тело. Пресная вода Абзу, океан подземных вод образует твёрдое ледяное эфирное тело Земли, костную (скелетную) основу всех планет и звёзд.

Разнополярные индуцированные скопления частиц субстанции в эфирном ледяном теле вокруг коллапсара Земли замещены скоплениями частиц субстанции в эфирных комбинированных телах атомов водорода и кислорода, молекул воды в кристаллической решётке льда. Идеальные индуцированные скопления частиц в ледяных сферах замещены атомами воды, сферы из атомов воды в состоянии льда образуют волны сжатия и разряжения в эфирном теле Абзу.

Эфирное индуцированное сферическое тело начинается с первой гравитационной сферы вокруг индуцированного коллапсара в центре земного шара. Первая (усл.) гравитационная сфера в ледяном эфирном теле изолирует массу коллапсара, превращает в инертную массу, почему? Пространство между коллапсарами и ближайшими индуцированными сферами, зона электрического подвеса коллапсара имеет сложную геометрическую объёмную форму, в смысловом описании называется условно первой или ближайшей сферой нейтрализации гравитационных зарядов коллапсаров. Подобное превращение гравитационной массы коллапсара в инертную массу происходит и в каждом элементарном коллапсаре.

Гравитационные электрические заряды гравитантов и магнетонов коллапсара индуцируют скопления частиц субстанции в гравитонах и магнетонах ближайшей сферы, и через кольца нейтрализации сфер, силовые гравитационные линии в первой сфере происходит полная нейтрализация гравитационных зарядов дискатора Земли. Силовая связь дискатора Земли с окружающим пространством происходит через первую гравитационную сферу, далее действует космический закон индуцирования, скопления частиц в сфере индуцированы зарядами скоплений частиц в предыдущей сфере и сами индуцируют скопления частиц в следующей сфере.

Гравитационные взаимодействия в космосе происходят не между телами коллапсаров в планетах, звёздах и других системах, а между эфирными телами элементарных и индуцированных коллапсаров в гравитационных системах. Массы коллапсаров являются гравитационными только для первой индуцированной сферы и инертной массой для всех других сфер гравитационного поля.

Силы притяжения между эфирными гравитационными телами деформируют структуры гравитационных сфер, деформируют и

первую индуцированную сферу, и через неё распространяется силовое влияние на сам коллапсар. Подобные силовые связи можно наглядно демонстрировать в простом опыте, если в центре прозрачного воздушного шара (первая сфера) закрепить на пружинных подвесах тяжёлый маленький шарик (коллапсар).

Инертная масса коллапсара имеет силовую связь с внешним миром через первую индуцированную сферу, а также через стороннее электрическое поле и кулоновское поле. Инертная масса коллапсара связана через индуцирование разделёнными спиновыми зарядами стороннего поля и, соответственно, магнитного поля в эфирном индуцированном теле, в эфирном теле Земли индуцировано стороннее электрическое поле и нейтральное скопление  $P_a$  на горе Меру!

Коллапсар-дискатор в центре Земли индуцирован суммарными гравитационными зарядами элементарных коллапсаров в эфирных телах атомов земного шара. Напомним, в структуре индуцированного коллапсара атомов нет, а в эфирном теле Земли атомы есть в твердом, жидком, газообразном состоянии и других состояниях, атомы обладают суммарным гравитационным зарядом в эфирных индуцированных телах и совместно индуцируют коллапсар земного шара. Существует взаимная единая силовая связь, атомы в массе Земли совместно индуцируют массу дискатора в центре планеты, дискатор индуцирует эфирные сферы, а эфирные сферы замещают атомы, полностью или частично в атмосфере.

Гравитационные заряды в ядрах атомов индуцируют комбинированные эфирные гравитационные тверди в атомах, заряды в эфирных твердях атомов индуцируют структуру коллапсара, а коллапсар индуцирует эфирные тверди Земли.

Коллапсар индуцирует собственное комбинированное эфирное тело в окружающем пространстве, замещённое эфирными телами атомов в структурах земного шара и комбинированное индуцированное эфирное тело за пределами газовой оболочки Земли.

На ледяном эфирном теле расположено каменное эфирное тело коллапсара Земли, замещённое атомами теплоизоляторов, атомами в неподвижных каменных твердях и атомами в подвижных каменных твердях. Каменное эфирное подвижное тело включает эфирные тверди в солёных океанических и морских водах.

От поверхности планеты берёт начало атмосферное эфирное тело, и далее продолжается эфирное тело в безвоздушном пространстве. Эфирное тело Земли построено из индуцированных сфер в волнах сжатия и разряжения. Индуцированные сферы замещены атомами в твёрдых и жидких эфирных телах и частично в атмосферном эфирном теле.

Поступательное линейно-орбитальное движение вокруг солнца и осевое вращательное движение эфира Земли в подвижном эфире солнечной системы проявляет одновременно гравитационную и инертную массу индуцированного дискатора и элементарных коллапсаров в атомах.

Планетарные, звёздные, галактические и другие индуцированные коллапсары, каждый элементарный коллапсар в системах и вне систем индуцируют разнополярные скопления частиц субстанции – в эфирных структурных телах подвижного космического пространства.

Эфирное тело любой зарядовой системы перемещается вместе с собственным источником индуцирования в других эфирных структурных телах, например, в эфирных телах планет, звёзд, галактик и других гравитационных систем.

Эфирные тела обладают пропорциональным суммарным индуцированным гравитационным зарядом в разнополярных скоплениях частиц субстанции в гравитонах и магнетонах сфер, суммарным гравитационным зарядом в источниках индуцирования. Суммарные гравитационные заряды в эфирных гравитационных телах индуцируют совместные общие индуцированные закрытые коллапсары и открытые скопления частиц субстанции в шаровых скоплениях.

Индуцированные разнополярные скопления частиц субстанции в индуцированных галактических и других гравитационных полях образуют единое эфирное гравитационное тело подвижной системы Вселенной в неподвижном космическом пространстве.

Подвижный тёплый эфир Вселенной перемещается в неподвижной скрытой, холодной субстанции космоса. Поступательное и вращательное движение различных эфирных тел в едином эфирном теле Вселенной возбуждает часть скрытых неподвижных, холодных частиц субстанции в космическом пространстве, происходит захват

новых и частичная ротация подвижных частиц субстанции в эфире – обмен частицами субстанции.

Звёзды и другие системы перерабатывают эфирные индуцированные частицы субстанции в элементарные скопления частиц и элементарные коллапсары, растёт количество и масса скрытых и открытых коллапсаров, источников индуцирования эфира в системах Вселенной, и поэтому подвижная масса эфира пополняется возбуждёнными, тёплыми скоплениями частиц субстанции из неподвижного, холодного состояния.

Движение эфира, индуцированных частиц субстанции в гравитантах и гравитонах индуцированных сфер вместе с источниками индуцирования в эфирных зарядовых твердях других систем образует эфирные гравитационные электрические токи. Например, движение эфира планеты Земля и эфира других планет в эфире солнечной системы образуют эфирные электрические планетарные токи.

Эфирные индуцированные сферы в волнах сжатия и разряжения – это открытые электрические заряды гравитационных систем, движение электрических гравитационных зарядов, например, в эфирных телах планет в индуцированном эфирном теле солнечной системы образуют эфирные планетарные электрические токи, эфирные токи противодействуют движению планет в звёздных системах. Эфирные токи элементарных коллапсаров и любых гравитационных систем противодействуют движению, например, гравитационные токи в эфирных телах создают силовое сопротивление и препятствуют движению электронов в проводниках с током.

Электроны проводимости в проводниках с током создают не только токи собственных элементарных и сторонних зарядов, но и эфирные токи. Эфирные токи электронов в проводниках с током деформируют гравитационные эфирные тверди в проводниках и вокруг проводников.

Эфирные токи индуцируют волны де Бройля, разнополярные скопления частиц субстанции в сферических волнах сжатия при электрическом силовом взаимодействии (трении) с разнополярными скоплениями частиц в волнах сжатия других систем взаимно генерируют скопления частиц субстанции в дебройлевских волнах.



Образование дебройлевских волн связано с любым движением эфирных тел, силовое взаимодействие, условно названное трением скоплений частиц между разнополярными и однополярными скоплениями в подвижных эфирных сферах и скоплениями в эфирных сферах других тел, генерируют дебройлевские волны.

Силы притяжения между разнополярными скоплениями частиц и силы противодействия притяжению между однополярными скоплениями частиц субстанции изменяют расстояния между индуцированными скоплениями. Изменение потенциалов зарядов в скоплениях частиц сопровождается изменением нейтральности электрических структур в гравитонах и магнетонах сфер. Нарушение нейтральности – это изменение потенциалов разнополярных зарядов в скоплениях частиц гравитонов и магнетонов. Процесс нейтрализации разности потенциалов в скоплениях частиц субстанции индуцирует новые частицы субстанции в волнах де Бройля, а разрушение (нейтрализация) дебройлевских волн сопровождается токами смещения, относительным движением разнополярных зарядов в скоплениях частиц субстанции.

Движение эфирных зарядовых твердей (трение), эфирные токи и токи смещения частиц субстанции в дебройлевских волнах генерируют и излучают тепловые электромагнитные волны, тепловой электромагнетизм в космическом пространстве.

Световые электромагнитные волны образуют только коллапсарные системы, электромагнитные конденсированные спиновые импульсы генерирующих коллапсаров распространяются в пространстве. Электромагнитная волна, Wellenzug (последовательность волн) распространяется в эфирном пространстве, конденсированный электромагнитный спиновой разряд в коллапсарах (ядрах атомов) перемещается через индуцирование скоплений частиц субстанции, образования волн сжатия и волн разряжения в эфирных индуцированных системах.

Апокалипсис, смена направления выхода спина на поверхность земного шара сопровождается мощными конденсированными спиновыми электромагнитными разрядами в окружающее пространство, электромагнитными цуговыми волнами.

Световые цуговые электромагнитные волны препятствуют распространению радиоволн в атмосферном эфирном теле на дневной стороне земного шара. Электромагнитные цуги (волны) временно замыкают электрические скопления частиц субстанции в гравитонах и магнетонах сфер и между гравитационными сферами.

Световые электромагнитные возмущения в плотных эфирных телах в атмосферных эфирных волнах сжатия и разряжения Земли препятствуют распространению электромагнитных радиоволн, например распространению средних и длинных волн на дневной стороне земного шара.

На ночной стороне световые электромагнитные волны в эфирном атмосферном теле Земли слабые, и поэтому электромагнитные радиоволны свободно распространяются, электромагнитные бури действуют на эфирные тверди и на распространение радиоволн независимо от освещённости эфира в полушариях планеты.

Под воздействием внешних и внутренних магнитных полей происходят изменения в структуре индуцированных гравитационных сферических волн сжатия. Процесс расщепления, структурные изменения в спектральных линиях гравитационных сферических волн сжатия атомов, молекул и кристаллов в магнитном поле называют эффектом Зеемана.

Продольный и поперечный эффекты и другие эффекты Зеемана, например, обратный эффект, проявляют структуру гравитационных сферических эфирных твердей атомов, молекул, кристаллов. Силовые линии магнитного поля выстраивают собственную структуру через попутное и поперечное изменение структуры индуцированных скоплений в гравитационных эфирных твердях, изменяют расстояния между эфирными частицами в сферах и, соответственно, частоту линий в волнах сжатия сфер.

Расщепление спектральных линий под действием излучающего внешнего электрического кулоновского поля называют эффектом Штарка. Поскольку внешние электрические кулоновские поля значительно слабее внутренних гравитационных и сторонних электрических полей, их действие на изменение структуры эфирных твердей проявляется незначительно.

Планетарные индуцированные эфирные тела разнополярных скоплений частиц субстанции в сферических волнах сжатия и разряжения взаимодействуют с индуцированными частицами в эфире солнечной системы.

Процесс взаимодействия разнополярных частиц субстанции в эфирных телах планет и разнополярных частиц субстанции в эфирном теле солнечной системы и непосредственно с скоплениями в ближайшей опорной волне сжатия сфер создаёт гравитационные силы притяжения между эфиром Солнца и эфиром планет. Процесс гравитационного взаимодействия между планетами и Солнцем осуществляется через эфирные зарядовые тела по закону дальнего действия и близкого действия.

Свойства тел сохранять свою скорость в отсутствие взаимодействия с другими телами называют инертностью в современной фундаментальной физике, а физическая величина, являющаяся мерой инертности тела в поступательном движении, называется инертной массой. Почему гравитационная масса тела обладает инертными свойствами?

Массы разнополярных частиц субстанции в структуре элементарных и индуцированных коллапсаров обладают одновременно гравитационными и инертными свойствами. Структуры двух треугольников в гравитантах и магнетонах коллапсаров индуцируют скопления частиц субстанции в гравитонах и магнетонах гравитационных сфер.

Коллапсары индуцируют разнополярные скопления частиц субстанции в ближайшей сфере, через ближайшую сферу происходит полная нейтрализация концевых скоплений в гравитантах коллапсаров и самой массы коллапсара.

Нейтрализованная гравитационная масса коллапсара через первую гравитационную сферу проявляется как инертная масса. Далее действует единый космический закон индуцирования, скопления разнополярных частиц субстанции в вершинах двух треугольников (гравитонах) каждой гравитационной сферы индуцированы зарядами в скоплениях частиц предыдущей сферы и нейтрализуют заряды в предыдущей сфере, сами индуцируют скопления в последующей сфере.

Нейтрализация гравитационных зарядов коллапсаров в первой индуцированной сфере изолирует электрическую массу коллапсара от внешнего гравитационного пространства, закрытая гравитационная масса коллапсара становится инертной – нейтральной.

Инертную массу Земли образуют коллапсары в ядрах атомов эфирных слоёв и инертная масса коллапсара-дискатора. Линейное орбитальное движение планеты в солнечной системе и вращение вокруг собственной оси создают суммарные центробежные силы в инертной массе коллапсаров.

Стремление подвижной инертной массы к прямолинейному движению в пространстве создаёт инерционные центробежные силы. На рисунке 88 на принципиальной схеме показано влияние инертной массы дискатора Земли и инертной массы ядер атомов в замещённых эфирных телах Абзу, каменных замещённых эфирных телах на инертные ядра атомов океанических, морских вод и на ядра атомов в материках.

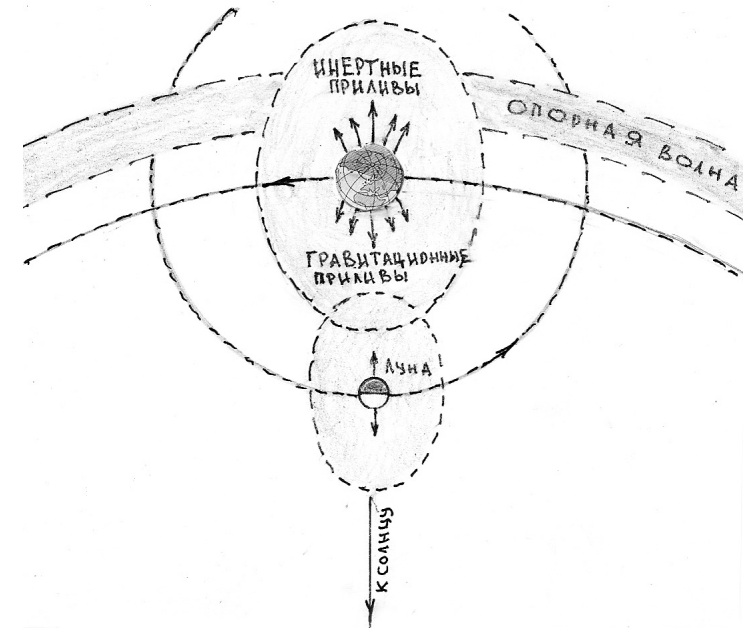


Рис. 88

Приливы и отливы в океанах и морях связаны не только с гравитационным притяжением между эфирными телами Земли и Луны, а также общего эфирного тела Земли – Луны с эфирным телом Солнца и эфирными телами планет, но и с инертными свойствами гравитационных масс.

Показаны инерционные и гравитационные силы, деформирующие эфирное тело Земли.

На рисунке 88 показана природа происхождения приливов и отливов океанических и морских вод в северном полушарии и южном полушарии Земли. Земля показана в положении зимнего солнцестояния в период новолуния, приливы и отливы в морях океанов достигают максимальных значений.

В период летнего солнцестояния гравитационные и инертные приливы в полушариях меняются на обратное значение. Название инертные приливы отображает сущность проявления инертных масс в общей гравитационной системе взаимодействия эфирных тел.

Гравитационные силы притяжения между эфирными телами по линии взаимодействия Земля – Луна – Солнце деформируют индуцированные эфирные сферы планеты. В плоскости сечения сферы (на рисунке 88 показаны условно пунктиром) приобретают форму эллипса. Почему приливы вод происходят одновременно с противоположных сторон Земли, какие силы участвуют в образовании приливных течений?

Не только максимальные силы гравитационного притяжения между эфирными телами Земли и Луны в эфирном теле солнечной системы деформируют гравитационное поле Земли, но и влияние инертной массы дискатора на инертные массы в ядрах атомов.

Инертная масса дискатора оказывает силовое давление на первую сферу и, соответственно, на эфирные тверди Земли. Силовое смещение гравитационных твердей Земли оказывает значительное силовое влияние на ядра атомов через эфирные тверди атомов. Максимальное смещение водных инертных масс наблюдается в морях океанов в период сигиздийских приливов.

Гравитационные и инертные силы совместно деформируют эфирное тело Земли, наибольшему влиянию деформации подвер-

жены жидкие, водные замещенные эфирные сферы и замещенные каменные эфирные сферы в подвижных континентах. Гравитационные и инертные силы оказывают взаимное влияние на ледяные замещенные эфирные сферы и на каменные сферы теплоизола.

Инертная масса дискатора в пространстве электрического подвеса в центре Земли смещена (усл.) в северное полушарие в период зимнего солнцестояния (рис. 88) и в южное полушарие в период летнего солнцестояния.

Переход инертной массы дискатора в полушария происходит в периоды весеннего и осеннего равноденствия (рис. 89). Смещение дискатора в полушария изменяет силовое давление на первую гравитационную сферу и, соответственно, на эфирное тело в полушарии, происходит слабое вспучивание эфирных ледяных и каменных эфирных сфер и зачительное смещение на поверхности Земли.

Подобное движение инертной массы дискатора достигает критических состояний, вызывает вертикальное смещение замещенных каменных эфирных твердей под дном океанов. Быстрое смещение эфирных каменных плит дна океана образует волны сжатия и разряжения в водах океанических эфирных твердей. Образование волн сжатия и разряжения на больших глубинах сопровождается катастрофическим движением вод (цунами) на поверхности океанов и морей в береговых зонах, препятствующих естественному распространению волн.

Инертная масса дискатора стремится к прямолинейному движению по касательной к траектории движения Земли, но силы гравитационного притяжения через деформацию эфирного тела Земли и, соответственно, деформацию первой гравитационной сферы изменяют направление движения.

На инертную массу дискатора постоянно действуют векторные силы деформированного индуцированного эфирного тела Земли в направлении к Луне и Солнцу (рис. 88). Эфирное тело Земли смещает движение инертной массы дискатора на траекторию орбиты. Силы смещения инертной массы дискатора на траекторию орбиты Земли создают центростремительное ускорение.

Свободных (изолированных) тел (гравитационных систем) не существует. Центростремительные силы гравитационного притяже-

ния между эфирными телами создают и поддерживают движение систем в космическом пространстве.

Инертные, центробежные силы и взаимное сопротивление между однополярными зарядами в эфирных телах систем, а также эфирные токи и ротационные токи смещения постоянно противодействуют ускоряющим силам.

Равенство гравитационных центростремительных ускоряющих сил и сил, противодействующих ускорению, определяют естественную среднюю скорость движения и форму орбиты планеты Земля вокруг Солнца и известны по законам Кеплера. Законы Кеплера естественны и поэтому соответствуют истине движения гравитационных систем в космическом пространстве.

Инертная, нейтральная масса всегда стремится к прямолинейному движению в неподвижное состояние. Почему инертная масса стремится к прямолинейному движению? Прямая линия – это кратчайший путь в неподвижности!

В проявленном мире не существует абсолютно неподвижных систем, все коллапсары и эфирные тела коллапсаров движутся в неподвижности отдельно или в коллективных системах, поэтому и существуют в проявленном состоянии.

Инертная масса коллапсара не обладает абсолютной электрической нейтральностью, инертная масса коллапсара в эфирном индуцированном теле имеет силовую связь с ближайшей индуцированной гравитационной сферой и привязана силами притяжения и противодействия притяжению к индуцированному эфирному телу через первую сферу. Инертные массы коллапсаров взаимодействуют с инертными массами в других коллапсарах через сторонние поля, кулоновские поля и электромагнитные (магнитные) поля.

Деформации гравитационных сфер в эфирных телах силами взаимного притяжения нарушают нормальное шарообразное состояние гравитационных сфер вокруг коллапсаров, следовательно, образуются силовые напряжения между коллапсаром и первой индуцированной нейтральной сферой, силы деформации смещают коллапсар в эфирном теле в сторону наименьшего сопротивления.

Существующий наклон оси вращения Земли определяет смещение масс материков в северное полушарие, а какие силы определя-

ют общую плоскость вращения планет вокруг Солнца и какие силы создают и поддерживают вращение планеты вокруг оси?

На рисунке 89 показана принципиальная силовая система раскручивания эфирного тела Земли и через эфирное тело земной шар. Показана земная опорная волна сжатия индуцированных гравитационных сфер солнечной системы, волна Бодэ и траектория движения планеты внутри и за пределами опорной волны (сферы).

Пунктиром показано условное эфирное индуцированное тело Земли, разнополярные электрические заряды скоплений частиц субстанции в опорных волнах сжатия сфер препятствуют движению эфирных твердей планеты.

Подобно ветру, разнополярные скопления частиц субстанции в волне Бодэ оказывают силовые равномерные действия на скопле-

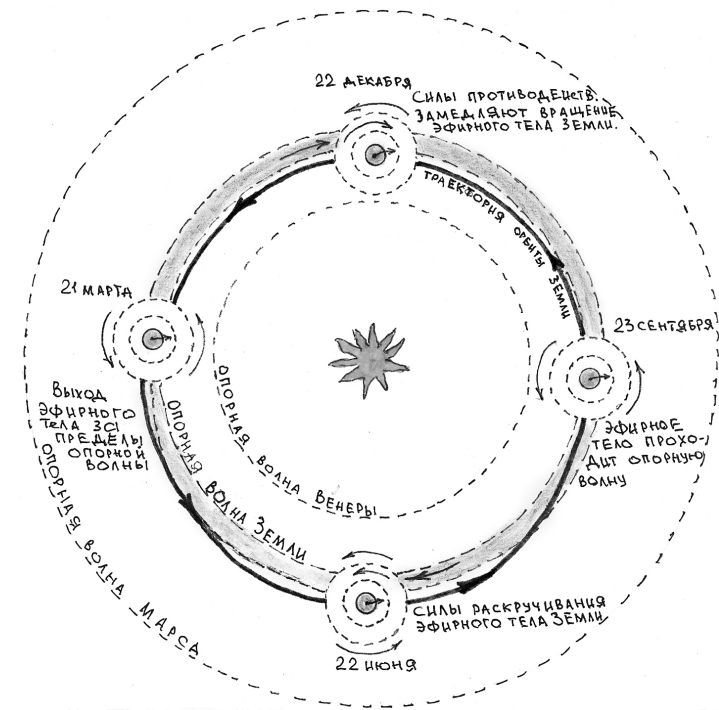


Рис. 89



ния разнополярных частиц субстанции в периоды весеннего и осеннего равноденствия и неравномерное внутри или за пределами земной волны Боды. Положение планеты за сферой Боды или внутри сферы определяет направление сил раскручивания.

Относительное удаление планеты за пределы земной сферы Боды или, напротив, движение внутри сферы определяет возникновение сил раскручивания эфирного тела и сил, противодействующих вращению. Планета Земля и её индуцированные гравитационные сферы в волнах сжатия и разряжения дважды в году проходят через опорную сферу. Движение планеты Земля и других планет по орбите в форме эллипса и плоскость движения планет происходит по законам относительного и абсолютного движения (см. рис. 90).

Эфирное тело Земли раскручивают скопления частиц субстанции в опорной земной волне Боды за пределами волны сжатия сфер (с марта по сентябрь месяц) и замедляет вращение эфирного тела внутри опорной сферической волны сжатия.

Максимальные центростремительные силы действуют на планету Земля в период зимнего солнцестояния и минимальные – в период летнего солнцестояния.

Силы раскручивания эфирного тела Земли за пределами опорной волны сжатия превосходят силы противодействия раскручиванию в противоположную сторону внутри опорной волны. Поступательному орбитальному движению и вращению эфирного тела Земли противодействуют и производимые трением эфирные токи, стабильное вращение земного шара определяют преобладающие силы раскручивания над силами, противодействующими раскручиванию. Превосходство сил раскручивания определяет среднюю скорость вращения планеты и продолжительность земных суток.

Эфирное тело связано с первой гравитационной сферой и, соответственно, с дискатором Земли. Между инертной массой дискатора Земли и эфирным индуцированным телом нет жёсткой силовой связи. Скольжение эфирных сфер создаёт электрические и электромагнитные возмущения в эфирном теле.

Процессу раскручивания и противодействие раскручиванию противодействует инертная масса дискатора и инертные массы в

ядрах атомов замещённых эфирных сфер, и поэтому изменение скорости вращения Земли занимает продолжительное время.

Через эфирное тело происходит процесс поддержания скорости вращения Земли вокруг собственной оси. В сентябре и марте на эфирное тело и гравитационные сферы действуют максимальные силы трения между разнополярными и однополярными скоплениями частиц субстанции в опорной волне сжатия и скоплениями частиц субстанции в эфирных скользящих сферах Земли, и поэтому наблюдаются максимальные электромагнитные возмущения в магнитном поле и полярные сияния в гравитационных сферах.

Силовое влияние электрических зарядов в опорной земной волне Боды на индуцированное эфирное тело Земли зависит от относительной и абсолютной скорости орбитального и вращательного движения планеты.

На принципиальной схеме рисунка 90 показаны относительные скорости движения планеты Земля и её спутника Луны в зависимости от направления поступательного движения вокруг Солнца, а Луны вокруг Земли.

На рисунке 90 показаны четыре варианта орбитального движения Земли относительно направления движения Солнца.

В попутном направлении движения, например, 22 декабря, относительная скорость Земли больше относительной скорости Солнца на 29 км/сек.

Встречное движение, например, 22 июня, относительная скорость Земли меньше относительной скорости Солнца на 29 км/сек. В поперечном орбитальном движении 21 марта и 23 сентября относительная скорость Земли равна относительной скорости движения Солнца.

На рисунке 90 показаны относительные скорости движения Луны вокруг Земли и вокруг Солнца в единой гравитационной системе Земля – Луна.

Показан принцип образования относительных скоростей движения планеты Земля и её спутника Луны.

Как определить абсолютную скорость движения гравитационных систем? Скорость движения системы относительно холодной неподвижности называется абсолютной скоростью движения. В

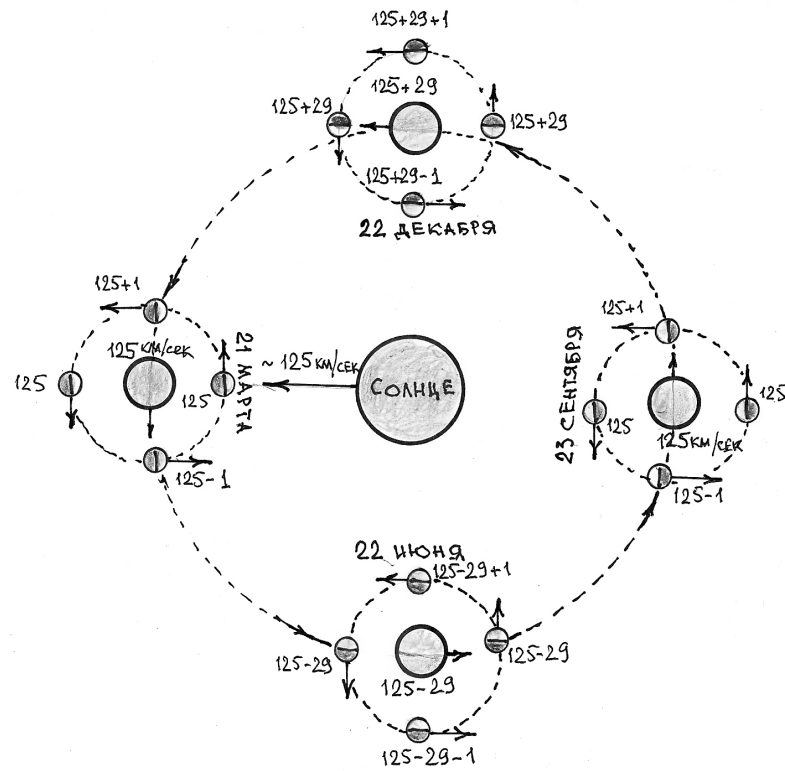


Рис. 90

материальном неподвижном космическом пространстве возникли гравитационные массы силами взаимного центростремительного ускорения образовали относительное поступательное движение. Доступно относительное определение скоростей движения гравитационных систем и приближённое определение абсолютной скорости движения.

Множество факторов препятствуют определению абсолютной скорости движения. Известно, проявленные массы частиц субстанции в галактиках и в скоплениях галактик силами взаимного гравитационного притяжения перемещаются в пространстве, расширение Вселенной связано с ростом проявленной массы, следовательно, возможно движение центра и самой Вселенной.

Возможно абстрактное определение фиктивных координат подвижных систем в неподвижном холодном пространстве космоса. Холодная неподвижность существует всюду и везде, поэтому для систем нет векторного направления движения, мгновенный отсчёт времени, условная остановка времени оставляет фиктивные реперные координатные точки в условном теле неподвижности.

Скорость мгновенного отсчёта, условную остановку течения времени можно связать с скоростью распространения света. Единица времени отсчёта условной остановки течения времени, не должна превышать половины длины электромагнитного цуга.

Длина волны электромагнитного цуга равна 3 (трём) метрам, следовательно, время отсчёта равно времени прохождения электромагнитной волны 1,5 метра пути в космическом пространстве, возможны и другие варианты мгновенного отсчёта времени.

Абсолютные и относительные скорости движения планет, спутников планет, звёзд в рукавах галактик и в галактиках определяют силовое построение плоскостей взаимодействия и строение орбит в подвижных гравитационных системах. Абсолютная скорость движения определяет состояние Вселенной в проявленном состоянии и возможный переход в скрытое, спящее состояние.

## Содержание

Введение.....	3
Материя .....	4
Элементарные скопления частиц субстанции.....	5
Элементарное нейтрино.....	5
Индукцированные скопления частиц субстанции.....	7 и 9
Элементарные волновые трубки.....	12
Элементарные коллапсары .....	14
Элементарный коллапсар гамма-нейтрино .....	15
Семёрки коллапсаров.....	18
Магнетоны гамма-нейтрино.....	19
Элементарные коллапсары-электроны .....	22
Общий вид коллапсара электрона .....	24
Электронные нейтрино .....	25
Гамма-трубки в коллапсарах электронах.....	32
Гравитанты электронов и гравитоны сфер.....	34
Структура гравитационных сфер.....	37
Полные и неполные магнетоны .....	39
Разнополярные блоки зарядов в коллапсарах .....	45
Короткодействующие коллапсарные силы.....	50
Поляризаторы магнетонов.....	52
Магнетонные трубки поляризаторов.....	54
Принципиальная структура гравитационной сферы.....	55
Гравитационные кольца в сферах.....	56
Однополярные блоки в сферах .....	57
Системные гравитанты электрона.....	58
Системные гравитоны электрона в сферах.....	60
Блоки однополярных зарядов в звёздах семёрок.....	62
Силы противодействия сжатию .....	62

Трубки гравитантов и трубки гравитонов .....	66
Элементарные структурные гамма-свастики .....	73
Системы двух квадратов .....	82
Системы двух треугольников и свастики.....	83
Система двух квадратов и система двух треугольников.....	85
Интегрированные свастики .....	86
Полярные полусферы электрона.....	91
Волны сжатия и разряжения .....	94
Электрическое поле Земли.....	95
Выходы стороннего электрического поля.....	98
Место выхода стороннего поля Земли .....	101
Стороннее электрическое поле .....	104
Спиновой заряд электрона.....	107
Спиновые заряды в структурах гравитантов .....	108
Электрон-позитронное нейтрино.....	109,110
Кулоновские силовые линии .....	112
Кулоновское электрическое поле.....	114
Аннигиляция электронного нейтрино .....	119
Стороннее поле электрона .....	126,130,131
Шаровые скопления .....	133
Выход стороннего поля электрона .....	135
Выход стороннего поля Земли .....	138
Три структуры стороннего поля Земли.....	144
Мировые аномалии северного полушария.....	147
Гора Меру .....	156
Принципиальная структура планеты Земля.....	177
Элементарный коллапсары нуклоны.....	192
Нейтрон, общий вид .....	193
Пионы и мезоны нейтронов.....	197
Гравитанты и магнетоны нейтрона .....	201
Гравитационные волны сжатия и разряжения.....	202
Принципиальная структура атома водорода.....	203
Лёгкие нейтроны .....	205
Элементарный сторонний (спиновой) заряд .....	207
Почему электрон не падает на протон (ядро) .....	208
Молекула пароводорода.....	214

Молекула ортоводорода .....	216
Строение атомов и атомных ядер .....	217
Универсальная альфа-система .....	220,222
Дейтерий .....	224
Тритий .....	227
Лёгкий гелий .....	228
Гелиевая плоскость нейтрализации .....	229
Ядро атома углерода .....	234
Ядерные силы в ядре атома углерода .....	235
Три плоскости нейтрализации свободных зарядов .....	240
Ядро атома кислорода .....	243
Ядро молекулы кислорода .....	245
Ядро молекулы озона .....	247
Ядро атома неона .....	248
Силы противодействия между плоскостями нейтрализации .....	250
Усиленная нейтронная гелиевая альфа .....	256
Соленоидные плоскости нейтрализации .....	258
Ядро атома железа .....	260
Магнетизм .....	262
Магнитное нейтрино .....	262
Магнитные силовые линии .....	263
Изотопы атома аргона .....	276
Изотопы атома хлора .....	276
Изотопы атома калия .....	277
Атомы кобальта и никеля .....	278
Новый вариант периодического закона Д.И.Менделеева .....	282
Гелиевая подгруппа элементов в периодическом законе .....	281
Атомы меди, серебра и золота .....	283
Два новых элемента в периодическом законе .....	285
Эфир, гравитационная и инертная масса .....	286
Гравитационные и инертные приливы на Земле .....	295
Вращение Земли .....	299
Абсолютная и относительная скорость движения .....	301
Содержание .....	304

Отпечатано в ГУП МО «Коломенская типография».  
 140400, г. Коломна, ул. III Интернационала, д. 2а.  
 Тел.: 8(496) 618-69-33, 8(496) 618-60-16. ИНН 5022013940.  
 Тираж 200. Заказ 1700.